



เสถียรภาพของระบบไฟฟ้ากำลัง
POWER SYSTEM STABILITY



ปฏิญานินพนธ์นี้เป็นส่วนหนึ่งของการศึกษาตามหลักสูตรปริญญาวิศวกรรมศาสตรบัณฑิต
ภาควิชาวิศวกรรมไฟฟ้า
สถาบันเทคโนโลยีพระจอมเกล้าเจ้าคุณทหารลาดกระบัง
ปีการศึกษา 2534

เอกสารนี้เป็นเอกสารที่สงวนไว้สำหรับการใช้งานเพื่อการศึกษาเท่านั้น ไม่อนุญาตให้นำไปใช้ประโยชน์ด้านการค้า
ไม่ว่ากรณีใดๆทั้งสิ้น อีกทั้งห้ามมิให้ดัดแปลงเนื้อหา และต้องอ้างอิงถึงเจ้าของเอกสารทุกครั้งที่มีการนำไปใช้

ปริญญาโท ปีการศึกษา 2534

ภาควิชา วิศวกรรมไฟฟ้า

คณะวิศวกรรมศาสตร์ สถาบันเทคโนโลยีพระจอมเกล้าเจ้าคุณทหารลาดกระบัง

เรื่อง เสถียรภาพของระบบไฟฟ้ากำลัง

(Power System Stability)

- ผู้จัดทำ
- | | | |
|-----------------|-------------|---------|
| 1. นาย สุวัฒน์ | ภควาภาคภูมิ | 31.1373 |
| 2. นาย อรรถพร | จันทร์เทศ | 31.1403 |
| 3. นาย อิศระชัย | งามทร | 31.1413 |

อาจารย์ที่ปรึกษา

(สมโภชน์ ประเทพ)

อาจารย์ที่ปรึกษา

(มณฑล สัจฉินภากรฤกษ์)

บทคัดย่อ

วิทยานิพนธ์ฉบับนี้อธิบายถึง วิธีการวิเคราะห์-ศักยภาพของระบบไฟฟ้ากำลัง โดย
ใช้ไมโครคอมพิวเตอร์ในการคำนวณ โดยการพิจารณา เครื่องจักรซึ่งโครนัสแต่ละตัวที่ถูกต้อง
ในแต่ละบัส หลังจากเกิดการลัดวงจรแบบสามเฟสขึ้นที่บัสใด ๆ โดยการใส่ระบบสวิชต์ซึ่ง
เป็นระบบป้องกันในการเคลียร์ฟอลต์ หลังจากนั้นทำการหาค่าเวลาวิกฤตในการเคลียร์ฟอลต์
ของเครื่องจักรแต่ละตัว ซึ่ง ณ. ค่าเวลานี้ เครื่องจักรซึ่งโครนัสนั้นยังคงไม่เพียงแต่รักษา
เสถียรภาพของระบบอยู่ได้ แต่ยังสามารถชิ่งโครนัสกับเครื่องจักรตัวอื่น ๆ ด้วย

สำหรับการหาค่าเวลาวิกฤตที่ใช้ในการเคลียร์ฟอลต์นั้นจะแยกออกเป็น 2 กรณี

1. กรณีระบบเครื่องจักรหนึ่งตัวต่อกับบัสสองอันต์ หรือ ระบบสองเครื่องจักรโดยใช้
หลักการพื้นที่เท่า (EQUAL AREA CRITERION)
2. กรณีระบบหลายเครื่องจักรโดยวิธีการลองผิดลองถูก โดยการพิจารณา swing
curve ของเครื่องจักรไฟฟ้าแต่ละตัว หลังจากเกิดการลัดวงจรแบบสามเฟสขึ้นมา
นอกจากนี้ ยังได้นำเอาระบบโต้ตอบ (interactive) มาใช้เพื่อความสะดวกในการ
ป้อนข้อมูลอินพุตระหว่างผู้ใช้กับคอมพิวเตอร์

Abstract

This thesis describes the method for determine stability of power systems based on microcomputer treatment. By considering each synchronous machine connected to each bus. After the most violent disturbance (3-phase fault) applied to any bus . By using the switching operation to clear fault after that find the critical clearing time of each machine which not exclusively can maintain the stability of the system but synchronize to other machines as well.

For the methods to find the critical clearing time segregate to two cases.

1. Single machine connected to infinite bus or two machines system, by using Equal Area Criterion method.
2. Multimachines system, by using trial and error method i.e. consider swing curve for each machine after 3-phase fault applied to them.

In addition to , this thesis introduces the basic interactive system applied to facilitate in the method to input data between user and computer.

สารบัญ

เรื่อง	หน้า
1. บทนำ	1
2. สมการแกว่งไกว (SWING EQUATION)	2
3. หลักการพื้นที่เท่า (EQUAL AREA CRITERION)	5
4. การวิเคราะห์ระบบไฟฟ้ากำลังในสภาวะทรานเซียนท์	12
5. วิธีการคำนวณเชิงตัวเลขในการหาค่าตอบจากสมการเชิงอนุพันธ์	25
6. ปัจจัยที่มีผลต่อเสถียรภาพของระบบไฟฟ้ากำลัง	30
7. ผลการทดสอบ	33
8. สรุปผลและวิจารณ์	43
9. ภาคผนวก	44
หนังสืออ้างอิง	
กิตติกรรมประกาศ	

เอกสารนี้เป็นเอกสารที่สงวนไว้สำหรับการใช้งานเพื่อการศึกษาเท่านั้น ไม่อนุญาตให้นำไปใช้ประโยชน์ด้านการค้า
ไม่ว่ากรณีใดๆทั้งสิ้น อีกทั้งห้ามมิให้ดัดแปลงเนื้อหา และต้องอ้างอิงถึงเจ้าของเอกสารทุกครั้งที่มีการนำไปใช้

บทที่ 1

บทนำ

การศึกษาเกี่ยวกับเสถียรภาพของระบบในสภาวะทรานเซียนท์นั้นให้รายละเอียดเกี่ยวกับ ความสามารถของระบบไฟฟ้ากำลังในการที่จะรักษาสภาวะชิ่งโครนัสอยู่ได้ใน ช่วงระหว่างที่เกิดสิ่งรบกวนที่มีผลอย่างมากต่อระบบ (Major Disturbance) อันเป็นผล ที่เกิดเนื่องมาจาก การสูญเสียในการผลิตกำลังไฟฟ้า หรือ การส่งจ่ายกำลังไฟฟ้า , การเปลี่ยนแปลงโหลดอย่างทันที หรือ อย่างต่อเนื่อง , การเกิดฟอลท์ขึ้นมาชั่วขณะเวลา ใดเวลาหนึ่ง. โดยเฉพาะอย่างยิ่ง, จะได้ทำการศึกษาเกี่ยวกับการเปลี่ยนแปลงในค่าของ แรงดัน , กระแส , กำลังไฟฟ้า , ความเร็ว และ แรงบิดของเครื่องจักรทั้งหมดในระบบ ไฟฟ้ากำลัง , ตลอดจนการเปลี่ยนแปลงในค่าแรงดันของระบบ และการไหลของกำลังไฟฟ้า , ในช่วงระหว่างและทันทีที่เกิดการรบกวนระบบขึ้น. ความสำคัญของเสถียรภาพของระบบ ไฟฟ้ากำลังนั้นเป็นปัจจัยสำคัญ ในการวางแผนระบบเพื่อให้ได้มาซึ่งความน่าเชื่อถือได้ของ ระบบซึ่งขึ้นอยู่กับอุปกรณ์การบริการทางไฟฟ้า ดังนั้นจึงเป็นการจำเป็นสำหรับระบบไฟฟ้ากำลัง ที่จะต้องออกแบบให้มีสภาพมั่นคงภายใต้การรบกวนใด ๆ ที่อาจจะเกิดขึ้นต่อระบบ.

บทที่ 2

SWING EQUATION

สมการการเคลื่อนที่ของ rotor ของ synchronous machine อาศัยกฎเกณฑ์ทาง mechanic คือ

$$J\alpha = T \quad J\alpha = T \quad (2.1)$$

$$\frac{Jd^2\theta}{dt^2} = T \quad \text{or} \quad \frac{d^2\theta}{dt^2} = \frac{T}{J} \quad (2.2)$$

เมื่อ T = net torque หรือผลบวกนิชคณิตของแรงบิดทุกแรงที่กระทำต่อ machine คือแรงบิดที่เพลลา (เนื่องจาก primover ของ generator หรือเนื่องจากโหลดของ motor, แรงบิดเนื่องจาก rotation loss (friction, windage และ core loss), และ electromagnetic torque.

ให้ T_m = shaft torque

T_e = electromagnetic torque

ในกรณีของ synchronous generator แรงบิดทั้งสองจะมีค่าเป็นบวกส่วนกรณีของ motor จะมีค่าเป็นลบ แรงบิดสุทธิ (net torque) ที่ทำให้เกิดการเร่งขึ้น เป็นผลทางขางนิชคณิตระหว่าง accelerating shaft torque กับ retarding electromagnetic torque

$$T_n = T_m - T_e \quad T_n = T_m - T_e \quad (2.3)$$

โดยทั่วไปเราจะวัด angular position & angular velocity ,เทียบกับ reference axis ที่หมุนไปด้วยความเร็วที่ synchronous speed ดังนั้น

$$\dot{\theta}_m = \theta_m \omega_{sm} \quad d\theta = \theta_m \omega_s \quad (2.4)$$

ω_{sm} เมื่อ ω_{sm} = synchronous speed, mech rad/s.

θ_m = angular displacement ของ rotor, ... rad

จาก (2.4) :

$$\frac{d\theta_m}{dt} = \frac{d\theta}{dt} = \omega_{sm} \quad \frac{d\theta_m}{dt} = \frac{d\theta}{dt} \omega_{sm} \quad (2.5)$$

$$\frac{d^2 \theta_m}{dt^2} = \frac{d^2 \lambda_m}{dt^2} \quad \frac{d^2 \theta_m}{dt^2} = \frac{d^2 \delta_m}{dt^2} \quad (2.6)$$

แทนใน (2.2)

$$J \frac{d^2 \lambda_m}{dt^2} = T \quad J \frac{d^2 \delta_m}{dt^2} = T \quad (2.7)$$

$$J \frac{d^2 \lambda_m}{dt^2} = T_m - T_e \quad J \frac{d^2 \delta_m}{dt^2} = T_a = T_m - T_e \quad (2.8)$$

ให้ $w_m = \frac{d\phi_m}{dt} \quad w_m = \frac{d\theta_m}{dt} \quad (2.9)$

ดังนั้น $J w_m \frac{d^2 \lambda_m}{dt^2} = P_m - P_e \quad J w_m \frac{d^2 \delta_m}{dt^2} = P_a = P_m - P_e \quad (2.10)$

เมื่อ

P_m = shaft power input

P_e = electrical power

P_a = accelerating power

$J w_m$ = angular momentum = M (inertia constant)

ดังนั้น

$$M \frac{d^2 \lambda_m}{dt^2} = P_m - P_e \quad (2.11)$$

$$M \frac{d^2 \delta_m}{dt^2} = P_a = P_m - P_e$$

H-constant

H = stored kinetic energy in joules

rating in volt-amperes

H = stored kinetic energy in kilojoules
 rating in kilovolt-amperes
 = stored kinetic energy in megajoules (2.12)
 rating in megavolt amperes

นั่นคือ

$$H = \frac{1}{2} J \omega_m^2 = \frac{1}{2} M \omega_m^2 \quad (2.13)$$

$$M = \frac{2HS}{\omega_m^2} = \frac{2HS_{mech}}{\omega_m^2} = \frac{2HS_{mac}}{\omega_m^2} \quad \text{MJ/mech rad} \quad (2.14)$$

หรือใน (2.1)

$$\frac{2H}{\omega_m} \frac{d^2 \delta}{dt^2} = P_m - P_e \quad (2.15)$$

$$\frac{2H}{\omega_s} \frac{d^2 \delta}{dt^2} = P_m - P_e \quad \text{per-unit} \quad (2.15)$$

δ อยู่ในหน่วย electrical radian

$$\frac{H}{f} \frac{d^2 \delta}{dt^2} = P_m - P_e \quad \text{per-unit} \quad (2.17)$$

ถ้า อยู่ในหน่วย electrical degree

$$\frac{H}{180f} \frac{d^2 \delta}{dt^2} = P_m - P_e \quad \text{per-unit} \quad (2.18)$$

สมการที่ (2.16) นี้เรียกว่า "swing equation" ซึ่งอยู่ในรูป second-order differential equation แต่สามารถทำให้อยู่ในรูป first-order differential equation ได้ดังนี้

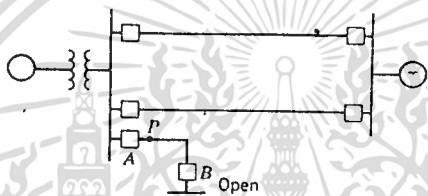
$$\frac{dw}{dt} = P_m - P_e \quad \text{per unit} \quad (2.19)$$

$$\frac{d\delta}{dt} = \omega - \omega_s \quad (2.20)$$

บทที่ ๘

EQUAL AREA CRITERION OF STABILITY

ใช้วิเคราะห์เสถียรภาพของระบบเครื่องจักร 1 ตัว ต่อกับขั้วสองขั้วหรือ 2 ระบบ
เครื่องจักร เป็นการวิเคราะห์โดยไม่จำ เป็นต้องหาคำตอบ swing equation

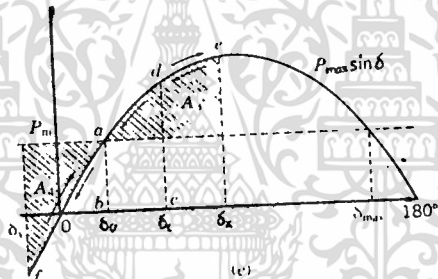
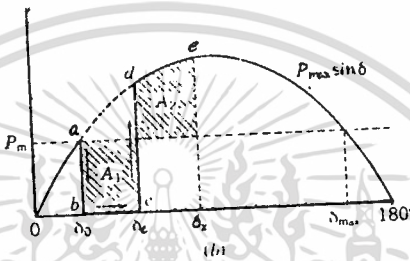
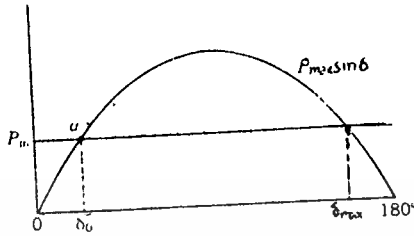


รูปที่ 3.1 one line diagram of example system

พิจารณาระบบดังรูป 3.1 ที่จุด p ที่ใกล้กับขั้ว เกิดกระแสลัดวงจรแบบ 3 ϕ ขึ้นและ
ถูกเคลียร์โดยเซอร์กิตเบรกเกอร์ A หลังจากช่วงเวลาที่เกิดลัดวงจรซึ่งเป็นช่วงเวลาที่สั้นมาก
ช่วงเวลาที่เกิด fault มีผลทำให้กำลังทางไฟฟ้าเอาต์พุตจากเครื่องกำเนิดไฟฟ้าเป็นศูนย์ลักษณะ
ทางกายภาพของสภาวะก่อน ระหว่าง และหลังจากเกิด fault สามารถทำความเข้าใจโดยการ
วิเคราะห์กราฟมุมกำลังในรูป 3.2 โดยเริ่มแรกเครื่องกำเนิดไฟฟ้ากำลังทำงานที่ความเร็วเชิง
โคโรนัล เมื่อมุมกำลังเท่ากับ δ_0 และกำลังอินพุตทางกล P_m เท่ากับกำลังทางไฟฟ้าเอาต์
พุต P_e ดังแสดงในรูปที่จุด a ในรูป 3.2a เมื่อ fault เกิดขึ้นที่เวลา $t=0$ กำลังเอาต์
พุตทางไฟฟ้าจะมีค่าเท่ากับศูนย์ ทันที ในขณะที่กำลังงานกลอินพุตคงที่ ดังรูป 3.2b ความแตกต่าง
ต่างของกำลังทั้ง 2 จะมีผลทำให้อัตราการเปลี่ยนแปลงของพลังงานจลน์สะสมในมวลโรเตอร์ ทำ
ให้โรเตอร์มีความเร็วรวมพลเพิ่มขึ้นด้วยกำลังเร่งที่มีค่าคงที่คือ P_m

เมื่อเรากำหนดให้เวลาที่ใช้เคลียร์ fault คือ t_c ดังนั้นในช่วงเวลา t ที่น้อยกว่า
 t_c ค่าความเร่งคงที่นี้ถูกกำหนดโดย

เอกสารนี้เป็นเอกสารที่สงวนไว้สำหรับการใช้งานเพื่อการศึกษาเท่านั้น ไม่อนุญาตให้นำไปใช้ประโยชน์ด้านการค้า
ไม่ว่ากรณีใดๆทั้งสิ้น อีกทั้งห้ามมิให้ดัดแปลงเนื้อหา และต้องอ้างอิงถึงเจ้าของเอกสารทุกครั้งที่มีการนำไปใช้



รูปที่ 3.2 power angle curve for the generator, area $A_1 = A_2, A_2 =$ (3.1)

$$\frac{d^2\delta}{dt^2} = \frac{\omega_s}{2H} P_m \quad \frac{d^2\delta}{dt^2} = \frac{\omega_s P_m}{2H}$$

เมื่อ fault เกิดขึ้น ค่าความเร็วที่เพิ่มขึ้นมาเหนือความเร็วเชิงโรตัสหาได้จากกฎอินทิเกรตสมการ (3.1) จะได้

$$\frac{d\delta}{dt} = \int_0^t \frac{\omega_s P_m}{2H} dt = \frac{\omega_s P_m t}{2H} \quad (3.2)$$

เอกสารนี้เป็นเอกสารที่สงวนไว้สำหรับการใช้งานเพื่อการศึกษาเท่านั้น ไม่อนุญาตให้นำไปใช้ประโยชน์ด้านการค้าไม่ว่ากรณีใดๆทั้งสิ้น อีกทั้งห้ามมิให้ดัดแปลงเนื้อหา และต้องอ้างอิงถึงเจ้าของเอกสารทุกครั้งที่มีการนำไปใช้

เมื่อทำการอินทิเกรตอีกครั้งจะได้ตำแหน่งมุมโรเตอร์

$$\delta = \frac{\omega_s P_m}{4H} t^2 + \delta_0 \quad \lambda = \omega_m P_m t^2 + \lambda_0 \quad (3.3)$$

สมการที่ (3.2) และ (3.3) แสดงให้เห็นถึง ความเร็วของโรเตอร์ที่เพิ่มขึ้นในลักษณะเชิงเส้นจากความเร็วเชิงโคจรในขณะที่มีมุมของโรเตอร์เพิ่มขึ้นจาก λ_0 ไปยังมุมเคลียร์ λ_c . ในรูป 3.2b ช่วงที่มุม λ วิ่งจาก b ไป c ในขณะที่ fault ถูกเคลียร์ ค่าความเร็วที่เพิ่มขึ้นมาจากความเร็วเชิงโคจรและค่ามุม ณ ตำแหน่งเวลาเคลียร์ fault หาได้จาก

$$\left. \frac{d\delta}{dt} \right|_{t=t_c} = \frac{\omega_s P_m}{2H} t_c \quad \left. \frac{d\lambda}{dt} \right|_{t=t_c} = \frac{\omega_m P_m t_c}{2H} \quad (3.4)$$

$$\delta(t) \Big|_{t=t_c} = \frac{\omega_s P_m}{4H} t_c^2 + \delta_0 \quad \lambda(t) \Big|_{t=t_c} = \frac{\omega_m P_m t_c^2 + \lambda_0}{4H} \quad (3.5)$$

เมื่อ fault ถูกเคลียร์ที่ตำแหน่งมุม λ_c กำลังไฟฟ้าเอาต์พุตจะเพิ่มขึ้นทันทีไปยังค่าที่ตำแหน่ง d ในกราฟมุมกำลัง ที่จุด d ค่ากำลังไฟฟ้าเอาต์พุตมีค่าเกินกำลังทางกลอินพุต ดังนั้นกำลังเร่งจึงเป็นลบจึงเป็นผลให้โรเตอร์ลดความเร็วลงในช่วงระหว่างที่ P_m เคลื่อนที่จากจุด d ไปยังจุด e ในรูป 3.2c ที่จุด e ความเร็วโรเตอร์มีค่าเป็นความเร็วเชิงโคจรอีกครั้งหนึ่ง แม้ว่ามุมโรเตอร์จะมีค่าไปถึง λ_c ก็ตาม. ที่ λ_c นี้ $A_1 = A_2$. ที่ e , P_m เป็นลบ power angle จึงเคลื่อนที่กลับไป e . ที่ e นี้ ความเร็วช้ากว่า synchronous speed. จาก $e - f$, P_m มากกว่า P_e มีผลให้ โรเตอร์เพิ่มความเร็วอีกครั้งหนึ่งจนถึงจุด f ซึ่งมีความเร็วเท่ากับ synchronous speed ที่ f $A_3 = A_4$.

การนำ equal area criterion มาพิจารณาร่วมกับ swing equation เพื่อแสดงให้เห็นว่า $A_1 = A_2$, $A_3 = A_4$.

$$\frac{2H d^2\delta}{\omega_s dt^2} = P_m - P_e \quad \frac{2H d\lambda}{\omega_m dt} = P_m - P_e \quad (3.6)$$

ค่าความเร็วเชิงมุมของโรเตอร์เมื่อเทียบกับความเร็วเชิงโคจร

$$\omega_r = \frac{d\delta}{dt} = \omega_s \quad \omega_r = \frac{d\lambda}{dt} = \omega - \omega_s \quad (3.7)$$

differentiate (3.7) แทนใน (3.6) จะได้

$$2H \frac{d\omega_r}{\omega_s dt} = P_m - P_e \quad 2H \frac{d\omega_r}{\omega_s dt} = P_m - P_e \quad (3.8)$$

คูณ (3.8) ด้วย $\omega_r = d\lambda/dt$ ทั้งสองข้าง $\omega_r = d\delta/dt$

$$H \frac{2\omega_r d\omega_r}{\omega_s dt} = (P_m - P_e) \frac{d\lambda}{dt} \quad H \frac{2\omega_r d\omega_r}{\omega_s dt} = (P_m - P_e) \frac{d\lambda}{dt} \quad (3.9)$$

$$H \frac{d(\omega_r^2)}{\omega_s dt} = (P_m - P_e) \frac{d\lambda}{dt} \quad H \frac{d(\omega_r^2)}{\omega_s dt} = (P_m - P_e) \frac{d\lambda}{dt} \quad (3.10)$$

คูณ (3.10) ด้วย dt และ อินทิเกรตจะได้

$$H \frac{d(\omega_r^2)}{\omega_s dt} = (P_m - P_e) \frac{d\lambda}{dt} \quad H \frac{d(\omega_r^2)}{\omega_s dt} = (P_m - P_e) \frac{d\lambda}{dt} \quad (3.11)$$

ที่ $\lambda_1 \Rightarrow \omega_r = \omega_{r1}$, $\lambda_2 \Rightarrow \omega_r = \omega_{r2}$ $\Rightarrow \omega_{r1} = \omega_{r2} = \omega_s$ (synchronous speed) $\omega_{r1} = \omega_{r2}$

ดังนั้น $(\omega_{r1} - \omega_{r2}) = 0$ $\omega_{r1} = \omega_{r2} = \omega_s$

จาก (3.11)

$$\int (P_m - P_e) d\lambda = 0 \quad \int (P_m - P_e) d\lambda = 0 \quad (3.12)$$

จากรูปที่ (3.2b)

$$\int (P_m - P_e) d\lambda = \int (P_m - P_e) d\lambda = 0 \quad (3.13)$$

เอกสารนี้เป็นเอกสารที่สงวนไว้สำหรับการใช้งานเพื่อการศึกษาเท่านั้น ไม่อนุญาตให้นำไปใช้ประโยชน์ด้านการค้า
ไม่ว่ากรณีใดๆทั้งสิ้น อีกทั้งห้ามมิให้ดัดแปลงเนื้อหา และต้องอ้างอิงถึงเจ้าของเอกสารทุกครั้งที่มีการนำไปใช้

$$\int_{\delta_0}^{\delta_c} (P_m - P_e) d\delta = \int_{\delta_c}^{\delta} (P_e - P_m) d\delta$$

หรือ

AD



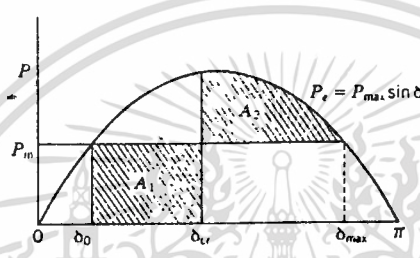
$$(P_m - P_m) \delta_c = (P_e - P_m) (\delta - \delta_c) \quad (3.14)$$

AD

AD

เมื่ออินทิเกรตทางซ้ายนำไปใช้ค่า $\delta = \delta_c$ และอินทิเกรตทางขวาใช้ค่า $\delta = \delta$ post-fault จนถึงมุมที่สวิงสูงสุด (δ_x) (δ_x)

สำหรับ critical clearing time & critical clearing angle
พิจารณาจากรูป (3.3) ได้ดังนี้



รูปที่ 3.3

3.3 areas $A_1 = A_2$

$$A_1 = \int_{\delta_0}^{\delta_{cr}} P_m d\delta = P_m (\delta_{cr} - \delta_0) \quad (3.15)$$

$$A_2 = \int_{\delta_{cr}}^{\delta_{max}} (P_m \sin \delta - P_m) d\delta$$

$$= P_{max} (\cos \delta_{cr} - \cos \delta_{max}) - P_m (\delta_{max} - \delta_{cr})$$

(3.16)

โดยหลักการของ EQUAL AREA CRITERION

$$A_1 = A_2$$

จะได้ (3.15) = (3.16)

เอกสารนี้เป็นเอกสารที่สงวนไว้สำหรับการใช้งานเพื่อการศึกษาเท่านั้น ไม่อนุญาตให้นำไปใช้ประโยชน์ด้านการค้า
ไม่ว่ากรณีใดๆทั้งสิ้น อีกทั้งห้ามมิให้ดัดแปลงเนื้อหา และต้องอ้างอิงถึงเจ้าของเอกสารทุกครั้งที่มีการนำไปใช้

(3.17)

จาก power-angle curve

$\lambda_{max} = \pi - \lambda_0 \text{ elec rad} \quad (3.18)$

และ

$P_m = P_{max} \sin \lambda_0 \quad (3.19)$

แทนค่า λ_{max} และ P_m ลงใน (3.17) จะได้

$\lambda_{cr} = \cos^{-1} [(\pi - 2\lambda_0) \sin \lambda_0 - \cos \lambda_0] \quad (3.20)$

สำหรับ critical clearing time คำนวณได้จาก (3.5)

$\lambda_{cr} = \omega \sqrt{\frac{P_m}{4H} (\lambda_{cr} - \lambda_0)} \quad (3.21)$

ดังนั้น

$t_{cr} = \sqrt{4H(\lambda_{cr} - \lambda_0) / \omega P_m} \quad (3.22)$

ในกรณีที่ขณะที่เกิด fault ยังคงมี power ส่งผ่านไปได้ นั่นในกรณีนี้จะมี power angle curve ขึ้นใน 3 ลักษณะคือ

before the fault : $P_m = P_{max} \sin \lambda$

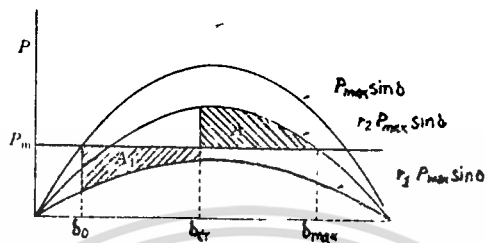
during the fault : $P_m = r_1 P_{max} \sin \lambda$

after the fault : $P_m = r_2 P_{max} \sin \lambda$

โดย r_1 และ r_2 คืออัตราส่วนระหว่าง amplitude ของ power angle curve ในขณะที่เกิด fault และหลังเกิด fault ตามลำดับต่อ amplitude ของ power angle curve ก่อนที่จะเกิด fault โดย amplitude ของ power angle curve หาจาก

$P_{max} = \frac{E_1 E_2}{X_{12}} \quad (3.23)$

เอกสารนี้เป็นเอกสารที่สงวนไว้สำหรับการใช้งานเพื่อการศึกษาเท่านั้น ไม่อนุญาตให้นำไปใช้ประโยชน์ด้านการค้า ไม่ว่ากรณีใดๆทั้งสิ้น อีกทั้งห้ามมิให้ดัดแปลงเนื้อหา และต้องอ้างอิงถึงเจ้าของเอกสารทุกครั้งที่มีการนำไปใช้



รูป 3.4 equal area applied to fault clearing when power is transmitted during the fault, $A_1 = A_2$

ค่า r_1 และ r_2 อาจจะแปลความหมายให้อยู่ในรูปของ reactance ที่อยู่ระหว่าง machine หนึ่งก่อน ระหว่างและหลังการเกิด fault ได้ดังนี้

$$r_1 = \frac{X_{12} \text{ before fault}}{X_{12} \text{ during fault}}$$

$$r_2 = \frac{X_{12} \text{ before fault}}{X_{12} \text{ after fault}}$$

พิจารณารูปโดยการให้หลักของ equal area criterion จะได้ว่า

$$\int_{\Delta_0}^{\Delta_{cr}} (P_m - r_1 P_{max} \sin \Delta) d\Delta = \int_{\Delta_{cr}}^{\Delta_{max}} (r_2 P_{max} \sin \Delta - P_m) d\Delta \quad (3.24)$$

$$\Delta_{max} = \pi - \Delta_0$$

หาค่าของ Δ ที่ได้จากสมการ (3.24) จะได้ว่า

$$\cos \Delta_{cr} = \left(\frac{P_m}{P_{max}} \right) (\Delta_{max} - \Delta_0) + r_2 \cos \Delta_{max} - r_1 \cos \Delta_0 \quad (3.25)$$

$$r_2 - r_1$$

เอกสารนี้เป็นเอกสารที่สงวนไว้สำหรับการใช้งานเพื่อการศึกษาเท่านั้น ไม่อนุญาตให้นำไปใช้ประโยชน์ด้านการค้า
ไม่ว่ากรณีใดๆทั้งสิ้น อีกทั้งห้ามมิให้ตัดแปลงเนื้อหา และต้องอ้างอิงถึงเจ้าของเอกสารทุกครั้งที่มีการนำไปใช้

บทที่ 4

การวิเคราะห์ระบบนำกำลังในสภาวะทรานเซียนท์

บทนำ

บทนี้จะกล่าวถึงขั้นตอนต่างๆ ที่ใช้ในการคำนวณหาเสถียรภาพของเครื่องกำเนิดไฟฟ้า ซึ่งตัวผู้เขียนจะเกิดความผิดพลาดขึ้นในระบบนำกำลัง การคำนวณเสถียรภาพของเครื่องกำเนิดไฟฟ้าซึ่งวิเคราะห์จะแบ่งออกเป็น 2 ชนิด คือ

1. ชนิด Round rotor generator โดยถือหลักเกณฑ์ว่า voltage behind direct-axis transient reactance มีค่าคงที่ E' คงที่ E'
2. ชนิด Salient-pole generator โดยถือหลักเกณฑ์ว่ามีการเปลี่ยนแปลงค่าของ flux linkage ของ field winding (E'_{fd} แปร, เปลี่ยนได้)

ขั้นตอนการคำนวณ

ในการคำนวณเสถียรภาพของเครื่องกำเนิดไฟฟ้าซึ่งวิเคราะห์โดยใช้ไมโครคอมพิวเตอร์ เป็นตัวคำนวณ จำเป็นที่จะต้องมียาขลยเอียดของระบบ เช่น system buses, transmission line, transformer, generator และส่วนอื่นๆ อีกบางส่วนที่อาจจะจำเป็น จากนั้นก็จะมีขั้นตอนต่างๆ ซึ่งพอจะสรุปเป็น flow chart ดังรูป 4.1

จาก flow chart จะเห็นว่าขั้นตอนในการคำนวณคือ การคำนวณ load flow ซึ่งผลการคำนวณจะทำให้ทราบถึง system buses voltages ซึ่งในที่นี้ใช้วิธี Newton Raphson's Method

เอกสารนี้เป็นเอกสารที่สงวนไว้สำหรับการใช้งานเพื่อการศึกษาเท่านั้น ไม่อนุญาตให้นำไปใช้ประโยชน์ด้านการค้า
ไม่ว่ากรณีใดๆทั้งสิ้น อีกทั้งห้ามมิให้ดัดแปลงเนื้อหา และต้องอ้างอิงถึงเจ้าของเอกสารทุกครั้งที่มีการนำไปใช้

ขั้นตอนต่อมาคือการ modified network data โดยที่ loads และ machine ทุกตัวในระบบจะต้องถูกแทนด้วย equivalent circuit แล้วนำไปรวมใน network data ที่มีอยู่ ซึ่งการแทน load ด้วย equivalent circuit นั้น ปกติจะแทนด้วย static impedance to ground หรือ static admittance to ground และสำหรับการคำนวณในโปรแกรมนี้จะใช้ bus admittance matrix ดังนั้นจึงแปลง load เป็นค่า equivalent ได้ดังนี้

$$I_{po} = (P_{lp} - jQ_{lp}) / E_p^* \quad (4.1)$$

P_{lp} และ Q_{lp} คือค่า real and reactive power of load bus P
 E_p^* คือค่า conjugate ของ bus voltage ที่ bus P
 I_{po} คือค่า กระแสที่ไหลจาก bus P ไปยังกราวด์

Static admittance (Y_{pp}) หาได้จาก

$$\begin{aligned} (E_p - E_0) Y_{pp} &= I_{po} \\ (E_p - E_0) Y_{pp} &= I_{po} \end{aligned} \quad (4.2)$$

E_0 คือค่า voltage ที่ ground ซึ่งเท่ากับ 0

$$\begin{aligned} Y_{pp} &= I_{po} / E_p \\ &= (P_{lp} - jQ_{lp}) / E_p E_p^* \\ &= (P_{lp} - jQ_{lp}) / E_p E_p^* \end{aligned} \quad (4.3)$$

ส่วนการแทน machine ด้วย equivalent circuit จะแทนด้วยค่า admittance ที่หาจากค่า transient reactance ของ machine นั้นเอง

ขั้นตอนต่อมาคือ การหาค่า voltage ของตัวที่นำมาเป็น equivalent power source ของ machine ซึ่งจะแบ่งการพิจารณาออกเป็น 2 ระบบ คือ แบบ Round rotor generator และ แบบ Salient pole generator

ในการนี้ของ Round rotor จะแทน generator ด้วย voltage source in back of transient reactance ซึ่งตลอดการคำนวณ โวลเตจนี้จะมีค่าคงที่ แต่ตำแหน่ง ซึ่งมีค่าจะเปลี่ยนไปเรื่อยๆ ซึ่งจะเห็นได้จากสมการ

$$E = E_t + r_a I_t + jx'_d I_t \tag{4.4}$$

$$E = B_t + \gamma_a I_t + jx'_d I_t$$

E คือ Voltage back of transient reactance

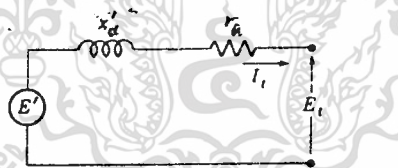
E_t คือ Terminal voltage ของ generator

I_t คือ กระแสที่ไหลผ่าน terminal ของ generator

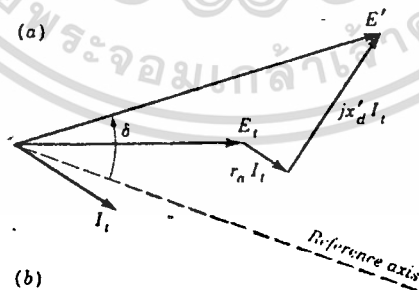
r_a คือ ความต้านทานของขดลวดต่อเมเจอร์ ซึ่งสำหรับ generator ตัวใหญ่ๆ

จะมีค่าเข้าใกล้ 0

x'_d คือ direct-axis transient reactance



(a)



(b)

รูปที่ 4.3 แสดงการแทน Round rotor machine

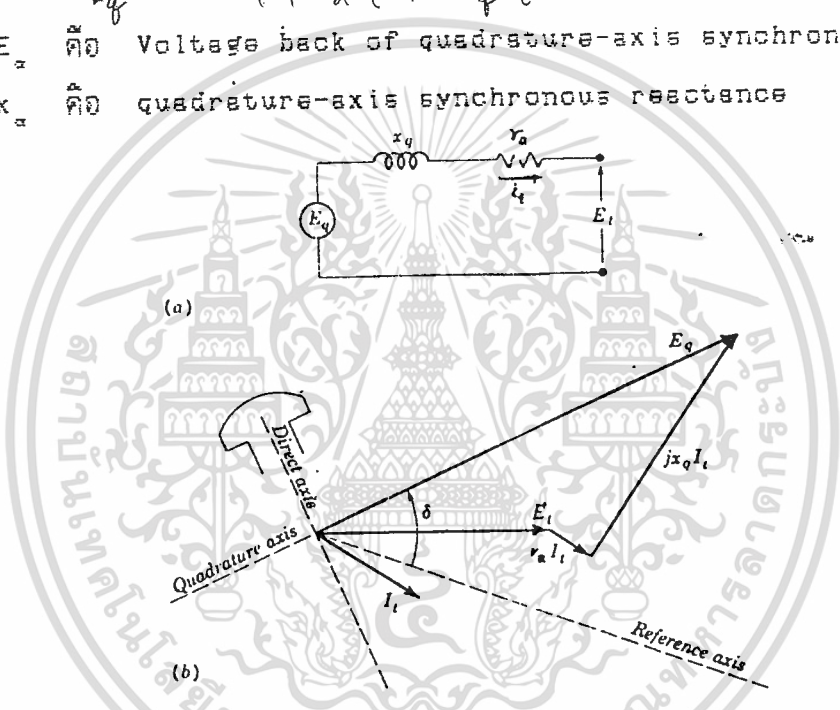
เอกสารนี้เป็นเอกสารที่สงวนไว้สำหรับการใช้งานเพื่อการศึกษาเท่านั้น ไม่อนุญาตให้นำไปใช้ประโยชน์ด้านการค้า
ไม่ว่ากรณีใดๆทั้งสิ้น อีกทั้งห้ามมิให้ดัดแปลงเนื้อหา และต้องอ้างอิงถึงเจ้าของเอกสารทุกครั้งที่มีการนำไปใช้

ในการเขียน Salient pole ของ generator ด้วย voltage back of quadrature-axis synchronous reactance

$$E_a = E_q + r_a I_a + jx_d I_d \quad (4.3)$$

$$E_q = E_f + R_a I_t + jx_q I_t$$

E_q คือ Voltage back of quadrature-axis synchronous reactance
 x_q คือ quadrature-axis synchronous reactance



รูปที่ 4.4 แสดงการแทน Salient pole machine

ต่อมาคือการเริ่มคำนวณเสถียรภาพของเครื่องกำเนิดไฟฟ้าแต่ละตัว ซึ่งก็คือ คำนวณตำแหน่งเชิงมุมโรเตอร์ (δ) ของเครื่องกำเนิดไฟฟ้านั้นเอง ซึ่งจะถูกสมมติให้เกิดความผิดปกติขึ้นในระบบ โดยความผิดปกติที่เกิดขึ้นจะเป็นเหตุทำให้ระบบสูญเสียเสถียรภาพซึ่งก็คือ fault ชนิดต่างๆ ได้แก่

1. Three-phase fault
2. Single line to ground fault
2. Line to line fault
4. Double line to ground fault

เอกสารนี้เป็นเอกสารที่สงวนไว้สำหรับการใช้งานเพื่อการศึกษาเท่านั้น ไม่นอนุญาตให้นำไปใช้ประโยชน์ด้านการค้า ไม่ว่าจะกรณีใดๆทั้งสิ้น อีกทั้งห้ามมิให้ดัดแปลงเนื้อหา และต้องอ้างอิงถึงเจ้าของเอกสารทุกครั้งที่มีการนำไปใช้

Fault ที่เกิดขึ้นบ่อยคือ Single line to ground แต่สำหรับใน Stability calculation จะกำหนดให้เกิด Three-phase fault ขึ้นในระบบ เพราะมีความรุนแรงที่สุด ซึ่งจะทำให้ voltage ที่ bus ที่เกิด fault มีค่าเป็น 0 และนอกจากนี้ก็จะมีการ modify system data ขึ้น ถ้ามี Switching operation เกิดขึ้นในระบบ เช่น มีการ trip ของ circuit breaker จากนั้นก็จะทำการคำนวณหา system bus voltage ขึ้นอีกโดยจะใช้ Gauss Siedal method.

$$E_p^{k+1} = \sum_{q=1}^{n+m} Z_{pq} i_q \quad P=1, 2, \dots, n \quad (4.6)$$

$$E_p^{k+1} = \sum_{q=f}^{n+m} Z_{pq} I_q \quad P \text{ ไม่เท่ากับ } f$$

- n คือ จำนวนบัส
- m คือ จำนวน buses behind the equivalent machines impedance
- f คือ bus ที่เกิด fault
- E_p คือ กระแสไหล

ต่อไปจะเป็นการคำนวณค่า real power ที่ generator แต่ละตัวจ่ายออกมา ซึ่ง generator ทั้ง 2 ชนิด จะมีการคำนวณที่แตกต่างกันดังนี้

Calculation of round rotor generators

หลังจากที่แทน round rotor generators ด้วย voltage behind transient reactance แล้ว ยังมีสิ่งที่เป็นตัวกำหนดสภาพของ generator อีกคือ ในขณะที่เกิด fault ขึ้นในระบบ generator แต่ละตัวต้องจ่ายกำลังไฟฟ้าเท่าใด ซึ่งเมื่อทราบถึงกำลังไฟฟ้าที่ generator จ่ายออกมา ก็จะทำให้ทราบ rate of change in speed of rotor of generator จาก swing equation

$$\frac{d^2 \delta}{dt^2} = \frac{\pi f}{H} (P_m - P_e) \quad (4.7)$$

เอกสารนี้เป็นเอกสารที่สงวนไว้สำหรับการใช้ภายในเท่านั้น ไม่อนุญาตให้นำไปใช้ประโยชน์ด้านการค้า ไม่ว่ากรณีใดๆทั้งสิ้น หากมีให้ตัดแปลงเนื้อหา และต้องอ้างอิงถึงเจ้าของเอกสารทุกครั้งที่มีการนำไปใช้

การหาค่ากำลังไฟฟ้าที่จ่ายออกมาของ generator ชนิด round rotor โดยที่ E' มีค่าคงที่ มีขั้นตอนง่ายๆ ดังนี้
 หลังจากหาค่าของ system bus voltage ก็หาค่าของ machine current จาก

$$I_t = \frac{(E - E_t) Y_c}{(E - E_t) Y_p} \quad (4.8)$$

เมื่อ E คือ voltage behind direct axis transient reactance
 E_t คือ terminal voltage of machine
 Y_c Y_p คือ equivalent admittance of machine

เมื่อได้ค่า machine current แล้ว, นำไปหาค่า Electrical real power ของ machine จากสูตร

$$P_c = \text{Re} \{ I_t (E') \}$$

$$P = -jQ = \text{Re} \{ I_t (E') \}$$

$$P_c = \text{Re} \{ I_t (E') \}$$

จากนั้นนำเอาค่า Electrical real power ไปใช้ในการแก้สมการ second order differential เมื่อหาค่าของมุม δ และความเร็วเชิงมุม w ออกมา ซึ่งวิธีการที่จะแก้สมการจะกล่าวถึงในหัวข้อ 5.4

Calculation of salient pole generators

จากสมมุติฐานที่ตั้งขึ้นในการคำนวณเสถียรภาพของเครื่องกำเนิดไฟฟ้าชนิด salient pole จะถือมีการเปลี่ยนแปลงค่า field flux linkage เนื่องจากแกน machine ด้วย voltage back of quadrature-axis synchronous reactance (E_q) แล้วจะทำให้ทราบค่ามุม δ จาก

$$E_q$$

$$E_g = E_f + jf\phi$$

$$E_s = E_f + jf\phi \quad (4.9)$$

$$\frac{1}{E_s} = \tan^{-1} \frac{f\phi}{E_f} \quad (4.10)$$

$$\angle E_g = \tan^{-1} \frac{f\phi}{E_f}$$

ค่า sinusoidal flux ที่เกิดจาก field current จะเกิดตามแกนของ direct axis และ voltage ที่เกิดจากการเหนี่ยวนำของ field current จะ lag ค่าของ flux ไป 90 องศา บนแกน quadrature axis ซึ่งจะกำหนดได้จาก

$$E_1 = E_f + r_a I_t + jx_d I_d + jx_q I_q \quad (4.11)$$

$$E_2 = E_f + r_a I_t + jx_d I_d + jx_q I_q$$

E_1 คือ voltage proportional to field current

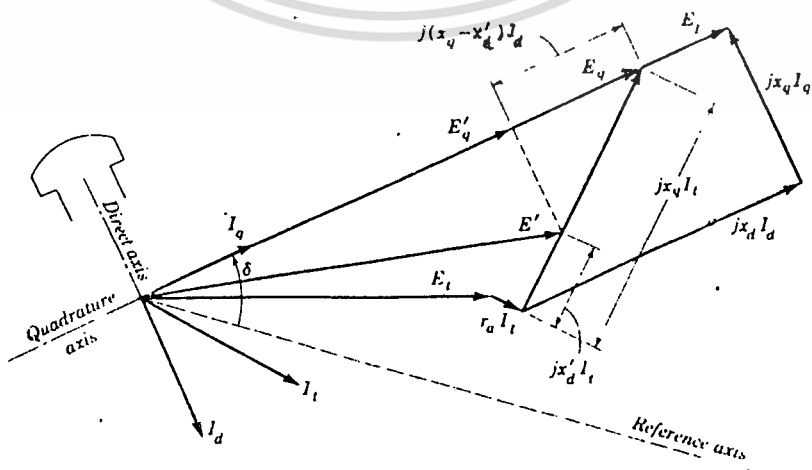
x_d คือ direct-axis synchronous reactance

x_q คือ quadrature-axis synchronous reactance

I_d คือ direct-axis component of machine terminal current

I_q คือ quadrature-axis component of machine terminal current

Phasor diagram ที่แสดง voltage proportional to field current และ voltage back of transient reactance ดังรูป 4.5



เอกสารนี้เป็นเอกสารที่สงวนไว้สำหรับการใช้งานเพื่อการศึกษาเท่านั้น ไม่อนุญาตให้นำไปใช้ประโยชน์ด้านการค้า
ไม่ว่ากรณีใดๆทั้งสิ้น อีกทั้งห้ามมิให้ดัดแปลงเนื้อหา และต้องอ้างอิงถึงเจ้าของเอกสารทุกครั้งที่มีการนำไปใช้

รูปที่ 4.5 Phasor diagram แสดง the quadrature component ของ voltage behind transient reactance

จาก phasor diagram จะเห็นว่า quadrature component ของ voltage behind transient reactance (E_q') คือ

$$E_q' = E_q - j(x_d - x_d') I_d \quad (4.12)$$

E_q' คือ voltage proportional to field flux linkage ซึ่งรวมผลของ field current และ armature current

Field flux linkage ไม่สามารถที่จะเปลี่ยนทันทีทันใดได้หลังจากเกิด fault แต่จะมีการเปลี่ยนแปลงของ E_q' ซึ่งขึ้นอยู่กับ field voltage ที่ถูกควบคุมโดย Regulator และ Exciter และขึ้นอยู่กับ voltage proportional to field current กับ direct-axis transient open circuit time constant

$$\frac{dE_q'}{dt} = \frac{1}{T_{d0}} (E_{fd} - E_q') \quad (4.13)$$

ค่า initial field voltage (E_{fd}) จะมีค่าเท่ากับ E_q' ถ้าไม่คิดผลของ saturation และค่า field voltage นี้จะมีค่าคงที่ เพราะไม่คิดผลของ Exciter control system ขึ้นต่อไปในการคำนวณคือ หาผลที่เกิดขึ้นกับ E_q' เมื่อเกิดการเปลี่ยนแปลงของ terminal voltage (E_t) ซึ่งก็คือการคำนวณ machine terminal current

$$I_d = (E_q' - E_t) \frac{1}{r_a + jx_d} \quad (4.14)$$

เอกสารนี้เป็นเอกสารที่สงวนไว้สำหรับการใช้ส่วนตัวเพื่อการศึกษาเท่านั้น ไม่อนุญาตให้นำไปใช้ประโยชน์ด้านการค้า ไม่ว่ากรณีใดๆทั้งสิ้น อีกทั้งห้ามมิให้ตัดแปลงเนื้อหา และต้องอ้างอิงถึงเจ้าของเอกสารทุกครั้งที่มีการนำไปใช้

จากนั้นศึกษา component ของ terminal current ตามแกนของ direct-axis แล้วนำไปคำนวณหา voltage behind quadrature-axis synchronous reactance

$$\begin{aligned} E_q &= E_f + (x_q - x_d') I_d \\ E_s &= E_s + (x_s - x_d') I_d \end{aligned} \quad (4.15)$$

ค่าของ machine air-gap power หาจาก

$$\begin{aligned} P - jQ &= I_s E_s^* \\ P - jQ &= I_s E_s^* \\ P &= \text{Re} (I_s E_s^*) \\ P &= \text{Re} (I_s E_q^*) \end{aligned} \quad (4.16)$$

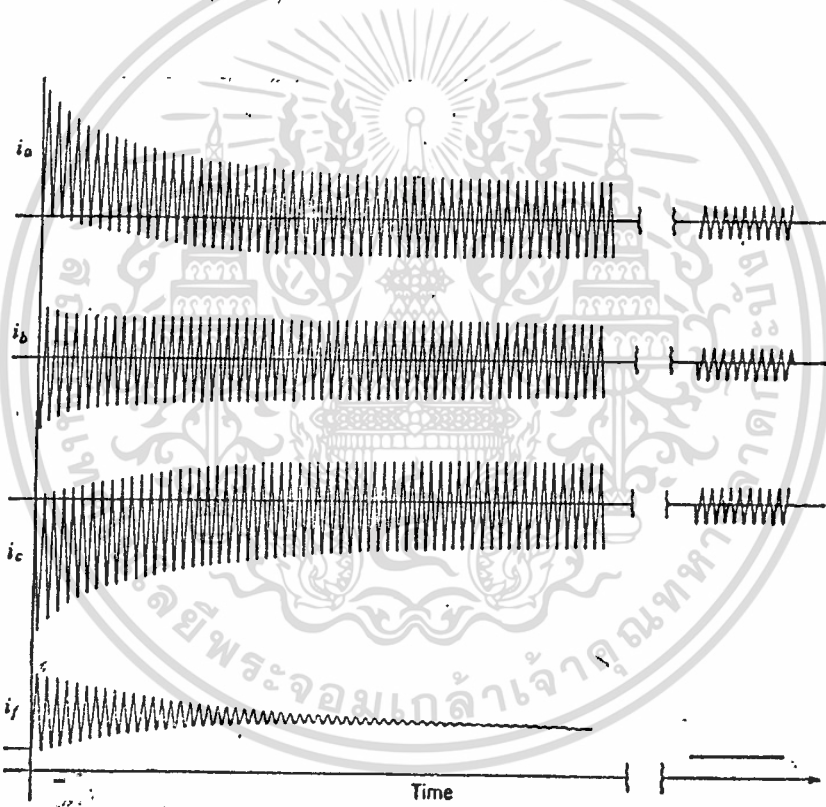
ซึ่งจะนำไปแก้สมการ differential ต่อไป

การนำผลของ Subtransient Resotance มาร่วมพิจารณาในการคำนวณ สำหรับผลของ Subtransient Resotance นั้น สามารถพิจารณาได้จากออสซิลโลแกรม ของกระแสลัดวงจรอย่างทันทีทันใดในระบบ 3 เฟส.

จากรูป (4.6) แสดงการลัดวงจรของ เครื่องกำเนิดไฟฟ้าซึ่งโคโรน่า , กระแสอาร์.เน.เจอร์ ทั้ง 3 เฟส i_a, i_b, i_c ; กระแสผิดพลาด i_f .

รูป 4.6

i_a, i_b, i_c i_f



เอกสารนี้เป็นเอกสารที่สงวนไว้สำหรับการใช้งานเพื่อการศึกษาเท่านั้น ไม่อนุญาตให้นำไปใช้ประโยชน์ด้านการค้า ไม่ว่าจะกรณีใดๆทั้งสิ้น อีกทั้งห้ามมิให้ดัดแปลงเนื้อหา และต้องอ้างอิงถึงเจ้าของเอกสารทุกครั้งที่มีการนำไปใช้

ค่าอินทิกรัลของกระแสไฟฟ้า

กระแสอาร์.ม.จอร์ ในแต่ละ, นสประกอบด้วยส่วนสมมาตรหรือส่วน, นารสแลสลบและส่วนที่ไม่สมมาตรหรือส่วนกระแสตรง.

ส่วนประกอบไฟกระแสสลบนั้นมีลักษณะเหมือนกันทั้ง 3 เฟส , มีลักษณะเป็นคลื่นซายันที่ถูกล้อมเป็นทางเดินของส่วนประกอบไฟกระแสตรงและมีเฟสห่างกัน 120 องศา. ส่วนประกอบของไฟกระแสตรงมีค่าสูงสุดขณะเกิดลัดวงจรทันทีทันใด, และจะลดลงในที่สุดเป็นค่า I_{sc} (sustained value). ถ้านำ I_{sc} มาลบออกจากส่วน, ไฟกระแสสลบ , ส่วนที่เหลือจะประกอบด้วย 2 คอมโพเนนต์คือ transient component I' ด้วยค่า time constant T'_d และส่วน subtransient I'' ซึ่งมีระยะเวลาที่สั้นมากด้วย time constant T''_d ดังนั้น amplitude ของ a.c. component สามารถกำหนดโดยฟังก์ชันของเวลาดังนี้

$$I_{sc} = I_{sc} + I'_d \exp(-t/T'_d) + I''_d \exp(-t/T''_d)$$

เมื่อ

$$I_{sc} = E/x_d, \quad I_{sc} + I'_d = E/x'_d, \quad I_{sc} + I'_d + I''_d = E/x''_d$$

E : open circuit voltage of an unsaturated machine or voltage read from the air gap line of a saturate machine

$$I_{sc} = E \left[\frac{1}{x_d} + \left(\frac{1}{x'_d} - \frac{1}{x_d} \right) \exp(-t/T'_d) + \left(\frac{1}{x''_d} + \frac{1}{x'_d} \right) \exp(-t/T''_d) \right]$$

เมื่อ

- I_{sc} : Offset current.
- x'_d : Direct-axis transient reactance.
- x''_d : Direct-axis subtransient reactance.
- T'_d : Direct-axis transient short-circuit time constant.
- T''_d : Direct-axis subtransient time constant.

เอกสารนี้เป็นเอกสารที่สงวนไว้สำหรับการใช้งานเพื่อการศึกษาเท่านั้น ไม่นอนุญาตให้นำไปใช้ประโยชน์ด้านการค้า
ไม่ว่ากรณีใดๆทั้งสิ้น อีกทั้งห้ามมิให้ตัดแปลงเนื้อหา และต้องอ้างอิงถึงเจ้าของเอกสารทุกครั้งที่มีการนำไปใช้

นั่นคือถ้าคิดผลของ subtransient reactance ก็จะต้องนำผลของความล้มพันธ์ข้างต้น มาพิจารณาด้วย ซึ่งแสดงในส่วนของ subroutine xcal

ส่วนประกอบไฟกระแสตรง ของกระแสอาร์เมเจอร์ทั้ง 3 เฟส นั้นมีขนาดต่างกัันทั้งหมด ซึ่งจะมีค่าลดลงแบบเอ็กโปเนนเชียลด้วยค่าเวลาคงที่ที่เหมือนกันเท่ากับ T_a (Armature short circuit time constant) เมื่อส่วนประกอบของไฟกระแสตรงนั้นหาได้จาก

$$I_{dc} = \frac{\sqrt{2} E \cos \alpha \exp(-t/T_a)}{X_d}$$

เมื่อ α คือ Switching angle.

ค่าประสิทธิผลของกระแสอาร์เมเจอร์ซึ่งรวมส่วนประกอบ a-c และ d-c คือ

$$I = \sqrt{I_{ac}^2 + I_{dc}^2}$$

ค่าประสิทธิผลเริ่มต้นที่มากที่สุดที่เป็นไปได้ของกระแสอาร์เมเจอร์ก็คือส่วนกระแส offset ทั้งหมด, ประกอบด้วยส่วนประกอบ a-c คือ

$$I_{d+c} = E/X_d$$

เมื่อ I_{d+c} : A-C offset current.

และส่วนประกอบ D-C คือ

$$I_{dc \max} = \sqrt{3} E \cos \alpha$$

เมื่อ $I_{dc \max}$: D-C offset current.

$$\text{ดังนั้น } I_{o \max} = \sqrt{I_{d+c}^2 + I_{dc \max}^2} = \sqrt{3} E/X_d$$

เอกสารนี้เป็นเอกสารที่สงวนไว้สำหรับการใช้งานเพื่อการศึกษาเท่านั้น ไม่อนุญาตให้นำไปใช้ประโยชน์ด้านการค้า ไม่ว่ากรณีใดๆทั้งสิ้น อีกทั้งห้ามมิให้ดัดแปลงเนื้อหา และต้องอ้างอิงถึงเจ้าของเอกสารทุกครั้งที่มีการนำไปใช้

เมื่อ $I_{o \max}$: ค่าประสิทธิผลเริ่มแรกที่สูงที่สุดที่เป็นไปได้ของกระแสอาร์เมเจอร์
 : Fully Offset Wave.

สำหรับรายละเอียดทั้งหมด ศึกษาได้จากหนังสือ Power System Stability
 vol. 3., Synchronous machine. ผู้เขียน Edward Wilson Kimbark.

สมมุติฐานที่นำมาใช้สำหรับการวิเคราะห์

1. กำลังอินพุตที่ให้แก่เครื่องจักรแต่ละตัว มีค่าคงที่ตลอดการคำนวณทั้งหมด
2. ไม่คิด Damping Power
3. เครื่องจักรแต่ละตัวถูกแทนด้วยค่า Transient Reactance ต่อนุกรมแม่แรงต้นภายในสภาวะ Transient
4. มุมทางกลของโรเตอร์ของเครื่องจักรแต่ละตัวที่สัมพันธ์กับมุมทางไฟฟ้าของแรงต้นภายในสภาวะ Transient
5. โหลดทั้งหมดถูกพิจารณาเหมือนเป็นอิมพีแดนซ์ต่อไปยังกราวด์ โดยกำหนดค่าขึ้นในสภาวะเงื่อนไขก่อนเกิดสภาวะ Transient

บทที่ 5

Numerical method for solving differential equations

การหาผลลัพธ์ของสมการดิฟเฟอเรนเชียลโดยวิธีทาง numerical นั้นทำได้หลายวิธีคือ

Euler's Method

The Modified Euler Method

The Runge-Kutta Method

ในการหาคำตอบของ swing equation ของวิทยานิพนธ์นี้ใช้ Modified - Euler method ที่จะกล่าวถึงในรายละเอียดดังนี้

Modified Euler method

ก่อนที่จะศึกษาถึงวิธี modified Euler เราจะต้องเข้าใจวิธี Euler' method ก่อน คือ ถ้าเรามีสมการ first-order differential equation

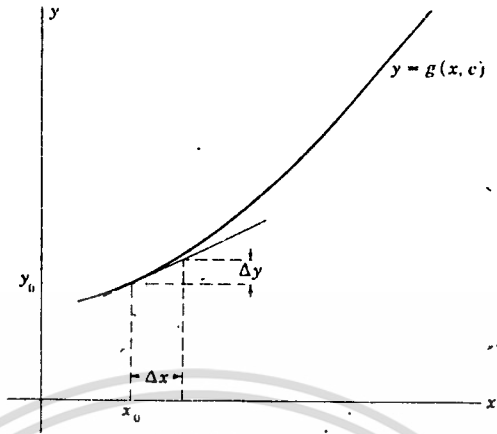
$$\frac{dy}{dx} = f(x,y) \tag{5.1}$$

โดย x เป็นตัวแปรอิสระและ y เป็นตัวแปรตาม เราจะได้คำตอบของสมการแรกในรูป

$$y = g(x,c) \tag{5.2}$$

โดยค่า c เป็นค่าคงที่จากการพิจารณาเงื่อนไขเริ่มต้นของสมการ กราฟของสมการที่ได้แสดงดังรูป 5.

เอกสารนี้เป็นเอกสารที่สงวนไว้สำหรับการใช้งานเพื่อการศึกษาเท่านั้น ไม่อนุญาตให้นำไปใช้ประโยชน์ด้านการค้า
ไม่ว่ากรณีใดๆทั้งสิ้น อีกทั้งห้ามมิให้ดัดแปลงเนื้อหา และต้องอ้างอิงถึงเจ้าของเอกสารทุกครั้งที่มีการนำไปใช้



รูปที่ 5.1 กราฟแสดงฟังก์ชันของผลลัพธ์ของสมการดิฟเฟอเรนเชียล

จะเห็นว่าการฟเป็นแบบ smooth curve ซึ่งเราแบ่งเป็นส่วนย่อยๆ ได้คือ Δx โดยเราประมาณว่าเป็นเส้นตรงเริ่มที่จุด (x_0, y_0) บน curve เราจะได้

$$\Delta y \approx \left. \frac{dy}{dx} \right|_{x_0} \Delta x \quad (5.3)$$

ค่า dy/dx คือค่าความชันของ curve นี้ที่จุด (x_0, y_0) หาได้จากการแทนค่า x_0 และ y_0 ลงในสมการ (1) ค่า y ใหม่ จึงได้จากการรวมค่าของ y โดยค่า x เป็นส่วนย่อยๆ ที่เราเลือกเพื่อแบ่งเส้นกราฟออกเท่าๆกัน ให้ $\Delta x = h$

$$y_1 = y_0 + \Delta y \quad (5.4)$$

$$y_1 = y_0 + \left. \frac{dy}{dx} \right|_{x_0} h$$

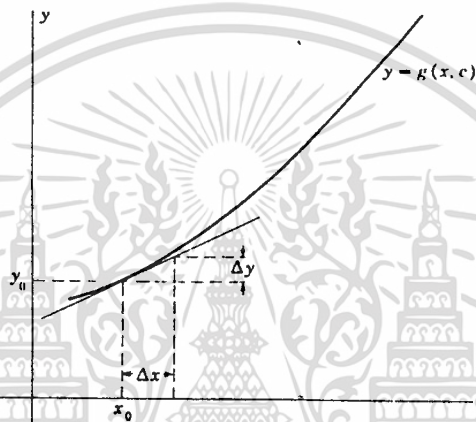
y เป็นค่าที่เพิ่มขึ้นของ Δx เนื่องจากการเพิ่มค่าของ x โดยการซ้ำกับครั้งแรก เราจะได้

$$y_2 = y_1 + \left. \frac{dy}{dx} \right|_{x_1} h \quad (5.5)$$

เอกสารนี้เป็นเอกสารที่สงวนไว้สำหรับการใช้งานเพื่อการศึกษาเท่านั้น ไม่อนุญาตให้นำไปใช้ประโยชน์ด้านการค้า
ไม่ว่ากรณีใดๆทั้งสิ้น อีกทั้งห้ามมิให้ดัดแปลงเนื้อหา และต้องอ้างอิงถึงเจ้าของเอกสารทุกครั้งที่มีการนำไปใช้

$$\left. \frac{dy}{dx} \right|_{(x_1, y_1)} = f(x_1, y_1) \quad (5.6)$$

ทำไปเรื่อยๆจนได้ค่าของ y ตามต้องการ ตัวอย่างรูปที่ 5.2



รูปที่ 5.2 กราฟแสดงค่าประมาณผลลัพท์ของ differential equation by Euler Method

วิธีนี้ค่าที่ได้จะถูกตัดทิ้งเมื่อเราเลือกค่า Δx หรือ h น้อยๆ และเราไม่สามารถกำหนดความละเอียดของคำตอบได้ เราจึงเลือกใช้วิธี modified Euler Method ซึ่งเป็นการพัฒนามาจาก Euler's method

$$x_1 = x_0 + h \quad (5.7)$$

$$y_1^{(0)} = y_0 + \left. \frac{dy}{dx} \right|_0 h \quad (5.8)$$

และใช้ค่า x_1 กับ $y_1^{(0)}$ แทนลงในสมการ (5.1) เพื่อหาค่าโดยประมาณของ $\left. \frac{dy}{dx} \right|_{(1)}$ ในตอนปลายของช่วง

$$\left. \frac{dy}{dx} \right|_{(1)}^{(0)} = f(x_1, y_1^{(0)}) \quad (5.9)$$

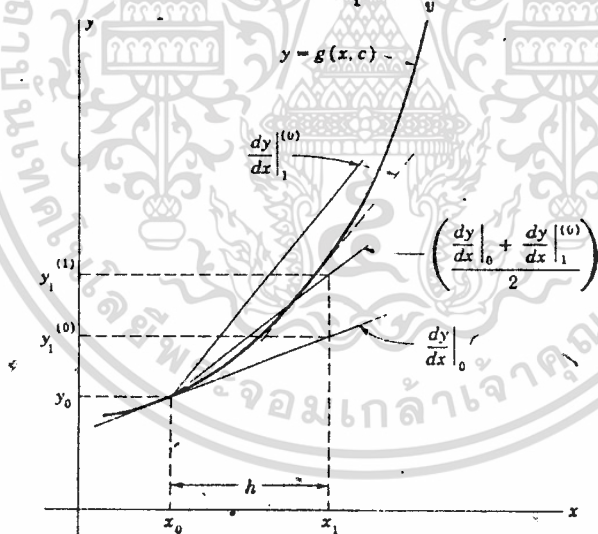
ค่าของ $y_1^{(1)}$ หาได้จากการใช้ค่าเฉลี่ยของ $\left. \frac{dy}{dx} \right|_{(0)}$ กับ $\left. \frac{dy}{dx} \right|_{(1)}^{(0)}$

$$y_1^{(1)} = y_0 + \left(\frac{dy}{dx} \Big|_0 + \frac{dy}{dx} \Big|_1 \right) \frac{h}{2} \quad (5.10)$$

ใช้ค่า x_1 และ $y_1^{(1)}$ หาค่าของ $y_1^{(2)}$ โดยวิธีเดียวกัน

$$y_1^{(2)} = y_0 + \left(\frac{dy}{dx} \Big|_0 + \frac{dy}{dx} \Big|_1 \right) \frac{h}{2} \quad (5.11)$$

หาไปเรื่อยๆจนได้ค่าแตกต่าง $y_1^{(n)} - y_1^{(n-1)}$ มีค่าเท่ากับหรือน้อยกว่าค่า error เราตั้งไว้ หลังจากนั้นจึงทำการหาค่า y_2, y_3, \dots จนถึงค่า y ที่เราต้องการ โดยวิธีเดียวกัน ตัวอย่างการหาค่า y_1 ดังรูปที่ 5.3



รูปที่ 5.3 กราฟแสดงค่าประมาณผลลัพท์ของ differential equation โดย Modified Euler Method

วิธี modified Euler method มีข้อดีคือ เราสามารถเลือกค่าความละเอียดถูกต้องของค่า y ได้โดยเซตค่า tolerance เมื่อค่า x มีค่าคงที่และมีค่าไม่น้อยพอ

หลังจากที่ทราบถึง numerical technique ในการแก้สมการ second order differential แล้ว เมื่อนำมาใช้กับกรณีของ machine equation ซึ่งในที่นี้จะกล่าวถึง

เฉพาะ modified Euler method จะได้ข้อสรุปในการคำนวณดังนี้ใช้ประโยชน์ด้านการค้า

ไม่ว่ากรณีใดๆทั้งสิ้น อีกทั้งห้ามมิให้คัดแปลงเนื้อหา และต้องอ้างอิงถึงเจ้าของเอกสารทุกครั้งที่มีการนำไปใช้

การคำนวณค่าเริ่มต้นของ internal voltage angles และ machine speeds ที่เวลา $t+\Delta t$ คือ

$$\lambda_{(t+\Delta t)}^{(0)} = \lambda_{(t)}^{(1)} + \left. \frac{d\lambda}{dt} \right|_{(t)} \Delta t \quad (5.12)$$

$$w_{(t+\Delta t)}^{(0)} = w_{(t)}^{(1)} + \left. \frac{dw}{dt} \right|_{(t)} \Delta t \quad (5.13)$$

โดยที่

$$\left. \frac{d\lambda}{dt} \right|_{(t)} = w_{(t)}^{(1)} - 2rf \quad (5.14)$$

$$\left. \frac{dw}{dt} \right|_{(t)} = \frac{rf}{H} (p_m - p_e) \quad (5.15)$$

การคำนวณค่า second estimates ของ initial voltage, angle, machine speed

$$\lambda_{(t+\Delta t)}^{(1)} = \lambda_{(t)}^{(0)} + \left[\left. \frac{d\lambda}{dt} \right|_{(t)} + \left. \frac{d\lambda}{dt} \right|_{(t+\Delta t)} \right] \frac{\Delta t}{2} \quad (5.16)$$

$$w_{(t+\Delta t)}^{(1)} = w_{(t)}^{(0)} + \left[\left. \frac{dw}{dt} \right|_{(t)} + \left. \frac{dw}{dt} \right|_{(t+\Delta t)} \right] \frac{\Delta t}{2} \quad (5.17)$$

โดยที่

$$\left. \frac{d\lambda}{dt} \right|_{(t+\Delta t)} = w_{(t+\Delta t)}^{(0)} - 2rf \quad (5.18)$$

$$\left. \frac{dw}{dt} \right|_{(t+\Delta t)} = \frac{rf}{H} (p_m - p_e)_{(t+\Delta t)}^{(0)} \quad (5.19)$$

เอกสารนี้เป็นเอกสารที่สงวนไว้สำหรับการใช้งานเพื่อการศึกษาเท่านั้น ไม่อนุญาตให้นำไปใช้ประโยชน์ด้านการค้า
ไม่ว่าและเมื่อไหร่ก็ตามที่ค่ามีขีดสุดได้แล้วนำมาพล็อตเป็นถึงพีเพอชเชนของทุกเพื่อทำการวิเคราะห์ต่อไป

บทที่ 6

Factors Affecting Transient Stability

ปัจจัยที่เป็นสิ่งแสดงถึงข้อจำกัดของเสถียรภาพระบบคือ

1. การแกว่งของมุมกำลังในช่วงระหว่างและหลังสภาวะ fault
2. critical clearing time

ส่วนค่าพารามิเตอร์ที่มีผลต่อข้อจำกัดทั้ง 2 ข้างบนคือ

1. transient reactance (x_d')
2. inertia constant (H)

- สรุป
1. ถ้า H น้อยมุมการแกว่งในระหว่างช่วงเวลาที่ใดๆจะใหญ่มาก
 2. ถ้า x_d' มากขึ้น P_{max} จะลดลงและเมื่อพิจารณารูปข้างล่าง เมื่อ P_{max} ลดลง ซึ่ง P_m คงที่

ค่ามุมการทำงานของโรเตอร์ δ ก็จะเพิ่มขึ้น P_{max} จะลดลง ผลก็คือ ค่า P_{max} ที่ลดลงไปจะทำให้เครื่องจักรแกว่งไปจากมุมเริ่มต้นการทำงานเป็นมุมที่เล็กลงกว่ามุมเดิมก่อนที่การแกว่งจะถึงค่ามวมวิกฤต

ดังนั้น สรุปได้ว่า ค่า H ที่ต่ำการเพิ่มขึ้นของ x_d' จะทำให้ t_{cc} ลดลง และทำให้ความน่าจะเป็นในการรักษาเสถียรภาพของระบบลดลง

เทคนิคการควบคุมเสถียรภาพของระบบและการออกแบบระบบสายส่งจะมีส่วนเกี่ยวข้องในการเพิ่มเสถียรภาพทั้งหมดของระบบ.

รูปแบบของระบบคอนโทรลและการออกแบบสายส่งประกอบด้วย

1. excitation systems ทำหน้าที่ ลดการลวิงของมุมเริ่มต้นของโรเตอร์หลังจากที่เกิด fault ขึ้นมาโดยการตรวจจับจากการลดลงของแรงดันมีลักษณะที่เกิด fault โดยใช้ automatic voltage regulator. หลักการหาระบบการกระตุ้น คือ การเพิ่มแรงดันจ่ายให้กับขดลวดของเครื่องจักร การเพิ่มขึ้นของฟลักซ์ในช่องอากาศจะสร้างผลให้เกิดแรงบิดต้านการหมุนบนตัวโรเตอร์ทำให้การเคลื่อนที่ของมันช้าลง.

2. turbine valve control ความสามารถในการปิดเทอร์ไบด์วาล์วอย่างรวดเร็วเพื่อลดความแรงของเครื่องจักรแต่ละตัวในระหว่างระบบเกิด fault เพื่อเป็นการลดกำลังอินพุทที่ให้แกeturbine.

3. minimum system reactance การลดค่า reactance ระบบลงจะมีผลให้เพิ่ม r, P_{max} เป็นการลดพื้นที่แรงของรูป 14.11

4. single pole operation of circuit breaker การจักระบบป้องกันในส่วนของ CB และ ระบบ relay ทำการป้องกันโดยเป็นอิสระ และสามารถที่จะเลือกทำงานได้ตามชนิดของลักษณะและตำแหน่งที่เกิดฟอลท์.

5. addition transmission line โดยการเพิ่มขึ้นของจำนวนสายขนานระหว่าง 2 จุดใดๆ เป็นการลดค่า reactance ของสายลง ซึ่งจะเป็นอีกทางหนึ่งที่จะเพิ่มค่า P_{max} ขึ้นไปในช่วง postfault.

6. series capacitor compensation of line โดยการชดเชยค่า reactance ของสายโดยใช้ตัวเก็บประจุอนุกรมเข้าไป ซึ่งเป็นการประหยัด สำหรับการเพิ่มเสถียรภาพของระบบ ค่าความเก็บประจุจะมีผลไปเพิ่ม Postfault transient power ไปยังที่ระดับเดียวกับกับค่ากำลังไฟฟ้าที่เกิดขึ้นในสภาวะ prefault.

7. faster fault clearing angle ระบบอุปกรณ์ป้องกันทำการเคลียร์ฟอลต์ด้วยความเร็วสูงเพื่อที่จะทำให้ฟอลต์หายไปจากระบบเร็วที่สุด.

8. breaking Resister ใส่เข้าไปเพื่อลดความเร่งเชิงมุมของโรเตอร์ในขณะที่เกิดฟอลต์.

9. increased inertia โดยการเพิ่มค่า inertia เข้าไปใน flywheels ที่แยกออกมาเพื่อทำให้ความเร็วลดลงจะทำให้เราสามารถทำงานด้วยเวลาการรีโคลล์สายด์ที่ยาวนานขึ้นได้อีกแต่ไม่เหมาะสมในเรื่องของราคาแพง.

ผลการทดสอบในส่วนโปรแกรม EQUAL AREA CRITERION

1. พิจารณาหา critical clearing time ของ machine ทั้งสองตัวปรากฏว่าให้ผลของ t_{cr} ใกล้เคียงกับตอนหาโดยใช้ swing curve
2. จากผลการคำนวณพบว่า Acceleration Area = Deceleration Area จึงพิสูจน์ให้เห็นว่า Equal Area Criterion เป็นจริงในทางปฏิบัติ
3. ข้อจำกัดของ Equal Area Criterion คือสามารถใช้ได้สำหรับกรณีระบบเป็นแบบที่ประกอบด้วย machine 2 ตัวหรือ machine 1 ตัวกับ infinite bus เท่านั้นไม่สามารถใช้ในระบบ multimachine ได้ซึ่งต้องใช้การพิจารณาที่ swing curve แทน

ตัวอย่างที่ทำการแสดงเป็นรูป swing curve

FAULT TYPE 0 พิจารณาเกิด 3φ fault ที่บัส 2 ที่เวลา 0.04 วินาที clear ที่ 0.28 วินาที ผลคือไม่ loss synchronise (020002140040) และ clear ที่ 0.30 วินาที ผลคือ 1. synchronise (020002150040)

FAULT TYPE 1 พิจารณาเกิด 3φ fault ที่บัส 1 และบัส 2 ที่เวลา 0.04 วินาที พร้อมกัน clear บัส 1 ที่เวลา 0.32 วินาที, clear บัส 2 ที่เวลา 0.38 วินาที ผลคือไม่ loss synchronise
clear บัส 1 ที่เวลา 0.4 วินาที, clear บัส 2 ที่เวลา 0.48 วินาที ผลคือ loss synchronise
clear บัส 1 ที่เวลา 0.08 วินาที, clear บัส 2 ที่เวลา 0.23 วินาที ผลคือไม่ loss synchronise
clear บัส 1 ที่เวลา 0.08 วินาที, clear บัส 2 ที่เวลา 0.30 วินาที ผลคือ loss synchronise

FAULT TYPE 2 พิจารณาเกิด 3φ fault ที่บัส 2 เวลา 0.04 วินาที แล้วเกิดที่บัส 1 เวลา 0.10 วินาที clear fault ที่บัส 2 เวลา 0.28 วินาที
clear บัส 1 ที่เวลา 0.26 วินาที ผลคือไม่ loss synchronise
clear บัส 1 ที่เวลา 0.28 วินาที ผลคือไม่ loss synchronise แต่ไม่ได้
clear บัส 1 ที่เวลา 0.30 วินาที ผลคือ loss synchronise

FAULT TYPE 3 พิจารณาเกิด 3φ fault ที่ปลายสายส่งที่ต่อระหว่างบัส 3 กับบัส 1 clear ที่เวลา 0.40 วินาที ผลคือไม่ loss synchronise
clear ที่เวลา 0.42 วินาที ผลคือ loss synchronise

FAULT TYPE 4 - พิจารณาเกิด 3φ fault ที่ปลายสายส่งที่ต่อระหว่างบัส 2 และบัส 3 พร้อมกัน ขณะเดียวกันก็เกิดที่ปลายสายส่งระหว่างบัส 1 และบัส 3 ที่เวลา 0.28 วินาที
clear เส้นแรกที่ 0.33 วินาที, เส้นหลังที่ 0.36 วินาที ผลคือไม่ loss synchronise
clear เส้นแรกที่ 0.39 วินาที, เส้นหลังที่ 0.39 วินาที ผลคือไม่ loss synchronise

เอกสารนี้เป็นเอกสารที่สงวนลิขสิทธิ์ของงานเพื่อการศึกษาเท่านั้น ไม่อนุญาตให้นำไปใช้ประโยชน์ด้านการค้า
ไม่ว่ากรณีใดๆทั้งสิ้น อีกทั้งขอตัดต้นแรกๆที่ 0.30 วินาที และต้องอ้างอิงถึงเส้นหลังที่ 0.30 วินาที ผลคือ loss

synchronise

- FAULT TYPE 5** - พิจารณาเกิด 3φ fault ที่ปลายสายส่งที่ตอระหนาบัส 1, บัส 1 ที่ 0.04 วินาที แล้วจึงเกิดที่ปลายสายส่งระหว่างบัส 1, บัส 2
- fault ที่สายส่งเส้นหลังเกิดที่ 0.20 วินาที
 - clear ที่สายส่งเส้นแรกที่ 0.22 วินาที
 - clear ที่สายส่งเส้นหลังที่ 0.30 วินาที ผลคือ ไม่ loss synchronise
 - fault ที่สายส่งเส้นหลังเกิดที่ 0.22 วินาที
 - clear ที่สายส่งเส้นแรกที่ 0.24 วินาที
 - clear ที่สายส่งเส้นหลังที่ 0.30 วินาที ผลคือ loss synchronise

FAULT TYPE 0 เป็นกรณีทดสอบ 3φ fault ที่เกิดที่บัส 1 แล้วจึงทำการ clear fault ที่เวลาถัดมาเพื่อหา Critical Clearing Time ของ Generator ที่มี Inertia Constant ต่ำกว่า ซึ่งต่อที่บัส

ผลการทดสอบ

1. พิจารณาให้เกิด Fault ที่บัส 1, ที่เวลา 0.4 วินาที
 - ทำการ clear ที่ 0.34 วินาที Generator ที่ต่อที่บัส 1 สามารถรักษาสถานะซึ่งโครนัสไว้ได้
 - ทำการ clear ที่ 0.36 วินาที Generator ที่ต่อที่บัส 2 ไม่สามารถรักษาสถานะซึ่งโครนัสไว้ได้
 - ฉะนั้น Critical Clearing Time ของ Generator ที่ต่อที่บัส 1 อยู่ระหว่าง 0.34-0.36 วินาที
2. พิจารณาให้เกิด Fault ที่บัส 2, ที่เวลา 0.4 วินาที
 - ทำการ clear ที่ 0.28 วินาที Generator ที่ต่อที่บัส 1 สามารถรักษาสถานะซึ่งโครนัสไว้ได้
 - ทำการ clear ที่ 0.30 วินาที Generator ที่ต่อที่บัส 2 ไม่สามารถรักษาสถานะซึ่งโครนัสไว้ได้
 - ฉะนั้น Critical Clearing Time ของ Generator ที่ต่อที่บัส 2 อยู่ระหว่าง 0.28-0.30 วินาที
3. พิจารณาให้เกิด Fault ที่บัส 3, ที่เวลา 0.4 วินาที
 - ทำการ clear ที่ 0.44 วินาที Generator ที่ต่อที่บัส 2 สามารถรักษาสถานะซึ่งโครนัสไว้ได้

เอกสารนี้เป็นเอกสารที่สงวนลิขสิทธิ์การดำเนินงานเพื่อการศึกษาค้นคว้าเท่านั้น เมื่อผู้ยืมได้เห็นว่าไม่เหมาะสมหรือขอคืนเอกสารนี้
ไม่ว่ากรณีใดๆทั้งสิ้น อีกทั้งยังไม่สามารถนำเอกสารนี้ไปเผยแพร่และต้องอ้างอิงถึงเจ้าของเอกสารทุกครั้งที่มีการนำไปใช้

-ทำการ clear ที่ 0.46 วินาที Generator ที่ต่อบัส 2 ไม่สามารถรักษาสภาพะซึ่งโครนส์ไว้ได้
ฉะนั้น Critical Clearing Time ของ Generator ตัวนี้อยู่ระหว่าง 0.44-0.45 วินาที

สรุป

Fault จะมีผลต่อ Generator ที่มีค่า Inertia Constant ต่ำที่สุด แม้ว่าการ clear fault จะไม่ได้เกิดที่บัสที่มี Generator ที่มีค่า Inertia Constant ต่ำที่สุดก็ตาม ผลของ Fault ก็สามารถส่งไปยัง Generator ตัวที่มีค่า inertia constant ต่ำที่สุด และค่า Critical Clearing Time ของ Generator ที่บัส 2 ก็ไม่แตกต่างกันมากนักกับ Fault ที่เกิดขึ้นด้วย เกิดที่บัสใด

FAULT TYPE 1

เป็นการแยกสายส่งให้เปิด ซึ่งเป็นการเปิดที่บัส 2 ไม่แบ่งแรงดัน ดังนั้น Fault หลังจากนั้นที่บัส 2 จะไม่มีการไหลของกำลังไฟฟ้าลงมายัง bus 1 ในรูปของ fault ที่ต่อที่บัสที่ 2 ซึ่งเป็น generator ตัวที่มีค่า inertia constant ต่ำกว่าของ bus 1 หรือ bus 2

1. ให้เกิด fault ที่บัสที่ 1 และบัสที่ 2 พร้อมกัน

กรณีที่ 1

ให้เวลา clear fault ของ generator ตัวแรกเท่ากับเวลา clear fault ของ generator ตัวหลัง

ผลการทดสอบ

ให้เวลาที่เกิด fault เกิดที่ 0.04 วินาที

- 1. $t_{c1} = t_{c2} = 0.28$ วินาที, generator ที่ต่อที่บัส 2 สามารถรักษาสภาพะซึ่งโครนส์ไว้ได้
- 2. $t_{c1} = t_{c2} = 0.30$ วินาที, generator ที่ต่อที่บัสที่ 2 ไม่สามารถรักษาสภาพะซึ่งโครนส์ไว้ได้

ฉะนั้น critical clearing time ของ generator ที่ต่อที่บัสที่ 2 มีค่าระหว่าง 0.28-0.30 วินาที

กรณีที่ 2

ให้เวลา clear fault ของ generator ตัวแรกและ generator ตัวหลังไม่เท่ากัน

ผลการทดสอบ

ให้เวลาที่เกิด fault เกิดที่ 0.04 วินาที

- 1. $t_{c1} = 0.28$ วินาที, $t_{c2} = 0.30$ วินาที, generator ที่ต่อที่บัสที่ 2 ไม่สามารถรักษาสภาพะซึ่งโครนส์ไว้ได้

เอกสารนี้เป็นเอกสารที่สงวนไว้สำหรับใช้ในการเรียนการสอนเท่านั้น ไม่อนุญาตให้นำไปใช้ประโยชน์ในการค้าไม่ว่ากรณีใดๆทั้งสิ้น มิฉะนั้นจะถือว่าผิดกฎหมายและจะแจ้งเจ้าของเอกสารทุกครั้งที่มีการนำไปใช้

3. $t_{c1} = 0.34$ วินาที, $t_{c2} = 0.00$ วินาที, generator ที่ต่อที่บัสที่ 2 ไม่สามารถรักษาสภาวะเชิงโคโรนัสได้
4. $t_{c1} = 0.08$ วินาที, $t_{c2} = 0.20$ วินาที, generator ที่ต่อที่บัสที่ 2 สามารถรักษาสภาวะเชิงโคโรนัสได้
5. $t_{c1} = 0.08$ วินาที, $t_{c2} = 0.30$ วินาที, generator ที่ต่อที่บัสที่ 2 ไม่สามารถรักษาสภาวะเชิงโคโรนัสได้

2. ให้เกิด fault ที่บัสที่ 1 และบัสที่ 3 พร้อมกัน บัสที่ 1 ไม่มี generator (ล้อยู่)

กรณีที่ 1

ให้เวลา clear fault ของ generator ตัวแรกและ generator ตัวหลังเท่ากัน

ผลการทดลอง

ให้เวลาที่เกิด fault เกิดที่ 0.04 วินาที

1. $t_{c1} = t_{c2} = 0.32$ วินาที, generator ที่ต่อที่บัสที่ 2 สามารถรักษาสภาวะเชิงโคโรนัสได้
2. $t_{c1} = t_{c2} = 0.34$ วินาที, generator ที่ต่อที่บัสที่ 2 ไม่สามารถรักษาสภาวะเชิงโคโรนัสได้
และนั้น critical clearing time ของ generator ที่ต่อที่บัสที่ 2 มีค่าระหว่าง 0.30-0.34 วินาที

กรณีที่ 2

ให้เวลา clear fault ของ generator ตัวแรกและ generator ตัวหลังไม่เท่ากัน

ผลการทดลอง

ให้เวลาที่เกิด fault เกิดที่ 0.04 วินาที

1. $t_{c1} = 0.08$ วินาที, $t_{c2} = 0.44$ วินาที, generator ที่ต่อที่บัส 2 สามารถรักษาเสถียรภาพไว้ได้
2. $t_{c1} = 0.08$ วินาที, $t_{c2} = 0.46$ วินาที, generator ที่ต่อที่บัส 2 ไม่สามารถรักษาเสถียรภาพไว้ได้
3. $t_{c1} = 0.34$ วินาที, $t_{c2} = 0.08$ วินาที, generator ที่ต่อที่บัส 2 สามารถรักษาเสถียรภาพไว้ได้
4. $t_{c1} = 0.36$ วินาที, $t_{c2} = 0.08$ วินาที, generator ที่ต่อที่บัส 2 ไม่สามารถรักษาเสถียรภาพไว้ได้

สรุป

ผลของ fault ที่เกิดขึ้นแม้ว่าจะไม่ได้เกิดขึ้นที่บัสที่ generator ตัวที่มีค่า inertia constant ต่ำกว่าก็ตาม แต่ผลของ fault ก็จะไปมีผลกับ

เอกสารนี้เป็นเอกสารที่สงวนไว้เพื่อการศึกษาเท่านั้น ไม่ควรนำข้อมูลไปใช้ประโยชน์ด้านธุรกิจ
ไม่ว่ากรณีใดๆทั้งสิ้น อีกทั้ง generator ที่มี inertia constant ต่ำกว่าในช่วงเวลาที่น้อยกว่า

critical clearing time ของมันก็ตาม แต่ผลของการ clear ของ generator ตัวที่มี inertia constant สูงนั้นเข้าไป ตัว generator ที่มี inertia constant ต่ำกว่า ก็จะไม่สามารถรักษาสภาวะซึ่งโครนัสไว้

FAULT TYPE 3

เป็นกรณีที่เกิดสอลาวารเกิด 3φ FAULT ที่ปลาย ขล ขสายเส้นเดี่ยวแฉะทำการ clear fault เพื่อหาช่วง critical clearing time ของ generator ตัวที่ 2 ซึ่งมี inertia constant ต่ำกว่า ของ generator ที่ต่อที่บัส 1

ผลการทดสอบ

1. การทดสอบให้เกิด 3 φ fault ที่ปลายสายส่งที่ต่อระหว่างบัสที่ 2 และบัสที่ 3 $t_{cr} = 0.04$ วินาที, $t_c = 0.24$ วินาที, generator ตัวที่ต่อกับบัสที่ 2 ไม่สูญเสียสภาวะซึ่งโครนัส

$t_{cr} = 0.04$ วินาที, $t_c = 0.24$ วินาที, generator ตัวที่ต่อกับบัสที่ 2 สูญเสียสภาวะซึ่งโครนัส ฉะนั้น critical clearing time ของ generator ที่ต่อกับบัสที่ 2 มีค่าระหว่าง 0.24 วินาที

2. การทดสอบให้เกิด 3φ fault ที่ปลายสายส่งที่ต่อระหว่างบัสที่ 3 และบัสที่ 1 $t_{cr} = 0.04$ วินาที, $t_c = 0.40$ วินาที, generator ตัวที่ต่อกับบัสที่ 2 ไม่สูญเสียสภาวะซึ่งโครนัส

$t_{cr} = 0.04$ วินาที, $t_c = 0.42$ วินาที, generator ตัวที่ต่อกับบัสที่ 2 สูญเสียสภาวะซึ่งโครนัส ฉะนั้น critical clearing time ของ generator ที่ต่อกับบัสที่ 2 มีค่าระหว่าง 0.40-0.42 วินาที

4. การทดสอบให้เกิด 3φ fault ที่ปลายสายส่งที่ต่อระหว่างบัสที่ 1 และบัสที่ 3 $t_{cr} = 0.04$ วินาที, $t_c = 0.30$ วินาที, generator ตัวที่ต่อกับบัสที่ 2 ไม่สูญเสียสภาวะซึ่งโครนัส

$t_{cr} = 0.04$ วินาที, $t_c = 0.32$ วินาที, generator ตัวที่ต่อกับบัสที่ 2 สูญเสียสภาวะซึ่งโครนัส ฉะนั้น critical clearing time ของ generator ที่ต่อกับบัสที่ 2 มีค่าระหว่าง 0.30-0.32 วินาที

5. การทดสอบให้เกิด 3φ fault ที่ปลายสายส่งที่ต่อระหว่างบัสที่ 1 และบัสที่ 3 $t_{cr} = 0.04$ วินาที, $t_c = 0.30$ วินาที, generator ตัวที่ต่อกับบัสที่ 2 ไม่สูญเสียสภาวะซึ่งโครนัส

$t_{cr} = 0.04$ วินาที, $t_c = 0.32$ วินาที, generator ตัวที่ต่อกับบัสที่ 2 สูญเสียสภาวะซึ่งโครนัส

เอกสารนี้เป็นเอกสารที่สงวนไว้สำหรับการใช้งานเพื่อการศึกษาเท่านั้น ไม่อนุญาตให้นำไปใช้ประโยชน์ด้านการค้า ไม่ว่ากรณีใดๆทั้งสิ้น อีกทั้งห้ามทำคัดลอกเผยแพร่โดยไม่ได้รับอนุญาตจากเจ้าของเอกสารทุกครั้งที่มีการนำไปใช้

ฉะนั้น critical clearing time ของ generator ที่ต่อที่บัลลิต 2 มีค่าระหว่าง 0.30-0.32 วินาที

สรุป

fault ที่เกิดขึ้นจะมีผลต่อ generator ที่มีค่า inertia constant ต่ำมากกว่า ที่มี inertia constant สูง แม้ว่า fault จะไม่เกิดที่ปลายสายของสายส่งที่ต่อกับ generator ที่มีค่า inertia constant ต่ำก็ตาม แต่ว่าผลของ fault ก็สามารถที่จะส่งผลมาถึง generator ตัวนี้ได้

FAULT TYPE 4

เป็นกรณีทดสอบการเกิด 3φ fault ที่ปลายสายส่ง 2 เส้นที่เวลาเดียวกันและอาจทำการ clear fault ที่เวลาเดียวกันหรือต่างกันได้ โดยพิจารณาแบ่งเป็นกรณีย่อย ๆ ดังนี้

กรณีที่ 1

เวลาการ clear fault ของ generator ทั้ง 2 เกิดที่เวลาเดียวกัน เขียนได้เป็นรูปแบบ



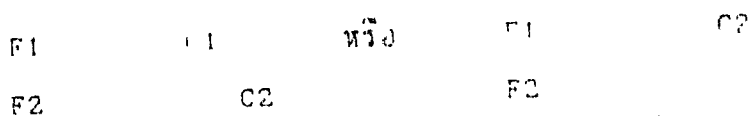
ผลการทดสอบ

1. $F1 = F2 = 0.04$ วินาที , $C1 = C2 = 0.27$ วินาที generator ตัวแรกซึ่งมี inertia constant ต่ำกว่าของ generator ตัวหลัง รักษาสถานะซึ่งโคจรแล้วไว้ได้

2. $F1 = F2 = 0.04$ วินาที , $C1 = C2 = 0.30$ วินาที generator ตัวแรกซึ่งมี inertia constant ต่ำกว่าของ generator ตัวหลัง ไม่สามารถรักษาสถานะซึ่งโคจรแล้วไว้ได้

กรณีที่ 2

เวลาการ clear fault ของ generator ตัวที่สองนั้น clear ก่อนหรือหลังเวลา clear ของ generator ตัวแรกที่เกิด fault ก่อน เขียนได้เป็นรูปแบบ



ผลการทดสอบ

1. $F1 = F2 = 0.04$ วินาที , $C1 = 0.10$ วินาที , $C2 = 0.30$ วินาที

2. $F1 = F2 = 0.04$ วินาที , $C1 = 0.30$ วินาที , $C2 = 0.20$ วินาที

3. $F1 = F2 = 0.04$ วินาที , $C1 = 0.30$ วินาที , $C2 = 0.20$ วินาที

เอกสารนี้เป็นเอกสารที่สงวนไว้สำหรับการใช้งานเพื่อการศึกษาเท่านั้น ไม่อนุญาตให้ไปใช้ประโยชน์ด้านธุรกิจ ไม่ว่ากรณีใดๆทั้งสิ้น อีกทั้งห้ามให้คัดแปลงเนื้อหา และต้องอ้างอิงถึงเจ้าของเอกสารทุกครั้งที่มีการนำเนื้อหาไปใช้

จะได้ generator ตัวแรก ซึ่งมี inertia constant ต่ำกว่าของ generator ตัวหลัง ไม่สามารถรักษาสภาวะเชิงโคจรได้ แสดงว่า critical clearing time ของ generator ตัวแรกน้อยกว่า 0.3 วินาที

2. $F1 = F2 = 0.04$ วินาที, $C1 = 0.26$ วินาที, $C2 = 0.28$ วินาที
generator ตัวแรกซึ่งมี inertia constant ต่ำกว่าของ generator ตัวหลัง ไม่สามารถรักษาสภาวะเชิงโคจรได้

$F1 = F2 = 0.04$ วินาที, $C1 = 0.28$ วินาที, $C2 = 0.26$ วินาที
generator ตัวแรกซึ่งมี inertia constant ต่ำกว่าของ generator ตัวหลัง สามารถรักษาสภาวะเชิงโคจรได้

ฉะนั้น critical clearing time ของ generator ตัวแรกซึ่งมี inertia constant มีค่าระหว่าง 0.28 - 0.30 วินาที และยังคงขึ้นอยู่กับ clearing time ของ generator ตัวหลังด้วย

3. $F1 = F2 = 0.04$ วินาที, $C1 = 0.26$ วินาที, $C2 = 0.30$ วินาที
generator ตัวแรกซึ่งมี inertia constant ต่ำกว่าของ generator ตัวหลัง ไม่สามารถรักษาสภาวะเชิงโคจรได้

$F1 = F2 = 0.04$ วินาที, $C1 = 0.26$ วินาที, $C2 = 0.28$ วินาที
สามารถรักษาสภาวะเชิงโคจรได้
ฉะนั้น critical clearing time ของ generator ตัวแรกซึ่งมี inertia constant มีค่าระหว่าง 0.26 - 0.28 วินาที และยังคงขึ้นอยู่กับ clearing time ของ generator ตัวหลังด้วย

สรุป

กรณีย่อยทั้ง 3 นั้น ค่า critical clearing time ของ generator ตัวแรกซึ่งมี inertia constant ต่ำกว่านั้นจะขึ้นอยู่กับ clearing time ของ generator ตัวหลังซึ่งมี inertia constant สูงกว่าด้วย

FAULT TYPE 5

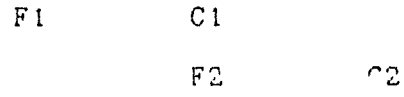
เป็นกรณีที่ทดสอบการเกิด 3φ fault ที่ปลายสายส่ง 2 เส้นที่เวลาต่างกัน และอาจทำการ load fault ที่เวลาเดียวกันหรือต่างกันได้ โดยพิจารณาแบ่งเป็นกรณีย่อยๆ ดังนี้

กรณีที่ 1

เวลาการเกิด fault ของ generator ตัวหลัง (ซึ่งมี inertia constant สูงกว่า) พร้อมกับเวลาที่ clear fault ของ generator ตัว

เอกสารนี้เป็นเอกสารที่สงวนลิขสิทธิ์ไว้ ไม่อนุญาตให้นำไปเผยแพร่โดยไม่ได้รับอนุญาต
ไม่ว่ากรณีใดๆทั้งสิ้น อีกทั้งยังขอสงวนสิทธิ์ในเอกสารทั้งหมดที่นำมาใช้

รูปแบบ



ผลการทดสอบ

1. F1 = 0.04 วินาที, C1 = F2 = 0.22 วินาที, C2 = 0.03 วินาที
generator ตัวแรกซึ่งเกิด fault ขึ้นมาก่อน รักษาสถานะซึ่งโคจรแล้ว
2. F1 = 0.04 วินาที, C1 = F2 = 0.24 วินาที, C2 = 0.03 วินาที
generator ตัวแรกซึ่งเกิด fault ขึ้นมาก่อน จะเสียสถานะซึ่งโคจรไป
และนั้น critical clearing time ของ generator ตัวแรกในกรณีเกิด
fault กรณีนี้ มีค่าระหว่าง 0.23 - 0.24 วินาที

กรณีที่ 2

เวลา t clear fault ของ generator ตัวแรก (ซึ่งมี inertia constant สูงกว่า) และ generator ตัวที่สอง (ซึ่งมี inertia constant ต่ำกว่า) อยู่ที่เวลาเดียวกันเขียนได้เป็นรูปแบบ

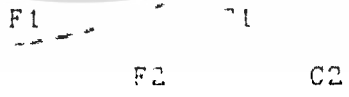


ผลการทดสอบ

1. F1 = 0.04 วินาที, F2 = 0.2 วินาที, C1 = C2 = 0.26 วินาที
generator ตัวแรกซึ่งเกิด fault ขึ้นมาก่อน รักษาสถานะซึ่งโคจรแล้ว
2. F1 = 0.04 วินาที, F2 = 0.2 วินาที, C1 = C2 = 0.26 วินาที
generator ตัวแรกซึ่งเกิด fault ขึ้นมาก่อน จะเสียสถานะซึ่งโคจรไป
และนั้น critical clearing time ของ generator ตัวแรกในกรณีเกิด
fault กรณีนี้ มีค่าระหว่าง 0.24 - 0.26 วินาที

กรณีที่ 3

ช่วงเวลา F2 นั้นทับซ้อนกับ F1 กับ C1 เขียนได้เป็นรูปแบบ



ผลการทดสอบ

1. F1 = 0.04 วินาที, F2 = 0.2 วินาที, C1 = 0.26 วินาที, C2 = 0.3
วินาที generator ตัวแรกซึ่งเกิด fault ขึ้นมาก่อน รักษาสถานะซึ่งโคจร
แล้วไว้ได้
2. F1 = 0.04 วินาที, F2 = 0.22 วินาที, C1 = 0.24 วินาที, C2 = 0.3
วินาที generator ตัวแรกซึ่งเกิด fault ขึ้นมาก่อน จะเสียสถานะซึ่งโคจร
แล้วไป

เอกสารนี้เป็นเอกสารที่สวทช. อนุญาตให้ใช้ฟรีโดยไม่คิดค่าลิขสิทธิ์
และนั้น critical clearing time ของ gen ตัวแรกในกรณีเกิด fault
ไม่ว่ากรณีใดๆทั้งสิ้น อีกทั้งยังมีเหตุผลเบื้องต้น และต้องอ้างอิงถึงเจ้าของเอกสารทุกแห่งที่ปรากฏ

กรณี 4

กรณีนี้ มีค่าอยู่ระหว่าง 0.24 - 0.28 วินาที

เวลาการเกิด fault ของ generator ตัวหลังเกิดขึ้นหลังจากทำการ clear generator ตัวแรกไปแล้วเขียนได้รูปแบบดังนี้

F1

C1

F2

C2

ผลการทดสอบ

1. F1 = 0.02 วินาที, C1 = 0.28 วินาที, F2 = 0.36 วินาที, C2 = 0.5 วินาที generator ตัวแรกซึ่งเกิด fault ขึ้นมาก่อน จะเสียสภาวะซึ่งโคโรนัลไป

2. F1 = 0.02 วินาที, C1 = 0.3 วินาที, F2 = 0.36 วินาที, C2 = 0.5 วินาที generator ตัวแรกซึ่งเกิด fault ขึ้นมาก่อน รักษาสภาวะซึ่งโคโรนัลไว้ได้

ฉะนั้น critical clearing time ของ gen ตัวแรกในกรณีเกิด fault กรณีนี้ มีค่าอยู่ระหว่าง 0.28 - 0.3 วินาที

สรุปผลวิจัย

จากผลการทดสอบหา critical clearing time โดยวิธี trial and error คือทำการพิจารณา swing curve โดย simulate fault ให้เกิดขึ้นแล้วจึงเลื่อนเวลา clear machine จะ lose synchronism และหาโดยใช้วิธีของ equal area criterion นี้ค่า critical clearing time ที่ได้มีค่าใกล้เคียงกันพอยอมรับได้

ส่วนการปรับปรุงในส่วนโปรแกรมนั้นควรมีการปรับปรุงต่อไปนี้

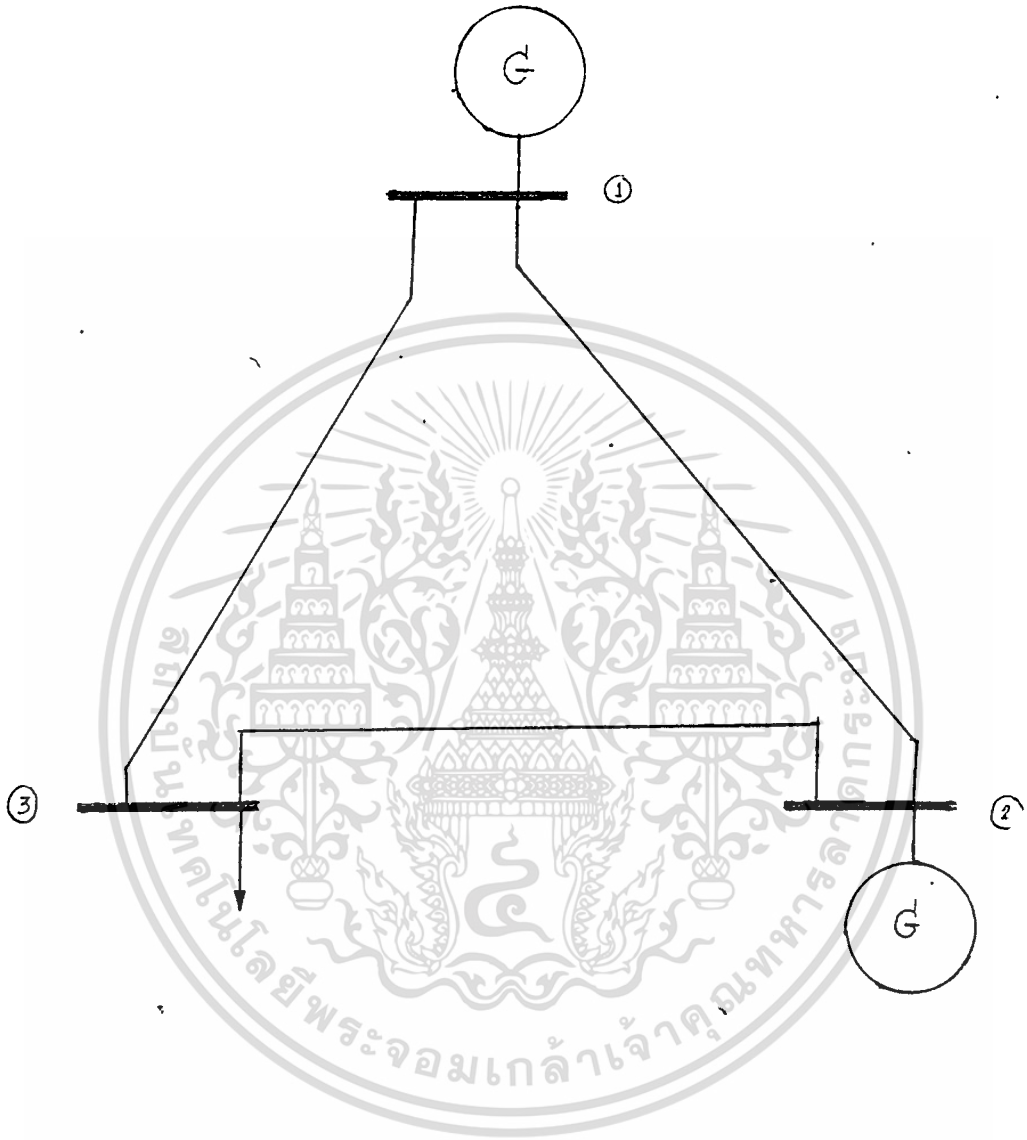
1. ลดช่วง เวลาการ step ของ swing curve ให้ลดลงเพื่อให้ accuracy ของ critical clearing time ดีขึ้น
2. ปรับปรุงการคำนวณในส่วน load flow โดยใช้เทคนิคทางคอมพิวเตอร์ให้มากขึ้น เพื่อการคำนวณที่เร็วและการประหยัดหน่วยความจำ
3. ปรับปรุงในส่วน interactive ระหว่าง user และ computer ให้ดียิ่งขึ้นเพื่อให้สะดวก สวยงามเหมาะสมแก่การใช้งานมากขึ้น
4. ปรับปรุงเงื่อนไขของ fault ให้มีความเป็น general มากขึ้น เช่น พิจารณาให้เกิด three phase fault พร้อมกันหมดทุก bus ก็ได้, ไม่พร้อมกันก็ได้ไม่จำกัดว่ากี่ bus และเวลาในการ clear, reclose ก็ไม่จำเป็นต้องพร้อมกันก็ได้

เอกสารนี้เป็นเอกสารที่สงวนไว้สำหรับการใช้งานเพื่อการศึกษาเท่านั้น ไม่อนุญาตให้นำไปใช้ประโยชน์ด้านการค้า
ไม่ว่ากรณีใดๆทั้งสิ้น อีกทั้งห้ามมิให้ตัดแปลงเนื้อหา และต้องอ้างอิงถึงเจ้าของเอกสารทุกครั้งที่มีการนำไปใช้

ภาคผนวก



เอกสารนี้เป็นเอกสารที่สงวนไว้สำหรับการใช้งานเพื่อการศึกษาเท่านั้น ไม่อนุญาตให้นำไปใช้ประโยชน์ด้านการค้า
ไม่ว่ากรณีใดๆทั้งสิ้น อีกทั้งห้ามมิให้ตัดแปลงเนื้อหา และต้องอ้างอิงถึงเจ้าของเอกสารทุกครั้งที่มีการนำไปใช้



Sample System for testing

เอกสารนี้เป็นเอกสารที่สงวนไว้สำหรับการใช้งานเพื่อการศึกษาเท่านั้น ไม่อนุญาตให้นำไปใช้ประโยชน์ด้านการค้า
ไม่ว่ากรณีใดๆทั้งสิ้น อีกทั้งห้ามมิให้ดัดแปลงเนื้อหา และต้องอ้างอิงถึงเจ้าของเอกสารทุกครั้งที่มีการนำไปใช้

NUMBER OF BUSES 3
 NUMBER OF LINES 3
 NUMBER OF GENERATORS 2
 NUMBER OF TRANSFORMERS 0
 VOLTAGE TOLERANCE .00001
 SYSTEM BASE 100.00 MVA
 SLACK BUS NUMBER 1
 FREQUENCY 50.0
 ACCELERATE FACTOR 1.00000

BUS - DATA

BUS	TYPE	VOLTS	GENERATION		LOAD		MIN MVAR	MAX MVAR	SHUNT SUSCEPTANCE
			MW	MVAR	MW	MVAR			
1	1	1.040	.00	.00	.00	.00	.00	.00	.00
2	0	1.000	100.00	70.00	50.00	20.00	.00	.00	.00
3	0	1.000	.00	.00	250.00	150.00	.00	.00	.00

LINE - DATA

LINE	BUS	BUS	LENGTH	RESISTANCE	REACTANCE	SUSCEPTANCE
1	1	2	1.00000	.04000	.16000	.30000
2	1	3	1.00000	.02000	.08000	.14000
3	2	3	1.00000	.03000	.10000	.08000

LOAD-FLOW SOLUTION BY USING NEWTON RAPHSONS METHOD
 SOLUTION CONVERGED IN 1 ITERATIONS

BUS-DATA

BUS	VOLTS	ANGLE	GENERATION		LOAD		CAP/REAC MVAR
			MW	MVAR	MW	MVAR	
1	1.0400	.0000	201.546	52.410	.000	.000	.00
2	1.0368	-2.8618	100.000	70.000	50.000	20.000	.0
3	.9514	-6.9113	.000	.000	250.000	150.000	.00

LINE AND TRANSFORMER DATA

LINE	SB	EB	MW	MVAR	PAP
1	1	2	321.529	-21.3393	
1	2	1	-31.9559	-3.3503	
2	1	3	169.2324	73.4101	
2	3	1	-162.7121	-61.6406	
3	2	3	86.5796	53.6724	
3	3	2	-85.5320	-56.4174	

MACHINE DATA

GENERATOR NUMBER 1

THIS GENERATOR IS ROUND ROTOR TYPE

INERTIA CONSTANT	160.0000 P.U.
DIRECT AXIS REACTANCE	.1000 P.U.
QUADRATURE AXIS REACTANCE	.1000 P.U.
DIRECT AXIS TRANSIENT REACTANCE	.1000 P.U.
QUADRATURE AXIS TRANSIENT REACTANCE	1.0000 P.U.
DIRECT AXIS SUBTRANSIENT REACTANCE	.0000 P.U.
QUADRATURE AXIS SUBTRANSIENT REACTANCE	.0000 P.U.
DIRECT AXIS TRANSIENT OPEN CIRCUIT TIME CONSTANT	1.0000 SEC
DIRECT AXIS SHORT CIRCUIT TRANSIENT TIME CONSTANT	.0000 SEC
DIRECT AXIS SHORT CIRCUIT SUBTRANSIENT TIME CONSTANT	.0000 SEC

MACHINE DATA

GENERATOR NUMBER 2

THIS GENERATOR IS ROUND ROTOR TYPE

INERTIA CONSTANT	3.0000 P.U.
DIRECT AXIS REACTANCE	.1000 P.U.
QUADRATURE AXIS REACTANCE	.1000 P.U.
DIRECT AXIS TRANSIENT REACTANCE	.3000 P.U.
QUADRATURE AXIS TRANSIENT REACTANCE	1.0000 P.U.
DIRECT AXIS SUBTRANSIENT REACTANCE	.0000 P.U.
QUADRATURE AXIS SUBTRANSIENT REACTANCE	.0000 P.U.
DIRECT AXIS TRANSIENT OPEN CIRCUIT TIME CONSTANT	1.0000 SEC
DIRECT AXIS SHORT CIRCUIT TRANSIENT TIME CONSTANT	.0000 SEC
DIRECT AXIS SHORT CIRCUIT SUBTRANSIENT TIME CONSTANT	.0000 SEC

STABILITY CALCULATION SOLUTION

LOAD FLOW USING NEWTON RAPHSON METHOD
STABILITY USING MODIFY EULER METHOD

WRITTEN BY :

SUWAT PAKAWAPAKCOM
ANOP JUNDTEB
ISSAACHAI NGANROO

ADVISOR :

MR. SOMPOTSH PRAPAI
MR. MONTEON BELAJINDAGAILERK

เอกสารนี้เป็นเอกสารที่สงวนไว้สำหรับการใช้งานเพื่อการศึกษาเท่านั้น ไม่อนุญาตให้นำไปใช้ประโยชน์ด้านการค้า

ไม่ว่ากรณีใดๆทั้งสิ้น อีกทั้งห้ามมิให้ดัดแปลงเนื้อหา และต้องอ้างอิงถึงเจ้าของเอกสารทุกครั้งที่มีการนำไปใช้

DETAILS OF OPERATION

TIME(SEC)

OPERATION

.010 FAULT ON : AT BUS 2
 .100 FAULT ON : AT BUS 1
 .280 FAULT OFF : AT FAULT BUS 2
 .300 FAULT OFF : AT FAULT BUS 1
 .800 END OF CASE : AT BUS 2
 .800 END OF CASE : AT BUS 1

CYC	TIME	MC	ANG(RAD)	ANG(DEG)	SPEED	POWER	ACCEL.T	VOLT
0	.000							
		1	.17593	10.07980	1.00000	2.01586	.00000	1.04000
		2	.17941	10.27950	1.00000	1.00000	.00000	1.03681
1	.020							
		1	.17593	10.07980	1.00000	2.01586	.00000	1.04000
		2	.17941	10.27950	1.00000	1.00000	.00000	1.03681
2	.040							
		1	.17593	10.07980	1.00000	2.01586	.00000	1.04000
		2	.17941	10.27950	1.00000	1.00000	.00000	1.03681
2	.040	*****FAULT OCCUR AT BUS 2*****						
2	.040							
		1	.17593	10.07979	1.00000	2.01585	.00000	1.04000
		2	.18988	10.87950	1.00033	.00000	1.00000	.00000
3	.060							
		1	.17593	10.07977	1.00000	2.01585	.00001	1.04000
		2	.22130	12.67951	1.00647	.00000	1.00000	.00000
4	.080							
		1	.17592	10.07976	1.00000	2.01585	.00001	1.04000
		2	.27366	15.67953	1.01500	.00000	1.00000	.00000
5	.100	*****FAULT OCCUR AT BUS 1*****						
5	.100							
		1	.17592	10.10242	1.00013	1.00000	2.01585	.00000
		2	.34636	19.67957	1.01033	.00000	1.00000	.00000
6	.120							
		1	.17751	10.17041	1.00025	.00000	2.01586	.00000
		2	.44121	25.67957	1.01067	.00000	1.00000	.00000
7	.140							
		1	.17943	10.28382	1.00038	.00000	2.01586	.00000
		2	.55641	18.67970	1.02000	.00000	1.00000	.00000
8	.160							
		1	.18226	10.44256	1.00050	.00000	2.01586	.00000
		2	.69254	39.67979	1.02333	.00000	1.00000	.00000
9	.180							
		1	.18582	10.64665	1.00063	.00000	2.01586	.00000
		2	.84962	48.67989	1.02667	.00000	1.00000	.00000
10	.200							
		1	.19017	10.89610	1.00076	.00000	2.01586	.00000
		2	1.02765	58.88001	1.03000	.00000	1.00000	.00000
11	.220							
		1	.19532	11.19030	1.00088	.00000	2.01586	.00000
		2	1.22362	70.28015	1.03333	.00000	1.00000	.00000

เอกสารนี้เป็นเอกสารที่สงวนไว้สำหรับการใช้งานเพื่อการศึกษาเท่านั้น ไม่อนุญาตให้นำไปใช้ประโยชน์ด้านการค้า

ไม่ว่ากรณีใดๆทั้งสิ้น อีกทั้งห้ามมิให้คัดแปลงเนื้อหา และต้องอ้างอิงถึงเจ้าของเอกสารทุกครั้งที่มีการนำไปใช้

12	.240	1	.20125	11.53105	1.00101	.00000	2.91536	.00000
		-2	1.44653	82.88029	1.03667	.00000	1.00000	.00000
13	.250	1	.20798	11.91658	1.00113	.00000	2.01536	.00000
		2	1.68739	96.68046	1.04000	.00000	1.00000	.00000
14	.280	*****FAULT CLEAR AT BUS 2*****						
14	.280	1	.21550	12.34746	1.00126	.00000	2.01586	.00000
		2	1.94604	111.49990	1.04233	.30118	.69882	.28006
15	.300	*****FAULT CLEAR AT BUS 1*****						
15	.300	1	.22401	12.83497	1.00145	-.98392	2.99086	.75563
		2	2.19507	125.76860	1.03694	2.49268	-1.46799	.59577
16	.320	1	.23369	13.38919	1.00163	-.83043	2.83219	.71017
		2	2.41355	138.28630	1.03260	2.16014	-1.13467	.50923
17	.340	1	.24446	14.00679	1.00180	-.61350	2.61471	.67266
		2	2.60835	149.44780	1.02941	1.80538	-.78350	.42974
18	.360	1	.25627	14.68302	1.00196	-.35738	2.36162	.64233
		2	2.78676	159.66990	1.02738	1.44475	-.42931	.35652
19	.380	1	.26899	15.41223	1.00209	-.07121	2.08110	.61826
		2	2.95619	169.37750	1.02655	1.08056	-.07326	.25831
20	.400	1	.28254	16.18809	1.00222	.24669	1.77082	.53992
		2	3.12413	178.99970	1.02691	.70689	.29124	.22472
21	.420	1	.29677	17.00357	1.00232	.60548	1.42137	.58756
		2	3.29827	188.97690	1.02852	.31388	.67447	.16956
22	.440	1	.31155	17.85074	1.00239	1.01852	1.01912	.58263
		2	3.48668	199.77230	1.03145	-.10822	1.08670	.14012
23	.460	1	.32673	18.72046	1.00244	1.49935	.54387	.58811
		2	3.69804	211.88200	1.03582	-.56383	1.53340	.16676
24	.480	1	.34212	19.60214	1.00246	2.05404	.00591	.66849
		2	3.94165	225.83990	1.04172	-1.04317	2.00695	.24801
25	.500	1	.35751	20.48361	1.00244	2.66563	-.60043	.64876
		2	4.22725	242.20380	1.04919	-1.50800	2.47291	.36417
26	.520	1	.37265	21.35154	1.00238	3.27658	-1.21340	.71198
		2	4.56418	261.50850	1.05806	-1.87278	2.85015	.50436
27	.540	1	.38754	22.19283	1.00229	3.74738	-1.70499	.79567
		2	4.95960	284.16420	1.06780	-1.99327	2.99670	.65866
28	.560	1	.40138	22.99761	1.00218	3.87642	-1.86597	.88863
		2	5.41550	310.29140	1.07735	-1.69348	2.72843	.81093
29	.580	1	.41475	23.76347	1.00203	3.46191	-1.47959	.97121
		2	5.92592	339.53020	1.08509	-.86750	1.91814	.93701
30	.600	1	.42760	24.49944	1.00201	2.47070	-.48526	1.02039
		2	6.47405	370.93610	1.08939	.37457	.65908	1.01002

เอกสารนี้เป็นเอกสารสงวนลิขสิทธิ์การเขียนเพื่อการศึกษาค้นคว้า ไม่อนุญาตให้นำไปใช้ประโยชน์ด้านการค้า

ไม่ว่ากรณีใดๆทั้งสิ้น อีกทั้งห้ามมิให้ดัดแปลงเนื้อหา และต้องอ้างอิงถึงเจ้าของเอกสารทุกครั้งที่มีการนำไปใช้

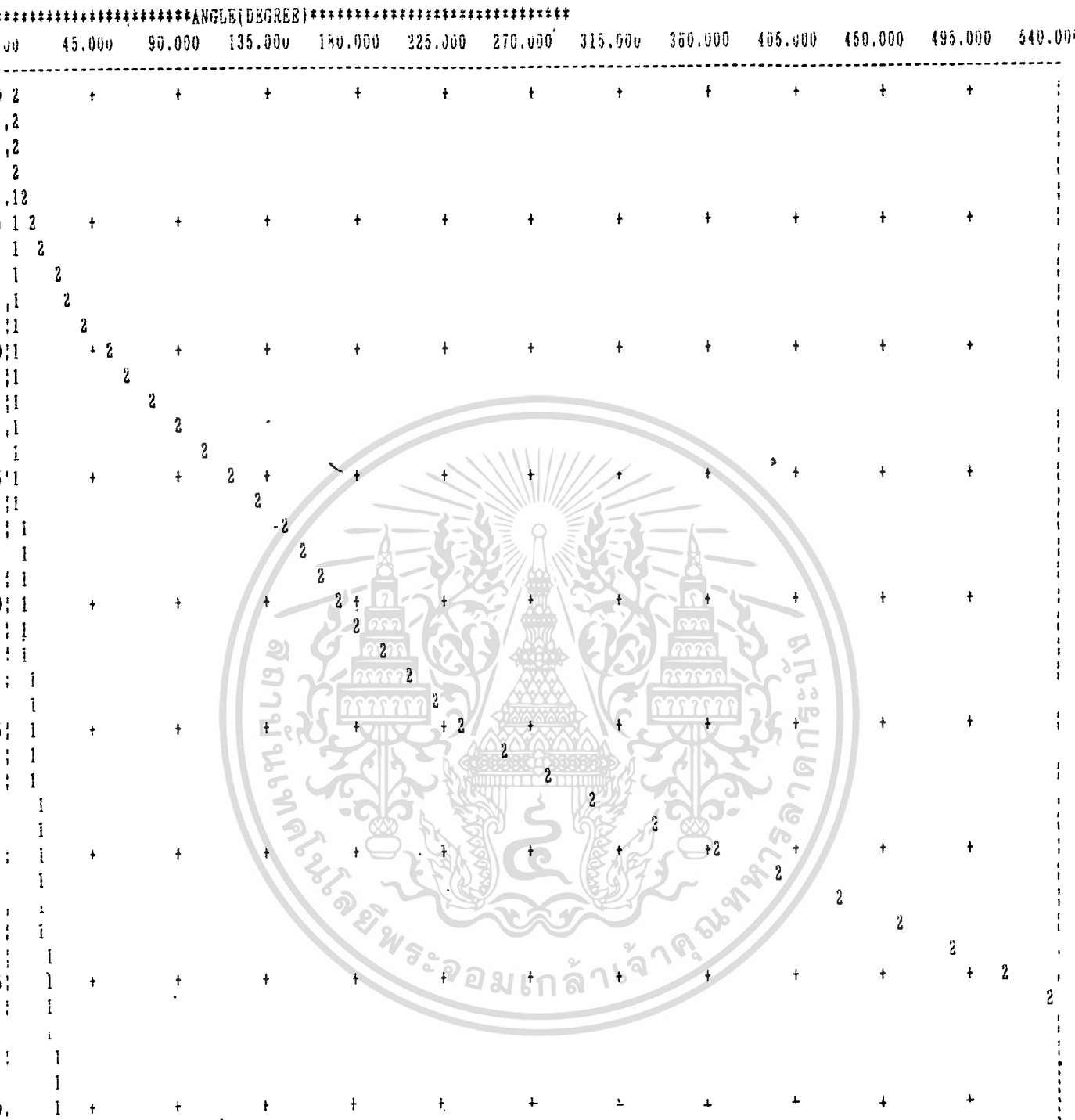
31	.620						
		1	.44029	25.22648	1.00203	1.15456	.86153 1.02059
		2	7.03562	403.11170	1.08937	1.67064	-.67086 1.01168
32	.640						
		1	.45330	25.97229	1.00212	-.05712	2.09686 .97161
		2	7.53518	434.59890	1.08556	2.59699	-1.61184 .94154
33	.660						
		1	.46710	26.76259	1.00227	-.82131	2.85570 .88764
		2	8.10427	464.34050	1.07967	2.92360	-1.92392 .81537
34	.680						
		1	.48135	27.61394	1.00246	-1.02974	3.04278 .78895
		2	8.58610	491.94730	1.07370	2.67796	-1.65689 .65470
35	.700						
		1	.49736	28.53106	1.00264	-.75169	2.75082 .69463
		2	9.03529	517.68400	1.06928	2.02321	-.99555 .47743
36	.720						
		1	.51501	29.50814	1.00279	-.11113	2.11496 .62114
		2	9.46478	542.29210	1.06743	1.12954	-.11464 .29716
37	.740						
		1	.53287	30.53147	1.00289	.78110	1.24324 .58432
		2	9.89236	566.79080	1.06867	.13073	.86054 .15148
38	.760						
		1	.55121	31.58135	1.00294	1.82295	.22669 .59820
		2	10.33789	592.31750	1.07314	-.84964	1.82059 .21032
39	.780						
		1	.56963	32.63746	1.00292	2.86895	-.86629 .56665
		2	10.82067	619.97880	1.06053	-1.64283	2.61264 .40734
40	.800						

เอกสารนี้เป็นเอกสารที่สงวนไว้สำหรับการใช้งานเพื่อการศึกษาเท่านั้น ไม่อนุญาตให้นำไปใช้ประโยชน์ด้านการค้า
ไม่ว่ากรณีใดๆทั้งสิ้น อีกทั้งห้ามมิให้ดัดแปลงเนื้อหา และต้องอ้างอิงถึงเจ้าของเอกสารทุกครั้งที่มีการนำไปใช้

SWING CURVE FOR MULTI-MACHINE SYSTEM

X-AXIS : REPRESENT DEVIATION OF ANGLE IN DEGREE

Y-AXIS : REPRESENT EACH CYCLE

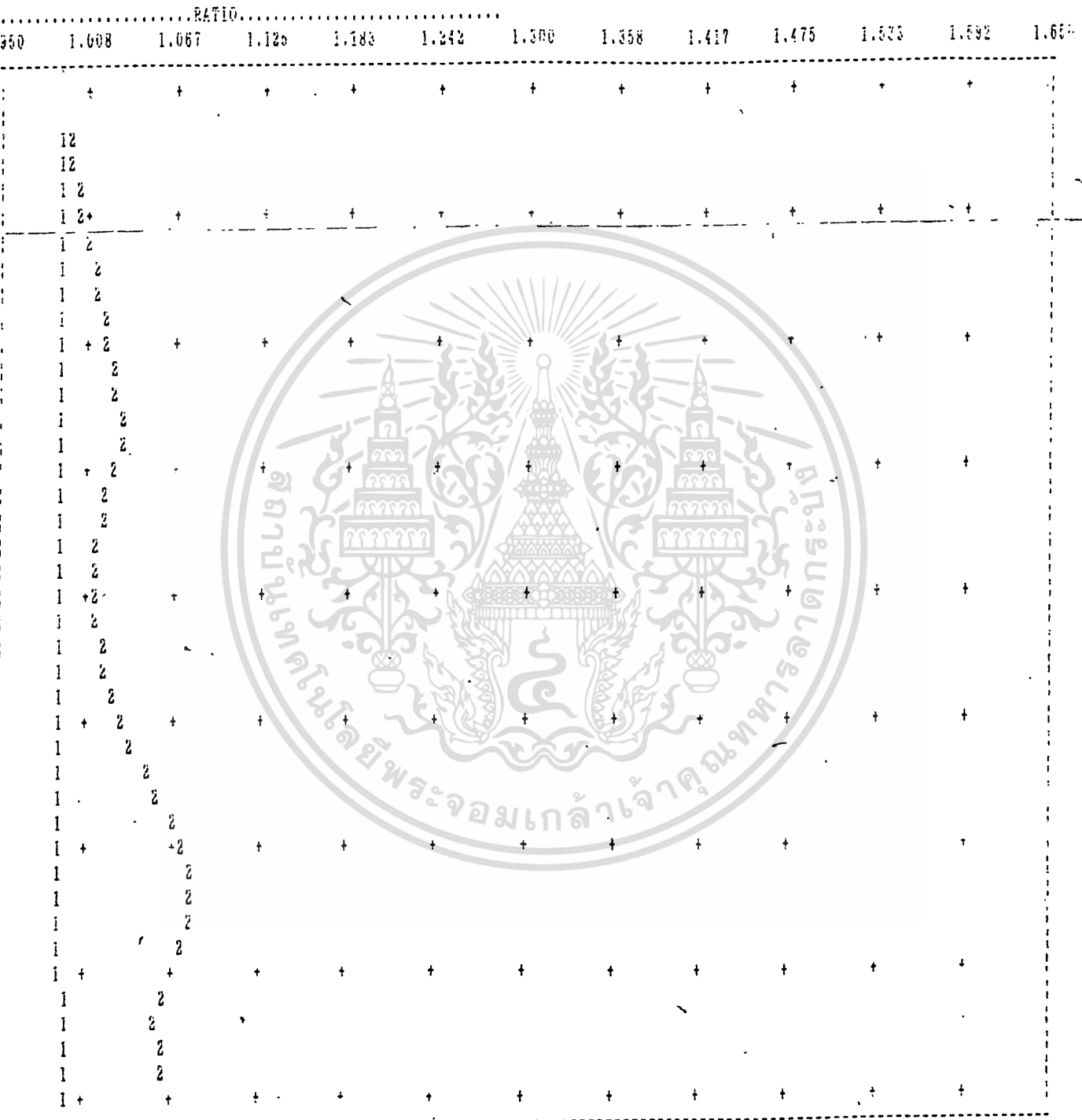


เอกสารนี้เป็นเอกสารที่สงวนไว้สำหรับการใช้งานเพื่อการศึกษาเท่านั้น ไม่อนุญาตให้นำไปใช้ประโยชน์ด้านการค้า
ไม่ว่ากรณีใดๆทั้งสิ้น อีกทั้งห้ามมิให้ดัดแปลงเนื้อหา และต้องอ้างอิงถึงเจ้าของเอกสารทุกครั้งที่มีการนำไปใช้

GRAPH SHOW THE RATIO OF ACTUAL TO RATED SPEED OF MACHINE

X-AXIS : REPRESENT THE RATIO OF ACTUAL TO RATED SPEED

Z-AXIS : REPRESENT EACH CYCLE



เอกสารนี้เป็นเอกสารที่สงวนไว้สำหรับการใช้งานเพื่อการศึกษาเท่านั้น ไม่อนุญาตให้นำไปใช้ประโยชน์ด้านการค้า
ไม่ว่ากรณีใดๆทั้งสิ้น อีกทั้งห้ามมิให้ตัดแปลงเนื้อหา และต้องอ้างอิงถึงเจ้าของเอกสารทุกครั้งที่มีการนำไปใช้

DETAILS OF OPERATION

TIME(SEC)	OPERATION
.040	FAULT ON : AT BUS 2
.100	FAULT ON : AT BUS 1
.280	FAULT OFF : AT FAULT BUS 2
.280	FAULT OFF : AT FAULT BUS 1
.660	END OF CASE : AT BUS 2
.660	END OF CASE : AT BUS 1

CYC	TIME	MC	ANG(RAD)	ANG(DEG)	SPEED	POWER	ACCE.T	VOLT
0	.000	1	.17593	10.07980	1.00000	2.01586	.00000	1.04000
		2	.17941	10.27950	1.00000	1.00000	.00000	1.03681
1	.020	1	.17593	10.07980	1.00000	2.01586	.00000	1.04000
		2	.17941	10.27950	1.00000	1.00000	.00000	1.03681
2	.040	1	.17593	10.07980	1.00000	2.01586	.00000	1.04000
		2	.17941	10.27950	1.00000	1.00000	.00000	1.03681
2	.040	*****FAULT OCCUR AT BUS 2*****						
2	.040	1	.17593	10.07979	1.00000	2.01586	.00000	1.04000
		2	.13988	10.87950	1.00333	.00000	1.00000	.00000
3	.060	1	.17593	10.07977	1.00000	2.01586	.00000	1.04000
		2	.22150	12.67951	1.00667	.00000	1.00000	.00000
4	.080	1	.17593	10.07976	1.00000	2.01586	.00000	1.04000
		2	.27366	15.67953	1.01000	.00000	1.00000	.00000
5	.100	*****FAULT OCCUR AT BUS 1*****						
5	.100	1	.17632	10.10342	1.00013	.00000	2.01586	.00000
		2	.45366	19.87957	1.01333	.00000	1.00000	.00000
6	.120	1	.17751	10.17044	1.00025	.00000	2.01586	.00000
		2	.44101	25.27957	1.01667	.00000	1.00000	.00000
7	.140	1	.17949	10.23082	1.00038	.00000	2.01586	.00000
		2	.55041	31.87970	1.02000	.00000	1.00000	.00000
8	.160	1	.18225	10.44256	1.00050	.00000	2.01586	.00000
		2	.67954	39.67979	1.02333	.00000	1.00000	.00000
9	.180	1	.18582	10.64565	1.00063	.00000	2.01586	.00000
		2	.84902	48.67989	1.02667	.00000	1.00000	.00000
10	.200	1	.19017	10.89610	1.00076	.00000	2.01586	.00000
		2	1.02765	58.88001	1.03000	.00000	1.00000	.00000
11	.220	1	.19532	11.13030	1.00088	.00000	2.01586	.00000
		2	1.22662	70.23015	1.03333	.00000	1.00000	.00000
12	.240	1	.20125	11.53106	1.00101	.00000	2.01586	.00000
		2	1.44653	82.88029	1.03667	.00000	1.00000	.00000

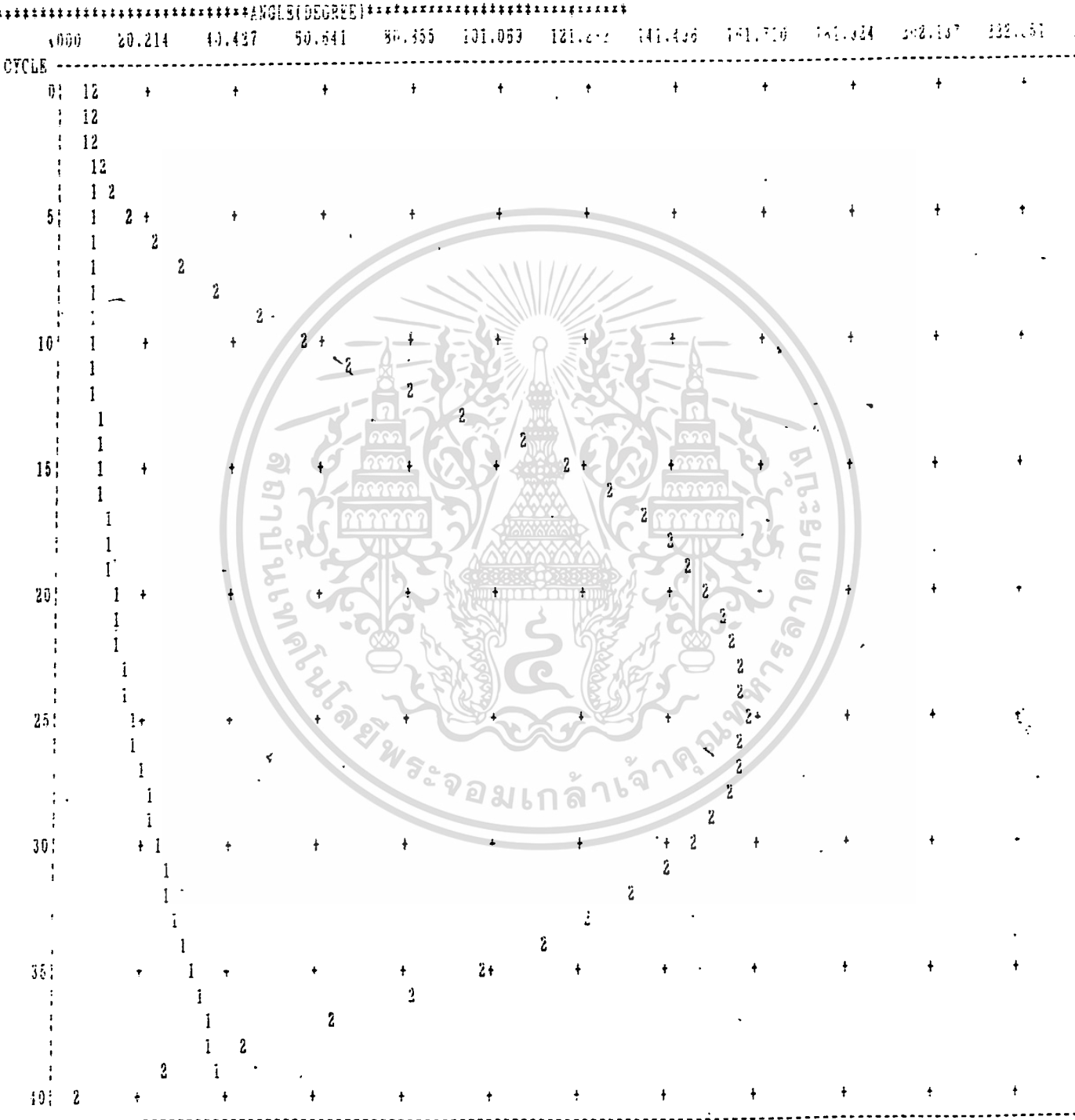
เอกสารนี้เป็นเอกสารที่สงวนลิขสิทธิ์ของ บริษัท สยามอินเตอร์คอมมูนิเคชั่น จำกัด (มหาชน) ห้ามทำซ้ำโดยไม่ได้รับอนุญาต

ไม่ว่ากรณีใดๆทั้งสิ้น อีกทั้งห้ามมิให้คัดแปลงเนื้อหา และต้องอ้างอิงถึงเจ้าของเอกสารทุกครั้งที่มีการนำไปใช้

14	.280	*****FAULT CLEAR AT BUS 2 AND 1*****
14	.280	*****FAULT CLEAR AT BUS 1*****
14	.280	
	1	.21570 12.35848 1.00132 -1.02709 3.04576 .81473
	2	1.31945 109.97630 1.03387 2.78816 -1.77171 .69847
15	.300	
	1	.22459 12.86821 1.00151 -1.01546 3.02554 .77360
	2	2.11470 121.16360 1.02829 2.59855 -1.57605 .62793
16	.320	
	1	.23467 13.44570 1.00170 -.94305 2.94809 .73994
	2	2.27704 130.46460 1.02339 2.38838 -1.36366 .56675
17	.340	
	1	.24591 14.08939 1.00188 -.84485 2.84749 .71336
	2	2.41075 138.12600 1.01918 2.18671 -1.16233 .51561
18	.360	
	1	.25826 14.79713 1.00205 -.74296 2.74501 .69307
	2	2.51999 144.38500 1.01560 2.00872 -.98603 .47416
19	.380	
	1	.27169 15.56668 1.00222 -.65005 2.65251 .67797
	2	2.60842 149.46160 1.01255 1.86089 -.84040 .44160
20	.400	
	1	.28616 16.33599 1.00239 -.57276 2.57606 .66700
	2	2.67905 153.50020 1.00994 1.74495 -.72650 .41702
21	.420	
	1	.30165 17.28337 1.00254 -.51418 2.51839 .65353
	2	2.73436 156.66750 1.00766 1.66037 -.64384 .39355
22	.440	
	1	.31813 18.22753 1.00270 -.47555 2.48052 .65503
	2	2.77500 159.05340 1.00560 1.60590 -.59072 .38848
23	.460	
	1	.33558 19.22760 1.00286 -.45722 2.46270 .65293
	2	2.80512 160.72180 1.00367 1.58049 -.56604 .38334
24	.480	
	1	.35401 20.28320 1.00301 -.45929 2.45495 .65216
	2	2.82224 161.70210 1.00178 1.58326 -.56315 .38392
25	.500	
	1	.37340 21.39435 1.00316 -.48174 2.44729 .65575
	2	2.82730 161.99230 .99983 1.61457 -.60017 .39023
26	.520	
	1	.39377 22.56169 1.00332 -.52450 2.52967 .66049
	2	2.81967 161.55230 .99773 1.67608 -.65367 .46256
27	.540	
	1	.41514 23.78586 1.00348 -.58709 2.59174 .66300
	2	2.79793 160.31230 .99538 1.76605 -.74956 .42144
28	.560	
	1	.43753 25.05855 1.00365 -.66802 2.67218 .66470
	2	2.76643 154.18360 .99263 1.88863 -.87057 .44751
29	.550	
	1	.46097 26.41114 1.00382 -.76360 2.76754 .66641
	2	2.70457 154.96050 .98982 2.04318 -1.02338 .46137
30	.600	
	1	.48549 27.81665 1.00399 -.86518 2.87097 .67183
	2	2.62707 150.52030 .98531 2.22710 -1.20599 .52544
31	.620	
	1	.51114 29.28643 1.00417 -.96132 2.96853 .67635
	2	2.52420 144.62610 .98145 2.43247 -1.41120 .57675
32	.640	
	1	.53796 30.82285 1.00436 -1.06442 3.03661 .68157
	2	2.39174 137.03530 .97639 2.64157 -1.62242 .64206
33	.660	
	1	.56596 32.42722 1.00455 -1.17130 3.03784 .68241

เอกสารนี้เป็นเอกสารที่สงวนไว้สำหรับใช้ภายในเท่านั้น ไม่ควรนำออกเผยแพร่โดยไม่ได้รับอนุญาต
 ไม่ควรกรณินำข้อมูลนี้ไปใช้เพื่อวัตถุประสงค์อื่นใด และต้องอ้างอิงถึงชื่อของเอกสารทุกครั้งที่มีการนำไปใช้

SWING CURVE FOR MULTI-MACHINE SYSTEM
 X-AXIS : REPRESENT DEVIATION OF ANGLE IN DEGREE
 Y-AXIS : REPRESENT EACH CYCLE

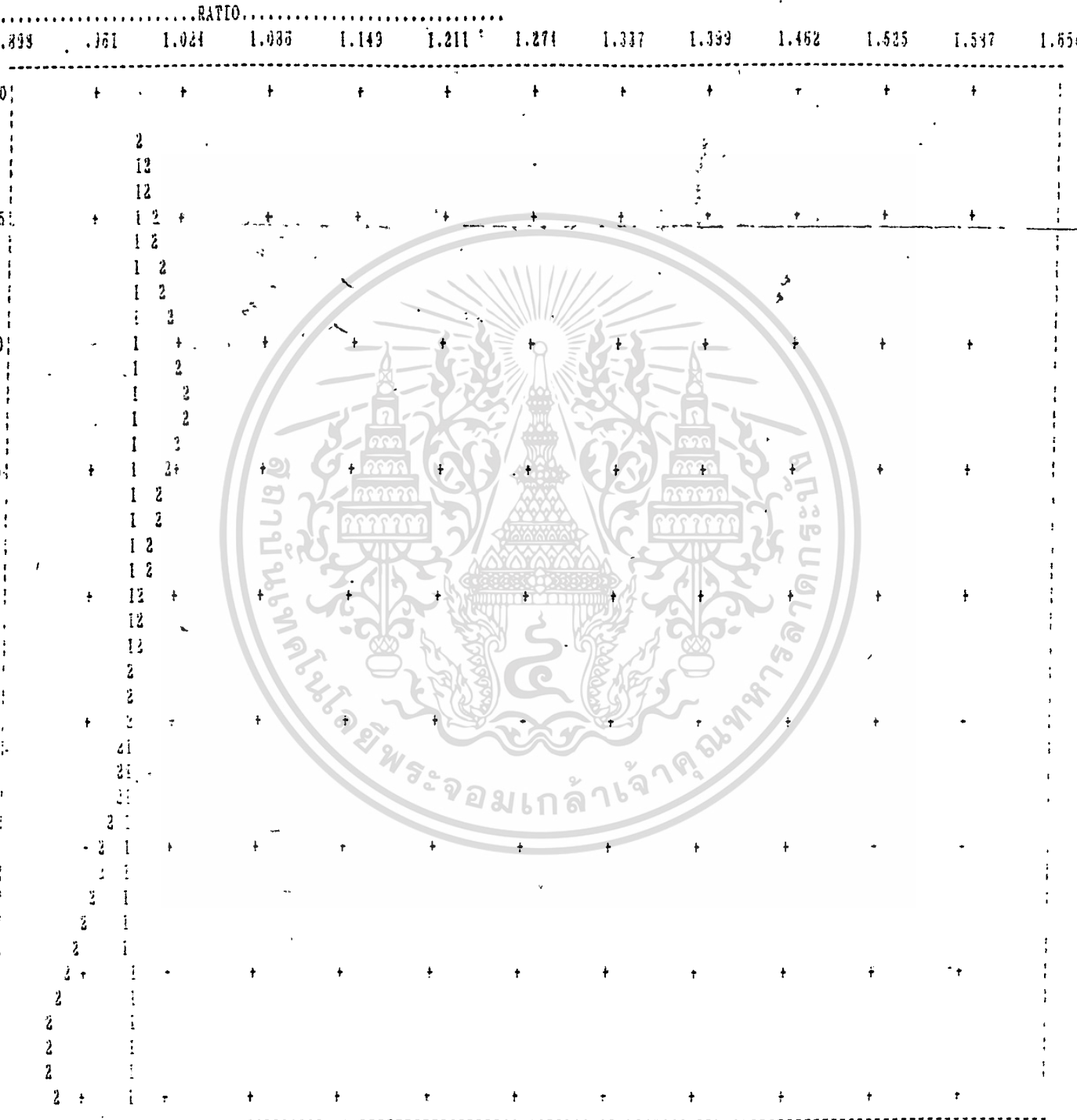


เอกสารนี้เป็นเอกสารที่สงวนไว้สำหรับการใช้งานเพื่อการศึกษาเท่านั้น ไม่อนุญาตให้นำไปใช้ประโยชน์ด้านการค้า
 ไม่ว่ากรณีใดๆทั้งสิ้น อีกทั้งห้ามมิให้ดัดแปลงเนื้อหา และต้องอ้างอิงถึงเจ้าของเอกสารทุกครั้งที่มีการนำไปใช้

GRAPH SHOW THE RATIO OF ACTUAL TO RATED SPEED OF MACHINE

X-AXIS : REPRESENT THE RATIO OF ACTUAL TO RATED SPEED

Y-AXIS : REPRESENT EACH CYCLE



เอกสารนี้เป็นเอกสารที่สงวนไว้สำหรับการใช้งานเพื่อการศึกษาเท่านั้น ไม่อนุญาตให้นำไปใช้ประโยชน์ด้านการค้า
ไม่ว่ากรณีใดๆทั้งสิ้น อีกทั้งห้ามมิให้ดัดแปลงเนื้อหา และต้องอ้างอิงถึงเจ้าของเอกสารทุกครั้งที่มีการนำไปใช้

PLEASE ENTER INPUT DATA FOLLOW THE COMPUTER ASK YOU
NUMBER OF GENERATOR : FORMAT (13) XXX

2

MACHINE NUMBER 1
INERTIA CONSTANT (P.U.) : FORMAT (F7.3) XXXXXXX

160.000

OPERATING ANGLE (RADIAN) : FORMAT (E5) XXXXXXXX

.17593

MACHINE NUMBER 2

INERTIA CONSTANT P.U. : FORMAT (F7.3) XXX.XXX

3.000

OPERATING ANGLE (RADIAN) : FORMAT (E5) XXXXXXXX

.17941

MACHINE NUMBER 1

INERTIA CONSTANT		160.00000 P.U.
OPERATING ANGLE (RADIAN)		.17593
OPERATING ANGLE (DEGREE)		10.07005
CRITICAL CLEARING ANGLE (RADIAN)		2.09012
CRITICAL CLEARING ANGLE (DEGREE)		119.75810
CRITICAL CLEARING TIME		1.9472 SEC
MAXIMUM ELECTRIC POWER		5.71351 P.U.
MAXIMUM ANGLE OF AREA2 (RADIAN)		2.92566
MAXIMUM ANGLE OF AREA2 (DEGREE)		169.92000
ACCELERATE AREA (AREA1)		1.91419
DECELERATE AREA (AREA2)		1.91419

MACHINE NUMBER 2

INERTIA CONSTANT		3.00000 P.U.
OPERATING ANGLE (RADIAN)		.17941
OPERATING ANGLE (DEGREE)		10.27944
CRITICAL CLEARING ANGLE (RADIAN)		2.07987
CRITICAL CLEARING ANGLE (DEGREE)		119.16760
CRITICAL CLEARING TIME		.26943 SEC
MAXIMUM ELECTRIC POWER		5.60384 P.U.
MAXIMUM ANGLE OF AREA2 (RADIAN)		2.96218
MAXIMUM ANGLE OF AREA2 (DEGREE)		169.72060
ACCELERATE AREA (AREA1)		1.90046
DECELERATE AREA (AREA2)		1.90046

เอกสารนี้เป็นเอกสารที่สงวนไว้สำหรับการใช้งานเพื่อการศึกษาเท่านั้น ไม่อนุญาตให้นำไปใช้ประโยชน์ด้านการค้า
ไม่ว่ากรณีใดๆทั้งสิ้น อีกทั้งห้ามมิให้ดัดแปลงเนื้อหา และต้องอ้างอิงถึงเจ้าของเอกสารทุกครั้งที่มีการนำไปใช้

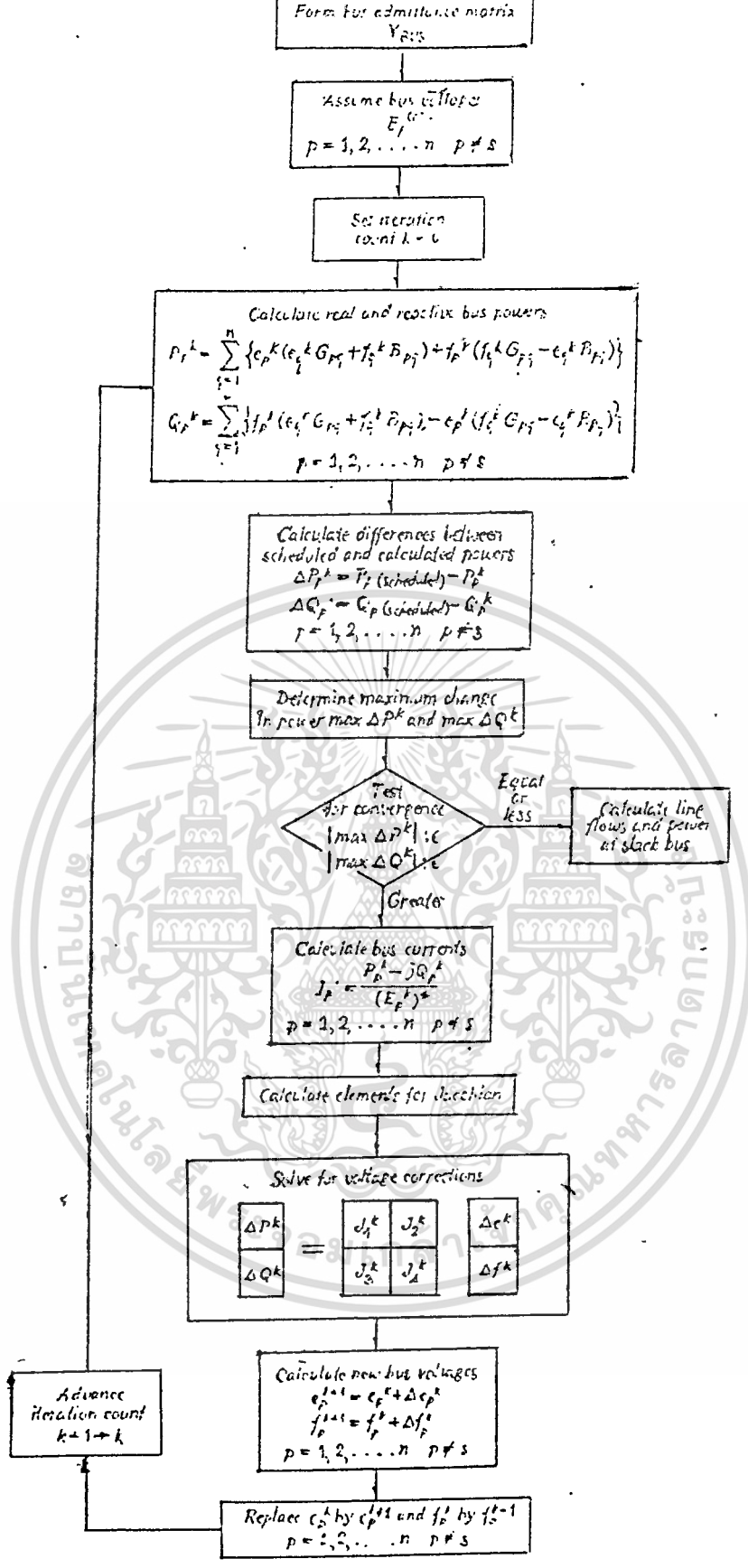
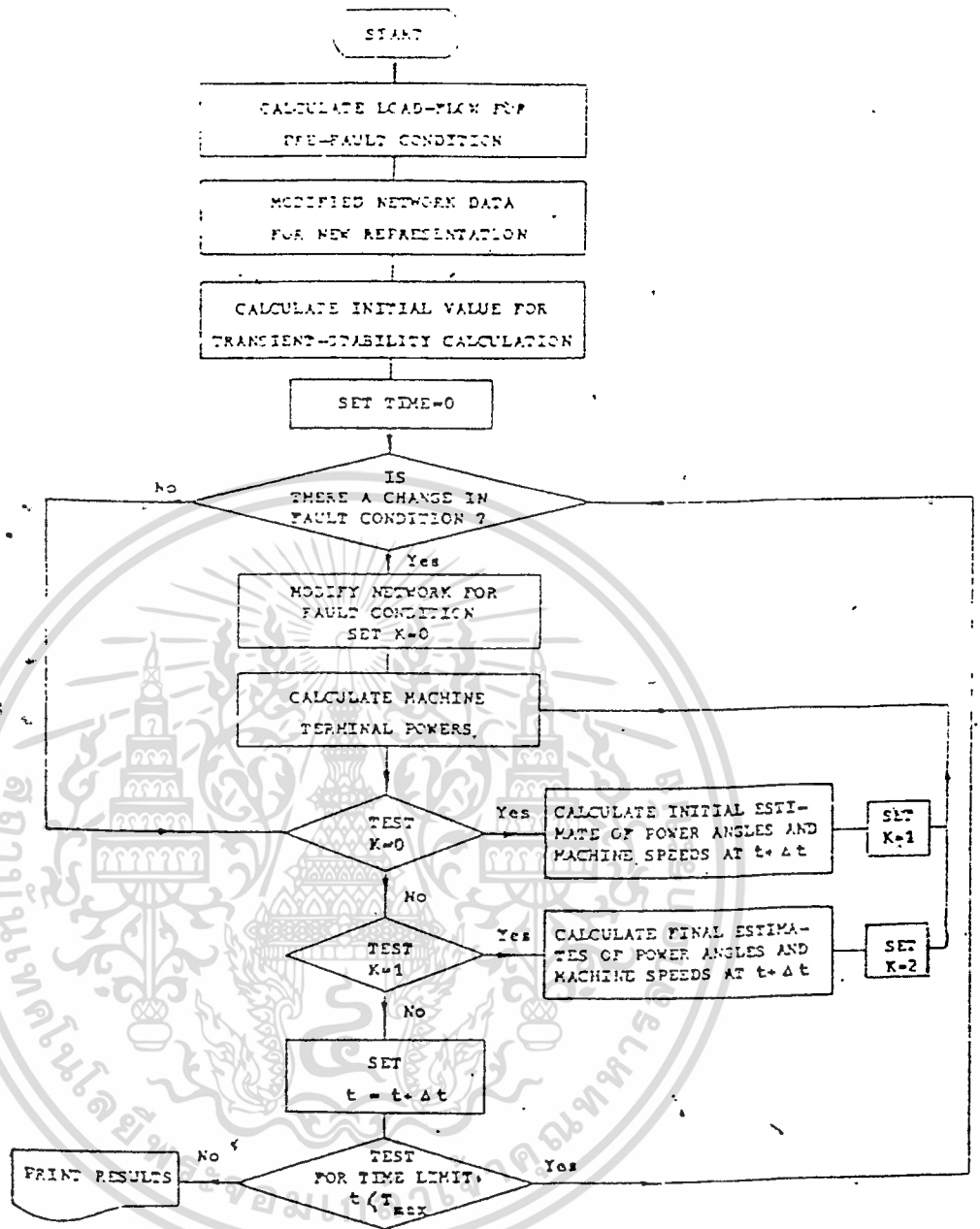


Fig. 11 Load flow solution by the Newton-Raphson method using Y_{BUS} .

เอกสารนี้เป็นเอกสารที่สงวนไว้สำหรับการใช้งานเพื่อการศึกษาเท่านั้น ไม่อนุญาตให้นำไปใช้ประโยชน์ด้านการค้า
 ไม่ว่ากรณีใดๆทั้งสิ้น อีกทั้งห้ามมิให้ตัดแปลงเนื้อหา และต้องอ้างอิงถึงเจ้าของเอกสารทุกครั้งที่มีการนำไปใช้



รูปที่ 4 Transient calculation using the modified Euler method

เอกสารนี้เป็นเอกสารที่สงวนไว้สำหรับการใช้งานเพื่อการศึกษาเท่านั้น ไม่อนุญาตให้นำไปใช้ประโยชน์ด้านการค้า
ไม่ว่ากรณีใดๆทั้งสิ้น อีกทั้งห้ามมิให้ตัดแปลงเนื้อหา และต้องอ้างอิงถึงเจ้าของเอกสารทุกครั้งที่มีการนำไปใช้

```

C*****
C
C          PROGRAM INPUT DATA
C*****
C*****PURPOSE
C
C          TO RECEIVE INPUT DATA FROM USER TO STORE IN FILE 'DATA' IN
C          DISK DRIVE A.
C*****COMMENT
C
C          PLEASE ENTER INPUT DATA FOLLOW THE COMPUTER ASK YOU.
C
C          EXAMPLE      NUMBER OF BUSES      :      FORMAT(I3)
C
C          ENTER        005      MEANS      5 BUSES
C
C          EXAMPLE      SYSTEM FREQUENCY      :      FORMAT(F4.1)
C
C          ENTER        0500      MEANS      50.0 Hz
C
C          ETC.
C*****INPUT DATA CONSISTS OF 6 PORTIONS
C
C          1. HEAD DATA COMPOSES OF 10 DATA
C
C          NUMBER OF BUSES      :      FORMAT(I3)
C
C          NUMBER OF LINES      :      FORMAT(I3)
C
C          NUMBER OF GENERATORS  :      FORMAT(I3)
C
C          NUMBER OF TRANSFORMERS :      FORMAT(I3)
C
C          VOLTAGE TOLERANCE      :      FORMAT(F3.1)
C
C          SYSTEM BASE(MVA)      :      FORMAT(F5.1)
C
C          SLACK BUS NUMBER      :      FORMAT(I3)
C
C          SYSTEM FREQUENCY      :      FORMAT(F4.1)
C
C          ACCELERATE FACTOR     :      FORMAT(F3.1)
C
C          CASE OF REACTANCE     :      FORMAT(I3)
C
C          2. BUS DATA COMPOSES OF 3 DATA
C
C          BUS TYPE              :      FORMAT(I3)
C
C          BUS VOLTAGE(P.U.)     :      FORMAT(F5.3)
C
C          REAL POWER GENERATION(P.U.) :      FORMAT(F3.2)

```

เอกสารนี้เป็นเอกสารที่สงวนไว้สำหรับการใช้งานเพื่อการศึกษาเท่านั้น ไม่อนุญาตให้นำไปใช้ประโยชน์ด้านการค้า
 ไม่ว่าจะกรณีใดๆทั้งสิ้น อีกทั้งห้ามเผยแพร่ต่อผู้อื่น และต้องอ้างอิงถึงเจ้าของเอกสารทุกครั้งที่มีการนำไปใช้

C	REACTIVE POWER GENERATION(P.U.)	:	FORMAT(F7.2)	C
C	LOAD REAL POWER(P.U.)	:	FORMAT(F7.2)	C
C	LOAD REACTIVE POWER(P.U.)	:	FORMAT(F7.2)	C
C	MINIMUM REACTIVE POWER(P.U.)	:	FORMAT(F7.2)	C
C	MAXIMUM REACTIVE POWER(P.U.)	:	FORMAT(F7.2)	C
C	SHUNT SUSCEPTANCE	:	FORMAT(F7.2)	C

C 3. LINE DATA COMPOSES OF 7 DATA C

C	LINE NUMBER	:	FORMAT(I3)	C
C	SENDING BUS	:	FORMAT(I3)	C
C	ENDING BUS	:	FORMAT(I3)	C
C	LENGTH OF LINE	:	FORMAT(F7.5)	C
C	LINE RESISTANCE	:	FORMAT(F7.5)	C
C	LINE REACTANCE	:	FORMAT(F7.5)	C
C	LINE CHARGING	:	FORMAT(F7.5)	C

C 4. TRANSFORMER DATA CONSISTS OF 2 TYPES C

C TYPE OF TRANSFORMER TO KEEP IN "TD" VARIABLE C

C TD = 0 : FIXED TAP TRANSFORMER C

C TD = 1 : PHASE SHIFT TRANSFORMER C

C	TRANSFORMER TYPE	:	FORMAT(I3)	C
---	------------------	---	------------	---

C 4.1 DATA OF FIXED TAP TRANSFORMER NUMBER COMPOSES OF 7 DATA C

C	TRANSFORMER NUMBER	:	FORMAT(I3)	C
C	SENDING BUS	:	FORMAT(I3)	C
C	ENDING BUS	:	FORMAT(I3)	C
C	TRANSFORMER RESISTANCE	:	FORMAT(F7.5)	C
C	TRANSFORMER REACTANCE	:	FORMAT(F7.5)	C
C	TRANSFORMER TAP SETTING	:	FORMAT(F7.5)	C
C	TRANSFORMER TAP SIDE	:	FORMAT(I1)	C

C 4.2 DATA OF PHASE SHIFT TRANSFORMER NUMBER COMPOSES OF 5 DATA C

C	TRANSFORMER NUMBER	:	FORMAT(I3)	C
---	--------------------	---	------------	---

เอกสารนี้เป็นเอกสารที่สงวนไว้สำหรับการใช้งานเพื่อการศึกษาเท่านั้น ไม่อนุญาตให้นำไปใช้ประโยชน์ด้านการค้า
 ไม่ว่ากรณีใดๆทั้งสิ้น อีกทั้งห้ามเผยแพร่เปลี่ยนแปลงแก้ไข และต้องอ้างอิงถึงเจ้าของเอกสารทุกครั้งหากไปใช้

```

C          SENDING BUS                               :   FORMAT (I3)
C          ENDING BUS                               :   FORMAT(I3)
C          PHASE SHIFT SETTING ( A+JB )           :   FORMAT(LF,4)
C          TRANSFORMER IMPEDANCE ( R+JX )         :   FORMAT(LF,4)
C
C      5. MACHINE DATA COMPOSES OF 12 DATA
C
C          CONNECTED BUS                             :   FORMAT(I7)
C          ROTOR TYPE                               :   FORMAT(L1)
C          INERTIA CONSTANT                         :   FORMAT(F8.4)
C          DIRECT AXIS REACTANCE                   :   FORMAT(F7.4)
C          QUADRATURE AXIS REACTANCE               :   FORMAT(F7.4)
C          DIRECT AXIS TRANSIENT REACTANCE         :   FORMAT(F7.4)
C          QUADRATURE AXIS TRANSIENT REACTANCE     :   FORMAT(F7.4)
C          DIRECT AXIS SUBTRANSIENT REACTANCE      :   FORMAT(F7.4)
C          QUADRATURE AXIS SUBTRANSIENT REACTANCE :   FORMAT(F7.4)
C          DIRECT AXIS TRANSIENT OPEN CIRCUIT TIME CONSTANT :   FORMAT(F7.4)
C          DIRECT AXIS SHORT CIRCUIT TRANSIENT TIME CONSTANT :   FORMAT(F7.4)
C          DIRECT AXIS SHORT CIRCUIT SUBTRANSIENT TIME CONSTANT :   FORMAT(F7.4)
C
C      6. FAULT TYPE
C          FAULT TYPE                               :   FORMAT(I2)
C          COMMENT FOR FAULT TYPE
C
C      • THERE ARE SIX SITUATIONS ACCORDING TO THE VARIABLE " FTYPE ".
C
C          FTYPE          SITUATION OF FAULT
C          0              ; THREE PHASES FAULT OCCURED AT ANY ONE BUS.

```

```

C          3      : THREE PHASES FAULT OCCURED AT THE TERMIANL OF      C
C          THE TRANSMISSION LINE JUXTAPOSE TO ANY ONE BUS.          C
C          1      : THREE PHASE FAULT OCCURED AT ANY TWO BUSES -      C
C          CONCOMITANTLY.                                          C
C          4      : THREE PHASES FAULT OCCURED AT THE TERMINAL OF      C
C          THE TRANSMISSION LINE ADJACENT TO ANY TWO -            C
C          BUSES SIMULTANEOUSLY.                                    C
C          2      : THREE PHASES FAULT OCCURED AT ANY ONE BUS          C
C          SUBSEQUENT RECURED AT ONCE AT ANY OTHER ONE BUS        C
C          5      : THREE PHASES FAULT OCCURED AT THE TERMINAL OF      C
C          THE TRANSMISSION LINE CONTIGUOUS TO ANY ONE BUS        C
C          SUBSEQUENT RECURED AT ONCE AT ANY OTHER OF THE          C
C          TERMINAL OF TRANSMISSION LINE PROXIMATE TO ANY          C
C          ONE BUS.                                                C
C -FOR FAULT TYPE 0,3                                             C
C REMARK                                                         C
C IF (FTYPE.EQ.0) THEN ((FB2.EQ.0).AND.(RCYC.EQ.0))              C
C WHEN FB2 : SECOND FAULT BUS NUMBER                             C
C          RCYC : RECLOSE LINE CYCLE                             C
C          FIRST FAULT BUS NUMBER : FORMAT(12)                   C
C          SECOND FAULT BUS NUMBER : FORMAT(12)                   C
C          FOR FTYPE = 0 ,SECOND FAULT BUS = 0')                   C
C          FAULT CYCLE : FORMAT(12)                               C
C          CLEAR FAULT CYCLE : FORMAT(12)                         C
C          RECLOSE LINE CYCLE : FORMAT(12)                       C
C          LAST CYCLE : FORMAT(12)                               C
C
C -FOR FAULT TYPE 1,2

```

```

C          SECOND FAULT BUS NUMBER          :   FORMAT(12)   C
C          FIRST FAULT CYCLE                 :   FORMAT(12)   C
C          SECOND FAULT CYCLE                :   FORMAT(12)   C
C          FIRST CLEAR FAULT CYCLE          :   FORMAT(12)   C
C          SECOND CLEAR FAULT CYCLE         :   FORMAT(12)   C
C          FIRST LAST CYCLE                 :   FORMAT(12)   C
C          SECOND LAST CYCLE                :   FORMAT(12)   C

```

-FOR FAULT TYPE 4,5

```

C          FIRST FAULT BUS NUMBER           :   FORMAT(12)   C
C          SECOND FAULT BUS NUMBER          :   FORMAT(12)   C
C          THIRD FAULT BUS NUMBER           :   FORMAT(12)   C
C          FORTH FAULT BUS NUMBER          :   FORMAT(12)   C
C          FIRST FAULT CYCLE                :   FORMAT(12)   C
C          SECOND FAULT CYCLE               :   FORMAT(12)   C
C          FIRST CLEAR FAULT CYCLE          :   FORMAT(12)   C
C          SECOND CLEAR FAULT CYCLE         :   FORMAT(12)   C
C          FIRST RECLOSE LINE CYCLE         :   FORMAT(12)   C
C          SECOND RECLOSE LINE CYCLE        :   FORMAT(12)   C
C          FIRST LAST CYCLE                 :   FORMAT(12)   C
C          SECOND LAST CYCLE                :   FORMAT(12)   C

```

C*****

COMPLEX TAPC,TT

INTEGER SLACKR,CX,TYPE(100),SB(100),EB(100),TD,STB(100),ETB(100),

*TCODE(100),CNB(100),RTT(100),FB1,FB2,FB3,FB4,FCYC1,FCYC2,LCYC1,

*CCYC2,RCCYC1,RCCYC2,LCYC1,LCYC2,FTYPE

เอกสารนี้เป็นเอกสารที่สงวนไว้สำหรับการใช้งานเพื่อการศึกษาเท่านั้น ไม่อนุญาตให้นำไปใช้ประโยชน์ด้านการค้า
ไม่ว่ากรณีใดๆทั้งสิ้น อีกทั้งห้ามมิให้ดัดแปลงเนื้อหา และต้องอ้างอิงถึงเจ้าของเอกสารทุกครั้งที่มีการนำไปใช้

```
REAL SV,PG,QG,PL,OL,QMIN,QMAX,SHTB,TAP,H,XD,XQ,XXD,XXQ,XXXD,XXXQ
*TDO,TTD,TTTD
```

```
DIMENSION SV(100),PG(100),QG(100),PL(100),OL(100),QMIN(100),
*QMAX(100),SHTB(100),TAP(100),TAPC(100),H(100),XD(100),XQ(100),
*XXD(100),XXQ(100),XXXD(100),XXXQ(100),TDO(100),TTD(100),TTTD(100)
```

```
OPEN(5,FILE='A:DATA')
```

```
WRITE(*,1900)
```

```
1900 FORMAT(5X,'PLEASE ENTER INPUT DATA FOLLOW THE COMPUTER ASK YOU')
```

```
C*****READ HEAD DATA*****
```

```
WRITE(*,1901)
```

```
1901 FORMAT(5X,'NUMBER OF BUSES' : FORMAT(13)
```

```
WRITE(*,1903)
```

```
1903 FORMAT(5X,'NUMBER OF LINES' : FORMAT(13)
```

```
WRITE(*,1904)
```

```
1904 FORMAT(5X,'NUMBER OF GENERATORS' : FORMAT(13)
```

```
WRITE(*,1905)
```

```
1905 FORMAT(5X,'NUMBER OF TRANSFORMERS' : FORMAT(13)
```

```
WRITE(*,1906)
```

```
1906 FORMAT(5X,'VOLTAGE TOLERANCE' : FORMAT(F7.5)
```

```
WRITE(*,1908)
```

```
1908 FORMAT(5X,'SYSTEM BASE(MVA)' : FORMAT(F10.5)
```

```
WRITE(*,1910)
```

```
1910 FORMAT(5X,'SLACK BUS NUMBER' : FORMAT(13)
```

```
WRITE(*,1911)
```

```
1911 FORMAT(5X,'SYSTEM FREQUENCY' : FORMAT(F4.1)
```

```
WRITE(*,1913)
```

```
1913 FORMAT(5X,'ACCELERATE FACTOR' : FORMAT(F7.5)
```

```
WRITE(*,1915)
```

```

1915 FORMAT(5X,'CASE OF REACTANCE'           :   FORMAT(13)
      READ(*,1902)  NB,NL,NG,NT,VTOL,SBASE,SLACKB,FREQ,ACCEF,CX
      WRITE(5,1902) NB,NL,NG,NT,VTOL,SBASE,SLACKB,FREQ,ACCEF,CX
1902 FORMAT(4I3,F7.5,F10.5,13,F4.1,F7.5,13)

```

C*****REAL BUS DATA*****

```

      DO 1916 I = 1,NB
      WRITE(*,191 )
1917 FORMAT( 5X,'DATA OF BUS NUMBER',13
      WRITE(*,1918)
1918 FORMAT(5X,'BUS TYPE'                       :   FORMAT 'I'
      WRITE(*,1920)
1920 FORMAT(5X,'BUS VOLTAGE(P.U.)'             :   FORMAT 'F5.3)
      WRITE(*,1922)
1922 FORMAT(5X,'REAL POWER GENERATION(P.U.)'  :   FORMAT('F7.2)
      WRITE(*,1924)
1924 FORMAT(5X,'REACTIVE POWER GENERATION(P.U.) :   FORMAT 'F7.2)
      WRITE(*,1925)
1925 FORMAT(5X,'LOAD REAL POWER(P.U.)'        :   FORMAT('F7.2)
      WRITE(*,1926)
1926 FORMAT(5X,'LOAD REACTIVE POWER(P.U.)'    :   FORMAT('F7.2)
      WRITE(*,1927)
1927 FORMAT(5X,'MINIMUM REACTIVE POWER(P.U.)' :   FORMAT('F7.2)
      WRITE(*,1928)
1928 FORMAT(5X,'MAXIMUM REACTIVE POWER(P.U.)' :   FORMAT('F7.2)
      WRITE(*,1929)
1929 FORMAT(5X,'SHUNT SUSCEPTANCE'          :   FORMAT('F7.2)

```

เอกสารนี้เป็นเอกสารที่สงวนไว้สำหรับการใช้งานเพื่อการศึกษาเท่านั้น ไม่อนุญาตให้นำไปใช้ประโยชน์ด้านการค้า
 READ(*,1919) TYPE(I),SV(I),PG(I),QG(I),PL(I),GL(I),QMIN I,
 ไม่ว่าจะกรณีใดๆทั้งสิ้น อีกทั้งห้ามมิให้ดัดแปลงเนื้อหา และต้องอ้างอิงถึงเจ้าของเอกสารทุกครั้งที่มีการนำไปใช้

C*****CHECK NUMBER OF TRANSFORMERS*****

IF (NT.EQ.0) GO TO 1958

C*****CHECK TYPE OF TRANSFORMERS*****

WRITE(*,1888)

1888 FORMAT(/5X,'THERE ARE TRANSFORMERS',

* /5X,'PLEASE ENTER TYPE OF TRANSFORMER TO STORE IN "TD" ',

* /5X,' TD = 0 : FIXED TAP TRANSFORMER',

* /5X,' TD = 1 : PHASE SHIFT TRANSFORMER')

WRITE(*,1889)

1889 FORMAT(5X,'TRANSFORMER TYPE : FORMAT(13)')

READ(*,1902) TD

WRITE(5,1902) TD

IF (TD.EQ.1) GO TO 1950

C*****READ FIXED TAP TRANSFORMERS DATA*****

DO 1940 I = 1,NT

WRITE(*,1941) I

1941 FORMAT(5X,'DATA OF FIXED TAP TRANSFORMER NUMBER',13)

WRITE(*,1942)

1942 FORMAT(5X,'TRANSFORMER NUMBER : FORMAT(13)')

WRITE(*,1943)

1943 FORMAT(5X,'SENDING BUS : FORMAT(13)')

WRITE(*,1944)

1944 FORMAT(5X,'ENDING BUS : FORMAT(13)')

WRITE(*,1945)

1945 FORMAT(5X,'TRANSFORMER RESISTANCE : FORMAT(F7.5)')

เอกสารนี้เป็นเอกสารที่สงวนไว้สำหรับการใช้งานเพื่อการศึกษาเท่านั้น ไม่อนุญาตให้นำไปใช้ประโยชน์ด้านการค้า
ไม่ว่ากรณีใดๆทั้งสิ้น อีกทั้งห้ามมิให้คัดแปลงเนื้อหา และต้องอ้างอิงถึงเจ้าของเอกสารทุกครั้งที่มีการนำไปใช้

C*****CHECK NUMBER OF TRANSFORMERS*****

IF (NT.EQ.0) GO TO 1958

C*****CHECK TYPE OF TRANSFORMERS*****

WRITE(*,1888)

1888 FORMAT(/5X,'THERE ARE TRANSFORMERS',

* /5X,'PLEASE ENTER TYPE OF TRANSFORMER TO STORE IN "TD" ',

* /5X,' TD = 0 : FIXED TAP TRANSFORMER',

* /5X,' TD = 1 : PHASE SHIFT TRANSFORMER')

WRITE(*,1889)

1889 FORMAT(5X,'TRANSFORMER TYPE : FORMAT(13)

READ(*,1902) TD

WRITE(5,1902) TD

IF (TD.EQ.1) GO TO 1950

C*****READ FIXED TAP TRANSFORMERS DATA*****

DO 1940 I = 1,NT

WRITE(*,1941) I

1941 FORMAT(5X,'DATA OF FIXED TAP TRANSFORMER NUMBER',13)

WRITE(*,1942)

1942 FORMAT(5X,'TRANSFORMER NUMBER : FORMAT(13)

WRITE(*,1943)

-1943 FORMAT(5X,'SENDING BUS : FORMAT(13)

WRITE(*,1944)

1944 FORMAT(5X,'ENDING BUS : FORMAT(13)

WRITE(*,1945)

1945 FORMAT(5X,'TRANSFORMER RESISTANCE : FORMAT(F7.5)

WRITE(5,6666) NO,STB(1),ETB(1),TAPC(1),ZT

6666 FORMAT(3I3,4F7.4)

1951 CONTINUE

1958 CONTINUE

C*****READ MACHINE DATA*****C

DO 1959 I = 1,NG

WRITE(*,1960) I

1960 FORMAT(5X,'DATA OF MACHINE NUMBER',I3)

WRITE(*,1961)

1961 FORMAT(5X,'CONNECTED BUS : FORMAT(I2)')

WRITE(*,1963)

1963 FORMAT(5X,'ROTOR TYPE : FORMAT(I2)')

WRITE(*,1964)

1964 FORMAT(5X,'INERTIA CONSTANT : FORMAT(F8.4)')

WRITE(*,1966)

1966 FORMAT(5X,'DIRECT AXIS REACTANCE : FORMAT(F7.4)')

WRITE(*,1967)

1967 FORMAT(5X,'QUADRATURE AXIS REACTANCE : FORMAT(F7.4)')

WRITE(*,1968)

1968 FORMAT(5X,'DIRECT AXIS TRANSIENT REACTANCE : FORMAT(F7.4)')

WRITE(*,1969)

1969 FORMAT(5X,'QUADRATURE AXIS TRANSIENT REACTANCE',/,

* 5X, ' : FORMAT(F7.4)')

WRITE(*,1970)

1970 FORMAT(5X,'DIRECT AXIS SUBTRANSIENT REACTANCE',/,

* 5X, ' : FORMAT(F7.4)')

WRITE(*,1971)

1971 FORMAT(5X,'QUADRATURE AXIS SUBTRANSIENT REACTANCE',/,

* 5X,' : FORMAT(F7.4) ')

WRITE(*,1972)

1972 FORMAT(5X,'DIRECT AXIS TRANSIENT OPEN CIRCUIT TIME CONSTANT',/,

* 5X,' : FORMAT(F7.4) ')

WRITE(*,1973)

1973 FORMAT(5X,'DIRECT AXIS SHORT CIRCUIT TRANSIENT TIME CONSTANT',/,

* 5X,' : FORMAT(F7.4) ')

WRITE(*,1974)

1974 FORMAT(5X,'DIRECT AXIS SHORT CIRCUIT SUBTRANSIENT TIME CONSTANT',

* /,5X,' : FORMAT(F7.4) ')

READ(*,5555) CNB(1),RTT(1),H(1),XD(1),XQ(1),XXD(1),XXQ(1),

*XXXD(1),XXXQ(1),TDO(1),TTD(1),TTTD(1)

WRITE(5,5555) CNB(1),RTT(1),H(1),XD(1),XQ(1),XXD(1),XXQ(1),

*XXXD(1),XXXQ(1),TDO(1),TTD(1),TTTD(1)

5555 FORMAT(2I2,F8.4,9F7.4)

1959 CONTINUE

C*****COMMENT FOR FAULT TYPE*****C

C THERE ARE SIX SITUATIONS ACCORDING TO THE VARIABLE " FTYPE ". C

C FTYPE SITUATION OF FAULT C

C 0 : THREE PHASES FAULT OCCURED AT ANY ONE BUS. C

C 3 : THREE PHASES FAULT OCCURED AT THE TERMIANL OF C

C THE TRANSMISSION LINE JUXTAPOSE TO ANY ONE BUS. C

C 1 : THREE PHASE FAULT OCCURED AT ANY TWO BUSES - C

C CONCOMITANTLY. C

C 4 : THREE PHASES FAULT OCCURED AT THE TERMINAL OF C

C THE TRANSMISSION LINE ADJACENT TO ANY TWO - C

C BUSES SIMULTANEOUSLY. C

เอกสารนี้เป็นเอกสารที่สงวนไว้สำหรับการใช้งานเพื่อการศึกษาเท่านั้น ไม่อนุญาตให้นำไปใช้ประโยชน์ด้านการค้า
ไม่ว่ากรณีใดๆทั้งสิ้น อีกทั้งห้ามมิให้คัดแปลงเนื้อหา และต้องอ้างอิงถึงเจ้าของเอกสารทุกครั้งที่มีการนำไปใช้

```

C          2          : THREE PHASES FAULT OCCURED AT ANY ONE BUS          C
C          SUBSEQUENT RECURED AT ONCE AT ANY OTHER ONE BUS          C
C          5          : THREE PHASES FAULT OCCURED AT THE TERMINAL OF          C
C          THE TRANSMISSION LINE CONTIGUOUS TO ANY ONE BUS          C
C          SUBSEQUENT RECURED AT ONCE AT ANY OTHER OF THE          C
C          TERMINAL OF TRANSMISSION LINE PROXIMATE TO ANY          C
C          ONE BUS.          C

```

C*****C

```
WRITE(*,1882)
```

```
1882 FORMAT(/5X,'COMMENT FOR FAULT TYPE')
```

```
WRITE(*,9977)
```

```
9977 FORMAT(2X,
```

```
*'THERE ARE SIX SITUATIONS ACCORDING TO THE VARIABLE " FTYPE ".')
```

```
WRITE(*,2002)
```

```
2002 FORMAT(2X,
```

```
*' - 0          : THREE PHASES FAULT OCCURED AT ANY ONE BUS.          ')

```

```
WRITE(*,2003)
```

```
2003 FORMAT(2X,
```

```
*' - 3          : THREE PHASES FAULT OCCURED AT THE TERMIANL OF - ')
/

```

```
WRITE(*,2004)
```

```
2004 FORMAT(2X,
```

```
*'          THE TRANSMISSION LINE JUXTAPOSE TO ANY ONE BUS.          ')

```

```
WRITE(*,2005)
```

```
2005 FORMAT(2X,
```

```
*' - 1          : THREE PHASE FAULT OCCURED AT ANY TWO BUSES -          ')

```

```
WRITE(*,2006)
```

```
2006 FORMAT(2X,
```

```
*'          CONCOMITANTLY.          ')

```

```
WRITE(*,2007)
```

2007 FORMAT(2X,

*' - 4 : THREE PHASES FAULT OCCURED AT THE TERMINAL OF ')

WRITE(*,2008)

2008 FORMAT(2X,

*' THE TRANSMISSION LINE ADJACENT TO ANY TWO - ')

WRITE(*,2009)

2009 FORMAT(2X,

*' BUSES SIMULTANEOUSLY. ')

WRITE(*,2010)

2010 FORMAT(2X,

*' - 2 : THREE PHASES FAULT OCCURED AT ANY ONE BUS ')

WRITE(*,2011)

2011 FORMAT(2X,

*' SUBSEQUENT RECURED AT ONCE AT ANY OTHER ONE BUS ')

WRITE(*,2012)

2012 FORMAT(2X,

*' - 5 : THREE PHASES FAULT OCCURED AT THE TERMINAL OF ')

WRITE(*,2013)

2013 FORMAT(2X,

*' THE TRANSMISSION LINE CONTIGUOUS TO ANY ONE BUS ')

WRITE(*,2014)

2014 FORMAT(2X,

*' SUBSEQUENT RECURED AT ONCE AT ANY OTHER OF THE ')

WRITE(*,2015)

2015 FORMAT(2X,

*' TERMINAL OF TRANSMISSION LINE PROXIMATE TO ANY ')

WRITE(*,2016)

2016 FORMAT(2X,

*' ONE BUS. ')

เอกสารนี้เป็นเอกสารที่สงวนไว้สำหรับการใช้งานเพื่อการศึกษาเท่านั้น ไม่อนุญาตให้นำไปใช้ประโยชน์ด้านการค้า
ไม่ว่ากรณีใดๆทั้งสิ้น อีกทั้งห้ามมิให้ดัดแปลงเนื้อหา และต้องอ้างอิงถึงเจ้าของเอกสารทุกครั้งที่มีการนำไปใช้

C*****READ FAULT TYPE*****C

WRITE(*,7)

7 FORMAT(/5X,'PLEASE ENTER FAULT TYPE : FORMAT(12)')

READ(*,1976) FTYPE

1976 FORMAT(12)

WRITE(5,1976) FTYPE

IF (FTYPE.EQ.0) GO TO 8880

IF (FTYPE.EQ.1) GO TO 8881

IF (FTYPE.EQ.2) GO TO 8882

IF (FTYPE.EQ.3) GO TO 8883

IF (FTYPE.EQ.4) GO TO 8884

IF (FTYPE.EQ.5) GO TO 8885

C*****FTYPE 0*****C

8880 WRITE(*,8886)

8886 FORMAT(/16X,'THREE PHASES FAULT OCCURED AT ANY ONE BUS.')

GO TO 1977

C*****FTYPE 1*****C

8881 WRITE(*,8887)

8887 FORMAT(/16X,'THREE PHASE FAULT OCCURED AT ANY TWO BUSES')

WRITE(*,2017)

2017 FORMAT(5X,

*' CONCOMITANTLY.')

GO TO 1986

C*****FTYPE 2*****C

8882 WRITE(*,88)

88 FORMAT(/16X,'THREE PHASES FAULT OCCURED AT ANY ONE BUS')

WRITE(*,2018)

เอกสารนี้เป็นเอกสารที่สงวนไว้สำหรับการใช้งานเพื่อการศึกษาเท่านั้น ไม่อนุญาตให้นำไปใช้ประโยชน์ด้านการค้า
ไม่ว่ากรณีใดๆทั้งสิ้น อีกทั้งห้ามมิให้ตัดแปลงเนื้อหา และต้องอ้างอิงถึงเจ้าของเอกสารทุกครั้งที่มีการนำไปใช้

2018 FORMAT(5X,

*' SUBSEQUENT RECURED AT ONCE AT ANY OTHER ONE BUS ')

GO TO 1986

C*****FTYPE 3*****C

8883 WRITE(*,8889)

8889 FORMAT(/16X,' THREE PHASES FAULT OCCURED AT THE TERMIANL OF ')

WRITE(*,2019)

2019 FORMAT(5X,

*' THE TRANSMISSION LINE JUXTAPOSE TO ANY ONE BUS. ')

GO TO 1977

C*****FTYPE 4*****C

8884 WRITE(*,8890)

8890 FORMAT(/16X,' THREE PHASES FAULT OCCURED AT THE TERMINAL OF ')

WRITE(*,2020)

2020 FORMAT(5X,

*' THE TRANSMISSION LINE ADJACENT TO ANY TWO - ')

WRITE(*,2021)

2021 FORMAT(5X,

*' BUSES SIMULTANEOUSLY. ')

GO TO 2222

C*****FTYPE 5*****C

8885 WRITE(*,8891)

8891 FORMAT(/16X,' THREE PHASES FAULT OCCURED AT THE TERMINAL OF ')

WRITE(*,2022)

2022 FORMAT(5X,

*' THE TRANSMISSION LINE CONTIGUOUS TO ANY ONE BUS ')

WRITE(*,2023)

2023 FORMAT(5X,

*' SUBSEQUENT RECURED AT ONCE AT ANY OTHER OF THE ')

WRITE(*,2024)

2024 FORMAT(5X,

*' TERMINAL OF TRANSMISSION LINE PROXIMATE TO ANY - ')

WRITE(*,2025)

2025 FORMAT(5X,

*' ONE BUS. ')

GO TO 2222

1977 CONTINUE

C*****READ DATA FOR FAULT TYPE = 0,3*****C

C*****FOR FAULT TYPE 0,3*****C

C REMARK C

C IF (FTYPE.EQ.0) THEN ((FB2.EQ.0).AND.(RCYC.EQ.0)) C

C WHEN FB2 : SECOND FAULT BUS NUMBER C

C RCYC : RECLOSE LINE CYCLE C

C*****C

WRITE(*,1979)

1979 FORMAT(5X,'FIRST FAULT BUS NUMBER : FORMAT(12) ')

WRITE(*,1981)

1981 FORMAT(5X,'SECOND FAULT BUS NUMBER : FORMAT(12) ')

WRITE(*,2000)

2000 FORMAT(5X,'FOR FTYPE = 0 ,SECOND FAULT BUS = 0')

WRITE(*,1982)

1982 FORMAT(5X,'FAULT CYCLE : FORMAT(12) ')

WRITE(*,1983)

1983 FORMAT(5X,'CLEAR FAULT CYCLE : FORMAT(12) ')

WRITE(*,1984)

1984 FORMAT(5X,'RECLOSE LINE CYCLE : FORMAT(12) ')

WRITE(*,1985)

เอกสารนี้เป็นทรัพย์สินของมหาวิทยาลัยราชภัฏวไลยอลงกรณ์ฯ อนุญาตให้นำไปใช้ประโยชน์ด้านการค้า
ไม่ว่ากรณีใดๆทั้งสิ้น อีกทั้งห้ามมิให้ดัดแปลงเนื้อหา และต้องอ้างอิงถึงเจ้าของเอกสารทุกครั้งที่มีการนำไปใช้

```

1985 FORMAT(5X,'LAST CYCLE                :      FORMAT(12)      ')
      READ(*,1980)   FBI,FB2,FCYC1,CCYC1,RCCYC1,LCYC1
      WRITE(5,1980)  FBI,FB2,FCYC1,FCYC1,RCCYC1,LCYC1
1980 FORMAT(6I2)
      GO TO 2001
1986 CONTINUE

```

C*****READ DATA FOR FAULT TYPE = 1,2*****C

```

      WRITE(*,1988)
1988 FORMAT(5X,'FIRST FAULT BUS NUMBER      :      FORMAT(12)      ')
      WRITE(*,1989)
1989 FORMAT(5X,'SECOND FAULT BUS NUMBER     :      FORMAT(12)      ')
      WRITE(*,1990)
1990 FORMAT(5X,'FIRST FAULT CYCLE           :      FORMAT(12)      ')
      WRITE(*,1991)
1991 FORMAT(5X,'SECOND FAULT CYCLE          :      FORMAT(12)      ')
      WRITE(*,1992)
1992 FORMAT(5X,'FIRST CLEAR FAULT CYCLE     :      FORMAT(12)      ')
      WRITE(*,1993)
1993 FORMAT(5X,'SECOND CLEAR FAULT CYCLE    :      FORMAT(12)      ')
      WRITE(*,9009)
9009 FORMAT(5X,'FIRST LAST CYCLE            :      FORMAT(12)      ')
      WRITE(*,9010)
9010 FORMAT(5X,'SECOND LAST CYCLE           :      FORMAT(12)      ')
      READ(*,98)    FBI,FB2,FCYC1,FCYC2,CCYC1,CCYC2,LCYC1,LCYC2
      WRITE(5,98)   FBI,FB2,FCYC1,FCYC2,CCYC1,CCYC2,LCYC1,LCYC2
98  FORMAT(8I2)

```

C*****READ DATA FOR FAULT TYPE = 4,5*****

WRITE(*,19)

19 FORMAT(5X,'FIRST FAULT BUS NUMBER : FORMAT(12)

WRITE(*,18)

18 FORMAT(5X,'SECOND FAULT BUS NUMBER : FORMAT(12)

WRITE(*,9000)

9000 FORMAT(5X,'THIRD FAULT BUS NUMBER : FORMAT(12)

WRITE(*,9001)

9001 FORMAT(5X,'FORTH FAULT BUS NUMBER : FORMAT(12)

WRITE(*,10)

10 FORMAT(5X,'FIRST FAULT CYCLE : FORMAT(12)

WRITE(*,11)

11 FORMAT(5X,'SECOND FAULT CYCLE : FORMAT(12)

WRITE(*,12)

12 FORMAT(5X,'FIRST CLEAR FAULT CYCLE : FORMAT(12)

WRITE(*,13)

13 FORMAT(5X,'SECOND CLEAR FAULT CYCLE : FORMAT(12)

WRITE(*,9007)

9007 FORMAT(5X,'FIRST RECLOSE LINE CYCLE : FORMAT(12)

WRITE(*,9008)

9008 FORMAT(5X,'SECOND RECLOSE LINE CYCLE : FORMAT(12)

WRITE(*,90)

90 FORMAT(5X,'FIRST LAST CYCLE : FORMAT(12)

WRITE(*,91)

91 FORMAT(5X,'SECOND LAST CYCLE : FORMAT(12)

READ(*,1111) FB1,FB2,FB3,FB4,FCYC1,FCYC2,CCYC1,CCYC2,RCCYC1,
*RCCYC2,LCYC1,LCYC2

WRITE(5,1111) FB1,FB2,FB3,FB4,FCYC1,FCYC2,CCYC1,CCYC2,RCCYC1,

เอกสารนี้เป็นเอกสารที่สงวนไว้สำหรับการใช้งานเพื่อการศึกษาเท่านั้น ไม่อนุญาตให้นำไปเผยแพร่โดยไม่ได้รับอนุญาต
ไม่ว่ากรณีใดๆทั้งสิ้น อีกทั้งห้ามมิให้ดัดแปลงเนื้อหา และต้องอ้างอิงถึงเจ้าของเอกสารทุกครั้งที่มีการนำไปใช้

*RCCYC2,LCYC1,LCYC2

1111 FORMAT(1212)

2001 CONTINUE

CLOSE(5)

STOP

END



เอกสารนี้เป็นเอกสารที่สงวนไว้สำหรับการใช้งานเพื่อการศึกษาเท่านั้น ไม่อนุญาตให้นำไปใช้ประโยชน์ด้านการค้า
ไม่ว่ากรณีใดๆทั้งสิ้น อีกทั้งห้ามมิให้ดัดแปลงเนื้อหา และต้องอ้างอิงถึงเจ้าของเอกสารทุกครั้งที่มีการนำไปใช้

C*****

C MAIN PROGRAM

C*****

C PURPOSE

C MAIN PROGRAM USED TO CALL TWO SUBROUTINES

C 1. LOADFLOW PROGRAM.

C 2. STABILITY PROGRAM.

C DECLARED COMMON VARIABLES

C V : BUS VOLTAGE

C PG : REAL POWER GENERATION

C QG : REACTIVE POWER GENERATION

C PL : REAL LOAD POWER

C QL : REACTIVE LOAD POWER

C Y : ADMITTANCE MATRIX

C XD : DIRECT AXIS REACTANCE

C XQ : QUADRATURE AXIS REACTANCE

C XXD : DIRECT AXIS TRANSIENT REACTANCE

C XXQ : QUADRATURE AXIS TRANSIENT REACTANCE

C XXXD : DIRECT AXIS SUBTRANSIENT REACTANCE

C XXXQ : QUADRATURE AXIS SUBTRANSIENT REACTANCE

C TDO : DIRECT AXIS TRANSIENT OPEN CIRCUIT TIME CONSTANT

C TTD : DIRECT AXIS SHORT CIRCUIT TRANSIENT TIME CONSTANT

C TTTD : DIRECT AXIS SHORT CIRCUIT SUBTRANSIENT TIME CONSTANT

C VG : GENERATOR VOLTAGE

C PWR : REAL POWER

C ANGDEG : POWER ANGLE IN DEGREE

C OMA : GENERATOR SPEED

C YL : MODIFIED LINE ADMITTANCE MATRIX

C NE : NUMBER OF BUSES

C NG : NUMBER OF GENERATOR

เอกสารนี้เป็นเอกสารที่สงวนไว้สำหรับการใช้งานเพื่อการศึกษาเท่านั้น ไม่อนุญาตให้นำไปใช้ประโยชน์ด้านการค้า
ไม่ว่ากรณีใดๆทั้งสิ้น อีกทั้งห้ามมิให้ดัดแปลงเนื้อหา และต้องอ้างอิงถึงเจ้าของเอกสารทุกครั้งที่มีการนำไปใช้

C NL : NUMBER OF LINES
 C NT : NUMBER OF TRANSFORMER
 C NX : CASE OF REACTANCE
 C VTOL : TOLERANCE VOLTAGE
 C SBASE : SYSTEM BASE
 C SLACKB : SLACK BUS NUMBER
 C FRF : FREQUENCY
 C ACCEF : ACCELERATE FACTOR
 C TYPE : TYPE OF BUS

REMARK

1. NX

= 0 : INCLUDED EFFECT OF TRANSIENT REACTANCE AND REACTANCE
 : IN TWO AXIS ONLY.
 = 1 : NOT ONLY INCLUDED EFFECT OF TRANSIENT REACTANCE AND
 : REACTANCE IN TWO AXIS BUT SUBTRANSIENT REACTANCE
 : AS WELL.

2. TYPE

= 0 : LOAD BUS
 = 1 : GENERATOR BUS

COMMON/VAR1/V(20)
 COMMON/VAR2/PG(20),QG(20),PL(20),QL(20)
 COMMON/VAR3/Y(20,20)
 COMMON/VAR4/XD(20),XXD(20),XXXD(20)
 COMMON/VAR5/XQ(20),XXQ(20),XXXQ(20)
 COMMON/VAR6/TD(20),TTD(20),TTTD(20)
 COMMON/VAR7/VG(20)
 COMMON/VAR8/PWF(100,.01)
 COMMON/VAR9/ANGDFG(100,.001)
 COMMON/VAR10/QMA(100,.01)

```

COMMON/VAR11/YL(20,20)
COMMON/VAR12/NB,NG,NL,NT,CX
COMMON/VAR13(VTOL,SBASE,SLACKB,FREQ),ACCEF
COMMON/VAR14/TYPE(20)
COMPLEX Y,V,VG,YL
INTEGER SLACKB,CASE,TYPE,CX
CALL LOADFLOW
CALL STABILITY
STOP
END

```

```

C*****
C
C          SUBROUTINE LOADFLOW
C*****
C  PURPOSE
C
C    1. LOAD FLOW PROGRAM BY NEWTON RAPHSON METHOD.
C    2. LOAD FLOW SOLUTION USED TO BE INITIAL DATA FOR STABILITY -
C       PROGRAM.
C*****
C          SUBROUTINE LOADFLOW
COMMON/VAR1/V(20)
COMMON/VAR2/PG(20),QG(20),PI(20),GL(20)
COMMON/VAR3/Y(20,20)
COMMON/VAR12/NB,NG,NL,NT,CX
COMMON/VAR13/VTOL,SBASE,SLACKB,FREQ,ACCEF
COMMON/VAR14/TYPE(20)
COMPLEX Y,CHTY,SERY,YT,ZT,TAPC,V,C,CHRT,AMIS,POBUS,SFLOW,PT,SUM,
*RFLOW
INTEGER SLACKB,TYPE,SB,EB,TD,STR,ETB,TCODE,CX
REAL SV,QMIN,QMAX,CHTB,TAP,CP,CQ,DP,DO,ANG,BB,EMAG,DELTAE,E,F,G,
*KB,J1,J2,J3,J4,J5,P,A,A',D,INV,AINV,C,DELE,DELF,ENEW,FNEW,MAA,
*MBB,MAXMIS

```

เอกสารนี้เป็นเอกสารที่สงวนไว้สำหรับการใช้งานเพื่อการศึกษาเท่านั้น ไม่อนุญาตให้นำไปใช้ประโยชน์ด้านการค้า
ไม่ว่ากรณีใดๆทั้งสิ้น อีกทั้งห้ามมิให้ดัดแปลงเนื้อหา และต้องอ้างอิงถึงเจ้าของเอกสารทุกครั้งที่มีการนำไปใช้

```

DIMENSION SV(20),QMIN(20),QMAX(20),SHTB(20),SHTY(20),
*SERV(20),CB(20),EB(20),JTB(10),ETB(10),TAP(10),YT(10),TCODE(20)
*TAPO(10),S(20),CURT(10),CP(20),CO(20),CF(10),FO(20),ANB(20),
*BP(10),EMAG(20),DELTAE(20),F(20),F(20),G(0,0),F(20,20),
*J1(20,20),J2(20,20),J3(20,20),J4(20,20),J5(20,20),J6(20,20),
*AA(20,20),A(20,20),D(20,20),INV(20,20),ANV(10,20),D(20,20),
*DELE(20),DELF(20),ENEW(20),FNEW(20)
C*****READ HEAD DATA INPUT*****
OPEN('FILE='A:DATA'
C*****READ HEAD DATA*****
READ(5,10) NB,NL,NG,NT,VTOL,SPASE,SLACKB,FREQ,ACCEF,CX
10 FORMAT(4I3,F7.5,F10.5,I3,F4.1,F7.5,I2)
C*****READ BUS DATA*****
DO 17 I=1,NB
READ(2,11) TYPE(I),SV(I),PG(I),D(I),IL(I),QL(I),QMIN(I),QMAX(I)
XSHUNT(I)
11 FORMAT(11,F5.3,7F7.2)
12 CONTINUE
C*****WRITE HEAD DATA*****
WRITE(*,13) NB,NL,NG,NT,VTOL,SPASE,SLACKB,FREQ,ACCEF
13 FORMAT(T10,'NUMBER OF BUSES',T40,I3,/T10,'NUMBER OF LINES',T40,
*I3,/T10,'NUMBER OF GENERATORS',T40,I3,/T10,
*'NUMBER OF TRANSFORMERS',T40,I3,/T10,'VOLTAGE TOLERANCE',T41,
*F7.5,/T10,'SYSTEM BASE',T42,F6.2,T50,'MVA',/T10,
*'SLACK BUS NUMBER',T40,I3,/T10,'FREQUENCY',T42,F4.1,/T10,
*'ACCELERATE FACTOR',T42,F7.5/
C*****WRITE BUS DATA*****
WRITE(*,14)
14 FORMAT(/T31,'BUS DATA',/T23,'GENERATION',T42,'LOAD',T5
*'MIN',T62,'MAX',T72,'SHUNT',/T3,'BUS',T8,'TYPE',T14,
*'VOLTS',T23,'MW',T30,'MVAR',T39,'MW',T46,'MVAR',T54,'MVAR',T62,

```

เอกสารนี้เป็นเอกสารที่สงวนไว้สำหรับการใช้งานเพื่อการศึกษาเท่านั้น ไม่อนุญาตให้นำไปใช้ประโยชน์ด้านการค้า
ไม่ว่ากรณีใดๆทั้งสิ้น อีกทั้งห้ามมิให้ดัดแปลงเนื้อหา และต้องอ้างอิงถึงเจ้าของเอกสารทุกครั้งที่มีการนำไปใช้

```
*'MVAR',T69,'SUSCEPTANCE'//
```

```
DO 16 J=1,NB
```

```
WRITE(*,15) J,TYPE(I), W(I),F6(I),DG(I),PL(I),OL(I),OMIN(I),
```

```
*QMAX(I),CHTY(I)
```

```
15 FORMAT(T4,'2,T10,I1,T14,F5.3,T21,F7.2,T28,F7.2,T35,F7.0,T44,F7.2,
```

```
*T52,F7.2,T60,F7.2,T68,F7.0)
```

```
16 CONTINUE
```

```
C*****CLEAR BUS ADMITTANCE MATRIX*****
```

```
DO 19 J=1,NB
```

```
DO 20 K=1,NB
```

```
Y(I,J)=CMPLX(0.0,0.0)
```

```
20 CONTINUE
```

```
C*****CLEAR SHUNT AND SERIES ADMITTANCE*****
```

```
DO 21 J=1,NB
```

```
SHTY(I)=CMPLX(0.0,0.0)
```

```
SEY(I)=CMPLX(0.0,0.0)
```

```
21 CONTINUE
```

```
C*****READ AND WRITE LINE DATA*****
```

```
WRITE(*,17)
```

```
17 FORMAT(/T31,'LINE DATA',/T5,'LINE',T12,'BUS',I10,'BUS',
```

```
*T24,'LENGTH',T34,'RESISTANCE',T47,'REACTANCE',T59,'SUSCEPTANCE'//)
```

```
DO 13 J=1,NL
```

```
READ(5,10) LINE,SB(I),EB(I),EL,R,X,BC
```

```
18 FORMAT(3I3,4F7.5)
```

```
C*****
```

```
C FORM ADMITTANCE MATRIX
```

```
C*****
```

```
C*****FORM ADMITTANCE MATRIX FROM LINE DATA*****
```

```
CHTY(I)=EL*CMPLX(0.0,P7)
```

```
SEY(I)=1/(EL*CMPLX(R,X))
```

```
I=SB(I)
```

เอกสารนี้เป็นเอกสารที่สงวนไว้สำหรับการใช้งานเพื่อการศึกษาเท่านั้น ไม่อนุญาตให้นำไปใช้ประโยชน์ด้านการค้า
ไม่ว่ากรณีใดๆทั้งสิ้น อีกทั้งห้ามมิให้ดัดแปลงเนื้อหา และต้องอ้างอิงถึงเจ้าของเอกสารทุกครั้งที่มีการนำไปใช้

```

M = EB(I)
Y(L,') = Y(L,L)+SERY(I)+(SHTY(I)/2.0)
Y(M,M) = Y(M,M)+SERY(I)+(SHTY(I)/2.0)
Y(L,M) = Y(L,M)+SERY(I)
Y(M,L) = Y(M,L)+SERY(I)
WRITE(*,20) LINE,CB(I),EB(I),FL,P,X,P
21 FORMAT('5,13,T12,13,T18,19,T24,F7.5,T30,F7.5,T48,F7.5,1,F7.5)
23 CONTINUE
*****READ SHUNT CAPCEPTANCE TO ADMITTANCE MATRIX*****
20 24 I=1,NP
Y(I,') = Y(I,')-CMPLX(0.0,THETA(I))
24 CONTINUE
*****CHECK NUMBER OF TRANSFORMER *****
IF (NT.EQ.0) GO TO 44
*****IF THERE ARE TRANSFORMERS THEN CHECK TYPE OF TRANSFORMER*****
READ(*,37) TD
37 FORMAT(I3)
C*****TD : TRANSFORMER TYPE*****
C 0 : FIXED TAP TRANSFORMERS
C 1 : TAP CHANGING TRANSFORMER
IF (TD.EQ.1) GO TO 38
C*****READ AND WRITE DATA OF TAP FIXED TRANSFORMERS*****
WRITE(*,29)
29 FORMAT('T29, 'TRANSFORMER - DATA',//T7, 'N'),T1, 'BU',T10, 'BU',
*T27, 'RESISTANCE',T41, 'REACTANCE',T54, 'TAP',T63, 'CODE'
R = 0.0
X = 0.0
DO 30 I=1,NT
READ(*,31) NO,STB(I),ETB(I),R,X,TAP(I),TTYPE(I)
31 FORMAT('31,3F7.5,F5.3,1)

```

เอกสารนี้เป็นเอกสารที่สงวนไว้สำหรับการใช้งานเพื่อการศึกษาเท่านั้น ไม่อนุญาตให้นำไปใช้ประโยชน์ด้านการค้า
ไม่ว่ากรณีใดๆทั้งสิ้น อีกทั้งห้ามมิให้ดัดแปลงเนื้อหา และต้องอ้างอิงถึงเจ้าของเอกสารทุกครั้งที่มีการนำไปใช้

C*****FORM ADMITTANCE FROM FIXED TAP TRANSFORMER*****C

YT(1) = 1.0/CMPLX(R,X)

IF (TCODE(1).EQ.1) GO TO 50

L = STB(1)

M = ETB(1)

GO TO 33

50 L = FTB(1)

M = STB(1)

Y(M,M) = Y(M,M)+YT(1)

Y(L,M) = Y(L,M)-YT(1)/TAP(1)

Y(M,L) = Y(L,M)

LINE = NL+NO

WRITE(*,24) NO,STB(1),ETB(1),P,X,TAP(1),TCODE(1)

24 FORMAT(T5,I3,T13,I3,T20,I3,T29,F7.5,T42,F7.5,T53,F5.3,T74,I1)

30 CONTINUE

GO TO 14

C*****READ AND WRITE DATA OF PHASE SHIFT TRANSFORMERS*****C

38 WRITE(*,39)

39 FORMAT(//T29,'TRANSFORMER - DATA',//T3,'NO',T6,'PRI',T10,'SEC',
*T17,'IMPEDANCE',T29,'ADMITTANCE',T43,'TAP CHANGING',
*T57,'PHASE SHIFTING'/)

DO 40 I = 1,NT

READ(5,11) NO,STB(1),FTB(1),TAPC(1),ZT

41 FORMAT(3I3,4F7.4)

YT(1) = 1.0/ZT

AMP = REAL(TAPC(1))

PHASE = AIMAG(TAPC(1))

WRITE(*,43) NO,STB(1),FTB(1),YT(1),AMP,PHASE

43 FORMAT(T7,I3,T6,I3,T10,I3,T15,F5.3,T22,F6.4,T29,F5.3,T34,F6.4,
*T42,F6.4,T47,F6.4,T61,F6.4)

เอกสารนี้เป็นเอกสารที่สงวนไว้สำหรับการใช้งานเพื่อการศึกษาเท่านั้น ไม่อนุญาตให้นำไปใช้ประโยชน์ด้านการค้า
ไม่ว่ากรณีใดๆทั้งสิ้น อีกทั้งห้ามมิให้ดัดแปลงเนื้อหา และต้องอ้างอิงถึงเจ้าของเอกสารทุกครั้งที่มีการนำไปใช้

C*****FORM ADMITTANCE MATRIX FROM PHASE SHIFT TRANSFORMERS*****

DTR = 57.79577951

PHASE = PHASE/DTR

AZ = AMPL*OS(PHASE)

BZ = AMP*9IN(PHASE)

TAP(I) = CMPLX(AZ,BZ)

Y = STB(I)

M = ETB(I)

Y(L,I) = Y(I,I)+YT(I)/TAP(I)*CONJG(TAP(I))

Y(M,M) = Y(M,M)+YT(I)

Y(I,M) = Y(L,M)+YT(I)/CONJG(TAP(I))

Y(M,L) = Y(M,L)+YT(I)/TAP(I)

LINE = NI+NO

47 CONTINUE

48 CONTINUE

*****CALCULATE REAL AND REACTIVE POWER PER UNIT*****

DO 34 I = 1,NB

PG(I) = PG(I)/SBASE

QG(I) = QG(I)/SBASE

PL(I) = PL(I)/SBASE

QL(I) = QL(I)/SBASE

S(I) = CMPLX(PG(I)-PL(I),QG(I)-QL(I))

34 CONTINUE

*****COUNT NUMBER OF GENERATOR BUS*****

MB = 0

DO 37 J = 1,NB

IF (TYPE(J).EQ.1) MB = MB+1

37 CONTINUE

*****ICND CONDITION*****

IF (MP.NE.0) THEN

QIND = 1

เอกสารนี้เป็นเอกสารที่สงวนไว้สำหรับการใช้งานเพื่อการศึกษาเท่านั้น ไม่อนุญาตให้นำไปใช้ประโยชน์ด้านการค้า
ไม่ว่ากรณีใดๆทั้งสิ้น อีกทั้งห้ามมิให้ดัดแปลงเนื้อหา และต้องอ้างอิงถึงเจ้าของเอกสารทุกครั้งที่มีการนำไปใช้

ELSE

(COD = 0)

END IF

C*****CLEAR P (X, Y) AND E (S) THE VOLTAGE*****C

DO 78 I = 1,NB

ANG(I) = 0.00

78 CONTINUE

C*****INITIALIZE THE COUNT *****C

ICOUNT = 0

C*****CALCULATE BUS VOLTAGE*****C

DO 79 I = 1,NB

PX = SV(1)*COS(ANG(I))

PY = SV(1)*SIN(ANG(I))

V(I) = COMPLX(PX,PY)

79 CONTINUE

70 CONTINUE

C*****CALCULATE REAL AND REACTIVE POWER*****C

DO 74 I = 2,NB

CP(I) = 0.0

CQ(I) = 0.0

E(I) = REAL(V(I))

F(I) = AIMAG(V(I))

DO 75 J = 1,NB

E(J) = REAL(V(J))

G(I,J) = REAL(Y(I,J))

F(J) = AIMAG(V(J))

B(I,J) = -AIMAG(Y(I,J))

P = E(I)*((E(J)*G(I,J))+(F(J)*B(I,J)))

* Q = F(I)*((F(J)*G(I,J))-(E(J)*B(I,J)))

CP(I) = CP(I)+P

CQ(I) = CQ(I)+Q

เอกสารนี้เป็นเอกสารที่สงวนไว้สำหรับการใช้งานเพื่อการศึกษาเท่านั้น ไม่อนุญาตให้นำไปใช้ประโยชน์ด้านการค้า
ไม่ว่ากรณีใดๆทั้งสิ้น อีกทั้งห้ามมิให้ดัดแปลงเนื้อหา และต้องอ้างอิงถึงเจ้าของเอกสารทุกครั้งที่มีการนำไปใช้

```

C IF BOTH
C     ABSOLUTE MAXIMUM DIFFERENCE REAL POWER FOR THIS ITERATION)
C AND
C     ABSOLUTE MAXIMUM DIFFERENCE REACTIVE POWER FOR THIS ITERATION)
C LESS EQUAL 0.0001
C THEN CALCULATE LINE FLOWS AND POWER AT SLACK BUS
C ELSE CALCULATE BUS CURRENTS

```

```

DO 105 I = 2,NB
    (DP(I),ST,0.0001) GO TO 102
    IF (COD.EQ.0) GO TO 103
    IF (.GT.MB) GO TO 103
    IF (DELTAEQ .GT.0.0001) GO TO 102
GO TO 105
103 IF (DQ(I),ST,0.0001) GO TO 102
105 CONTINUE
106 CONTINUE
GO TO 111

```

C*****CALCULATE BUS CURRENTS*****

```

102 DO 104 I = 2,NB
    CURT(I) = CMPLX(CP(I),-CQ(I)) CONJG(V(I))
104 CONTINUE

```

C*****FORM ELEMENTS FOR JACOBIAN MATRIX*****

```

DO 166 I = 2,NB
    E(I) = REAL(V(I))
    F(I) = AIMAG(V(I))
166 CONTINUE
DO 167 I = 1,NB
    DO 168 J = 1,NB
        G(I,J) = REAL(Y(I,J))
        R(I,J) = AIMAG(Y(I,J))
    
```

เอกสารนี้เป็นเอกสารที่สงวนไว้สำหรับการใช้งานเพื่อการศึกษาเท่านั้น ไม่อนุญาตให้นำไปใช้ประโยชน์ด้านการค้า
ไม่ว่ากรณีใดๆทั้งสิ้น อีกทั้งห้ามมิให้ดัดแปลงเนื้อหา และต้องอ้างอิงถึงเจ้าของเอกสารทุกครั้งที่มีการนำไปใช้

168 CONTINUE

167 CONTINUE

C*****FORM JACOBIAN MATRIX 1,2*****

DO 161 I = 2,MP

DO 162 J = 2,NP

J1(I,J) = 0.0

J2(I,J) = 0.0

162 CONTINUE

DO 163 I = 2,NE

J1(I,I) = J1(I,I)+(E(I)*G(I,I))

* -(F(I)*B(I,I))+REAL(CURT(I))

J2(I,I) = J2(I,I)-(E(I)*B(I,I))

* +(F(I)*G(I,I)-AIMAG(CURT(I)))

DO 163 J = 2,NB

IF (I.NE.J) THEN

J1(I,J) = J1(I,J)+(E(I)*G(I,J))-(F(I)*B(I,J))

J2(I,J) = J2(I,J)-(E(I)*B(I,J))+(F(I)*G(I,J))

END IF

169 CONTINUE

IF (ICOD.EQ.0) M = 2

IF (ICOD.EQ.0) GO TO 170

C*****FORM JACOBIAN MATRIX 3,4*****

DO 172 I = 2,MB

DO 172 J = 2,NB

J3(I,J) = 0.0

J4(I,J) = 0.0

172 CONTINUE

DO 171 I = 2,MB

J3(I,I) = J3(I,I)+2*E(I)

J4(I,I) = J4(I,I)+2*F(I)

DO 171 J = 2,NB

เอกสารนี้เป็นเอกสารที่สงวนไว้สำหรับการใช้งานเพื่อการศึกษาเท่านั้น ไม่อนุญาตให้นำไปใช้ประโยชน์ด้านการค้า
ไม่ว่ากรณีใดๆทั้งสิ้น อีกทั้งห้ามมิให้ดัดแปลงเนื้อหา และต้องอ้างอิงถึงเจ้าของเอกสารทุกครั้งที่มีการนำไปใช้

```
*          - E(I)*((F(J)*G(I,J))-(E(J)*B(I,J)))
```

```
  CQ(I)    =  -Q(I)+Q
```

```
75 CONTINUE
```

```
74 CONTINUE
```

```
*.* CALCULATE DIFFERENCES BETWEEN SCHEDULED AND CALCULATED REAL POWER
```

```
DO 92 I = 2,NP
```

```
DP(I)    = REAL(S(I)) CP(I)
```

```
BB(I)    = DP(I)
```

```
92 CONTINUE
```

```
J = NB+1
```

```
IF (ICOD.EQ.0) M = 2
```

```
IF (ICOD.EQ.3) GO TO 100
```

```
C*****FOR VOLTAGE CONTROL BUS*****C
```

```
DO 101 I = 2,MB
```

```
EMAG(I)  = (E(I))**2 + (F(I))**2
```

```
DELTAE(I) = V(I)**2 - EMAG(I)
```

```
BB(J)    = DELTAE(I)
```

```
J = J+1
```

```
101 CONTINUE
```

```
M = MB+1
```

```
100 CONTINUE
```

```
C*CALCULATE DIFFERENCES BETWEEN SCHEDULED AND CALCULATED REACTIVE POWER
```

```
DO 137 I = M,NB
```

```
DQ(I)    = AIMAG(S(I))-CQ(I)
```

```
BB(J)    = DQ(I)
```

```
J = J+1
```

```
137 CONTINUE
```

```
C*****C
```

```
C*****DETERMINE MAXIMUM CHANGE IN POWER MAX DELTA REAL POWER AND
```

```
C REACTIVE POWER FOR THIS ITERATION.
```

```
C*****TEST FOR CONVERGENCE*****C
```

เอกสารนี้เป็นเอกสารที่สงวนไว้สำหรับการใช้งานเพื่อการศึกษาเท่านั้น ไม่อนุญาตให้นำไปใช้ประโยชน์ด้านการค้า
ไม่ว่ากรณีใดๆทั้งสิ้น อีกทั้งห้ามมิให้ดัดแปลงเนื้อหา และต้องอ้างอิงถึงเจ้าของเอกสารทุกครั้งที่มีการนำไปใช้

```
IF (I.NE.J) THEN
```

```
J3(I,J) = 0.0
```

```
J4(I,J) = 0.0
```

```
END IF
```

```
171 CONTINUE
```

```
170 CONTINUE
```

```
C*****FORM JACOBIAN MATRIX 5,6*****C
```

```
DO 175 I M,NB
```

```
DO 175 J = 2,NB
```

```
J5(I,J) = 0.0
```

```
J6(I,J) = 0.0
```

```
175 CONTINUE
```

```
DO 176 I = M,NB
```

```
J5(I,I) = J5(I,I)-(E(I)*B(I,I))+(F(I)*G(I,I))-AIMAG(CURT(I))
```

```
J6(I,I) = J6(I,I)-(E(I)*G(I,I))-(F(I)*B(I,I))+REAL(CURT(I))
```

```
DO 176 J = 2,NB
```

```
IF (I.NE.J) THEN
```

```
J5(I,J) = J5(I,J)+(F(I)*G(I,J))-(E(I)*B(I,J))
```

```
J6(I,J) = J6(I,J)-(F(I)*B(I,J))-(E(I)*G(I,J))
```

```
END IF
```

```
176 CONTINUE
```

```
C*****FORM ALL SUBJACOBIAN TO FORM ALL JACOBIAN MATRIX*****C
```

```
DO 3030 I = 2,NB
```

```
DO 3030 J = 2,NB
```

```
A(I,J) = 0.0
```

```
3030 CONTINUE
```

```
DO 182 I = 2,NB
```

```
DO 182 J = 2,NB
```

```
A'(I,J) = J1(I,J)
```

```
182 CONTINUE
```

```
DO 189 I = 2,NB
```

เอกสารนี้เป็นเอกสารที่สงวนไว้สำหรับการใช้งานเพื่อการศึกษาเท่านั้น ไม่อนุญาตให้นำไปใช้ประโยชน์ด้านการค้า
ไม่ว่ากรณีใดๆทั้งสิ้น อีกทั้งห้ามมิให้ดัดแปลงเนื้อหา และต้องอ้างอิงถึงเจ้าของเอกสารทุกครั้งที่มีการนำไปใช้

```

J = 2
N = 2*NB + 1
L = NB+1
DO 184 K = L,N
A(I,K) = J2(I,J)
IF (I.GT.NB) GO TO 185
J = J+1
184 CONTINUE
185 CONTINUE
183 CONTINUE
IA = NB+1
I = 2
IF (I.GT.NB) GO TO 191
193 CONTINUE
DO 190 J = 2,NB
A(IA,J) = J3(I,J)
190 CONTINUE
I = I+1
IF (I.GT.NB) GO TO 192
IA = IA+1
GO TO 193
192 IA = IA+1
191 CONTINUE
DO 194 J = 2,NB
A(IA,J) = J5(I,J)
194 CONTINUE
I = I+1
IF (I.GT.NB) GO TO 195
IA = IA+1
GO TO 191
195 CONTINUE

```

เอกสารนี้เป็นเอกสารที่สงวนไว้สำหรับการใช้งานเพื่อการศึกษาเท่านั้น ไม่อนุญาตให้นำไปใช้ประโยชน์ด้านการค้า
ไม่ว่ากรณีใดๆทั้งสิ้น อีกทั้งห้ามมิให้ดัดแปลงเนื้อหา และต้องอ้างอิงถึงเจ้าของเอกสารทุกครั้งที่มีการนำไปใช้

```

IA = NB+1
I = 2
F(ICOP.EQ.0) GO TO 19
197 CONTINUE
L = NB+1
DO 198 J = 2,NB
A(IA,L) = J4(I,J)
L = L+1
198 CONTINUE
I = I+1
IF(I.GT.MB) GO TO 199
IA = IA+1
GO TO 197
199 CONTINUE
IA = IA+1
200 CONTINUE
L = NB+1
DO 200 J = 2,NB
A(IA,L) = J6(I,J)
L = L+1
200 CONTINUE
I = I+1
IF(I.GT.NB) GO TO 201
IA = IA+1
GO TO 196
201 CONTINUE
N = 2*NB-1
DO 3040 I = 2,N
A1(I-1,J+1) = 0.0
3040 CONTINUE

```



```

DO 204 I = 2,N
DO 205 J = 2,N
A1(I-1,J-1) = A(I,J)

```

```
CONTINUE
```

```
204 CONTINUE
```

```
N = N + 1
```

```
C**:*CALCULATE INVERSE JACOBIAN MATRIX*****
```

```
EPS = 0.0000001
```

```
DO 300 I = 1,N
```

```
D(I,I) = 1,N
```

```
IF (I-J) 302,307,302
```

```
303 D(I,J) = 1.0
```

```
GO TO 301
```

```
302 D(I,J) = 0.0
```

```
301 CONTINUE
```

```
100 CONTINUE
```

```
DEL = 1.0
```

```
DO 304 K = 1,N
```

```
IF (K-N) 305,306,306
```

```
305 I MAX = K
```

```
AMAX = ABS(A1(K,K))
```

```
KP1 = K+1
```

```
DO 307 I = KP1,N
```

```
IF (AMAX ABS(A1(I,K))) 308,307,307
```

```
308 I MAX = I
```

```
AMAX = ABS(A1(I,K))
```

```
307 CONTINUE
```

```
IF (I MAX-K) 309,306,309
```

```
309 DO 310 J = 1,N
```

```
ATMP = A1(I MAX,J)
```

```
A1(I MAX,J) = A1(K,J)
```

เอกสารนี้เป็นเอกสารที่สงวนไว้สำหรับการใช้งานเพื่อการศึกษาเท่านั้น ไม่อนุญาตให้นำไปใช้ประโยชน์ด้านการค้า
ไม่ว่ากรณีใดๆทั้งสิ้น อีกทั้งห้ามมิให้ดัดแปลงเนื้อหา และต้องอ้างอิงถึงเจ้าของเอกสารทุกครั้งที่มีการนำไปใช้

```

A1(K,J) = ATMP
BTMP = D(IMAX,J)
D(IMAX,J) = D(K,J)
310 D(K,J) = BTMP
DEL = DEL
306 CONTINUE
      IF ABS(A1(K,K) EFS) 311,311,311
312 DEL = A1(K,K)*DEL
      DIV = A1(K,K)
      DO 313 J = 1,N
A1(K,J) = A1(K,J)/DIV
313 D(K,J) = D(K,J)/DIV
      DO 314 I = 1,N
      AMULT = A1(I,K)
      IF (I-K) 315,314,315
315 DO 316 J = 1,N
      A1(I,J) = A1(I,J)-AMULT*A1(K,J)
316 D(I,J) = D(I,J)-AMULT*D(K,J)
314 CONTINUE
304 CONTINUE
303 CONTINUE
      DO 351 I = 1,N
      DO 352 J = 1,N
      INV(I,J) = D(I,J)
352 CONTINUE
351 CONTINUE
      DO 353 I = 1,N
      DO 354 J = 1,N
      AINV(I+1,J+1) = INV(I,J)
354 CONTINUE
353 CONTINUE

```



เอกสารนี้เป็นเอกสารที่สงวนไว้สำหรับการใช้งานเพื่อการศึกษาเท่านั้น ไม่อนุญาตให้นำไปใช้ประโยชน์ด้านการค้า
ไม่ว่ากรณีใดๆทั้งสิ้น อีกทั้งห้ามมิให้ดัดแปลงเนื้อหา และต้องอ้างอิงถึงเจ้าของเอกสารทุกครั้งที่มีการนำไปใช้

```

N = N+1
DO 355 I = 2,N
C(I) = 0
DO 355 J = 2,N
C(I) = C(I)+A*NV(I,J)*BP(I)
355 CONTINUE
I = 2
DO 364 J = 2,N
DELE(I) = C(J)
I = I+1
IF (I.GT.NB) GO TO 365
364 CONTINUE
365 CONTINUE
I = 2
DO 366 J = NB+1,N
DELF(I) = C(J)
I = I+1
IF (I.GT.NB) GO TO 367
366 CONTINUE
367 CONTINUE
*****CALCULATE NEW BUS VOLTAGE AND REPLACE OLD BUS VOLTAGE*****C
DO 368 I = 2,NB
E(I) = REAL(V(I))
F(I) = AIMAG(V(I))
ENEW(I) = E(I)+DELE(I)
FNEW(I) = F(I)+DELF(I)
V(I) = CMPLX(ENEW(I),FNEW(I))
368 CONTINUE
*****CALCULATE NEW BUS VOLTAGE ANGLE*****C*****C*****C*****C*****C
DO 369 I = 1,NB
ANG(I) = ATAN(AIMAG(V(I))/REAL(V(I)))*57.29577951
369 CONTINUE

```

```

C*****ADVANCE ITERATION COUNT*****C
    ICOUNT = ICOUNT+1
    IF (ICOUNT,GE.20) GO TO 8888
    GO TO 80
C*****PRINT RESULT AND CALCULATE LINE FLOWS AND POWER AT SLACK BUS*****C
    111 WRITE(*,370) ICOUNT
    370 FORMAT(//T11,'LOAD-FLOW SOLUTION BY USING NEWTON RAPHSONS METHOD'
    *,/T11,'SOLUTION CONVERGED IN',2X,13,2X,'ITERATIONS')
    WRITE(*,371)
    371 FORMAT(///,T34,'BUS-DATA',//,T33,'GENERATION',T54,'LOAD',T64,
    *'CAP/REAC',/,T5,'BUS',T12,'VOLTS',T22,'ANGLE',T32,'MW',T41,'MVAR'
    *,T51,'MW',T58,'MVAR',T66,'MVAR',/)
    SUM = CMPLX(0.0,0.0)
    DO 3080 I = 1,NB
    SUM = SUM+Y(1,I)*V(I)
3080 CONTINUE
    DO 372 I = 1,NB
    PG(I) = REAL(SUM*CONJG(V(I)))
    QG(I) = -AIMAG(SUM*CONJG(V(I)))
    VMAG = CABS(V(I))
    QCB = SHTB(I)*VMAG**2
    IF (I.EQ.1) GO TO 3090
    PG(I) = REAL(S(I))+PL(I)
    QG(I) = AIMAG(S(I))+QL(I)-QCB,
3090 CONTINUE
    PGEN = PG(I)*SBASE
    QGEN = QG(I)*SBASE
    PLOAD = PL(I)*SBASE
    QLOAD = QL(I)*SBASE
    QCB = QCB*SBASE

```

เอกสารนี้เป็นเอกสารที่สงวนไว้สำหรับการใช้งานเพื่อการศึกษาเท่านั้น ไม่อนุญาตให้นำไปใช้ประโยชน์ด้านการค้า
ไม่ว่ากรณีใดๆทั้งสิ้น อีกทั้งห้ามมิให้ตัดแปลงเนื้อหา และต้องอ้างอิงถึงเจ้าของเอกสารทุกครั้งที่มีการนำไปใช้

```

WRITE(*,373) I,VMAG,ANG(1),PGEN,QGEN,PLOAD,QLOAD,QCB
373 FORMAT(T6,I2,T11,F6.4,T21,F7.4,T29,F7.3,T39,F7.3,T50,F6.3,T58,
  *F6.3,T67,F3.2)
372 CONTINUE
WRITE(*,3060)
3060 FORMAT(/T25,'LINE AND TRANSFORMER DATA',/T12,'LINE',T19,'SB',
  *T24,'EB',T35,'MW',T50,'MVAR',T65,'TAP',/T11,57('-'))
C*****CALCULATE LINE FLOW*****C
DO 3070 I = 1,NL
  L = SB(I)
  M = EB(I)
  SFLOW = CONJG(V(L))*(V(L)-V(M))*SERY(I)+
  * V(L)*CONJG(V(L))*(SHTY(I)/2.0)
  RFLOW = CONJG(V(M))*(V(M)-V(L))*SERY(I)+
  * V(M)*CONJG(V(M))*(SHTY(I)/2.0)
  SFLOW = CONJG(SFLOW*SBASE)
  RFLOW = CONJG(RFLOW*SBASE)
  WRITE(*,377) I,L,M,SFLOW
  WRITE(*,377) I,M,L,RFLOW
3070 CONTINUE
IF (NT.EQ.0) GO TO 391
DO 4000 I = 1,NT
  MAB = 1.0/TAP(I)
  MAA = (1.0/TAP(I)-1.0)/TAP(I)
  MBB = (1.0-1.0/TAP(I))
  L = SB(I)
  M = EB(I)
  SFLOW = CONJG(V(L))*(V(L)-V(M))*YT(I)*MAB+
  * V(L)*(CMPLX(MAA,0.0))*YT(I)/2.0
  RFLOW = CONJG(V(M))*(V(M)-V(L))*YT(I)*MAB+
  * V(M)*(CMPLX(MBB,0.0))*YT(I)/2.0

```

เอกสารนี้เป็นเอกสารที่สงวนไว้สำหรับการใช้งานเพื่อการศึกษาเท่านั้น ไม่อนุญาตให้นำไปใช้ประโยชน์ด้านการค้า
ไม่ว่ากรณีใดๆทั้งสิ้น อีกทั้งห้ามมิให้ตัดแปลงเนื้อหา และต้องอ้างอิงถึงเจ้าของเอกสารทุกครั้งที่มีการนำไปใช้

WRITE(*,377) I,L,M,SFLOW

WRITE(*,377) I,M,L,PFLOW

4000 CONTINUE

377 FORMAT(T14,I2,T19,I2,T24,I2,T31,F10.4,T48,F9.4,T66,F5.3)

391 WRITE(*,4010)

4010 FORMAT(T11,57('-'))

8888 RETURN

END



เอกสารนี้เป็นเอกสารที่สงวนไว้สำหรับการใช้งานเพื่อการศึกษาเท่านั้น ไม่อนุญาตให้นำไปใช้ประโยชน์ด้านการค้า
ไม่ว่ากรณีใดๆทั้งสิ้น อีกทั้งห้ามมิให้ดัดแปลงเนื้อหา และต้องอ้างอิงถึงเจ้าของเอกสารทุกครั้งที่มีการนำไปใช้

C*****C

C SUBROUTINE STABILITY C

C*****C

C PURPOSE C

C 1. TO CALCULATE THE VALUES OF C

C - POWER ANGLE C

C - RATIO OF ACTUAL SPEED TO RATED SPEED C

C - PER UNIT BUS VOLTAGE C

C - PER UNIT BUS POWER C

C - PER UNIT ACCELERATE TORQUE C

C - PER UNIT ACCELERATION OF MACHINES C

C AFTER 6 SITUATIONS ACCORDING TO THE VARIABLE " FTYPE " C

C - 0 : THREE PHASES FAULT OCCURED AT ANY ONE BUS. C

C - 3 : THREE PHASES FAULT OCCURED AT THE TERMIANL OF C
C THE TRANSMISSION LINE JUXTAPOSE TO ANY ONE BUS. C

C - 1 : THREE PHASE FAULT OCCURED AT ANY TWO BUSES - C
C CONCOMITANTLY. C

C - 4 : THREE PHASES FAULT OCCURED AT THE TERMINAL OF C
C THE TRANSMISSION LINE ADJACENT TO ANY TWO - C
C BUSES SIMULTANEOUSLY. C

C - 2 : THREE PHASES FAULT OCCURED AT ANY ONE BUS C
C SUBSEQUENT RECURED AT ONCE AT ANY OTHER ONE BUS C

C - 5 : THREE PHASES FAULT OCCURED AT THE TERMINAL OF C
C THE TRANSMISSION LINE CONTIGUOUS TO ANY ONE BUS C

C - SUBSEQUENT RECURED AT ONCE AT ANY OTHER OF THE C
C TERMINAL OF TRANSMISSION LINE PROXIMATE TO ANY C

C ONE BUS. C

C*****REMARK C

C BASE SYSTEM = 100 MVA. C

C 2. THIS SUBROUTINE CONSISTS OF C

C - SUBROUTINE SALIENT C

เอกสารนี้เป็นเอกสารที่สงวนไว้สำหรับการใช้งานเพื่อการศึกษาเท่านั้น ไม่อนุญาตให้นำไปใช้ประโยชน์ด้านการค้า
ไม่ว่ากรณีใดๆทั้งสิ้น อีกทั้งห้ามมิให้ดัดแปลงเนื้อหา และต้องอ้างอิงถึงเจ้าของเอกสารทุกครั้งที่มีการนำไปใช้

```

C          - SUBROUTINE ROUND                      C
C          - SUBROUTINE TRO3                      C
C          - SUBROUTINE TR1                      C
C          - SUBROUTINE TR2                      C
C          - SUBROUTINE TR4                      C
C          - SUBROUTINE TR5                      C
C          - SUBROUTINE PLOT                      C

```

C*****C

SUBROUTINE STABILITY

COMMON/VAR1/V(20)

COMMON/VAR2/PG(20),QG(20),PL(20),QL(20)

COMMON/VAR3/Y(20,20)

COMMON/VAR4/XD(20),XXD(20),XXXD(20)

COMMON/VAR5/XQ(20),XXQ(20),XXXQ(20)

COMMON/VAR6/TDO(20),TTD(20),TTTD(20)

COMMON/VAR7/VG(20)

COMMON/VAR8/PWR(100,20)

COMMON/VAR9/ANGDEG(100,20)

COMMON/VAR10/OMA(100,20)

COMMON/VAR11/YL(20,20)

COMMON/VAR12/NB,NG,NL,NT,CX

COMMON/VAR13/VTOL,SBASE,SLACKB,FREQ,ACCEF

COMMON/VAR14/TYPE(20)

COMPLEX Y,V,VG,YL,CURR,YG

INTEGER TYPE,GNB(20),RTT(20),STEP,CYC,FTYPE,FCYC,CCYC,RCCYC,LCYC,

*FBUS1,FBUS2,FBUS3,FBUS4,FCYC1,FCYC2,CCYC1,CCYC2,RCCYC1,RCCYC2,

*LCYC1,LCYC2,SLACKB,CX

REAL AVT(20),H(20)

C*****DECLARE VARIABLES*****C

C Y : ADMITTANCE MATRIX C

C V : PER UNIT BUS VOLTAGE C

เอกสารนี้เป็นเอกสารที่สงวนไว้สำหรับการใช้งานเพื่อการศึกษาเท่านั้น ไม่อนุญาตให้นำไปใช้ประโยชน์ด้านการค้า

ไม่ว่ากรณีใดๆทั้งสิ้น อีกทั้งห้ามมิให้ดัดแปลงเนื้อหา และต้องอ้างอิงถึงเจ้าของเอกสารทุกครั้งที่มีการนำไปใช้

C	VG	:	PER UNIT GENERATOR VOLTAGE	C
~	YL	:	MODIFIED ADMITTANCE MATRIX	C
C	CURR	:	PER UNIT BUS CURRENT	C
C	YG	:	GENERATOR ADMITTANCE	C
C	TYPE	:	BUS TYPE	C
C	CNB	:	CONNECTED BUS OF GENERATOR	C
C	RTT	:	ROTOR TYPE	C
~		0	: ROUND ROTOR	C
C		1	: SALIENT ROTOR	C
C	STEP	:	STEP OF OPERATION	~
C	FTYPE	:	FAULT TYPE	~
C	CYC	:	TIME CYCLE	C
C	FCYC	:	FAULT CYCLE	C
C	CCYC	:	FAULT CLEARING CYCLE	C
~	RCCYC	:	LINE RECLOSING CYCLE	~
~	LCYC	:	LAST CONSIDERATION CYCLE	C
C	FBUS?	:	FAULT BUS NUMBER 1,2,3,4	C
~	FCYC1	:	FIRST FAULT CYCLE	C
	FCYC2	:	SECOND FAULT CYCLE	C
C	CCYC1	:	FIRST FAULT CLEARING CYCLE	C
C	CCYC2	:	SECOND FAULT CLEARING CYCLE	C
~	RCCYC1	:	FIRST LINE RECLOSING CYCLE	C
~	RCCYC2	:	SECOND LINE RECLOSING CYCLE	C
C	LCYC1	:	LAST CONSIDERATION CYCLE FOR FIRST FAULT	C
C	LCYC2	:	LAST CONSIDERATION CYCLE FOR SECOND FAULT	C
~	AVT	:	PER UNIT MACHINE SPEED	C
C	H	:	PER UNIT INERTIA CONSTANT	C
C	*****REMARK			C
C	SYSTEM BASE = 100 MVA.			C
C	*****			C

เอกสารนี้เป็นเอกสารที่สงวนไว้สำหรับการใช้งานเพื่อการศึกษาเท่านั้น ไม่อนุญาตให้นำไปใช้ประโยชน์ด้านการค้า
ไม่ว่ากรณีใดๆทั้งสิ้น อีกทั้งห้ามมิให้ดัดแปลงเนื้อหา และต้องอ้างอิงถึงเจ้าของเอกสารทุกครั้งที่มีการนำไปใช้

```

C*****READ MACHINE DATA*****C
DO 550 I = 1,NG
READ(5,509) CNB(I),RTT(I),H(I),XD(I),XQ(I),XXD(I),XXQ(I),XXXD(I)
*,XXXQ(I),TDO(I),TTD(I),TTTD(I)
509 FORMAT(2I2,F8.4,10F7.4)
C*****CHECK ROTOR TYPE TO WRITE DATA OF EACH MACHINES*****C
C RTT(I) : ROTOR TYPE OF MACHINE NUMBER I C
C 0 : ROUND ROTOR C
C 1 : SALIENT ROTOR C
C*****C
IF (RTT(I).EQ.0) GO TO 545
C*****WRITE DATA OF SALIENT POLE ROTOR MACHINE*****C
WRITE(*,522) I
522 FORMAT(//T32,'MACHINE DATA',//T3,'GENERATOR NUMPER',12,/,T5,
*'THIS GENERATOR IS SALIENT POLE ROTOR TYPE')
GO TO 555
C*****WRITE DATA OF ROUND ROTOR MACHINE*****C
545 WRITE(*,524) I
524 FORMAT(//T32,'MACHINE DATA',//T3,'GENERATOR NUMBER',12,/,T5,
*'THIS GENERATOR IS ROUND ROTOR TYPE')
C*****WRITE DATA OF EACH TYPE OF MACHINE*****C
555 WRITE(*,526) H(I),XD(I),XQ(I),XXD(I),XXQ(I),XXXD(I),XXXQ(I),
*TD0(I),TTD(I),TTTD(I)
526 FORMAT(/T7,'INERTIA CONSTANT ',T60,F8.4,' P.U.',
*/T7,'DIRECT AXIS REACTANCE ',T60,F7.4,' P.U.',
*/T7,'QUADRATURE AXIS REACTANCE',T60,F7.4,' P.U.',
*/T7,'DIRECT AXIS TRANSIENT REACTANCE',T60,F7.4,' P.U.',
*/T7,'QUADRATURE AXIS TRANSIENT REACTANCE',T60,F7.4,' P.U.',
*/T7,'DIRECT AXIS SUBTRANSIENT REACTANCE',T60,F7.4,' P.U.',
*/T7,'QUADRATURE AXIS SUBTRANSIENT REACTANCE',T60,F7.4,' P.U.',
*/T7,'DIRECT AXIS TRANSIENT OPEN CIRCUIT TIME CONSTANT',T60,

```

เอกสารนี้เป็นเอกสารที่สงวนไว้สำหรับการใช้งานเพื่อการศึกษาเท่านั้น ไม่อนุญาตให้นำไปใช้ประโยชน์ด้านการค้า
ไม่ว่ากรณีใดๆทั้งสิ้น อีกทั้งห้ามมิให้ดัดแปลงเนื้อหา และต้องอ้างอิงถึงเจ้าของเอกสารทุกครั้งที่มีการนำไปใช้

```

*F7.4, ' SEC',
*/T7, 'DIRECT AXIS SHORT CIRCUIT TRANSIENT TIME CONSTANT', T60,
*F7.4, ' SEC',
*/T7, 'DIRECT AXIS SHORT CIRCUIT SUBTRANSIENT TIME CONSTANT', T60,
*F7.4, ' SEC')

```

550 CONTINUE

C*****WRITE NUMBER OF BUSES, LINES, MACHINES*****C

```

40 WRITE(*,552) NB,NL,NG

```

```

50 FORMAT(/ T24, 'STABILITY CALCULATION SOLUTION',

```

```

*/T21, 'LOAD FLOW USING NEWTON RAPHSON METHOD',

```

```

*/T21, 'STABILITY USING MODIFY EULER METHOD', //, '7, 'WRITTEN BY : '

```

```

*/T20, 'S'WAT PAKAWAPAKPOOM', /T20, 'ANNOP JUNDTED',

```

```

*/T20, 'ISSARACHAI NGAMROO', //T7, 'ADVISOR : ', /T20

```

```

*/T20, 'MR. SOMPOTSH PRAPAI', /T20, 'MR. MONTHON LELAJINDAGAILFRK',

```

```

*/T5, 'DETAILS OF SYSTEM', /, T11, 'NUMBER OF BUSES', T36, /, T11,

```

```

*/T5, 'NUMBER OF LINES', T36, /, T11, 'NUMBER OF GENERATORS', T36, /)

```

C*****WRITE TYPE OF MACHINE*****C

```

DO 580 I = 1, NG

```

```

IF (RTT(I).EQ.0) GO TO 800

```

```

WRITE(*,556) I, CNB(I)

```

```

556 FORMAT(T11, 'MACHINE NUMBER', I2, ' IS CONNECTED AT BUS ', I2,

```

```

*, ' AND IS SALIENT POLE MACHINE')

```

```

GO TO 580

```

```

800 WRITE(*,558) I, CNB(I)

```

```

558 FORMAT(T11, 'MACHINE NUMBER', I2, ' IS CONNECTED AT BUS ', I2,

```

```

*, ' AND IS ROUND ROTOR MACHINE')

```

580 CONTINUE

C*****MODIFIED ADMITTANCE MATRIX*****C

C FOR REPRESENTATION OF LOAD

C THE STATIC ADMITTANCE OR ADMITTANCE TO GROUND Y_{ij} , USED TO

C REPRESENT THE LOAD AT BUS P.

เอกสารนี้เป็นเอกสารที่สงวนไว้สำหรับการใช้งานเพื่อการศึกษาเท่านั้น ไม่อนุญาตให้นำไปใช้ประโยชน์ด้านการค้า
ไม่ว่ากรณีใดๆทั้งสิ้น อีกทั้งห้ามมิให้ตัดแปลงเนื้อหา และต้องอ้างอิงถึงเจ้าของเอกสารทุกครั้งที่มีการนำไปใช้

```

C      THE EQUIVALENT ADMITTANCE TO GROUND REPRESENTING THE LOAD ATC
C      BUS P IS
C       $Y_{p0} = (PL(p) - jQL(p)) / (ABS(V(p)))$ 
C      TO INCLUDE  $Y_{p0}$  TO Y-MATRIX

```

```

C*****

```

```

DO 560 I = 1,NB
IF ((TYPE(I).EQ.1).AND.(PG(I).EQ.0.0)) QL(I) = QL(I)-QG(I)
IF ((PL(I).EQ.0.0).AND.(PG(I).EQ.0.0)) GO TO 560
Y(I,I) = Y(I,I)+CMPLX(PL(I),-QL(I))/CABS(V(I))

```

```

560 CONTINUE

```

```

C*****INCLUDE GENERATOR ADMITTANCE TO Y-MATRIX AND

```

```

C      FORM NEW BUS TO REPRESENT THE MACHINES*****

```

```

DO 500 I = 1,NG
K = CNB(I)
J = NB+I
IF (RTT(I).EQ.0) GO TO 508
YG = CMPLX(1.0,0.0)/CMPLX(0.0,XQ(I))
GO TO 711

```

```

508 YG = CMPLX(1.0,0.0)/CMPLX(0.0,XXD(I))

```

```

711 Y(K,K) = Y(K,K)+YG
Y(J,J) = YG
Y(J,K) = -YG
Y(K,J) = Y(J,K)

```

```

500 CONTINUE

```

```

C*****NGB : NUMBER OF GENERATORS AND BUSES*****

```

```

NGB = NG+NB

```

```

C*****CLEAR LINE PARAMETER MATRIX  $Y_{Lpq}$ *****

```

```

DO 1377 I = 1,NGB
DO 1377 J = 1,NGB
YL(I,J) = CMPLX(0.0,0.0)

```

```

1377 CONTINUE

```

เอกสารนี้เป็นเอกสารที่สงวนไว้สำหรับการใช้งานเพื่อการศึกษาเท่านั้น ไม่อนุญาตให้นำไปใช้ประโยชน์ด้านการค้า
ไม่ว่ากรณีใดๆทั้งสิ้น อีกทั้งห้ามมิให้ตัดแปลงเนื้อหา และต้องอ้างอิงถึงเจ้าของเอกสารทุกครั้งที่มีการนำไปใช้

```

C*****FORM LINE PARAMETER MATRIX YLpq*****C
      YLpq = Ypq/Ypp                p,q : PUSp,BUSq      C
C*****
      DO 656 I = 1,NGB
      DO 655 J = 1,NGB
      YL(I,J) = Y(I,J)/Y(I,1)
655 CONTINUE
      CONTINUE
C*****STEP OF OPERATION OF BOTH SUB-SALIENT AND SUB-ROUND*****C
      STEP = 0
C*****TO CALCULATE THE MACHINE CURRENTS PRIOR TO THE DISTURBANCE***C
      DO 1055 I = 1,NG
      J = CNE(I)
      CURR = CMPLX(PG(J),-QG(I)/CONJG V(J))
      IF (RTT(I).EQ.0) GO TO 735
      CALL SALIENT(STEP,CYC,I,CNB,CURR,FREQ,ICOUNT)
      GO TO 1055
735 CALL ROUND(STEP,CYC,I,CNB,CURR,FREQ,ICOUNT)
1055 CONTINUE
C*****STEP OF OPERATION OF BOTH SUB-SALIENT AND SUB-ROUND*****C
      STEP = 1
C*****READ FAULT TYPE*****C
      READ(5,511) FTYPE
511 FORMAT(12)
      IF ((FTYPE.EQ.0).OR.(FTYPE.EQ.3)) GO TO 512
      IF ((FTYPE.EQ.1).OR.(FTYPE.EQ.2)) GO TO 513
      IF ((FTYPE.EQ.4).OR.(FTYPE.EQ.5)) GO TO 514
      WRITE (,51)
51 FORMAT(T1,' FAULT TYPE ERROR')

```

เอกสารนี้เป็นเอกสารที่สงวนไว้สำหรับการใช้งานเพื่อการศึกษาเท่านั้น ไม่อนุญาตให้นำไปใช้ประโยชน์ด้านการค้า
ไม่ว่ากรณีใดๆทั้งสิ้น อีกทั้งห้ามมิให้ตัดแปลงเนื้อหา และต้องอ้างอิงถึงเจ้าของเอกสารทุกครั้งที่มีการนำไปใช้

```

C**FOR FTYPE = 0 OR 3*****C
C   -READ FAULT DATA                                     C
C   -CHANGE CYCLE TO TIME(SEC)                           C
C*****C
512 READ(5,516) FBUS1,FBUS2,FCYC,CCYC,RCCYC,LCYC
516 FORMAT(6I2)
      IF ((FTYPE.EQ.0).AND.(FBUS2.NE.0)) GO TO 630
      TFCYC = FLOAT(FCYC)/FREQ
      TCCYC = FLOAT(CCYC)/FREQ
      TRCCYC = FLOAT(RCCYC)/FREQ
      T_LCYC = FLOAT(LCYC)/FREQ
      GO TO 517
630 WRITE(*,528)
528 FORMAT(///,20('*'),' INPUT ERROR ',20('*'))
      STOP
C**FOR FTYPE = 1 OR 2*****C
C   READ FAULT DATA                                     C
C   -CHANGE CYCLE TO TIME(SEC)                           C
C*****C
513 READ(5,518) FBUS1,FBUS2,FCYC1,FCYC2,CCYC1,CCYC2,LCYC1,LCYC2
518 FORMAT(8I2)
      FCYC = FCYC1
      LCYC = LCYC1
      GO TO 52
C**FOR FTYPE = 4 OR 5*****C
C   -READ FAULT DATA                                     C
C   -CHANGE CYCLE TO TIME(SEC)                           C
C*****C
514 READ(5,519) FBUS1,FBUS2,FBUS3,FBUS4,FCYC1,FCYC2,CCYC1,CCYC2,
      *RCCYC1,RCCYC2,LCYC1,LCYC2

```

เอกสารนี้เป็นเอกสารที่สงวนไว้สำหรับการใช้งานเพื่อการศึกษาเท่านั้น ไม่อนุญาตให้นำไปใช้ประโยชน์ด้านการค้า
ไม่ว่ากรณีใดๆทั้งสิ้น อีกทั้งห้ามมิให้ดัดแปลงเนื้อหา และต้องอ้างอิงถึงเจ้าของเอกสารทุกครั้งที่มีการนำไปใช้

```

519 FORMAT(12I2)
      FCYC = FCYC1
      LCYC = LCYC1
      TRCCYC1 = FLOAT(RCCYC1)/FREQ
      TRCCYC2 = FLOAT(RCCYC2)/FREQ
52  TFCYC1 = FLOAT(FCYC1)/FREQ
      TFCYC2 = FLOAT(FCYC2)/FREQ
      TCCYC1 = FLOAT(CCYC1)/FREQ
      TCCYC2 = FLOAT(CCYC2)/FREQ
      TLCYC1 = FLOAT(LCYC1)/FREQ
      TLCYC2 = FLOAT(LCYC2)/FREQ
517 CONTINUE
      WRITE(*,532)
532 FORMAT(/,T7,'DETAILS OF OPERATION',/ ,T5,'TIME SET ',T3',
      *'OPERATION')
*****WRITE OUTPUT PRINTING FOR EACH FAULT TYPE*****
      IF (FTYPE.EQ.0) GO TO 20
      IF (FTYPE.EQ.1) GO TO 21
      IF (FTYPE.EQ.2) GO TO 22
      IF (FTYPE.EQ.3) GO TO 23
      IF (FTYPE.EQ.4) GO TO 24
      IF (FTYPE.EQ.5) GO TO 24
20  WRITE(*,26) TFCYC,FBUS1,TCCYC,TLCYC
26  FORMAT(/,T3,F5.3,T27,'FAULT ON  : AT BUS ',I2,
      *      /T8,F5.3,T27,'FAULT OFF : AT FAULT BUS',
      *      /T8,F5.3,T27,'END OF CASE'//
      GO TO 533
21  TFCYC = TFCYC1
      LCYC = LCYC1
      FCYC = FCYC1

```

เอกสารนี้เป็นเอกสารที่สงวนไว้สำหรับการใช้งานเพื่อการศึกษาเท่านั้น ไม่อนุญาตให้นำไปใช้ประโยชน์ด้านการค้า
ไม่ว่ากรณีใดๆทั้งสิ้น อีกทั้งห้ามมิให้ดัดแปลงเนื้อหา และต้องอ้างอิงถึงเจ้าของเอกสารทุกครั้งที่มีการนำไปใช้

```

WRITE(*,527) TFCYC,FBUS1,FBUS2,TCCYC1,FBUS1,TCCYC2,FBUS2,TLCYC1,
*FBUS1,TLCYC2,FBUS2
527 FORMAT(/T8,F5.3,T27,'FAULT ON      : AT BUS  ',12,' AND ',12,
*      /T8,F5.3,T27,'FAULT OFF      : AT FAULT BUS ',12,
*      /T8,F5.3,T27,'FAULT OFF      : AT FAULT BUS ',12,
*      /T8,F5.3,T27,'END OF CASE    : AT BUS  ',12,
*      /T8,F5.3,T27,'END OF CASE    : AT BUS  ',12/)
GO TO 533
22 FCYC = FCYC1
LCYC = LCYC1
WRITE(*,28) TFCYC1,FBUS1,TFCYC2,FBUS2,TCCYC1,FBUS1,TCCYC2,FBUS2,
*TLCYC1,FBUS1,TLCYC2,FBUS2
28 FORMAT(/T8,F5.3,T27,'FAULT ON      : AT BUS  ',12,
*      /T8,F5.3,T27,'FAULT ON      : AT BUS  ',12,
*      /T8,F5.3,T27,'FAULT OFF     : AT FAULT BUS ',12,
*      /T8,F5.3,T27,'FAULT OFF     : AT FAULT BUS ',12,
*      /T8,F5.3,T27,'END OF CASE   : AT BUS  ',12,
*      /T8,F5.3,T27,'END OF CASE   : AT BUS  ',12/)
GO TO 533
23 FCYC = FCYC1
LCYC = LCYC1
WRITE(*,529) TFCYC,FBUS1,FBUS2,TCCYC,FBUS1,FBUS2,TRCCYC,TLCYC
529 FORMAT(/T6,F5.3,T20,
*'FAULT ON : ON TRANSMISSION' LINE ADJACENT TO BUS ',12,' AND ',14
*      ,/T6,F5.3,T20, ,
*'FAULT OFF : LINE IS TRIPPED BY CIRCUIT BREAKER BETWEEN BUS ',12,
*' AND ',12,
*      /T6,F5.3,T20,': LINE IS RECLOSED ',
*      /T6,F5.3,T20,': END OF OPERATION'/)
GO TO 533
24 FCYC = FCYC1

```

เอกสารนี้เป็นเอกสารที่สงวนไว้สำหรับการใช้งานเพื่อการศึกษาเท่านั้น ไม่อนุญาตให้นำไปใช้ประโยชน์ด้านการค้า
ไม่ว่ากรณีใดๆทั้งสิ้น อีกทั้งห้ามมิให้ตัดแปลงเนื้อหา และต้องอ้างอิงถึงเจ้าของเอกสารทุกครั้งที่มีการนำไปใช้

```

WRITE(*,530) TFCYC1,FBUS1,FBUS2,TFCYC2,FBUS3,FBUS4,TCCYC1,FBUS1,
*FBUS2,TCCYC2,FBUS3,FBUS4,TFCYC1,FBUS1,FBUS2,TFCYC2,FBUS3,FBUS4
500 FORMAT(/T6,F5.3,T20,
*'FAULT ON : ON TRANSMISSION LINE ADJACENT TO BUS ',I2,' AND ',I2,
*      , T6,F5.3,T20,
*'FAULT ON : ON TRANSMISSION LINE ADJACENT TO BUS ',I2,' AND ',I2,
*      ,/T6,F5.3,T20,
*'FAULT OFF : LINE IS TRIPPED BETWEEN BUS ',I2,' AND ',I2,
*      /T6,F5.3,T20,
*'FAULT OFF : LINE IS TRIPPED BETWEEN BUS ',I2,' AND ',I2,
*      /T6,F5.3,T20,
*': LINE IS RECLOSED ON LINE BETWEEN BUS ',I2,' AND ',I2,
*      /T6,F5.3,T20,
*': LINE IS RECLOSED ON LINE BETWEEN BUS ',I2,' AND ',I2,
*      /T6,F5.3,T20,': END OF OPERATION')
FCYC FCYC1
573 CONTINUE
C*****WRITE OUTPUT DATA*****C
702 WRITE(*,588)
529 FORMAT(/72('-'),/T3,'CYC',T8,'TIME',T15,'MC',T13,'ANG(RAD ',T29
*,'ANG(DEG)',T40,'SPEED',T49,'POWER',T58,'ACCE.T',T67,'VOLT',
*/,72('-'))
PI = 3.141592654
TORQUE = 0.0
OMEGA = 1.0
CYC = 0
535 TIME = FLOAT(CYC)/FREQ
WRITE(*,552) CYC,TIME
552 FORMAT(T4,I2,T8,F4.3)
DO 570 I = 1,NG
AVT I) 2.*PI*FREQ

```

เอกสารนี้เป็นเอกสารที่สงวนไว้สำหรับการใช้งานเพื่อการศึกษาเท่านั้น ไม่อนุญาตให้นำไปใช้ประโยชน์ด้านการค้า
ไม่ว่ากรณีใดๆทั้งสิ้น อีกทั้งห้ามมิให้ตัดแปลงเนื้อหา และต้องอ้างอิงถึงเจ้าของเอกสารทุกครั้งที่มีการนำไปใช้

```

OMA(CYC+1,1) = AVT(I)
ANGRAD = ATAN2(AIMAG(VG(I)),REAL(VG(I)))
ANGDEG(CYC+1,1) = 180*ANGRAD/PI
J = CNB(I)
ABSV = CABS(V(J))
PWR(CYC+1,1) = PG(J)
WRITE(*,542) 1,ANGRAD,ANGDEG(CYC+1,1),OMEGA,PWR(CYC+1,1),TORQUE,
*ABSV
542 FORMAT(T16,I1,T18,F8.5,T27,F10.5,T39,F8.5,T48,F8.5,T57,F8.5,
* T66,F7.5)
570 CONTINUE
IF (CYC.EQ.FCYC) GO TO 660
CYC = CYC+1
GO TO 635
660 CONTINUE
C*****CALL SUBROUTINE FOR EACH FAULT TYPE TO CALCULATE OUTPUT DATA*****
IF ((FTYPE.EQ.0).OR.(FTYPE.EQ.3)) GO TO 661
IF (FTYPE.EQ.1) GO TO 662
IF (FTYPE.EQ.2) GO TO 663
IF (FTYPE.EQ.4) GO TO 664
IF (FTYPE.EQ.5) GO TO 665
661 CALL TRO3(H,RTT,ERR,FTYPE,FBUS1,FBUS2,STEP,CYC,FCYC,CCYC,RCCYC,
*LCYC,CNB)
GO TO 666
662 CALL TR1(H,RTT,ERR,FTYPE,FBUS1,FBUS2,STEP,CYC,FCYC1,FCYC2,CCYC1,
*CCYC2,LCYC1,LCYC2,CNB)
GO TO 666
663 CALL TR2(H,RTT,ERR,FTYPE,FBUS1,FBUS2,STEP,CYC,FCYC1,FCYC2,CCYC1,
*CCYC2,LCYC1,LCYC2,CNB)
GO TO 666
664 CALL TR4(H,RTT,ERR,FTYPE,FBUS1,FBUS2,STEP,FBUS3,FBUS4,CYC,FCYC1,
*FCYC2,CCYC1,CCYC2,RCCYC1,RCCYC2,LCYC1,LCYC2,CNB)

```

เอกสารนี้เป็นเอกสารที่สงวนลิขสิทธิ์ไว้เพื่อใช้ในการศึกษาวิจัยเท่านั้น ไม่สามารถนำไปใช้ประโยชน์ด้านการค้า
 ไม่ว่ากรณีใดๆทั้งสิ้น อีกทั้งห้ามมิให้ดัดแปลงเนื้อหา และต้องอ้างอิงถึงเจ้าของเอกสารทุกครั้งที่มีการนำไปใช้

GO TO 666

665 CALL TRF(H,RTT,ERR,FTYPE,FBUS1,FBUS2,STEP,FBUS3,FBUS4,CYC,FCYC1,
*FCYC2,CCY1,CCYC2,RCCY1,RCCYC2,LCYC1,LCYC2,CNR)

666 CONTINUE

*****CALL SUBROUTINE PLOT TO PLOT TWO CURVES*****C

1. SWING CURVE. C

2. CURVE BETWEEN THE RATIO OF ACTUAL TO RATED SPEED OF MACHINE. C

*****C

WRITE(*,546)

545 FORMAT(T21,'SWING CURVE FOR MULTI MACHINE SYSTEM',/

* ,T16,'X-AXIS : REPRESENT DEVIATION OF ANGLE IN DEGREE ,

* ,T16,'Y-AXIS : REPRESENT EACH CYCLE ',/,30('.'))

* 'ANGLE(DEGREE ',30('*')

LCYC = LCYC1

CALL PLOT(LCYC, 360.0,360.0,1,PI,FREQ)

WRITE(*,548)

546 FORMAT(T21,

*'GRAPH SHOW THE RATIO OF ACTUAL TO RATED SPEED OF MACHINE', /,T16

*,'X AXIS : REPRESENT THE RATIO OF ACTUAL TO RATED SPEED', ,T16,

*'Y-AXIS : REPRESENT EACH CYCLE',/,30('.'),'RATIO',30('.'))

LCYC = LCYC1

CALL PLOT(LCYC,-1.0,1.5,2,PI,FREQ)

RETURN

END

*****C

C SUBROUTINE TRO3 C

*****C

C*****PURPOSE (FOR VARIABLE " FTYPE = 0 OR 3 ") C

C FTYPE = 0 ; THREE PHASES FAULT OCCURED AT ANY ONE BUS. C

C FTYPE = 3 ; THREE PHASES FAULT OCCURED AT THE TERMINAL OF THE- C

C TRANSMISSION LINE JUXTAPOSE TO ANY ONE BUS. C

C TO CALCULATE THE VALUE OF C

C - POWER ANGLE C

C - RATIO OF ACTUAL SPEED TO RATED SPEED C

C - REAL POWER GENERATION C

C - MACHINE TERMINAL VOLTAGE C

C - ACCELERATION TORQUE C

C - ACCELERATION OF MACHINE C

C AFTER THE TYPE OF FAULT ACCORDING TO THE VARIABLE " FTYPE " C

*****C

SUBROUTINE TRO3(H,RTT,ERR,FTYPE,FBUS1,FBUS2,STEP,CYC,FCYC,CCYC,

*RCCYC,LCYC,CNB)

COMMON/VAR1/V(20)

COMMON/VAR2/PG(20),QG(20),PL(20),QL(20)

COMMON/VAR7/VG(20)

COMMON/VAR8/PWR(100,20)

COMMON/VAR9/ANGDEG(100,20)

COMMON/VAR10/OMA(100,20)

COMMON/VAR11/YL(20,20)

COMMON/VAR12/NB,NG,NL,NT,CX

COMMON/VAR13/VTOL,SBASE,SLACKB,FREQ,ACCEF

COMMON/VAR14/TYPE(20)

COMPLEX V,VG,YL,CURR,VM,SUM,DV(20)

INTEGER FTYPE,FBUS1,FBUS2,STEP,CYC,FCYC,CCYC,RCCYC,LCYC,

* CNB(20),RTT(20),SLACKB,CX

REAL H(20),AVT(20),DAVT(20),AVTT(20),DAVTT(20),DT(20),DDT(20),

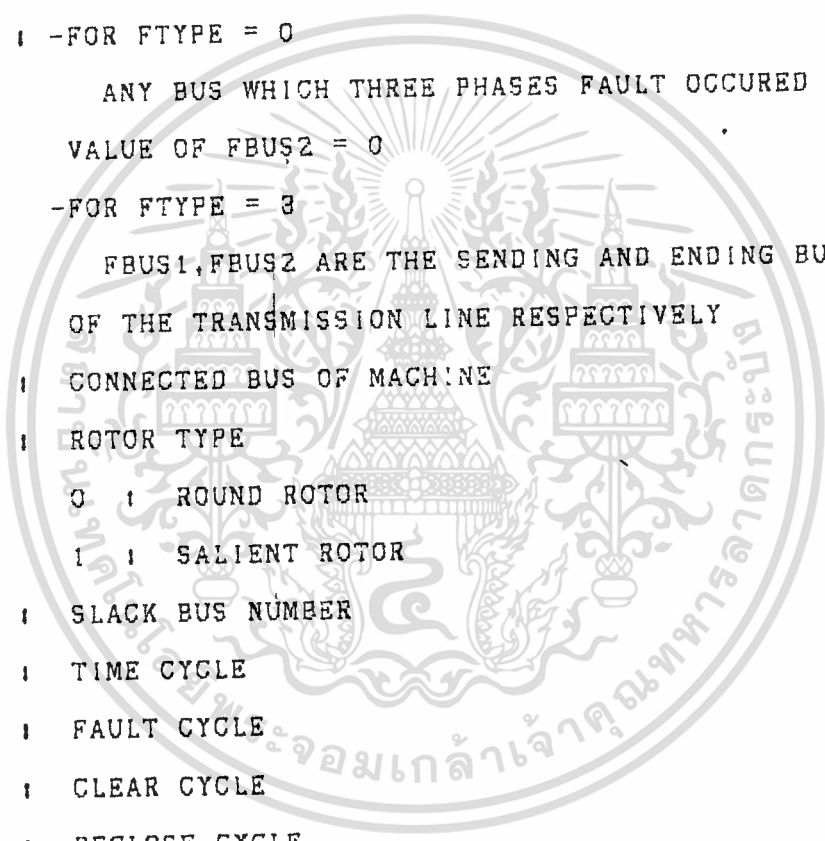
* DTT(20),DDTT(20),MAXDEL,VMAG(10)

เอกสารนี้เป็นเอกสารที่สงวนไว้สำหรับการใช้งานเพื่อการศึกษาเท่านั้น ไม่อนุญาตให้นำไปใช้ประโยชน์ด้านการค้า
ไม่ว่ากรณีใดๆทั้งสิ้น อีกทั้งห้ามมิให้ตัดแปลงเนื้อหา และต้องอ้างอิงถึงเจ้าของเอกสารทุกครั้งที่มีการนำไปใช้

```

C****DECLARE VARIABLES*****C
C   V   : MACHINE TERMINAL VOLTAGE C
C   VG  : VOLTAGE BACK OF TRANSIENT REATANCE C
C   YL  : MODIFIED ADMITTANCE MATRIX C
C   CURR : MACHINE TERMINAL CURRENT C
C   VM  : DUMMY VARIABLE REPRESENTS MACHINE TERMINAL VOLTAGE C
C   SUM  : DUMMY VARIABLE FOR GAUSS-SIEDAL METHOD C
C   DV  : DUMMY VARIABLE MEANS " DIFFERENT VOLTAGE " C
C   FTYPE : FAULT TYPE C
C   FBUS1 : -FOR FTYPE = 0 C
C   FBUS2 : ANY BUS WHICH THREE PHASES FAULT OCCURED AND THE C
C           VALUE OF FBUS2 = 0 C
C           -FOR FTYPE = 3 C
C           FBUS1,FBUS2 ARE THE SENDING AND ENDING BUS - C
C           OF THE TRANSMISSION LINE RESPECTIVELY C
C   CNB  : CONNECTED BUS OF MACHINE C
C   RTT  : ROTOR TYPE C
C           0 : ROUND ROTOR C
C           1 : SALIENT ROTOR C
C   SLACKB : SLACK BUS NUMBER C
C   CYC  : TIME CYCLE C
C   FCYC : FAULT CYCLE C
C   CCYC : CLEAR CYCLE C
C   RCCYC : RECLOSE CYCLE C
C   LCYC : LAST CYCLE C
C   H    : PER UNIT INERTIA CONSTANT C
C   AVT  : MACHINE SPEED AT TIME t C
C   AVTT : MACHINE SPEED AT TIME t+DELTA(t) C
C   DAVT : DERIVATIVE OF MACHINE SPEED BY TIME AT TIME t C
C   DAVTT : DERIVATIVE OF MACHINE SPEED BY TIME AT TIME t+DELTA(t) C
C   DT   : POWER ANGLE AT TIME t C
C   DTT  : POWER ANGLE AT TIME t+DELTA(t) C

```



เอกสารนี้เป็นเอกสารที่สงวนไว้สำหรับการใช้งานเพื่อการศึกษาเท่านั้น ไม่อนุญาตให้นำไปใช้ประโยชน์ด้านการค้า
ไม่ว่ากรณีใดๆทั้งสิ้น อีกทั้งห้ามมิให้ตัดแปลงเนื้อหา และต้องอ้างอิงถึงเจ้าของเอกสารทุกครั้งที่มีการนำไปใช้

```

C      DDT      :  DERIVATIVE OF POWER ANGLE BY TIME AT TIME t          C
C      DDTT     :  DERIVATIVE OF POWER ANGLE BY TIME AT TIME t+DELTA(t) C
C      MAXDEL   :  MAXIMUM MISMATCH IN GAUSS-SIEDAL METHOD              C
C      VMAG     :  MAGNITUDE OF VOLTAGE                                C
C*****C

```

```
PI = 3.1415912654
```

```
MAXITER = 400
```

```
ICOUNT = 0
```

```
DO 905 I = 1,NG
```

```
DT(I) = ATAN2(AIMAG(VG(I)),REAL(VG(I)))
```

```
AVT(I) = 2*PI*FREQ
```

```
VMAG(I) = CABS(VG(I))
```

```
905 CONTINUE
```

```
910 N = 0
```

```
TIME = FLOAT(CYC)/FREQ
```

```
IF (FTYPE.EQ.3) GO TO 1109
```

```
IF ((CYC.EQ.FCYC).OR.(CYC.EQ.CCYC)) GO TO 917
```

```
GO TO 985
```

```
1109 IF ((CYC.EQ.FCYC).OR.(CYC.EQ.CCYC).OR.(CYC.EQ.RCCYC)) GO TO 917
```

```
GO TO 985
```

```
917 CALL DCLO3(CYC,FCYC,CCYC,RCCYC,FTYPE,FBUS1,FBUS2,FREQ)
```

```
920 ITERA = 0
```

```
935 MAXDEL = 0.0
```

```
DO 950 I = 1,NB
```

```
IF (CYC.GE.CCYC) GO TO 925
```

```
M = FBUS1
```

```
V(M) = CMPLX(0.0,0.0)
```

```
IF (I.EQ.M) GO TO 950
```

```
925 SUM = CMPLX(0.0,0.0)
```

```
VM = V(I)
```

เอกสารนี้เป็นเอกสารที่สงวนไว้สำหรับการใช้งานเพื่อการศึกษาเท่านั้น ไม่อนุญาตให้นำไปใช้ประโยชน์ด้านการค้า
ไม่ว่ากรณีใดๆทั้งสิ้น อีกทั้งห้ามมิให้ดัดแปลงเนื้อหา และต้องอ้างอิงถึงเจ้าของเอกสารทุกครั้งที่มีการนำไปใช้

```

DO 930 J = 1,NB
  IF (J.EQ.1) GO TO 930
  SUM = SUM+YL(I,J)*V(J)
930 CONTINUE
  DO 945 J = 1,NG
  K = NB+J
  SUM = SUM+YL(I,K)*VG(J)
945 CONTINUE
  V(I) = -SUM
  DV(I) = V(I)-VM
  V(I) = VM+DV(I)*CMPLX(ACCEF,C.O)
  DELV = CABS(V(I)-VM)
  IF (DELV.GT.MAXDEL) MAXDEL = DELV
950 CONTINUE
  ERR = 0.000001
  ITERA = ITERA+1
  IF (ITERA.GE.MAXITER) GO TO 955
  IF (MAXDEL.LE.ERR) GO TO 960
  GO TO 935
955 WRITE(*,1910)
1910 FORMAT(5X,'SOLUTION NOT CONVERGED IN 400 ITERATION')
  STOP
960 DO 980 I = 1,NG
  IF (RTT(I).EQ.0) GO TO 970
  CALL SALIENT(STEP,CYC,I,CNB,CURR,FREQ,ICOUNT)
  GO TO 980
970 CALL ROUND(STEP,CYC,I,CNB,CURR,FREQ,ICOUNT)
980 CONTINUE
  IF (N.EQ.0) GO TO 1030
  IF (N.EQ.1) GO TO 1040
  GO TO 1080
985 DO 986 I = 1,NG
  DDT(I) = AVTT(I)-(2.*PI*FREQ)

```

เอกสารนี้เป็นเอกสารที่สงวนไว้สำหรับการใช้งานเพื่อการศึกษาเท่านั้น ไม่อนุญาตให้นำไปใช้ประโยชน์ด้านการค้า
ไม่ว่ากรณีใดๆทั้งสิ้น อีกทั้งห้ามมิให้ตัดแปลงเนื้อหา และต้องอ้างอิงถึงเจ้าของเอกสารทุกครั้งที่มีการนำไปใช้

DAVT(I) = DAVTT(I)

DTT(I) = DT(I)+DDT(I)/FREQ

AVTT(I) = AVT(I)+DAVT(I)/FREQ

986 CONTINUE

GO TO 987

1030 DO 1060 I = 1,NG

J = CNB(I)

DDT(I) = AVT(I)-(2.0*PI*FREQ)

DAVT(I) = PI*FREQ*(PG(J)-PWR(CYC+1,I))/H(I)

DTT(I) = DT(I)+DDT(I)/FREQ

AVTT(I) = AVT(I)+DAVT(I)/FREQ

1060 CONTINUE

987 DO 1200 L = 1,NG

A = VMAG(L)*COS(DTT(L))

B = VMAG(L)*SIN(DTT(L))

VG(L) = CMPLX(A,B)

1200 CONTINUE

N = 1

GO TO 920

1040 DO 1070 I = 1,NG

J = CNB(I)

DAVTT(I) = PI*FREQ*(PG(J)-PWR(CYC+1,I))/H(I)

AVTT(I) = AVT(I)+(DAVT(I)+DAVTT(I))/2./FREQ

DDTT(I) = AVTT(I)-(2.0*PI*FREQ)

DTT(I) = DT(I)+(DDT(I)+DDTT(I))/2./FREQ

DT(I) = DTT(I)

AVT(I) = AVTT(I)

1070 CONTINUE

DO 1205 L = 1,NG

A = VMAG(L)*COS(DT(L))

B = VMAG(L)*SIN(DT(L))

VG(L) = CMPLX(A,B)

1205 CONTINUE

เอกสารนี้เป็นเอกสารที่สงวนไว้สำหรับการใช้งานเพื่อการศึกษาเท่านั้น ไม่อนุญาตให้นำไปใช้ประโยชน์ด้านการค้า

ไม่ว่ากรณีใดๆทั้งสิ้น อีกทั้งห้ามมิให้ดัดแปลงเนื้อหา และต้องอ้างอิงถึงเจ้าของเอกสารทุกครั้งที่มีการนำไปใช้

```

N = 2
GO TO 920
1080 WRITE(*,1090) CYC,TIME
1090 FORMAT(T4,12,T8,F5.3)
DO 1100 I = 1,NG
J = CNB(I)
ANGDEG(CYC+1,1) = DTT(I)*180/PI
OMA(CYC+1,1) = AVTT(I)/2./PI/FREQ
ABSV = CABS(V(J))
TA = H(I)*DAVTT(I)/PI/FREQ
WRITE(*,1120) 1,DTT(I),ANGDEG(CYC+1,1),OMA(CYC+1,1),PWR(CYC+1,1)
* ,TA,ABSV
1120 FORMAT(T16,11,T19,F8.5,T27,F10.5,T39,F8.5,T49,F8.5,T57,F8.5
*,T66,F7.5)
1100 CONTINUE
CYC = CYC+1
ICOUNT = ICOUNT+1
IF (CYC.GT.LCYC) GO TO 1150
GO TO 910
1150 RETURN
END

```

```

C*****C
C          SUBROUTINE DCLOS          C
C*****C
C*****PURPOSE   (FOR VARIABLE " FTYPE = 0 OR 3 ")          C
C          TO EXPRESS THE CRITICAL EVENTS WHICH EFFECT TO THE STABILITY-C
C          OF THE SYSTEM.          C
C          1. FAULT CYCLE.          C
C          2. CLEAR CYCLE.          C
C          3. LINE RECLOSE CYCLE.          C
C*****C

```

เอกสารนี้เป็นเอกสารที่สงวนไว้สำหรับการใช้งานเพื่อการศึกษาเท่านั้น ไม่อนุญาตให้นำไปใช้ประโยชน์ด้านการค้า
ไม่ว่ากรณีใดๆทั้งสิ้น อีกทั้งห้ามมิให้ดัดแปลงเนื้อหา และต้องอ้างอิงถึงเจ้าของเอกสารทุกครั้งที่มีการนำไปใช้

```

SUBROUTINE DCLOS(CYC,FCYC,CCYC,RCCYC,FTYPE,FBUS1,FBUS2,FREQ)
COMMON/VAR3/Y(20,20)
COMPLEX Y,AA
INTEGER CYC,FCYC,CCYC,RCCYC,FTYPE,FBUS1,FBUS2
TIME = FLOAT(CYC)/FREQ
IF (FTYPE.EQ.0) GO TO 1100
IF (CYC.GT.FCYC) GO TO 1005
WRITE(*,2010) CYC,TIME,FBUS1,FBUS2
2010 FORMAT(T4,12,T9,F4.3,4('*'),'FAULT OCCURED ADJACENT TO BUS',
*12,' ON THE LINE TO BUS',12,4('*'))
GO TO 1999
1005 IF (CYC-CCYC) 1999,1010,1015
1010 WRITE(*,2020) CYC,TIME
2020 FORMAT(T4,12,T9,F4.3,23('*'),'LINE IS TRIPPED',22('*'))
1015 IF (CYC.GE.RCCYC) GO TO 1020
L = FBUS1
M = FBUS2
Y(L,L) = Y(L,L)+Y(L,M)
Y(M,M) = Y(M,M)+Y(M,L)
AA = Y(L,M)
Y(L,M) = CMPLX(0.0,0.0)
Y(M,L) = CMPLX(0.0,0.0)
GO TO 1999
1020 IF (CYC.GT.RCCYC) GO TO 1025
WRITE(*,2030) CYC,TIME
2030 FORMAT(T4,12,T9,F4.3,22('*'),'LINE IS RECLOSED',22('*'))
1025 Y(L,M) = AA
Y(M,L) = AA
Y(L,L) = Y(L,L)-AA
Y(M,M) = Y(M,M)-AA
GO TO 1999
1100 IF (CYC.GT.FCYC) GO TO 1110
WRITE(*,2040) CYC,TIME,FBUS1

```

เอกสารนี้เป็นเอกสารที่สงวนไว้สำหรับการใช้งานเพื่อการศึกษาเท่านั้น ไม่อนุญาตให้นำไปใช้ประโยชน์ด้านการค้า
ไม่ว่ากรณีใดๆทั้งสิ้น อีกทั้งห้ามมิให้ดัดแปลงเนื้อหา และต้องอ้างอิงถึงเจ้าของเอกสารทุกครั้งที่มีการนำไปใช้

```
2040 FORMAT(T4,I2,T9,F4.3,20('*'),'FAULT OCCURE AT BUS',I2,19('*'))
1110 IF (CYC-CCYC) 1999,1030,1999
1030 WRITE(*,2050) CYC,TIME
2050 FORMAT(T4,I2,T9,F4.3,24('*'),'FAULT CLEARED',23('*'))
1999 RETURN
      END
```



เอกสารนี้เป็นเอกสารที่สงวนไว้สำหรับการใช้งานเพื่อการศึกษาเท่านั้น ไม่อนุญาตให้นำไปใช้ประโยชน์ด้านการค้า
ไม่ว่ากรณีใดๆทั้งสิ้น อีกทั้งห้ามมิให้ดัดแปลงเนื้อหา และต้องอ้างอิงถึงเจ้าของเอกสารทุกครั้งที่มีการนำไปใช้

```

C*****C
C          SUBROUTINE TR1          C
C*****C
C*****PURPOSE   (FOR VARIABLE " FTYPE = 1 ")          C
C          FTYPE = 1 ; THREE PHASES FAULT OCCURED AT ANY TWO BUSES-          C
C          CONCOMITANTLY.          C
C*****C
SUBROUTINE TR1(H,RTT,ERR,FTYPE,FBUS1,FBUS2,STEP,CYC,FCYC1,FCYC2,
*CCYC1,CCYC2,LCYC1,LCYC2,CNB)
COMMON/VAR1/V(20)
COMMON/VAR2/PG(20),QG(20),PL(20),QL(20)
COMMON/VAR7/VG(20)
COMMON/VAR9/PWR(100,20)
COMMON/VAR9/ANGDEG(100,20)
COMMON/VAR10/OMA(100,20)
COMMON/VAR11/YL(20,20)
COMMON/VAR12/NB,NG,NL,NT,CX
COMMON/VAR13/VTOL,SBASE,SLACKB,FREQ,ACCEF
COMMON/VAR14/TYPE(20)
COMPLEX V,VG,YL,CURR,VM,SUM,DV,20)
INTEGER FTYPE,FBUS1,FBUS2,STEP,CYC,FCYC,CCYC1,CCYC2,LCYC1,LCYC2,
*LCYC,CNB(20),RTT(20),SLACKB,FCYC1,FCYC2,CX
REAL H(20),AVT(20),DAVT(20),AVTT(20),DAVTT(20),DT(20),DDT(20),
* DTT(20),DDTT(20),MAXDEL,VMAG(10)
LCYC = LCYC1
FCYC = FCYC1
PI = 3.1415912654
MAX TER = 400
ICOUNT = 0
DO 905 I = 1,NG
DT(I) = ATAN2(AIMAG(VG(I)),REAL(VG(I)))
AVT(I) = 2*PI*FREQ
VMAG(I) = CABS(VG(I))

```

เอกสารนี้เป็นเอกสารที่สงวนไว้สำหรับการใช้งานเพื่อการศึกษาเท่านั้น ไม่อนุญาตให้นำไปใช้ประโยชน์ด้านการค้า
ไม่ว่ากรณีใดๆทั้งสิ้น อีกทั้งห้ามมิให้ดัดแปลงเนื้อหา และต้องอ้างอิงถึงเจ้าของเอกสารทุกครั้งที่มีการนำไปใช้

905 CONTINUE

910 N = 0

TIME = FLOAT(CYC)/FREQ

IF ((CYC.EQ.FCYC1).OR.(CYC.EQ.CCYC1).OR.(CYC.EQ.CCYC2)) GO TO 917
GO TO 985

917 CALL DCL1(CYC,FCYC1,CCYC1,CCYC2,FBUS1,FBUS2,FREQ)

920 ITERA = 0

935 MAXDEL = 0.0

DO 950 I = 1,NB

IF (CCYC1.EQ.CCYC2) GO TO 40

IF (CCYC1.GT.CCYC2) GO TO 70

IF (CCYC1.LT.CCYC2) GO TO 90

40 CCYC = CCYC1

IF (CYC.GE.CCYC) GO TO 925

V(FBUS1) = CMPLX(0.0,0.0)

V(FBUS2) = CMPLX(0.0,0.0)

IF ((1.EQ.FBUS1).OR.(1.EQ.FBUS2)) GO TO 950

GO TO 925

70 CONTINUE

IF (CYC.GE.CCYC1) GO TO 925

IF ((CYC.GE.CCYC2).AND.(CYC.LT.CCYC1)) GO TO 100

V(FBUS1) = CMPLX(0.0,0.0)

V(FBUS2) = CMPLX(0.0,0.0)

GO TO 110

100 V(FBUS1) = CMPLX(0.0,0.0)

GO TO 120

110 IF ((1.EQ.FBUS1).OR.(1.EQ.FBUS2)) GO TO 950

GO TO 925

120 IF (1.EQ.FBUS1) GO TO 950

GO TO 925

เอกสารนี้เป็นเอกสารที่สงวนไว้สำหรับการใช้งานเพื่อการศึกษาเท่านั้น ไม่อนุญาตให้นำไปใช้ประโยชน์ด้านการค้า
ไม่ว่ากรณีใดๆทั้งสิ้น อีกทั้งห้ามมิให้ดัดแปลงเนื้อหา และต้องอ้างอิงถึงเจ้าของเอกสารทุกครั้งที่มีการนำไปใช้

90 CONTINUE

IF (CYC.GE.CCYC2) GO TO 925

IF ((CYC.GE.CCYC1).AND.(CYC.LT.CCYC2)) GO TO 16

V(FBUS1) = CMPLX(0.0,0.0)

V(FBUS2) = CMPLX(0.0,0.0)

GO TO 17

16 V(FBUS2) = CMPLX(0.0,0.0)

GO TO 18

17 IF ((1.EQ.FBUS1).OR.(1.EQ.FBUS2)) GO TO 950

GO TO 925

18 IF (1.EQ.FBUS2) GO TO 950

925 SUM = CMPLX(0.0,0.0)

VM = V(I)

DO 930 J = 1,NB

IF (J.EQ.I) GO TO 930

SUM = SUM+YL(I,J)*V(J)

930 CONTINUE

DO 945 J = 1,NG

K = NB+J

SUM = SUM+YL(I,K)*VG(J)

945 CONTINUE

V(I) = -SUM

DV(I) = V(I)-VM

V(I) = VM+DV(I)*CMPLX(ACCEF,0.0)

DELV = CABS(V(I)-VM)

IF (DELV.GT.MAXDEL) MAXDEL = DELV

950 CONTINUE

ERR = 0.000001

ITERA = ITERA+1

IF (ITERA.GE.MAXITER) GO TO 955

IF (MAXDEL.LE.ERR) GO TO 960

เอกสารนี้เป็นเอกสารที่สงวนไว้สำหรับการใช้งานเพื่อการศึกษาเท่านั้น ไม่อนุญาตให้นำไปใช้ประโยชน์ด้านการค้า
ไม่ว่ากรณีใดๆทั้งสิ้น อีกทั้งห้ามมิให้ตัดแปลงเนื้อหา และต้องอ้างอิงถึงเจ้าของเอกสารทุกครั้งที่มีการนำไปใช้

GO TO 935

955 WRITE(*,1910)

1910 FORMAT(5X,'SOLUTION NOT CONVERGED IN 400 ITERATION')

STOP

960 CONTINUE

DO 980 I = 1,NG

IF (RTT(I).EQ.0) GO TO 970

CALL SALIENT(STEP,CYC,I,CNB,CURR,FREQ,ICOUNT)

GO TO 980

970 CALL ROUND(STEP,CYC,I,CNB,CURR,FREQ,ICOUNT)

980 CONTINUE

IF (N.EQ.0) GO TO 1030

IF (N.EQ.1) GO TO 1040

GO TO 1080

985 DO 986 I = 1,NG

DDT(I) = AVTT(I)-(2.*PI*FREQ)

DAVT(I) = DAVTT(I)

DTT(I) = DT(I)+DDT(I)/FREQ

AVTT(I) = AVT(I)+DAVT(I)/FREQ

986 CONTINUE

GO TO 987

1030 DO 1060 I = 1,NG

J = CNB(I)

DDT(I) = AVT(I)-(2.0*PI*FREQ)

DAVT(I) = PI*FREQ*(PG(J)-PWR(CYC+1,1))/H(I)

DTT(I) = DT(I)+DDT(I)/FREQ

AVTT(I) = AVT(I)+DAVT(I)/FREQ

1060 CONTINUE

987 DO 1200 L = 1,NG

A = VMAG(L)*COS(DTT(L))

B = VMAG(L)*SIN(DTT(L))

VG(L) = CMPLX(A,B)

เอกสารนี้เป็นเอกสารที่สงวนลิขสิทธิ์สำหรับการใช้งานเพื่อการศึกษาเท่านั้น ไม่อนุญาตให้นำไปใช้ประโยชน์ด้านการค้า

ไม่ว่ากรณีใดๆทั้งสิ้น อีกทั้งห้ามมิให้ตัดแปลงเนื้อหา และต้องอ้างอิงถึงเจ้าของเอกสารทุกครั้งที่มีการนำไปใช้

1200 CONTINUE

N = 1

GO TO 920

1040 DO 1070 I = 1,NG

J = CNB(I)

DAVTT(I) = PI*FREQ*(PG(J)-PWR(CYC+1,I))/H(I)

AVTT(I) = AVT(I)+(DAVT(I)+DAVTT(I))/2./FREQ

DDTT(I) = AVTT(I)-(2.0*PI*FREQ)

DTT(I) = DT(I)+(DDT(I)+DDTT(I))/2./FREQ

DT(I) = DTT(I)

AVT(I) = AVTT(I)

1070 CONTINUE

DO 1205 L = 1,NG

A = VMAG(L)*COS(DT(L))

B = VMAG(L)*SIN(DT(L))

VG(L) = CMPLX(A,B)

1205 CONTINUE

N = 2

GO TO 920

1080 WRITE(*,1090) CYC,TIME

1090 FORMAT(T4,I2,T8,F5.3)

DO 1100 I = 1,NG

J = CNB(I)

ANGDEG(CYC+1,I) = DTT(I)*180/PI

OMA(CYC+1,I) = AVTT(I)/2./PI/FREQ

ABSV = CABS(V(J))

TA = H(I)*DAVTT(I)/PI/FREQ

WRITE(*,1120) I,DTT(I),ANGDEG(CYC+1,I),OMA(CYC+1,I),PWR(CYC+1,I)

*,TA,ABSV

1120 FORMAT(T16,I1,T18,F8.5,T27,F10.5,T39,F8.5,T48,F8.5,T57,F8.5

*,T65,F7.5)

1100 CONTINUE

CYC = CYC+1

เอกสารนี้เป็นเอกสารที่สงวนไว้สำหรับการใช้งานเพื่อการศึกษาเท่านั้น ไม่อนุญาตให้นำไปใช้ประโยชน์ด้านการค้า

ไม่ว่ากรณีใดๆทั้งสิ้น อีกทั้งห้ามมิให้ดัดแปลงเนื้อหา และต้องอ้างอิงถึงเจ้าของเอกสารทุกครั้งที่มีการนำไปใช้

```
ICOUNT = ICOUNT+1
IF (CYC.GT.LCYC) GO TO 1150
GO TO 910
1150 RETURN
END
```

```
C*****C
C                               C
C          SUBROUTINE DCL1      C
C*****C
C****PURPOSE   (FOR VARIABLE " FTYPE = 1 ")      C
C   TO EXPRESS THE CRITICAL EFFECT TO THE STABILITY OF THE SYSTEM C
C*****C
```

```
          SUBROUTINE DCL1(CYC,FCYC,CCYC1,CCYC2,FBUS1,FBUS2,FREQ)
          INTEGER CYC,FCYC,FCYC1,CCYC1,CCYC2,FBUS1,FBUS2
          FCYC = FCYC1
          TIME = FLOAT(CYC)/FREQ
          IF (CYC.EQ.FCYC1) GO TO 90
          GO TO 10
80 WRITE(*,20) CYC,TIME,FBUS1,FBUS2
20 FORMAT(T4,12,T9,F4.3,20('*'),'FAULT OCCUR AT BUS ',12,' AND ',12,
*14('*'))
          GO TO 100
10 IF (CCYC1.NE.CCYC2) GO TO 50
          WRITE(*,60) CYC,TIME,FBUS1,FBUS2
60 FORMAT(T4,12,T9,F4.3,20('*'),'FAULT CLEAR AT BUS ',12,' AND ',
*12,14('*'))
          GO TO 100
50 IF (CYC.EQ.CCYC2) GO TO 30
          WRITE(*,40) CYC,TIME,FBUS1
40 FORMAT(T4,12,T9,F4.3,20('*'),'FAULT CLEAR AT BUS ',12,18('*'))
          GO TO 100
30 WRITE(*,40) CYC,TIME,FBUS2
```

เอกสารนี้เป็นเอกสารที่สงวนไว้สำหรับการใช้งานเพื่อการศึกษาเท่านั้น ไม่อนุญาตให้นำไปใช้ประโยชน์ด้านการค้า
ไม่ว่ากรณีใดๆทั้งสิ้น อีกทั้งห้ามมิให้ดัดแปลงเนื้อหา และต้องอ้างอิงถึงเจ้าของเอกสารทุกครั้งที่มีการนำไปใช้

```

C*****C
C          SUBROUTINE TR2          C
C*****C
C****PURPOSE  (FOR VARIABLE " FTYPE = 2 ")          C
C          FTYPE = 2  ;  THREE PHASES FAULT OCCURED AT ANY ONE BUS -          C
C          SUBSEQUENT RECURED AT ONCE AT ANY OTHER ONE BUS.C
C*****C
SUBROUTINE TR2(H,RTT,ERR,FTYPE,FBUS1,FBUS2,STEP,CYC,FCYC1,FCYC2,
*CCYC1,CCYC2,LCYC1,LCYC2,CNB)
COMMON/VAR1/V(20)
COMMON/VAR2/PG(20),QG(20),PL(20),QL(20)
COMMON/VAR7/VG(20)
COMMON/VAR8/PWR(100,20)
COMMON/VAR9/ANGDEF(100,20)
COMMON/VAR10/OMA(100,20)
COMMON/VAR11/YL(20,20)
COMMON/VAR12/NB,NG,NL,NT,CX
COMMON/VAR13/VTOL,SBASE,SLACKB,FREQ,ACCEP
COMMON/VAR14/TYPE(20)
COMPLEX  V,VG,YL,CURR,VM,SUM,DV(20)
INTEGER FTYPE,FBUS1,FBUS2,STEP,CYC,FCYC,CCYC1,CCYC2,LCYC1,LCYC2,
*LCYC,CNB(20),RTT(20),SLACKB,CX,FCYC1,FCYC2
REAL H(20),AVT(20),DAVT(20),AVTT(20),DAVTT(20),DT(20),DDT(20),
< DTT(20),DDTT(20),MAXDEL,VMAG(10)
FCYC = LCYC1
FCYC = FCYC1
PI = 3.1415912654
MAXITER = 5000
ICOUNT = 0
DO 905 I = 1,NG
DT(I) = ATAN2(AIMAG(VG(I)),REAL(VG(I)))
AVT(I) = 2*PI*FREQ
VMAG(I) = CABS(VG(I))

```

เอกสารนี้เป็นเอกสารที่สงวนไว้สำหรับการใช้งานเพื่อการศึกษาเท่านั้น ไม่อนุญาตให้นำไปใช้ประโยชน์ด้านการค้า
ไม่ว่ากรณีใดๆทั้งสิ้น อีกทั้งห้ามมิให้ดัดแปลงเนื้อหา และต้องอ้างอิงถึงเจ้าของเอกสารทุกครั้งที่มีการนำไปใช้

905 CONTINUE

910 N = 0

TIME = FLOAT(CYC)/FREQ

IF ((CYC.EQ.FCYC).OR.(CYC.EQ.FCYC2).OR.(CYC.EQ.CCYC1).OR.

*(CYC.EQ.CCYC2)) GO TO 917

GO TO 985

917 CALL DCL2(CYC,FCYC1,FCYC2,CCYC1,CCYC2,FBUS1,FBUS2,FREQ)

920 ITERA = 0

935 MAXDEL = 0.0

DO 950 I = 1,NB

IF (FCYC2.LT.CCYC1) GO TO 10

IF (FCYC2.EQ.CCYC1) GO TO 20

IF (FCYC2.GT.CCYC1) GO TO 30

10 IF (CCYC2.LT.CCYC1) GO TO 40

IF (CCYC2.GT.CCYC1) GO TO 50

IF (CCYC2.EQ.CCYC1) GO TO 60

40 IF (CYC.GE.CCYC1) GO TO 925

IF ((CYC.GE.CCYC2).AND.(CYC.LT.CCYC1)) GO TO 919

IF ((CYC.GE.FCYC1).AND.(CYC.LT.CCYC1)) V(FBUS1) = CMPLX(0.0,0.0)

IF ((CYC.GE.FCYC2).AND.(CYC.LT.CCYC2)) V(FBUS2) = CMPLX(0.0,0.0)

GO TO 700

919 V(FBUS1) = CMPLX(0.0,0.0)

IF (I.EQ.FBUS1) GO TO 950

GO TO 925

50 IF (CYC.GE.CCYC2) GO TO 925

IF ((CYC.GE.CCYC1).AND.(CYC.LT.CCYC2)) GO TO 922

IF ((CYC.GE.FCYC1).AND.(CYC.LT.CCYC1)) V(FBUS1) = CMPLX(0.0,0.0)

IF ((CYC.GE.FCYC2).AND.(CYC.LT.CCYC2)) V(FBUS2) = CMPLX(0.0,0.0)

เอกสารนี้เป็นเอกสารที่สงวนไว้สำหรับกรใช้งานเพื่อการศึกษาเท่านั้น ไม่นุญาตให้นำไปใช้ประโยชน์ด้านการค้า

ไม่ว่ากรณีใดๆทั้งสิ้น อีกทั้งห้ามมิให้ดัดแปลงเนื้อหา และต้องอ้างอิงถึงเจ้าของเอกสารทุกครั้งที่มีการนำไปใช้

```

GO TO 700
922 V(FBUS2) = CMPLX(0.0,0.0)
    IF (1.EQ.FBUS2) GO TO 950
GO TO 925

60 IF (CYC.GE.CCYC1) GO TO 925
    F ((CYC.GE.FCYC1).AND.(CYC.LT.CCYC1)) V(FBUS1) = CMPLX(0.0,0.0)
    IF ((CYC.GE.FCYC2).AND.(CYC.LT.CCYC2)) V(FBUS2) = CMPLX(0.0,0.0)
GO TO 700

20 F (CYC.GE.CCYC2) GO TO 925
    F ((CYC.GE.CCYC1).AND.(CYC.LT.CCYC2)) GO TO 925
    IF ((CYC.GE.FCYC1).AND.(CYC.LT.CCYC1)) V(FBUS1) = CMPLX(0.0,0.0)
    F ((CYC.GE.FCYC2).AND.(CYC.LT.CCYC2)) V(FBUS2) = CMPLX(0.0,0.0)
GO TO 700
92 V(FBUS2) = CMPLX(0.0,0.0)
    F (1.EQ.FBUS2) GO TO 950
GO TO 925

30 .F (CYC.GE.CCYC2) GO TO 925
    IF ((CYC.GE.CCYC1).AND.(CYC.LT.FCYC2)) GO TO 925
    IF ((CYC.GE.FCYC2).AND.(CYC.LT.CCYC2)) V(FBUS2) = CMPLX(0.0,0.0)
    IF ((CYC.GE.FCYC1).AND.(CYC.LT.CCYC1)) V(FBUS1) = CMPLX(0.0,0.0)

700 IF ((1.EQ.FBUS1).OR.(1.EQ.FBUS2)) GO TO 950
925 SUM = CMPLX(0.0,0.0)
    VM = V(1)
    DO 930 J = 1,NB
    . IF (J.EQ.1) GO TO 930
    SUM = SUM+YL(1,J)*V(J)
937 CONTINUE
    DO 945 J = 1,NG

```

เอกสารนี้เป็นเอกสารที่สงวนไว้สำหรับการใช้งานเพื่อการศึกษาเท่านั้น ไม่อนุญาตให้นำไปใช้ประโยชน์ด้านการค้า
ไม่ว่ากรณีใดๆทั้งสิ้น อีกทั้งห้ามมิให้ดัดแปลงเนื้อหา และต้องอ้างอิงถึงเจ้าของเอกสารทุกครั้งที่มีการนำไปใช้

```

SUM = SUM+YL(I,K)*VG(J)
945 CONTINUE
V(I) = -SJM
DV(I) = V(I)-VM
V(I) = VM+DV(I)*CMPLX(ACCEF,0.0)
DELV = CABS(V(I)-VM)
IF (DELV.GT.MAXDEL) MAXDEL = DELV
950 CONTINUE
ERR = 0.000001
TERA = ITERA+1
IF (ITERA.GE.MAXITER) GO TO 955
IF (MAXDEL.LE.ERR) GO TO 960
GO TO 935
955 WRITE(*,1910)
19 0 FORMAT(5X,'SOLUTION NOT CONVERGED IN 5000 ITERATION')
STOP
960 CONTINUE
DO 980 I = 1,NG
IF (RTT(I).EQ.0) GO TO 970
CALL SALIENT(STEP,CYC,I,CNB,CURR,FREQ,ICOUNT)
GO TO 980
970 CALL ROUND(STEP,CYC,I,CNB,CURR,FREQ,ICOUNT)
980 CONTINUE
IF (N.EQ.0) GO TO 1030
IF (N.EQ.1) GO TO 1040
GO TO 1080
985 DO 986 I = 1,NG
DDT(I) = AVTT(I)-(2.*PI*FREQ)
DAVT(I) = DAVTT(I)
DTT(I) = DT(I)+DDT(I)/FREQ
AVTT(I) = AVT(I)+DAVT(I)/FREQ
986 CONTINUE

```

เอกสารนี้เป็นเอกสารที่สงวนไว้สำหรับการใช้งานเพื่อการศึกษาเท่านั้น ไม่อนุญาตให้นำไปใช้ประโยชน์ด้านการค้า
ไม่ว่ากรณีใดๆทั้งสิ้น อีกทั้งห้ามมิให้ดัดแปลงเนื้อหา และต้องอ้างอิงถึงเจ้าของเอกสารทุกครั้งที่มีการนำไปใช้

GO TO 987

1030 DO 1060 I = 1,NG

J = CNB(I)

DDT(I) = AVT(I)-(2.0*PI*FREQ)

DAVT(I) = PI*FREQ*(PG(J)-PWR(CYC+1,1))/H(I)

DTT(I) = DT(I)+DDT(I)/FREQ

AVTT(I) = AVT(I)+DAVT(I)/FREQ

1060 CONTINUE

987 DO 1200 L = 1,NG

A = VMAG(L)*COS(DTT(L))

B = VMAG(L)*SIN(DTT(L))

VG(L) = CMPLX(A,B)

1200 CONTINUE

N = 1

GO TO 920

1040 DO 1070 I = 1,NG

J = CNB(I)

DAVTT(I) = PI*FREQ*(PG(J)-PWR(CYC+1,1))/H(I)

AVTT(I) = AVT(I)+(DAVT(I)+DAVTT(I))/2./FREQ

DDTT(I) = AVTT(I)-(2.0*PI*FREQ)

DTT(I) = DT(I)+(DDT(I)+DDTT(I))/2./FREQ

DT(I) = DTT(I)

AVT(I) = AVTT(I)

1070 CONTINUE

DO 1205 L = 1,NG

A = VMAG(L)*COS(DT(L))

B = VMAG(L)*SIN(DT(L))

VG(L) = CMPLX(A,B)

1205 CONTINUE

N = 2

GO TO 920

1080 WRITE(*,1090) CYC,TIME

1090 FORMAT(T4,12,T8,F5.3)

เอกสารนี้เป็นเอกสารที่สงวนไว้สำหรับการใช้งานเพื่อการศึกษาเท่านั้น ไม่อนุญาตให้นำไปใช้ประโยชน์ด้านการค้า

ไม่ว่ากรณีใดๆทั้งสิ้น อีกทั้งห้ามมิให้ดัดแปลงเนื้อหา และต้องอ้างอิงถึงเจ้าของเอกสารทุกครั้งที่มีการนำไปใช้

```

DO 1100 I = 1,NG
J = CNB(I)
ANGDEG(CYC+1,I) = DTT(I)*180/PI
OMA(CYC+1,I) = AVTT(I)/2./PI/FREQ
ABSV = CABS(V(J))
TA = H(I)*DAVTT(I)/PI/FREQ
WRITE(*,1120) I,DTT(I),ANGDEG(CYC+1,I),OMA(CYC+1,I),PWR(CYC+1,I)
* ,TA,ABSV
1120 FORMAT(T16,I1,T18,F8.5,T27,F10.5,T39,F8.5,T49,F8.5,T57,F8.5
*,T66,F7.5)
1100 CONTINUE
CYC = CYC+1
ICOUNT = ICOUNT+1
IF (CYC.GT.LCYC) GO TO 1150
GO TO 910
1150 RETURN
END

```

```

C*****C
C SUBROUTINE DCL2 C
C*****C
C*****PURPOSE (FOR VARIABLE " FTYPE = 2 ") C
C TO EXPRESS THE CRITICAL EFFECT TO THE STABILITY OF THE SYSTEM C
C*****C

```

```

SUBROUTINE DCL2(CYC,FCYC1,FCYC2,CCYC1,CCYC2,FBUS1,FBUS2,FREQ)
INTEGER CYC,FCYC,FCYC1,FCYC2,CCYC1,CCYC2,FBUS1,FBUS2
TIME = FLOAT(CYC)/FREQ
IF (FCYC2.LT.CCYC1) GO TO 10
IF (FCYC2.EQ.CCYC1) GO TO 20
IF (FCYC2.GT.CCYC1) GO TO 10
STOP

```

เอกสารนี้เป็นเอกสารที่สงวนไว้สำหรับการใช้งานเพื่อการศึกษาเท่านั้น ไม่อนุญาตให้นำไปใช้ประโยชน์ด้านการค้า
ไม่ว่ากรณีใดๆทั้งสิ้น อีกทั้งห้ามมิให้ดัดแปลงเนื้อหา และต้องอ้างอิงถึงเจ้าของเอกสารทุกครั้งที่มีการนำไปใช้

```
10 IF (CCYC1.EQ.CCYC2) GO TO 40
   IF (CYC.EQ.FCYC1) GO TO 50
   IF (CYC.EQ.FCYC2) GO TO 60
   IF (CYC.EQ.CCYC1) GO TO 70
   IF (CYC.EQ.CCYC2) GO TO 80
STOP
```

```
50 WRITE(*,90) CYC,TIME,FBUS1
   GO TO 100
```

```
60 WRITE(*,90) CYC,TIME,FBUS2
   GO TO 100
```

```
90 FORMAT(T4,12,T9,F4.3,20('*'),'FAULT OCCUR AT BUS ',12,20('*'))
```

```
70 WRITE(*,110) CYC,TIME,FBUS1
   GO TO 100
```

```
80 WRITE(*,110) CYC,TIME,FBUS2
   GO TO 100
```

```
110 FORMAT(T4,12,T9,F4.3,20('*'),'FAULT CLEAR AT BUS ',12,20('*'))
```

```
40 F (CYC.EQ.FCYC1) GO TO 120
   F (CYC.EQ.FCYC2) GO TO 130
   IF (CYC.EQ.CCYC1) GO TO 140
STOP
```

```
120 WRITE(*,90) CYC,TIME,FBUS1
   GO TO 100
```

```
130 WRITE(*,90) CYC,TIME,FBUS2
   GO TO 100
```

```
140 WRITE(*,150) CYC,TIME,FBUS1,FBUS2
```

```
150 FORMAT(T4,12,T9,F4.3,20('*'),'FAULT CLEAR AT BUS ',12,' AND ',
   *12,14('*'))
```

```
20 IF (CYC.EQ.FCYC1) GO TO 160
```

เอกสารนี้เป็นเอกสารที่สงวนไว้สำหรับการใช้งานเพื่อการศึกษาเท่านั้น ไม่อนุญาตให้นำไปใช้ประโยชน์ด้านการค้า
ไม่ว่ากรณีใดๆทั้งสิ้น อีกทั้งห้ามมิให้ตัดแปลงเนื้อหา และต้องอ้างอิงถึงเจ้าของเอกสารทุกครั้งที่มีการนำไปใช้

```
IF (CYC.EQ.FCYC2) GO TO 170
IF (CYC.EQ.CCYC2) GO TO 180
STOP
```

```
160 WRITE(*,90) CYC,TIME,FBUS1
GO TO 100
170 WRITE(*,90) CYC,TIME,FBUS2
WRITE(*,110) CYC,TIME,FBUS1
GO TO 100
180 WRITE(*,110) CYC,TIME,FBUS2
100 RETURN
END
```



เอกสารนี้เป็นเอกสารที่สงวนไว้สำหรับการใช้งานเพื่อการศึกษาเท่านั้น ไม่อนุญาตให้นำไปใช้ประโยชน์ด้านการค้า
ไม่ว่ากรณีใดๆทั้งสิ้น อีกทั้งห้ามมิให้ดัดแปลงเนื้อหา และต้องอ้างอิงถึงเจ้าของเอกสารทุกครั้งที่มีการนำไปใช้

```

*****C
C                               SUBROUTINE TR4                               C
*****C
C*****PURPOSE  (FOR VARIABLE " FTYPE = 4 ")                               C
C      FTYPE = 4 ; THREE PHASES FAULT OCCURED AT THE TERMINAL OF THE C
C      TRANSMISSION LINE ADJACENT TO ANY TWO BUSES -                       C
C      SIMULTANEOUSLY.                                                       C
*****C

```

```

SUBROUTINE TR4(H,RTT,ERR,FTYPE,FBUS1,FBUS2,STEP,FBUS3,FBUS4,CYC,
*FCYC1,FCYC2,CCYC1,CCYC2,RCCYC1,RCCYC2,LCYC1,LCYC2,CNB)
COMMON/VAR1/V(20)
COMMON/VAR2/PG(20),QG(20),PL(20),QL(20)
COMMON/VAR7/VG(20)
COMMON/VAR8/PWR(100,20)
COMMON/VAR9/ANGDEG(100,20)
COMMON/VAR10/OMA(100,20)
COMMON/VAR11/YL(20,20)
COMMON/VAR12/NB,NG,NL,NT,CX
COMMON/VAR13/VTOL,SBASE,SLACKB,FREQ,ACCEF
COMMON/VAR14/TYPE(20)
COMPLEX V,VG,YL,CURR,VM,SUM,DV(20)
INTEGER FTYPE,FBUS1,FBUS2,STEP,CYC,FCYC,CCYC1,CCYC2,LCYC1,LCYC2,
*LCYC,CNB(20),RTT(20),SLACKB,CX,FCYC1,FCYC2,RCCYC1,RCCYC2,
*FBUS3,FBUS4
REAL H(20),AVT(20),DAVT(20),AVTT(20),DAVTT(20),DT(20),DDT(20),
* DTT(20),DDTT(20),MAXDEL,VMAG(10)
LCYC = LCYC1
FCYC = FCYC1
PI = 3.1415912654
MAXITER = 400
ICOUNT = 0
DO 905 I = 1,NG
DT(I) = ATAN2(AIMAG(VG(I)),REAL(VG(I)))

```

เอกสารนี้เป็นเอกสารที่สงวนไว้สำหรับการใช้งานเพื่อการศึกษาเท่านั้น ไม่อนุญาตให้นำไปใช้ประโยชน์ด้านการค้า
ไม่ว่ากรณีใดๆทั้งสิ้น อีกทั้งห้ามมิให้ตัดแปลงเนื้อหา และต้องอ้างอิงถึงเจ้าของเอกสารทุกครั้งที่มีการนำไปใช้

AVT(1) = 2*PI*FREQ

VMAG(1) = CABS(VG(1))

905 CONTINUE

910 N = 0

TIME = FLOAT(CYC)/FREQ

IF ((CYC.EQ.FCYC1).OR.(CYC.EQ.FCYC2).OR.(CYC.EQ.CCYC1).OR.

*(CYC.EQ.CCYC2).OR.(CYC.EQ.RCCYC1).OR.(CYC.EQ.RCCYC2)) GO TO 917

GO TO 985

917 CALL DCL4(CYC,FCYC1,FCYC2,CCYC1,CCYC2,RCCYC1,RCCYC2,FBUS1,FBUS2,

*FBUS3,FBUS4,FREQ)

920 ITERA = 0

935 MAXDEL = 0.0

DO 950 I = 1,NB

IF (CCYC1.EQ.CCYC2) GO TO 40

IF (CCYC1.GT.CCYC2) GO TO 70

IF (CCYC1.LT.CCYC2) GO TO 90

40 CCYC = CCYC1

IF (CYC.GE.CCYC) GO TO 925

V(FBUS1) = CMPLX(0.0,0.0)

V(FBUS2) = CMPLX(0.0,0.0)

IF ((1.EQ.FBUS1).OR.(1.EQ.FBUS2)) GO TO 950

GO TO 925

70 CONTINUE

IF (CYC.GE.CCYC1) GO TO 925

IF ((CYC.GE.CCYC2).AND.(CYC.LT.CCYC1)) GO TO 100

V(FBUS1) = CMPLX(0.0,0.0)

V(FBUS2) = CMPLX(0.0,0.0)

GO TO 110

100 V(FBUS1) = CMPLX(0.0,0.0)

GO TO 120

เอกสารนี้เป็นเอกสารที่สงวนไว้สำหรับการใช้งานเพื่อการศึกษาเท่านั้น ไม่อนุญาตให้นำไปใช้ประโยชน์ด้านการค้า

ไม่ว่ากรณีใดๆทั้งสิ้น อีกทั้งห้ามมิให้ดัดแปลงเนื้อหา และต้องอ้างอิงถึงเจ้าของเอกสารทุกครั้งที่มีการนำไปใช้

110 IF ((I.EQ.FBUS1).OR.(I.EQ.FBUS2)) GO TO 950

GO TO 925

120 IF (I.EQ.FBUS1) GO TO 950

GO TO 925

90 CONTINUE

IF (CYC.GE.CCYC2) GO TO 925

IF ((CYC.GE.CCYC1).AND.(CYC.LT.CCYC2)) GO TO 16

V(FBUS1) = CMPLX(0.0,0.0)

V(FBUS2) = CMPLX(0.0,0.0)

GO TO 17

16 V(FBUS2) = CMPLX(0.0,0.0)

GO TO 18

17 IF ((I.EQ.FBUS1).OR.(I.EQ.FBUS2)) GO TO 950

GO TO 925

18 IF (I.EQ.FBUS2) GO TO 950

925 SUM = CMPLX(0.0,0.0)

VM = V(I)

DO 930 J = 1,NB

IF (J.EQ.I) GO TO 930

SUM = SUM+YL(I,J)*V(J)

930 CONTINUE

DO 945 J = 1,NG

K = NB+J

SUM = SUM+YL(I,K)*VG(J)

945 CONTINUE

V(I) = -SUM

DV(I) = V(I)-VM

V(I) = VM+DV(I)*CMPLX(ACCEF,0.0)

DELV = CABS(V(I)-VM)

IF (DELV.GT.MAXDEL) MAXDEL = DELV

950 CONTINUE

เอกสารนี้เป็นเอกสารที่สงวนไว้สำหรับการใช้งานเพื่อการศึกษาเท่านั้น ไม่อนุญาตให้นำไปใช้ประโยชน์ด้านการค้า
ไม่ว่ากรณีใดๆทั้งสิ้น อีกทั้งห้ามมิให้ตัดแปลงเนื้อหา และต้องอ้างอิงถึงเจ้าของเอกสารทุกครั้งที่มีการนำไปใช้

```

ERR = 0.000001
ITERA = ITERA+1
IF (ITERA.GE.MAXITER) GO TO 955
IF (MAXDEL.LE.ERR) GO TO 960
GO TO 935
955 WRITE(*,1910)
1910 FORMAT(5X,'SOLUTION NOT CONVERGED IN 400 ITERATION')
STOP

```

```

960 CONTINUE

```

```

DO 980 I = 1,NG

```

```

IF (RTT(I).EQ.0) GO TO 970

```

```

CALL SALIENT(STEP,CYC,I,CNB,CURR,FREQ,ICOUNT)

```

```

GO TO 980

```

```

970 CALL ROUND(STEP,CYC,I,CNB,CURR,FREQ,ICOUNT)

```

```

980 CONTINUE

```

```

IF (N.EQ.0) GO TO 1030

```

```

IF (N.EQ.1) GO TO 1040

```

```

GO TO 1080

```

```

985 DO 986 I = 1,NG

```

```

DDT(I) = AVTT(I)-(2.*PI*FREQ)

```

```

DAVT(I) = DAVTT(I)

```

```

DTT(I) = DT(I)+DDT(I)/FREQ

```

```

AVTT(I) = AVT(I)+DAVT(I)/FREQ

```

```

986 CONTINUE

```

```

GO TO 987

```

```

1030 DO 1060 I = 1,NG

```

```

J = CNB(I)

```

```

DDT(I) = AVT(I)-(2.0*PI*FREQ)

```

```

DAVT(I) = PI*FREQ*(PG(J)-PWR(CYC+1,I))/H(I)

```

```

DTT(I) = DT(I)+DDT(I)/FREQ

```

```

AVTT(I) = AVT(I)+DAVT(I)/FREQ

```

```

1060 CONTINUE

```

เอกสารนี้เป็นเอกสารที่สงวนไว้สำหรับการใช้งานเพื่อการศึกษาเท่านั้น ไม่อนุญาตให้นำไปใช้ประโยชน์ด้านการค้า
ไม่ว่ากรณีใดๆทั้งสิ้น อีกทั้งห้ามมิให้ตัดแปลงเนื้อหา และต้องอ้างอิงถึงเจ้าของเอกสารทุกครั้งที่มีการนำไปใช้

987 DO 1200 L = 1,NG

A = VMAG(L)*COS(DTT(L))

B = VMAG(L)*SIN(DTT(L))

VG(L) = CMPLX(A,B)

1200 CONTINUE

N = 1

GO TO 920

1040 DO 1070 I = 1,NG

J = CNB(I)

DAVTT(I) = PI*FREQ*(PG(J)-PWR(CYC+1,I))/H(I)

AVTT(I) = AVT(I)+(DAVT(I)+DAVTT(I))/2./FREQ

DDTT(I) = AVTT(I)-(2.0*PI*FREQ)

DTT(I) = DT(I)+(DDT(I)+DDTT(I))/2./FREQ

DT(I) = DTT(I)

AVT(I) = AVTT(I)

1070 CONTINUE

DO 1205 L = 1,NG

A = VMAG(L)*COS(DT(L))

B = VMAG(L)*SIN(DT(L))

VG(L) = CMPLX(A,B)

1205 CONTINUE

N = 2

GO TO 920

1080 WRITE(*,1090) CYC,TIME

1090 FORMAT(T4,12,T8,F5.3)

DO 1100 I = 1,NG

J = CNB(I)

ANGDEG(CYC+1,I) = DTT(I)*180/PI

OMA(CYC+1,I) = AVTT(I)/2./PI/FREQ

ABSV = CABS(V(J))

TA = H(I)*DAVTT(I)/PI/FREQ

WRITE(*,1120) I,DTT(I),ANGDEG(CYC+1,I),OMA(CYC+1,I),PWR(CYC+1,I)

* ,TA,ABSV

เอกสารนี้เป็นเอกสารที่สงวนไว้สำหรับการใช้งานเพื่อการศึกษาเท่านั้น ไม่อนุญาตให้นำไปใช้ประโยชน์ด้านการค้า
ไม่ว่ากรณีใดๆทั้งสิ้น อีกทั้งห้ามมิให้ดัดแปลงเนื้อหา และต้องอ้างอิงถึงเจ้าของเอกสารทุกครั้งที่มีการนำไปใช้

```
1120 FORMAT(T16,I1,T18,F8.5,T27,F10.5,T39,F8.5,T48,F8.5,T57,F8.5
*,T66,F7.5)
```

```
1100 CONTINUE
```

```
    CYC = CYC+1
```

```
    ICOUNT = ICOUNT+1
```

```
    IF (CYC.GT.LCYC) GO TO 1150
```

```
    GO TO 910
```

```
1150 RETURN
```

```
    END
```

```
C*****C
```

```
C          SUBROUTINE DCL4          C
```

```
C*****C
```

```
C*****PURPOSE (FOR VARIABLE " FTYPE = 4 OR 5 ")          C
```

```
C    TO EXPRESS THE CRITICAL EFFECT TO THE STABILITY OF THE SYSTEM.C
```

```
C*****C
```

```
    SUBROUTINE DCL4(CYC,FCYC1,FCYC2,CCYC1,CCYC2,RCCYC1,RCCYC2,FBUS1,
*FBUS2,FBUS3,FBUS4,FREQ)
```

```
    COMMON/VAR3/Y(20,20)
```

```
    COMPLEX Y,AA,BB
```

```
    INTEGER CYC,FCYC,FCYC1,FCYC2,CCYC1,CCYC2,RCCYC1,RCCYC2,FBUS1,
```

```
*FBUS2,FBUS3,FBUS4
```

```
    FCYC = FCYC1
```

```
    TIME = FLOAT(CYC)/FREQ
```

```
    IF (CYC.GT.FCYC1) GO TO 100
```

```
    IF (FCYC1.EQ.FCYC2) GO TO 101
```

```
    WRITE(*,200) CYC,TIME,FBUS1,FBUS2
```

```
    GO TO 999
```

```
101 WRITE(*,200) CYC,TIME,FBUS1,FBUS2
```

```
    WRITE(*,200) CYC,TIME,FBUS3,FBUS4
```

```
200 FORMAT(T4,I2,T9,F4.3,3('*'),'FAULT OCCURED ADJACENT TO BUS ',I2,
```

ไม่ว่ากรณีใดๆทั้งสิ้น อีกทั้งห้ามมิให้ตัดแปลงเนื้อหา และต้องอ้างอิงถึงเจ้าของเอกสารทุกครั้งที่มีการนำไปใช้

* ' ON THE LINE TO BUS ',12,3('*'))

GO TO 999

100 IF ((CYC.EQ.CCYC1).AND.(CCYC1.EQ.FCYC2)) GO TO 510
IF ((CYC.EQ.CCYC1).AND.(CCYC1.EQ.CCYC2)) GO TO 520
IF ((CYC.EQ.CCYC1).AND.(CCYC1.EQ.RCCYC2)) GO TO 530
IF ((CYC.EQ.RCCYC1).AND.(RCCYC1.EQ.FCYC2)) GO TO 540
IF ((CYC.EQ.RCCYC1).AND.(RCCYC1.EQ.CCYC2)) GO TO 560
IF ((CYC.EQ.RCCYC1).AND.(RCCYC1.EQ.RCCYC2)) GO TO 550
IF (CYC.EQ.FCYC2) GO TO 610
IF (CYC.EQ.CCYC1) GO TO 570
IF (CYC.EQ.CCYC2) GO TO 580
IF (CYC.EQ.RCCYC1) GO TO 590
IF (CYC.EQ.RCCYC2) GO TO 600

STOP

510 WRITE(*,511) CYC,TIME,FBUS1,FBUS2,CYC,TIME,FBUS3,FBUS4

511 FORMAT(T4,12,T9,F4.3,11('*'),'LINE IS TRIPPED BETWEEN BUS ',12,

* ' AND ',12,12('*'))/,

* T4,12,T9,F4.3,3('*'),'FAULT OCCURED ADJACENT TO BUS ',12;

* ' ON THE LINE TO BUS ',12,3('*'))

CALL MD1(AA,FBUS1,FBUS2)

GO TO 999

520 WRITE(*,10) CYC,TIME,FBUS1,FBUS2,CYC,TIME,FBUS3,FBUS4

10 FORMAT(T4,12,T9,F4.3,11('*'),'LINE IS TRIPPED BETWEEN BUS ',12,

* ' AND ',12,12('*'))/,

* T4,12,T9,F4.3,11('*'),'LINE IS TRIPPED BETWEEN BUS ',12,

* ' AND ',12,12('*'))

CALL MD1(AA,FBUS1,FBUS2)

CALL MD2(BB,FBUS3,FBUS4)

GO TO 999

เอกสารนี้เป็นเอกสารที่สงวนไว้สำหรับการใช้งานเพื่อการศึกษาเท่านั้น ไม่อนุญาตให้นำไปใช้ประโยชน์ด้านการค้า
ไม่ว่ากรณีใดๆทั้งสิ้น อีกทั้งห้ามมิให้ตัดแปลงเนื้อหา และต้องอ้างอิงถึงเจ้าของเอกสารทุกครั้งที่มีการนำไปใช้

```

530 WRITE(*,310) CYC,TIME,FBUS1,FBUS2,CYC,TIME,FBUS3,FBUS4
310 FORMAT(T4,12,T9,F4.3,11('*'),'LINE IS TRIPPED BETWEEN BUS ',12,
*      ' AND ',12,12('*'),/,
*      T4,12,T9,F4.3,11('*'),'LINE IS RECLOSED BETWEEN BUS ',12,
*      'AND ',12,11('*'))
CALL MD1(AA,FBUS1,FBUS2)
CALL MD4(BB,FBUS3,FBUS4)
GO TO 999

```

```

540 WRITE(*,541) CYC,TIME,FBUS1,FBUS2,CYC,TIME,FBUS3,FBUS4
541 FORMAT(T4,12,T9,F4.3,11('*'),'LINE IS RECLOSED BETWEEN BUS ',12,
*      'AND ',12,11('*'),/,
*      T4,12,T9,F4.3,3('*'),'FAULT OCCURED ADJACENT TO BUS ',12,
*      'ON THE LINE TO BUS ',12,3('*'))
CALL MD3(AA,FBUS1,FBUS2)
GO TO 999

```

```

570 WRITE(*,20) CYC,TIME,FBUS1,FBUS2
20 FORMAT(T4,12,T9,F4.3,11('*'),'LINE IS TRIPPED BETWEEN BUS ',12,
*      ' AND ',12,12('*'))
CALL MD1(AA,FBUS1,FBUS2)
GO TO 999

```

```

580 WRITE(*,20) CYC,TIME,FBUS3,FBUS4
CALL MD2(BB,FBUS3,FBUS4)
GO TO 999

```

```

550 WRITE(*,30) CYC,TIME,FBUS1,FBUS2,CYC,TIME,FBUS3,FBUS4
30 FORMAT(T4,12,T9,F4.3,11('*'),'LINE IS RECLOSED BETWEEN BUS ',12,
*      ' AND ',12,11('*'),/,
*      T4,12,T9,F4.3,11('*'),'LINE IS RECLOSED BETWEEN BUS ',12,
*      ' AND ',12,11('*'))
CALL MD3(AA,FBUS1,FBUS2)

```

เอกสารนี้เป็นเอกสารที่สงวนไว้สำหรับการศึกษาเท่านั้น ไม่อนุญาตให้นำไปใช้ประโยชน์ด้านการค้า
ไม่ว่ากรณีใดๆทั้งสิ้น อีกทั้งห้ามมิให้ตัดแปลงเนื้อหา และต้องอ้างอิงถึงเจ้าของเอกสารทุกครั้งที่มีการนำไปใช้

CALL MD4(BB,FBUS3,FBUS4)

GO TO 999

560 WRITE(*,410) CYC,TIME,FBUS1,FBUS2,CYC,TIME,FBUS3,FBUS4

410 FORMAT(T4,12,T9,F4.3,11('*'),'LINE IS RECLOSED BETWEEN BUS ',12,

* ' AND ',12,11('*'),/,

* T4,12,T9,F4.3,11('*'),'LINE IS TRIPPED BETWEEN BUS ',12,

* - ' AND ',12,12('*'))

CALL MD3(AA,FBUS1,FBUS2)

CALL MD2(BB,FBUS3,FBUS4)

GO TO 999

590 WRITE(*,40) CYC,TIME,FBUS1,FBUS2

40 FORMAT(T4,12,T9,F4.3,11('*'),'LINE IS RECLOSED BETWEEN BUS ',12,

* ' AND ',12,11('*'))

CALL MD3(AA,FBUS1,FBUS2)

GO TO 999

600 WRITE(*,40) CYC,TIME,FBUS3,FBUS4

CALL MD4(BB,FBUS3,FBUS4)

GO TO 999

610 WRITE(*,611) CYC,TIME,FBUS3,FBUS4

611 FORMAT(T4,12,T9,F4.3,3('*'),'FAULT OCCURED ADJACENT TO BUS ',12,

* ' ON THE LINE TO BUS ',12,3('*'))

999 RETURN

END

เอกสารนี้เป็นเอกสารที่สงวนไว้สำหรับการใช้งานเพื่อการศึกษาเท่านั้น ไม่อนุญาตให้นำไปใช้ประโยชน์ด้านการค้า
ไม่ว่ากรณีใดๆทั้งสิ้น อีกทั้งห้ามมิให้ตัดแปลงเนื้อหา และต้องอ้างอิงถึงเจ้าของเอกสารทุกครั้งที่มีการนำไปใช้

```

C*****C
C                               SUBROUTINE TR5                               C
C*****C
C*****PURPOSE (FOR VARIABLE " FTYPE = 5 ")                               C
C    FTYPE = 5 ; THREE PHASES FAULT OCCURED AT THE TERMINAL OF THE C
C    TRANSMISSION LINE CONTIGUOUS TO ANY ONE BUS C
C    SUBSEQUENT RECURED AT ONCE AT ANY OTHER OF THE - C
C    TERMINAL OF TRANSMISSION LINE PROXIMATE TO ANY ONE C
C    BUS. C
C*****C
SUBROUTINE TR5(H,RTT,ERR,FTYPE,FBUS1,FBUS2,STEP,FBUS3,FBUS4,CYC,
*FCYC1,FCYC2,CCYC1,CCYC2,RCCYC1,RCCYC2,LCYC1,LCYC2,CNB)
COMMON/VAR1/V(20)
COMMON/VAR2/PG(20),QG(20),PL(20),QL(20)
COMMON/VAR7/VG(20)
COMMON/VAR8/PWR(100,20)
COMMON/VAR9/ANGDEG(100,20)
COMMON/VAR10/OMA(100,20)
COMMON/VAR11/YL(20,20)
COMMON/VAR12/NB,NG,NL,NT,CX
COMMON/VAR13/VTOL,SBASE,SLACKB,FREQ,ACCEF
COMMON/VAR14/TYPE(20)
COMPLEX V,VG,YL,CURR,VM,SUM,DV(20)
INTEGER FTYPE,FBUS1,FBUS2,STEP,CYC,FCYC,CCYC1,CCYC2,LCYC1,LCYC2,
*LCYC,CNB(20),RTT(20),SLACKB,CX,FCYC1,FCYC2,RCCYC1,RCCYC2
REAL H(20),AVT(20),DAVT(20),AVTT(20),DAVTT(20),DT(20),DDT(20),
* DTT(20),DDTT(20),MAXDEL,VMAG(10)
LCYC = LCYC1
FCYC = FCYC1
PI = 3.1415912654
MAXITER = 5000
ICOUNT = 0
DO 905 I = 1,NG

```

เอกสารนี้เป็นเอกสารที่สงวนไว้สำหรับการใช้งานเพื่อการศึกษาเท่านั้น ไม่อนุญาตให้นำไปใช้ประโยชน์ด้านการค้า
ไม่ว่ากรณีใดๆทั้งสิ้น อีกทั้งห้ามมิให้ดัดแปลงเนื้อหา และต้องอ้างอิงถึงเจ้าของเอกสารทุกครั้งที่มีการนำไปใช้

```

DT(1)    = ATAN2(AIMAG(VG(1)),REAL(VG(1)))
AVT(1)   = 2*PI*FREQ
VMAG(1)  = CABS(VG(1))
905 CONTINUE
910 N = 0

TIME = FLOAT(CYC)/FREQ
IF ((CYC.EQ.FCYC1).OR.(CYC.EQ.FCYC2).OR.(CYC.EQ.CCYC1).OR.
*(CYC.EQ.CCYC2).OR.(CYC.EQ.RCCYC1).OR.(CYC.EQ.RCCYC2)) GO TO 917
GO TO 985
917 CALL DCL4(CYC,FCYC1,FCYC2,CCYC1,CCYC2,RCCYC1,RCCYC2,FBUS1,FBUS2,
*FBUS3,FBUS4,FREQ)
920 ITERA = 0
935 MAXDEL = 0.0

DO 950 I = 1,NE
IF (FCYC2.LT.CCYC1) GO TO 10
IF (FCYC2.EQ.CCYC1) GO TO 20
IF (FCYC2.GT.CCYC1) GO TO 30

10 IF (CCYC2.LT.CCYC1) GO TO 40
IF (CCYC2.GT.CCYC1) GO TO 50
IF (CCYC2.EQ.CCYC1) GO TO 60

40 IF (CYC.GE.CCYC1) GO TO 925
IF ((CYC.GE.CCYC2).AND.(CYC.LT.CCYC1)) GO TO 919
IF ((CYC.GE.FCYC1).AND.(CYC.LT.CCYC1)) V(FBUS1) = CMPLX(0.0,0.0)
IF ((CYC.GE.FCYC2).AND.(CYC.LT.CCYC2)) V(FBUS2) = CMPLX(0.0,0.0)
GO TO 700

919 V(FBUS1) = CMPLX(0.0,0.0)
IF (1.EQ.FBUS1) GO TO 950
GO TO 925

```

เอกสารนี้เป็นเอกสารที่สงวนไว้สำหรับการใช้งานเพื่อการศึกษาเท่านั้น ไม่อนุญาตให้นำไปใช้ประโยชน์ด้านการค้า
ไม่ว่ากรณีใดๆทั้งสิ้น อีกทั้งห้ามมิให้ตัดแปลงเนื้อหา และต้องอ้างอิงถึงเจ้าของเอกสารทุกครั้งที่มีการนำไปใช้

```

50 IF (CYC.GE.CCYC2) GO TO 925
   IF ((CYC.GE.CCYC1).AND.(CYC.LT.CCYC2)) GO TO 922
   IF ((CYC.GE.FCYC1).AND.(CYC.LT.CCYC1)) V(FBUS1) = CMPLX(0.0,0.0)
   IF ((CYC.GE.FCYC2).AND.(CYC.LT.CCYC2)) V(FBUS2) = CMPLX(0.0,0.0)
   GO TO 700
922 V(FBUS2) = CMPLX(0.0,0.0)
   IF (1.EQ.FBUS2) GO TO 950
   GO TO 925

50 IF (CYC.GE.CCYC1) GO TO 925
   IF ((CYC.GE.FCYC1).AND.(CYC.LT.CCYC1)) V(FBUS1) = CMPLX(0.0,0.0)
   IF ((CYC.GE.FCYC2).AND.(CYC.LT.CCYC2)) V(FBUS2) = CMPLX(0.0,0.0)
   GO TO 700
20 IF (CYC.GE.CCYC2) GO TO 925
   IF ((CYC.GE.CCYC1).AND.(CYC.LT.CCYC2)) GO TO 923
   IF ((CYC.GE.FCYC1).AND.(CYC.LT.CCYC1)) V(FBUS1) = CMPLX(0.0,0.0)
   IF ((CYC.GE.FCYC2).AND.(CYC.LT.CCYC2)) V(FBUS2) = CMPLX(0.0,0.0)
   GO TO 700
923 V(FBUS2) = CMPLX(0.0,0.0)
   IF (1.EQ.FBUS2) GO TO 950
   GO TO 925

30 IF (CYC.GE.CCYC2) GO TO 925
   IF ((CYC.GE.CCYC1).AND.(CYC.LT.FCYC2)) GO TO 925
   IF ((CYC.GE.FCYC2).AND.(CYC.LT.CCYC2)) V(FBUS2) = CMPLX(0.0,0.0)
   IF ((CYC.GE.FCYC1).AND.(CYC.LT.CCYC1)) V(FBUS1) = CMPLX(0.0,0.0)

700 IF ((1.EQ.FBUS1).OR.(1.EQ.FBUS2)) GO TO 950
925 SUM = CMPLX(0.0,0.0)
   VM = V(1)
   DO 930 J = 1,NB

```

เอกสารนี้เป็นเอกสารที่สงวนไว้สำหรับการใช้งานเพื่อการศึกษาเท่านั้น ไม่อนุญาตให้นำไปใช้ประโยชน์ด้านการค้า
ไม่ว่ากรณีใดๆทั้งสิ้น อีกทั้งห้ามมิให้ตัดแปลงเนื้อหา และต้องอ้างอิงถึงเจ้าของเอกสารทุกครั้งที่มีการนำไปใช้

```

SUM = SUM+YL(I,J)*V(J)
930 CONTINUE
DO 945 J = 1,NG
K = NB+J
SUM = SUM+YL(I,K)*VG(J)
945 CONTINUE
V(I) = -SUM
DV(I) = V(I)-VM
V(I) = VM+DV(I)*CMPLX(ACCEF,0.0)
DELV = CABS(V(I)-VM)
IF (DELV.GT.MAXDEL) MAXDEL = DELV
950 CONTINUE
ERR = 0.000001
ITERA = ITERA+1
IF (ITERA.GE.MAXITER) GO TO 955
IF (MAXDEL.LE.ERR) GO TO 960
GO TO 935
955 WRITE(*,1910)
1910 FORMAT(5X,'SOLUTION NOT CONVERGED IN 5000 ITERATION')
STOP
960 CONTINUE
DO 980 I = 1,NG
IF (RTT(I).EQ.0) GO TO 970
CALL SALIENT(STEP,CYC,I,CNB,CURR,FREQ,ICOUNT)
GO TO 980
970 CALL ROUND(STEP,CYC,I,CNB,CURR,FREQ,ICOUNT)
980 CONTINUE
IF (N.EQ.0) GO TO 1030
IF (N.EQ.1) GO TO 1040
GO TO 1080
985 DO 986 I = 1,NG
DDT(I) = AVTT(I)-(2.*PI*FREQ)

```

เอกสารนี้เป็นเอกสารที่สงวนไว้สำหรับการใช้งานเพื่อการศึกษาเท่านั้น ไม่อนุญาตให้นำไปใช้ประโยชน์ด้านการค้า
 ไม่ว่ากรณีใดๆทั้งสิ้น อีกทั้งห้ามมิให้ดัดแปลงเนื้อหา และต้องอ้างอิงถึงเจ้าของเอกสารทุกครั้งที่มีการนำไปใช้

```

DAVT(I) = DAVTT(I)
DTT(I) = DT(I)+DDT(I)/FREQ
AVTT(I) = AVT(I)+DAVT(I)/FREQ
986 CONTINUE
GO TO 987
1030 DO 1060 I = 1,NG
J = CNB(I)
DDT(I) = AVT(I)-(2.0*PI*FREQ)
DAVT(I) = PI*FREQ*(PG(J)-PWR(CYC+1,I))/H(I)
DTT(I) = DT(I)+DDT(I)/FREQ
AVTT(I) = AVT(I)+DAVT(I)/FREQ
1060 CONTINUE
987 DO 1200 L = 1,NG
A = VMAG(L)*COS(DTT(L))
B = VMAG(L)*SIN(DTT(L))
VG(L) = CMPLX(A,B)
1200 CONTINUE
N = 1
GO TO 920
1040 DO 1070 I = 1,NG
J = CNB(I)
DAVTT(I) = PI*FREQ*(PG(J)-PWR(CYC+1,I))/H(I)
AVTT(I) = AVT(I)+(DAVT(I)+DAVTT(I))/2./FREQ
DDTT(I) = AVTT(I)-(2.0*PI*FREQ)
DTT(I) = DT(I)+(DDT(I)+DDTT(I))/2./FREQ
DT(I) = DTT(I)
AVT(I) = AVTT(I)
1070 CONTINUE
DO 1205 L = 1,NG
A = VMAG(L)*COS(DT(L))
B = VMAG(L)*SIN(DT(L))
VG(L) = CMPLX(A,B)
1205 CONTINUE

```

C*****C

```

SUBROUTINE MD1(AA,FBUS1,FBUS2)
COMMON/VAR3/ Y(20,20)
COMPLEX Y,AA
INTEGER FBUS1,FBUS2
Y(FBUS1,FBUS1) = Y(FBUS1,FBUS1) + Y(FBUS1,FBUS2)
Y(FBUS2,FBUS2) = Y(FBUS2,FBUS2) + Y(FBUS2,FBUS1)
AA = Y(FBUS1,FBUS2)
Y(FBUS1,FBUS2) = CMLPX(0.0,0.0)
Y(FBUS2,FBUS1) = CMLPX(0.0,0.0)
RETURN
END

```

C*****C

C SUBROUTINE MD2 C

C*****C

```

SUBROUTINE MD2(BB,FBUS3,FBUS4)
COMMON/VAR3/ Y(20,20)
COMPLEX Y,BB
INTEGER FBUS3,FBUS4
Y(FBUS3,FBUS3) = Y(FBUS3,FBUS3) + Y(FBUS3,FBUS4)
Y(FBUS4,FBUS4) = Y(FBUS4,FBUS4) + Y(FBUS4,FBUS3)
BB = Y(FBUS3,FBUS4)
Y(FBUS3,FBUS4) = CMLPX(0.0,0.0)
Y(FBUS4,FBUS3) = CMLPX(0.0,0.0)
RETURN
END

```

C*****C

C SUBROUTINE MD3 C

C*****C

```

SUBROUTINE MD3(AA,FBUS1,FBUS2)
COMMON/VAR1/ Y(20,20)

```

เอกสารนี้เป็นเอกสารที่สงวนไว้สำหรับการใช้งานเพื่อการศึกษาเท่านั้น ไม่นุญาตให้นำไปใช้ประโยชน์ด้านการค้า
 ไม่ว่ากรณีใดๆทั้งสิ้น อีกทั้งห้ามมิให้ตัดแปลงเนื้อหา และต้องอ้างอิงถึงเจ้าของเอกสารทุกครั้งที่มีการนำไปใช้

COMPLEX Y,AA

INTEGER FBUS1,FBUS2

Y(FBUS1,FBUS2) = AA

Y(FBUS2,FBUS1) = AA

Y(FBUS1,FBUS1) = Y(FBUS1,FBUS1) + AA

Y(FBUS2,FBUS2) = Y(FBUS2,FBUS2) - AA

RETURN

END

C*****C

C

SUBROUTINE MD4

C

C*****C

SUBROUTINE MD4(BB,FBUS3,FBUS4)

COMMON/VAR3/ Y(20,20)

COMPLEX Y,BB

INTEGER FBUS3,FBUS4

Y(FBUS3,FBUS4) = BB

Y(FBUS4,FBUS3) = BB

Y(FBUS3,FBUS3) = Y(FBUS3,FBUS3) + BB

Y(FBUS4,FBUS4) = Y(FBUS4,FBUS4) - BB

RETURN

END

เอกสารนี้เป็นเอกสารที่สงวนไว้สำหรับการใช้งานเพื่อการศึกษาเท่านั้น ไม่อนุญาตให้นำไปใช้ประโยชน์ด้านการค้า
ไม่ว่ากรณีใดๆทั้งสิ้น อีกทั้งห้ามมิให้ตัดแปลงเนื้อหา และต้องอ้างอิงถึงเจ้าของเอกสารทุกครั้งที่มีการนำไปใช้

```

C*****C
C          SUBROUTINE ROUND          C
C*****C
C*****PURPOSE          C
C          TO CALCULATE MACHINE CURRENTS FOR ROUND ROTOR TYPE FOR EACH C
C          STEP AND MAYBE INCLUDE THE EFFECT OF SUBTRANSIENT REACTANCE C
C          ACCORDING TO THE VALUE OF INPUT DATA IN VARIABLE "CX" C
C*****DETAIL          C
C          FOR ROUND ROTOR MACHINE ,NEGLECTS THE EFFECT OF SALENCY AND C
C          ASSUMES CONSTANT FLUX LINKAGES AND A SMALL CHANGE IN SPEED. C
C*****C
SUBROUTINE ROUND(STEP,CYC,1,CNB,CURR,FREQ,ICOUNT)
COMMON/VAR1/V(20)
COMMON/VAR4/XD(20),XXD(20),XXXD(20)
COMMON/VAR5/TDO(20),TTD(20),TTTD(20)
COMMON/VAR7/VG(20)
COMMON/VAR9/PWR(100,20)
COMMON/VAR12/NB,NG,NL,NT,CX
COMPLEX CURR,V,VG,DEL
INTEGER STEP,CYC,CNB(20),CX

*****DECLARE VARIABLES*****C
C          CURR      :      MACHINE CURRENTS          C
C          V          :      MACHINE TERMINAL VOLTAGE   C
C          VG         :      VOLTAGE BACK OF TRANSIENT REACTANCE C
C*****REMARK          C
C          OTHER VARIABLES RELY ON THE OPERATION.      C
C*****C
J = CNB(1)

```

```

C*****FOR STEP = 0*****C
      VG(I) = V(J)+CURR*CMPLX(0,0,XXD(I))
      GO TO 999

C*****FOR STEP = 1*****C
      4 0 TIME = FLOAT(ICOUNT)/FREQ

C*****CHECK THE VALUE OF VARIABLE " CX "*****C
      IF (CX.EQ.0) GO TO 500
      XG = XCAL(TIME, XD(I), XXD(I), XXXD(I), TTD(I), TTTD(I))
      GO TO 600
5  J XG = XXD(I)
      DEL = (V3(I)-V(J))
      CURR = DEL/CMPLX(0,0,XG)
      *R(CYC 1, I) = REAL(CURR*CONJG(V3(I)))
9  RETURN
END

```



เอกสารนี้เป็นเอกสารที่สงวนไว้สำหรับการใช้งานเพื่อการศึกษาเท่านั้น ไม่อนุญาตให้นำไปใช้ประโยชน์ด้านการค้า
ไม่ว่ากรณีใดๆทั้งสิ้น อีกทั้งห้ามมิให้ดัดแปลงเนื้อหา และต้องอ้างอิงถึงเจ้าของเอกสารทุกครั้งที่มีการนำไปใช้

C*****C

C SUBROUTINE SALIENT C

C*****C

C*****PURPOSE C

C TO CALCULATE MACHINE CURRENTS FOR SALIENT POLE MACHINE FOR C
C EACH STEP AND MAYBE INCLUDE THE EFFECT OF SUBTRANSIENT REACTANCE C
C ACCORDING TO THE VALUE OF INPUT DATA IN VARIABLE " CX " C

C*****DETAIL C

C FOR SALIENT POLE MACHINE ,THE EFFECTS OF SALIENCY AND CHANGES C
C IN FIELD LINKAGES ARE TAKEN INTO ACCOUNT A VOLTAGE BACK OF C
C QUADRATURE-AXIS SYNCHRONOUS REACTANCE IS USED TO REPRESENT THE C
C MACHINE. C

C*****C

```

SUBROUTINE SALIENT(STEP,CYC, ,CNB,CURR,FREQ,COUNT)
COMMON/VAR1/V(20)
COMMON/VAR4/XD(20),XXD(20),XXXD(20)
COMMON/VAR5/XQ(20),XXQ(20),XXXQ(20)
COMMON/VAR6/TDO(20),TTD(20),TTTD(20)
COMMON/VAR7/VG(20)
COMMON/VAR8/PWR(100,20)
COMMON/VAR12/NB,NG,NL,NT,CX
COMPLEX CURR,DEL,AA,BB,VG,V,EQ,EFD(20),QCURR,DCURR,EI,EDIFF,
*DTEQ1,ADD,EQ1(20),S,UEQ,UJEQ
NTE=ER STEP,CYC,CNB(20),CX

```

C*****DECLARE VARIABLES*****C

C CURR : MACHINE CURRENTS C
C EQ : VOLTAGE BACK OF QUADRATURE-AXIS SYNCHRONOUS REACTANCE C

C EFD เป็นเอกสาร VOLTAGE PROPORTIONAL TO FIELD CURRENT นำไปใช้ประโยชน์ด้านการคำนวณ

ไม่ว่ากรณีใดๆทั้งสิ้น อีกทั้งห้ามมิให้ตัดแปลงเนื้อหา และต้องอ้างอิงถึงเจ้าของเอกสารทุกครั้งที่มีการนำไปใช้

DCURR : DIRECT-AXIS COMPONENT OF MACHINE TERMINAL CURRENT C
 QCURR : QUADRATURE-AXIS COMPONENT OF MACHINE TERMINAL CURRENT C
 EQ1 : VOLTAGE PROPORTIONAL TO FIELD FLUX LINKAGE C

*****REMARK OTHER VARIABLES RELY ON THE OPERATION*****C

J = CNB(I)

IF (STEP.EQ.1) GO TO 810

*****FOR STEP = 0*****C

EQ = V(J)+CURR*CMPLX(0.0,XQ(I))

ANGEQ = ATAN2(AIMAG(EQ),REAL(EQ))

ANGCURR = ATAN2(AIMAG(CURR),REAL(CURR))

ANGIQ = ANGEQ-ANGCURR

ABSCURR = CABS(CURR)

A = ABSCURR*SIN(ANGIQ)

B = ABSCURR*COS(ANGIQ)

ABSEQ = CABS(EQ)

UEQ = EQ/CMPLX(ABSEQ,0.0)

UJEQ = -(CMPLX(0.0,1))*UEQ

DCURR = UJEQ*CMPLX(A,0.0)

QCURR = UJEQ*CMPLX(B,0.0)

EFD(I) = V(J)+(DCURR*CMPLX(0.0,XD(I)))+(QCURR*CMPLX(0.0,XQ(I)))

XX = XQ(I)-XXD(I)

EQ1(I) = EQ-DCURR*CMPLX(0.0,XX)

VG(I) = EQ

GO TO 999

*****FOR STEP = 1*****C

810 TIME = FLOAT(ICOUNT)/FREQ

*****CHECK THE VALUE OF "CX"*****C

ไม่ว่ากรณีใดๆทั้งสิ้น อีกทั้งห้ามมิให้ตัดแปลงเนื้อหา และต้องอ้างอิงถึงเจ้าของเอกสารทุกครั้งที่มีการนำไปใช้

EQ = EQ1(I)+DCURR+CMPLX(0.0,XX)

VG(I) = EQ

PWR(CYC+1,I) = REAL(CURR*CONJG(EQ))

999 RETURN

END



เอกสารนี้เป็นเอกสารที่สงวนไว้สำหรับการใช้งานเพื่อการศึกษาเท่านั้น ไม่อนุญาตให้นำไปใช้ประโยชน์ด้านการค้า
ไม่ว่ากรณีใดๆทั้งสิ้น อีกทั้งห้ามมิให้ดัดแปลงเนื้อหา และต้องอ้างอิงถึงเจ้าของเอกสารทุกครั้งที่มีการนำไปใช้

C*****

SUBROUTINE PLOT

C*****

C*****PURPOSE

- C TO BRING DATA OUTPUT FROM ANY SUBROUTINE TRO 1 2 3 4 5
- C AND PLOT TWO CURVED FROM DATA OUTPUT
- C 1. SWING CURVE
- C 2. CURVE OF RATIO OF ACTUAL SPEED TO RATED SPEED AND TIME

C*****

SUBROUTINE PLOT(LCYC,RMIN,RMAX,TPLOT,PI,FREQ)

COMMON/VAR9/ANGDEG(100,20)

COMMON/VAR10/OMA(100,20)

COMMON/VAR12/NB,NG,NL,NT,CX

CHARACTER COL(121)*1,A(10)*1

DIMENSION S(20),VALUE(120,20)

INTEGER LCYC,TPLOT,WIDE1,WIDE2,TAPX,TAPY,CX

REAL MULTI,MULTI1

DATA A/'1','2','3','4','5','6','7','8','9','0'/

CONST = 2.0*PI*FREQ

WIDE1 = 121

WIDE2 = 120

TAPX = 10

TAPY = 5

IF (TPLOT.EQ.1) GO TO 710

720 VMIN = 1.0

VMAX = 1.0

MULTI = 1.1

MULTI1 = 0.35

DO 750 I = 1,LCYC+1

DO 750 J = 1,NG

VALUE(I,J) = OMA(I,J)

750 CONTINUE

GO TO 740

```

710 VMIN = 0.0
    VMAX = 0.0
    MULTI = 1.5
    MULTI1 = 1.5
    DO 760 I = 1,LCYC+2
    DO 760 J = 1,NG
    VALUE(I,J) = ANGDEG(I,J)

```

```
750 CONTINUE
```

```
740 DO 770 I = 1,LCYC+1
```

```
    DO 770 J = 1,NG
```

```
    IF (VALUE(I,J).LT.VMIN) VMIN = VALUE(I,J)
```

```
    IF (VALUE(I,J).GT.VMAX) VMAX = VALUE(I,J)
```

```
    IF (VALUE(I,J).LT.RMIN) VMIN = RMIN
```

```
    IF (VALUE(I,J).GT.RMAX) VMAX = RMAX
```

```
770 CONTINUE
```

```
VMAX = VMAX*MULTI
```

```
VMIN = VMIN*MULTI1
```

```
RANGE = VMAX-VMIN
```

```
SCALEX = RANGE/12.0
```

```
S(1) = VMIN
```

```
DO 780 I = 2,13
```

```
S(I) = VMIN+SCALEX*FLOAT(I-1)
```

```
780 CONTINUE
```

```
WRITE(*,1710) (S(I),I=1,13)
```

```
1710 FORMAT(T2,13F10.3)
```

```
WRITE(*,1720)
```

```
1720 FORMAT(T3,'CYCLE',T9,121('-'))
```

```
FACTOR = FLOAT(WIDE2)/RANGE
```

```
COL(1) = '1'
```

```
LCOUNT = 0
```

```
DO 790 I = 1,LCYC+1
```

```
DO 800 J = 2,WIDE2
```

เอกสารนี้เป็นเอกสารที่สงวนไว้สำหรับการใช้งานเพื่อการศึกษาเท่านั้น ไม่อนุญาตให้นำไปใช้ประโยชน์ด้านการค้า
ไม่ว่ากรณีใดๆทั้งสิ้น อีกทั้งห้ามมิให้ตัดแปลงเนื้อหา และต้องอ้างอิงถึงเจ้าของเอกสารทุกครั้งที่มีการนำไปใช้

```

800 CONTINUE
      DO 810 J = 1,NG
        VALUE(I,J) = (VALUE(I,J)-VMIN)*FACTOR
        INDEX = IFIX(VALUE(I,J))
        IF (INDEX.LE.1) INDEX = 2
        COL(INDEX) = A(J)

```

```

810 CONTINUE
      COL(121) = ' '
      LCM = (LCOUNT)*TAPY+1
      IF (I.NE.LCM) GO TO 820
      DO 830 J = 1,WIDE1-TAPX,TAPX
        COL(J) = '+'

```

```

830 CONTINUE
      COL(I) = ' | '
      LCOUNT = LCOUNT+1
      WRITE(*,1730) I-1,(COL(K),K=1,WIDE1)
      GO TO 790

```

```

820 WRITE(*,1740) (COL(K),K=1,WIDE1)

```

```

790 CONTINUE
      DO 910 I = 1,WIDE1
        COL(I) = '-'

```

```

910 CONTINUE
      WRITE(*,1740) (COL(K),K=1,WIDE1)

```

```

1730 FORMAT(T3,I6,T9,I21A1)

```

```

1740 FORMAT(T9,I21A1)

```

```

      RETURN

```

```

      END

```

เอกสารนี้เป็นเอกสารที่สงวนไว้สำหรับการใช้งานเพื่อการศึกษาเท่านั้น ไม่อนุญาตให้นำไปใช้ประโยชน์ด้านการค้า
ไม่ว่ากรณีใดๆทั้งสิ้น อีกทั้งห้ามมิให้ตัดแปลงเนื้อหา และต้องอ้างอิงถึงเจ้าของเอกสารทุกครั้งที่มีการนำไปใช้

C*****C

C PROGRAM EQUAL AREA CRITERION C

C*****C

C PURPOSE C

C TO CALCULATE THE SIGNIFICANT VALUES OF EQUAL AREA CRITERION. C
C FOR EACH MACHINE AFTER THREE PHASE FAULT OCCURED AT THE BUS - C
C WHERE IT IS CONNECTED. C

- C 1. OPERATING ANGLE. C
- C 2. CRITICAL CLEARING ANGLE. C
- C 3. CRITICAL CLEARING TIME. C
- C 4. MAXIMUM ANGLE OF DECELERATE AREA AT CRITICAL CLEARING ANGLE C
- C 5. ACCELERATE AREA (AREA 1) C
- C 6. DECELERATE AREA (AREA 2) C

C AFTER WE GET THE RESULT THEN WE WILL BOTH CONSIDER AND - C
C COMPARE SOME VALUES TO THE RESULT FROM STABILITY PROGRAM. C

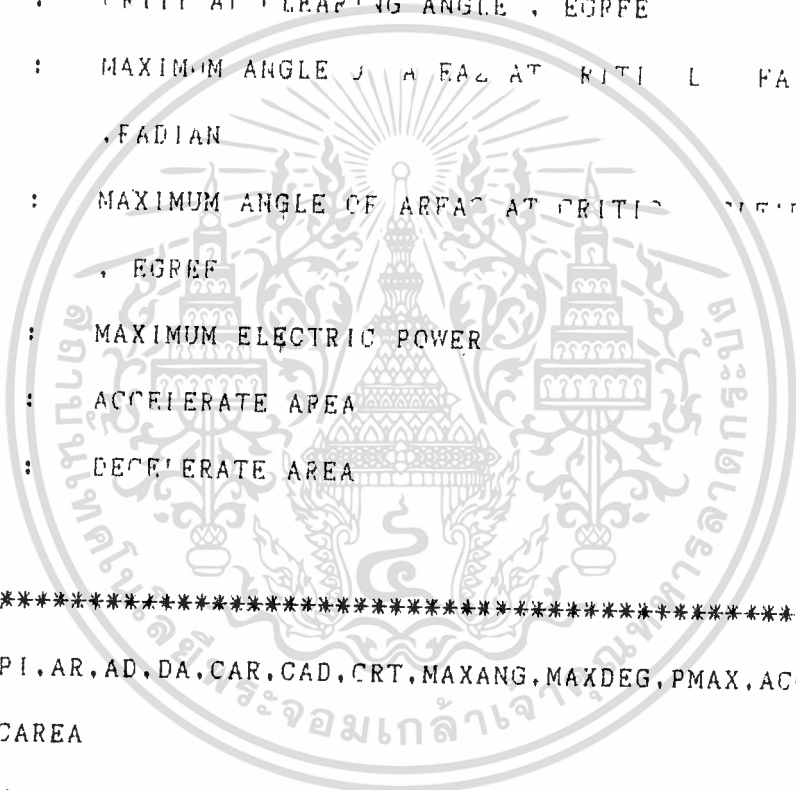
- C 1. DID THE CRITICAL CLEARING TIME FROM STABILITY PROGRAM C
C EQUAL TO FROM EQUAL AREA CRITERION PROGRAM C
- C 2. ACCELERATE AREA = DECELERATE AREA ? C
- C 3. ETC. C

C REMARK C

C -CRITICAL CLEARING TIME FROM STABILITY PROGRAM FOUND FROM - C
C THE TRIAL AND ERROR METHOD. C

C -CRITICAL CLARING TIME FROM EQUAL AREA CRITERION PROGRAM - C
C FOUND FROM USING EQUAL AREA CRITERION. C

C -MECHANICAL POWER = 1.0 P.U. (CONSTANT) C



```
C DECLARE VARIABLE C
C H : INERTIA CONSTANT (P.U.) C
C PI : PI VALUE C
C AR : MACHINE OPERATING ANGLE (POWER ANGLE) ,RADIAN C
C AD : MACHINE OPERATING ANGLE (POWER ANGLE) ,DEGREE C
C DA : DUMMY VARIABLE C
C CAR : CRITICAL CLEARING ANGLE ,RADIAN C
C CAD : CRITICAL CLEARING ANGLE , DEGREE C
MAXANG : MAXIMUM ANGLE OF AREA AT CRITICAL CLEARING ANGLE ,
RADIAN C
MAXDEG : MAXIMUM ANGLE OF AREA AT CRITICAL CLEARING ANGLE ,
DEGREE C
C FMAX : MAXIMUM ELECTRIC POWER C
ACAREA : ACCELERATE AREA C
DECAREA : DECELERATE AREA C
C*****C
REAL H,PI,AR,AD,DA,CAR,CAD,CRT,MAXANG,MAXDEG,PMAX,ACCAREA,
* DECAREA
DIMENSION H(20),AR(20),AD(20),DA(20),CAR(20),CAD(20),CRT(20),
* MAXANG(20),MAXDEG(20),FMAX(20),ACCAREA(20),DECAREA(20)
C*****READ DATA FROM USER TO STORE IN FILE 'CRIDATA'*****C
C INPUT DATA FORMAT VARIABLE C
C 1. NUMBER OF GENERATORS. I3 NG C
C 2. INERTIA CONSTANT (PER UNIT SYSTEM BASE MVA). F7.3 H(1) C
C 3 OPERATING ANGLE (RADIAN) F8.5 AR(1) C
C*****C
```

เอกสารนี้เป็นเอกสารที่สงวนไว้สำหรับการใช้งานเพื่อการศึกษาเท่านั้น ไม่อนุญาตให้นำไปใช้ประโยชน์ด้านการค้า
ไม่ว่ากรณีใดๆทั้งสิ้น อีกทั้งห้ามมิให้ดัดแปลงเนื้อหา และต้องอ้างอิงถึงเจ้าของเอกสารทุกครั้งที่มีการนำไปใช้

```

OPEN(5,FILE='A:CRIDATA')
WRITE(*,500)
FORMAT(5X,'PLEASE ENTER INPUT DATA FOLLOW THE COMPUTER ASK YOU')
C*****READ NUMBER OF GENERATORS FROM USER*****C
WRITE(*,210)
210 FORMAT(5X,'NUMBER OF GENERATORS          :          FORMAT          ')
READ(*,220) NG
WRITE(5,220) NG
220 FORMAT(I3)
C*****READ INERTIA CONSTANT AND OPERATING ANGLE FROM USER*****C
DO 400 I = 1,NG
WRITE *,230) I
230 FORMAT(5X,'MACHINE NUMBER ',I3)
WRITE(*,240) I
400 FORMAT(5X,'INERTIA CONSTANT (P.U.)          :          FORMAT(F7.3)          ')
READ(*,250) H(I)
WRITE(5,250) H(I)
270 FORMAT(F7.3)
WRITE(*,280) I
280 FORMAT(5X,'OPERATING ANGLE (RADIAN)          :          FORMAT(F8.5)          ')
READ(*,290) AR(I)
WRITE(5,290) AR(I)
290 FORMAT(F8.5)
400 CONTINUE
CLOSE(5)
OPEN(5,FILE='A:CRIDATA')
PI = 3.141592654

```

เอกสารนี้เป็นเอกสารที่สงวนไว้สำหรับการใช้งานเพื่อการศึกษาเท่านั้น ไม่อนุญาตให้นำไปใช้ประโยชน์ด้านการค้า
ไม่ว่ากรณีใดๆทั้งสิ้น อีกทั้งห้ามมิให้ตัดแปลงเนื้อหา และต้องอ้างอิงถึงเจ้าของเอกสารทุกครั้งที่มีการนำไปใช้

C*****READ INPUT DATA FROM FILE 'CRIDATA'*****C

READ(5,10) NG

10 FORMAT(I3)

DO 100 I = 1,NG

READ(5,20) H(I),AR(I)

20 FORMAT(F7.1,F8.5)

100 CONTINUE

*****CALCULATE THE OUTPUT VALUES FOR EACH MACHINE *****C

DO 200 I = 1,NG

AD(I) = 180*AR(I)/PI

DA(I) = ((PI-2*AR(I))*SIN(AR(I))-COS(AR(I)))

CAR(I) = ACOS(DA(I))

CAD(I) = 180*CAR(I)/PI

CR(I) = SQRT(4*H(I)*(CAR(I)-AR(I))/314.16)

ACCAREA(I) = 1.0*(CAR(I)-AR(I))

MAXANG(I) = PI-AR(I)

MAXDEG(I) = 180*MAXANG(I)/PI

PMAX(I) = 1.0/SIN(AR(I))

DECAREA(I) = PMAX(I)*(COS(CAR(I))-COS(MAXANG(I)))

* 1.0*(MAXANG(I)-CAR(I))

C*****WRITE OUTPUT DATA*****C

WRITE(*,30) I,H(I),AR(I),AD(I),CAR(I),CAD(I),CR(I),PMAX(I),

* MAXANG(I),MAXDEG(I),ACCAREA(I),DECAREA(I)

30 FORMAT(/10X,' MACHINE NUMBER ',I3,

* /15X,' INERTIA CONSTANT',F10.5,' P.U. ',

* /15X,' OPERATING ANGLE (RADIAN)',F10.5,

* /15X,' OPERATING ANGLE (DEGREE)',F10.5,

เอกสารนี้เป็นเอกสารที่สงวนไว้สำหรับการใช้งานเพื่อการศึกษาเท่านั้น ไม่นิยมนำไปใช้ประโยชน์ด้านการค้า

ไม่ว่ากรณีใดๆทั้งสิ้น อีกทั้งห้ามมิให้ตัดแปลงเนื้อหา และต้องอ้างอิงถึงเจ้าของเอกสารทุกครั้งที่มีการนำไปใช้

* /15X,' CRITICAL CLEARING ANGLE (RADIAN) ',F10.5,
 * /15X,' CRITICAL CLEARING ANGLE (DEGREE) ',F10.5,
 * /15X,' CRITICAL CLEARING TIME ',F10.5,' SEC ',
 * /15X,' MAXIMUM ELECTRIC POWER ',F10.5,' F.U. ',
 * /15X,' MAXIMUM ANGLE OF AREA1 (RADIAN) ',F10.5,
 * /15X,' MAXIMUM ANGLE OF AREA2 (DEGREE) ',F10.5,
 * /15X,' ACCELERATE AREA (AREA1) ',F10.5,
 * 5X,' DECELERATE AREA (AREA2) ',F10.5

200 CONTINUE

STOP

END



เอกสารนี้เป็นเอกสารที่สงวนไว้สำหรับการใช้งานเพื่อการศึกษาเท่านั้น ไม่อนุญาตให้นำไปใช้ประโยชน์ด้านการค้า
 ไม่ว่ากรณีใดๆทั้งสิ้น อีกทั้งห้ามมิให้ดัดแปลงเนื้อหา และต้องอ้างอิงถึงเจ้าของเอกสารทุกครั้งที่มีการนำไปใช้

REFERENCE

1. G.W.Stagg and El-Abaid ; " Computer Method in Power System Analysis " . Newyork , Mc.Graw-Hill . 1968.
2. Stevenson W.D.,Jr. ; " Elements of Power System Analysis " , 4th ed. , Newyork , Mc.Graw-hill ,1955.
3. Kimbark ; " Power System Stability vol 1.3 " . John Wiley end-Sons ,edition 1972.
4. Olle.I.Elgard ; " Electric Energy System Theory " , Mc Graw-Hill reprinted 1981.
5. Sarma, " Synchronous Machines " , Gordon and Breach, Science-Publishers,Inc,1979.
6. B.M.Weedy, " Electric Power Systems " , john Wiley and Sons, edition 1972.

กิจกรรมประกาศ

กลุ่มผู้จัดทำ

ขอขอบพระคุณ ท่านอาจารย์ สมโภชน์ ประไพ ที่ให้คำปรึกษา
แนะนำ แก้ไขปัญหา จนกระทั่ง วิทยานิพนธ์นี้สำเร็จลงด้วยดี.

ขอขอบพระคุณ ท่านอาจารย์ มณฑล สิลลาจินดาไกรเลิศ ที่ให้คำปรึกษา
แนะนำ แก้ไขปัญหา จนกระทั่ง วิทยานิพนธ์นี้สำเร็จลงด้วยดี.

ขอขอบคุณ คุณ มาณะชัย เหลืองจากรุธร รุ่นพี่ ภาควิชาไฟฟ้า รุ่น 26.
ที่คอยให้คำปรึกษา แนะนำ แก้ไขปัญหา ช่วยเหลือ ให้กำลังใจ จนกระทั่ง
วิทยานิพนธ์นี้สำเร็จลงด้วยดี.

ขอขอบคุณ พี่น้อง ห้อง K ภาควิชาไฟฟ้า และ ภาควิชาอื่น ๆ ที่คอยให้กำลังใจ
คำปรึกษา คำปลอบใจ สนุกสนานร่วมกัน จนผู้จัดทำรู้สึกผ่อนคลายจากความเครียด
จากการทำวิทยานิพนธ์นี้.

LINKNET-A STRUCTURE FOR COMPUTER REPRESENTATION OF NETWORK

สมโภชน์ ประไพ B.E.ng

ชำนาญ ฎิประญญาวิช M.E. (CANT)

ภาควิชาวิศวกรรมไฟฟ้า สถาบันเทคโนโลยีพระจอมเกล้า วิทยาเขตเจ้าคุณทหาร

ลาดกระบัง

บทคัดย่อ

การพัฒนา NETWORK เพื่อใช้ในการป้อนข้อมูลให้กับ COMPUTER สามารถพัฒนาได้ ๓ ลักษณะ คือ MODE, BRANCH & TOPOLOGICAL PROPERTIES แต่การพัฒนาจะเน้นหนักไปทางด้าน NETWORK TOPOLOGY เพื่อช่วยในการลด COMPUTER MEMORY และสะดวกต่อการวิเคราะห์ NETWORK เมื่อมีการเปลี่ยนแปลงรูปร่างของ NETWORK ขึ้น คุณสมบัติของ NETWORK TOPOLOGY ได้ถูกนำมาใช้ในการ FORM LINKNET STRUCTURE เพื่อสะดวกในการป้อนข้อมูลของระบบไฟฟ้ากำลัง

Abstract

In the development of any algorithm which deals with a network, the programmer must decide on how the network information should be store in computer memory. The decision is particularly important for the analysis of the large sparse networks which occur in power system studies. Often, it will largely determine the computer memory requirements and it may also significantly affect the processing efficiency of the algorithm. Node, branch and topological properties are used in development, but a wide variety of network used topological linknet structure development.

(๑) บทนำ

ในระบบไฟฟ้ากำลังขนาดใหญ่ๆ ก็จะมีจำนวนข้อมูลของระบบเป็นจำนวนมาก การนำข้อมูลเหล่านี้เข้าไปเก็บในหน่วยความจำของคอมพิวเตอร์ จะเปลืองจำนวนหน่วยความจำ ในอดีตที่ผ่านมาการนำข้อมูลเข้าไปในระบบหน่วยความจำเราจะใช้ Node admittance matrix โดยยอนเข้าไปในลักษณะของ Double entry line table ต่อมาได้มีการพัฒนา network เสียใหม่โดยใช้คุณสมบัติ Network Topology ช่วยในการจัดรูป Network data และลด storage ของ computer memory ลง

(๒) Linknet Structure

จากคุณสมบัติของ Network topology สามารถกำหนด number ของ branch end (Branch End Number) และค่านวณ number ของ branch จะเห็นว่า

$$\text{Branch End Number} = f(\text{Branch Number}) \quad (1)$$

และ
$$\text{Branch End Number} = g(\text{Branch Number}) \quad (2)$$

∴ จากความสัมพันธ์ของ (๑) และ (๒) จะได้ว่า

$$\text{END} = 2 * \text{Branch} - 1 \quad (3)$$

และ
$$\text{END} = 2 * \text{Branch} \quad (4)$$

เมื่อ
$$\text{END} = \text{Branch end number}$$

$$\text{Branch} = \text{Branch Number}$$

จากสมการ (๓) สามารถจัดรูปสมการใหม่ได้ว่า

$$\begin{aligned} \text{Branch} &= h(\text{END}) \\ &= (\text{END}+1)/2 \end{aligned} \quad (5)$$

Specified number on Network

List (Node) = The first branch end on the list from node.

Next(End) = The next branch end on the list after end.

Far(End) The node at the far or opposite end of the branch

(๓) Step for computer process

Step 1. for branches connected to any node

Initialize end = List (mode)

Then set branch = h(end)

and end = Next(end) until Next(end)=0

Step 2 for nodes connected to any given node

Initialize end = List(node A)

Then set node B = Far (end)

And end = Next(end) until next(end)=0

Step 3 Required to obtain the nodes at the end of 'A' given branch

End A = f(branch)

End B = g(branch)

Node A = Far(end B)

Node B = Far(end B)

เอกสารนี้เป็นเอกสารที่สงวนไว้สำหรับการใช้งานเพื่อการศึกษาเท่านั้น ไม่อนุญาตให้นำไปใช้ประโยชน์ด้านการค้า

ไม่ว่ากรณีใดๆทั้งสิ้น อีกทั้งห้ามมิให้ดัดแปลงเนื้อหา และต้องอ้างอิงถึงเจ้าของเอกสารทุกครั้งที่มีการนำไปใช้

EXAMPLE

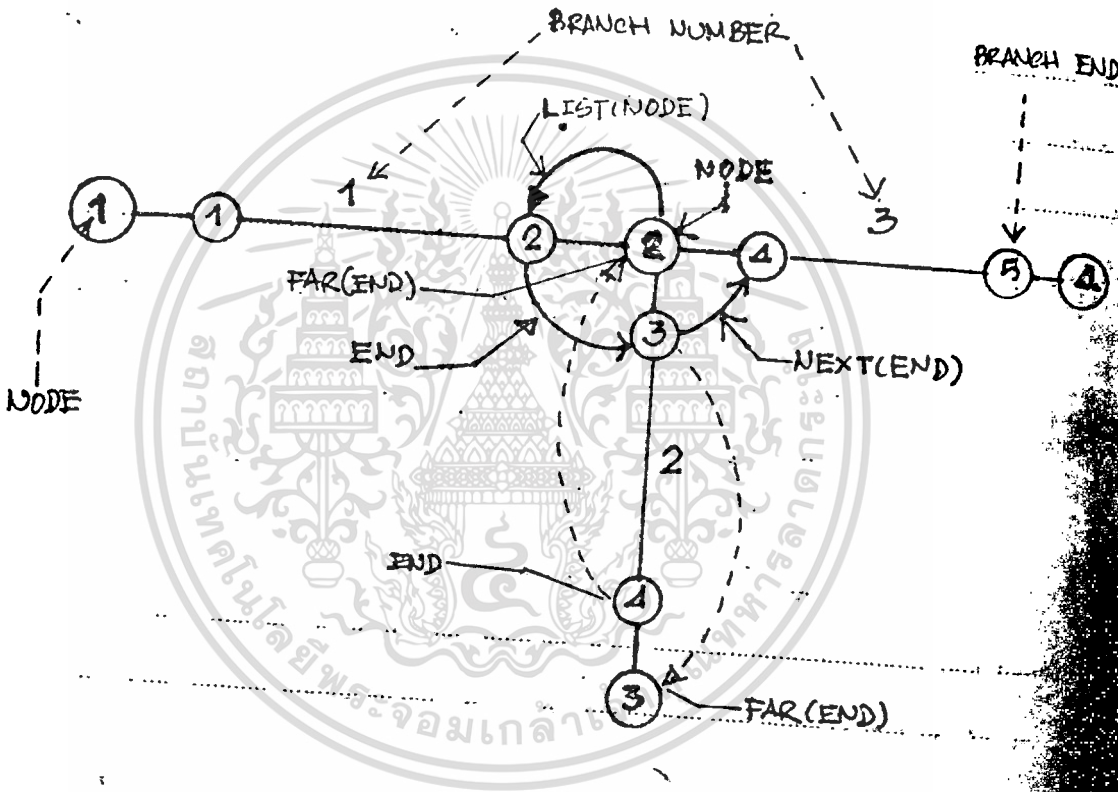
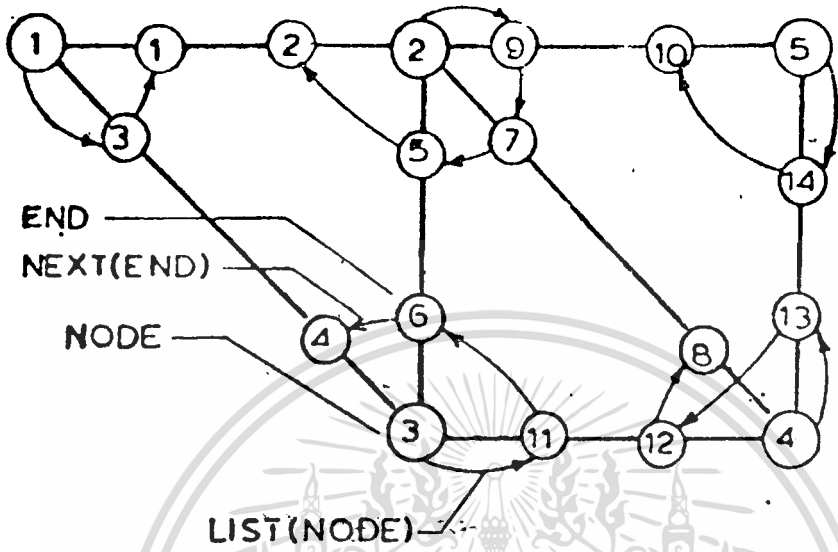
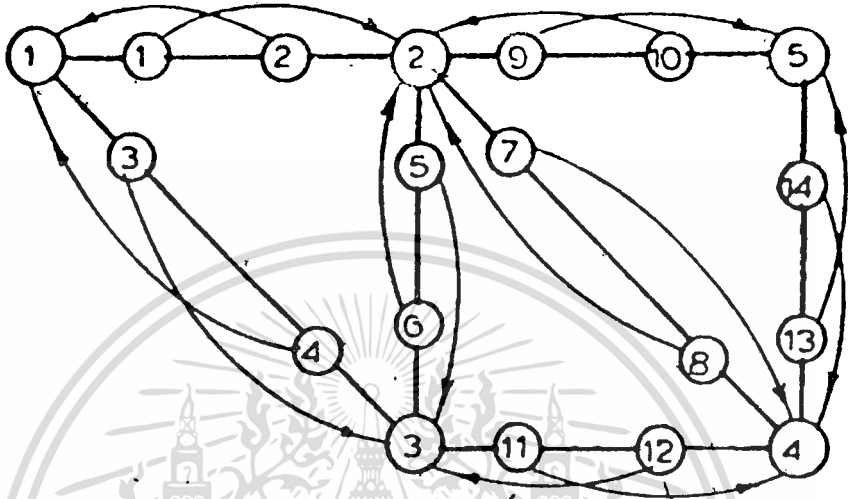


Figure 1 Show Simple Network, and Link-List NO.



NODE	LIST (NODE)	END	NEXT (END)
1	3	1	0
2	9	2	0
3	11	3	1
4	13, 14	4	0
5		5	2
		6	4
		7	5
		8	0
		9	7
		10	0
		11	6
		12	8
		13	12
		14	10

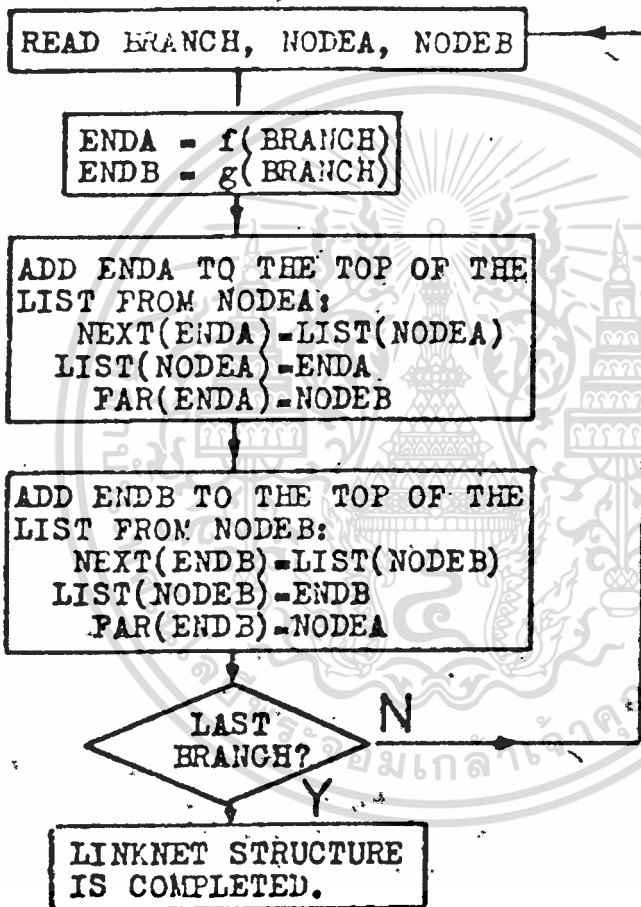
arrows indicate the linked-list of branch ends connected to node 2



FAR(END) END

END	FAR (END)
1	2
2	1
3	3
4	1
5	3
6	2
7	4
8	2
9	5
10	2
11	4
12	3
13	5
14	4

เอกสารนี้เป็นเอกสารที่สงวนไว้สำหรับการใช้งานเพื่อการศึกษาเท่านั้น ไม่อนุญาตให้นำไปใช้ประโยชน์ด้าน
 ไม่ว่ากรณีใดๆทั้งสิ้น อีกทั้งห้ามมิให้ดัดแปลงเนื้อหา และต้องอ้างอิงถึงเจ้าของเอกสารทุกครั้งที่มีการนำไป

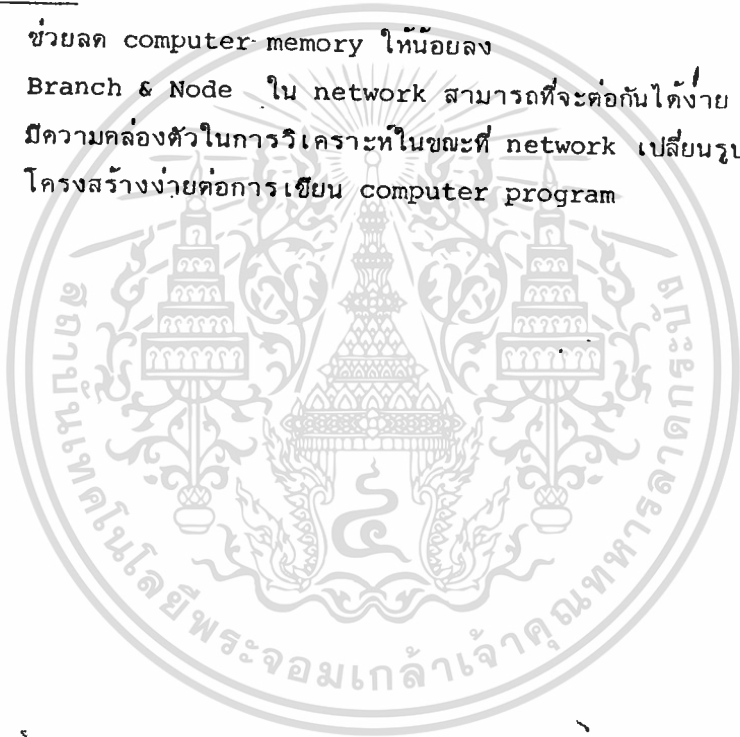


(๔) CONCLUSIONS

Linknet structure ได้พัฒนาขึ้นมาเพื่อช่วยในกระบวนการ form network data ให้ computer จากลักษณะของ Linknet structure สามารถใช้ได้กับ network ได้ทุกรูปแบบ นอกจากนี้ยังสามารถใช้ในการวิเคราะห์ fault calculation เมื่อ network มีการเปลี่ยนแปลง เมื่อเกิด fault ขึ้น

ประโยชน์

๑. ช่วยลด computer-memory ให้น้อยลง
๒. Branch & Node ใน network สามารถที่จะต่อกันได้ง่าย
๓. มีความคล่องตัวในการวิเคราะห์ในขณะที่ network เปลี่ยนรูปแบบ
๔. โครงสร้างง่ายต่อการเขียน computer program



การวิเคราะห์ความผิดปกติในระบบไฟฟ้ากำลัง โดยวิธีแยกส่วน Y-Bus
Power System Fault Analysis by Piecewise Y-Bus Method.

ไพโรจน์ ศาสวัตถกุล*

คณะวิศวกรรมศาสตร์

สมโภชน์ ประไพ**

สถาบันเทคโนโลยี พระจอมเกล้า

วิทยาเขต เจ้าคุณทหาร ลาดกระบัง

บทคัดย่อ

บทความนี้ได้แสดงถึงวิธีการในการวิเคราะห์ความผิดปกติในระบบไฟฟ้ากำลังที่เกิดขึ้น โดยแบ่งการวิเคราะห์เป็นสองช่วง คือ การวิเคราะห์สภาวะปกติในระบบโดยวิธี Primary-Secondary - Adjustment Load-flow และการศึกษาความผิดปกติ (fault) ที่ตามมาโดยวิธี Piecewise Y-Bus Method โดยการคำนวณจะกระทำบนแกนของ phase coordination แตกต่างกับวิธีการเดิมที่ใช้ Symmetrical coordination ผลที่ได้จะแสดงค่าของกระแสและศักดา ณ ตำแหน่งที่เกิดความผิดปกติเป็นค่าของ Symmetrical value ค่าที่ได้จะช่วยให้เราทราบถึงความรุนแรง และพฤติกรรมของความผิดปกติชนิดต่างๆ ในระบบ เพื่อเป็นค่าเริ่มต้นในการพิจารณาตัดสินใจหาทางป้องกันระบบไฟฟ้ากำลังจากความเสียหายนั้นๆ

Abstract

This paper describes the method for handling general kind of fault that occurs in power system network. The methods are composed of, firstly studying of normal load-flow solution of system by Primary-Secondary adjustment and secondly we perform Piecewise Y-Bus method to calculate the fault-solution consequently. Basically use of phase-coordination at fault nodes is to be developed here, and fault current with fault voltage are shown on the symmetrical axis. The effective computer treatment can help us to make decision on protection system from unexpected event.

* นักศึกษา

** อาจารย์

1. บทนำ

ในการศึกษาระบบไฟฟ้ากำลังนั้น ที่น่าสนใจจุดหนึ่ง คือ วิธีการที่จะทำนายความ
 เป็นไปของระบบเมื่อมีสถานะผิดปกติเกิดขึ้น การนำคอมพิวเตอร์เข้ามาเลียนแบบและวิเคราะห์หาค่า-
 กระแสและศักดาไฟฟ้าที่จุดต่างๆในระบบอันเกิดจากความผิดปกติ (fault) เป็นจุดสนใจที่จะกล่าวถึงใน
 บทความนี้ โดยที่ความต้องการในอันที่จะแสดงค่าความผิดปกติครอบคลุม fault ชนิดต่างๆให้ได้ทุก-
 ลักษณะ (โดยเฉพาะปัญหาความยุ่งยากของ Unbalance Fault conditions) วิธีการคำนวณวิ-
 เคราะห์ที่ใช้ค่าของระบบเปลี่ยนแปลงบนแกนเฟส (Phase coordinate) ณ จุดที่เกิด fault เป็นหลัก-
 เพื่อให้สอดคล้องความสัมพันธ์ทาง network ของระบบ และสอดคล้องกับลักษณะโปรแกรมที่ต้องการ-
 ความถูกต้องและรวดเร็ว เรียกว่าลักษณะ " Piecewise Y-Bus Method "

เริ่มแรกเราศึกษาระบบไฟฟ้ากำลังในสถานะปกติขึ้นมาก่อน - โดยการใช้ Primary -
 Secondary Adjusment load-flow (appendix I) (ลักษณะของ Proposed Method) ทำการ -
 คำนวณ voltage และ power ที่ bus ต่างๆ ขณะเดียวกันจะใช้พื้นที่ตัวแปรจำนวนหนึ่งเก็บความ
 สัมพันธ์ของ network ในระบบไว้ เนื่องจากกรณีวิเคราะห์ใช้สมการพื้นฐานของ Y-Bus matrix
 เป็นองค์ประกอบ การเก็บข้อมูลของ network จึงช่วยให้เราสามารถใช้คุณสมบัติ sparsity
 ของ network ได้เต็มที่ (2) โดยเฉพาะกับการหาค่า equivalent admittance ของจุดที่ fault
 ในระบบ เป็นวิธี Triangulation-Reduction ของ Y-Bus matrix ใน positive, negati-
 ve และ zero sequence ซึ่งจะกล่าวต่อไป

จุดสำคัญที่จะใช้เป็นวิธีการหาค่าคำตอบของ fault คือ การรวบรวม equivalent
 admittance ทั้ง 3 sequences นำมาเปลี่ยนเป็นค่าบนแกนเฟส (phase basis) โดยใช้ sequence
 to-phase transformation ผลอันนี้จะนำมาประกอบกับข้อมูล fault แต่ละแบบเพื่อคำนวณ-
 หาค่ากระแสและศักดาไฟฟ้าออกมาตามลำดับ แต่ขั้นตอนในการคำนวณดังกล่าวนี้ ได้ใช้คุณสมบัติ-
 ตัวไปของ network ของระบบไฟฟ้ากำลังช่วยในกรณีลดความยุ่งยากในกรณีคำนวณสมการต่างๆไปด้วย
 (เช่น การพิจารณาใช้ R/X ratio ของ transmission data) โดยไม่ทำให้ค่าที่ได้ผิดพลาดไป -
 มากนัก

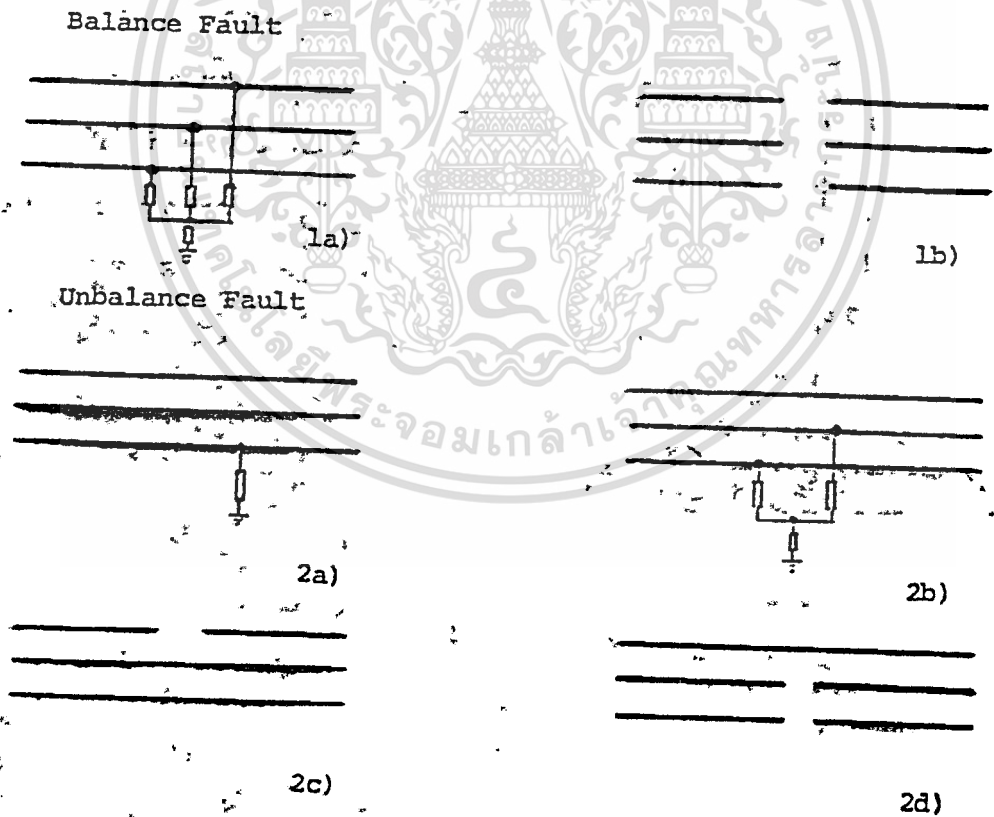
2. Symmetrical Method and Fault Analysis

ในระบบไฟฟ้ากำลัง ลักษณะของ fault สามารถแบ่งเป็น 2 พวกใหญ่ คือ

a) การศึกษา Balance Fault

b) การเกิด Unbalance Fault

โดยที่ unbalance fault นั้นมีผลกระทบต่อ การเปลี่ยนแปลง phase-sequence components ในระบบไฟฟ้ากำลัง ซึ่งทำให้เมื่อพิจารณา ระบบ 3 phase system นั้น การเกิด unbalance fault แบบต่างๆ (รูปที่ 1) จะทำให้มีการ connection sequence network - ในหลายๆรูปแบบไม่ว่าจะเป็นกรณี short circuit phase หรือ phase line open ที่จุดใดใน network การ connection ของ sequence network นี้ประหลาดตัวตาม constrain ของ เงื่อนไข fault แต่ละแบบ และเราสามารถวิเคราะห์โดยหลักการ "Generalized Fault Diagram" (2,6) ซึ่งใช้ Ideal Phase-shifting transformer เป็นองค์ประกอบสำคัญ (รูปที่ 2)

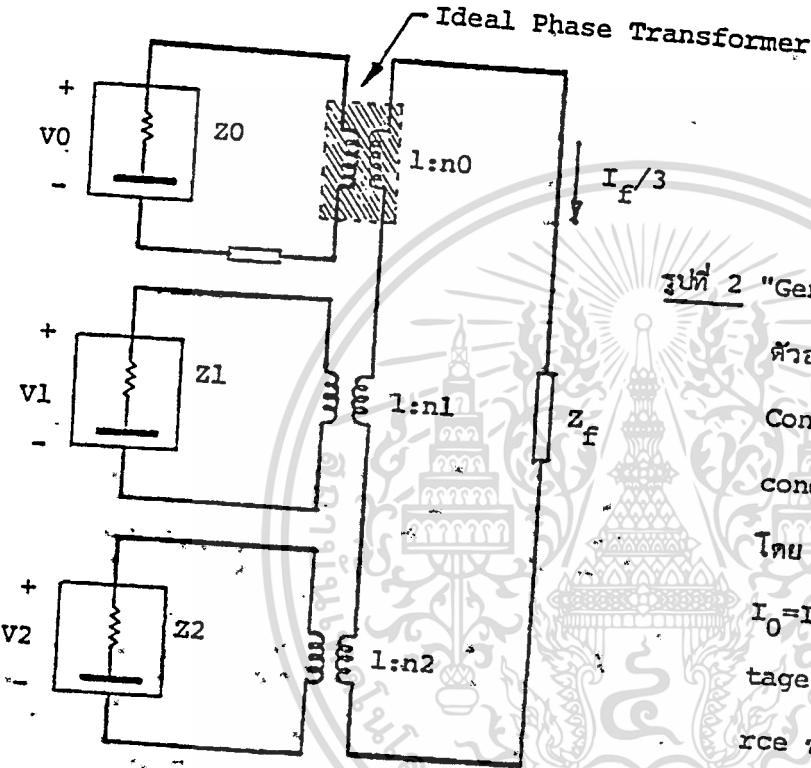


รูปที่ 1 แสดงลักษณะการ fault ประเภทต่างๆ



012

(Equivalent Network Diagram)



รูปที่ 2 "Generalized Fault Diagram"

ตัวอย่างการเกิด SLG-Fault.

Connection ของ sequence หลัง secondary ของ transformer เป็นไป - โดย constrain จาก fault, ในกรณี

$I_0 = I_1 = I_2$; และ before fault voltage $E_f = -E_1$, $E_0 = E_2 = 0$ (ไม่มี source ของ 2 sequences นี้)

SLG - Fault Condition (sample)

การวิเคราะห์ค่ากระแสและศักดาไฟฟ้าที่เกิดขึ้นกับแต่ละ sequence จะกระทำโดย การ superposition pre-fault voltage source กับจุดที่ fault ใน network และพิจารณางานของ fault ในการ interconnection ระหว่าง sequence network ซึ่งค่า sequence network admittance หรือ impedance จะเป็นค่า equivalent value ที่ได้จาก Kron's reduction theory กับ network เป็นค่าที่มองจาก fault node วิธีการ - Triangulation-reduction เป็นเรื่องสำคัญในการเข้าสู่วิธีการหา solutions ที่จะกล่าวถึง - การนำ Y-Bus matrix เข้ามาศึกษา

3. การพัฒนาวิธี Triangulation-Reduction.

การใช้ Y-Bus matrix ในการ triangulation-reduction คือการอาศัย - Norton's equivalent scheme ในการพิจารณาค่ามันเอง โดยที่ Y-Bus matrix เป็น ลักษณะ sparse matrix ดังนั้นการ improve วิธี triangulate จึงสามารถกระทำได้โดย การ ordering step ความคู่ไปกับลักษณะของ network ในสภาพจริง อธิบายได้ คือ

(1,2)

ผลการ triangulation matrix

$$[Y] = \begin{bmatrix} Y_{pp} & Y_{pq} & Y_{pk} \\ \dots & \dots & \dots \\ Y_{qp} & Y_{qq} & Y_{qk} \\ \dots & \dots & \dots \\ Y_{kp} & Y_{kq} & Y_{kk} \end{bmatrix}$$

p - node subscript of eliminated node

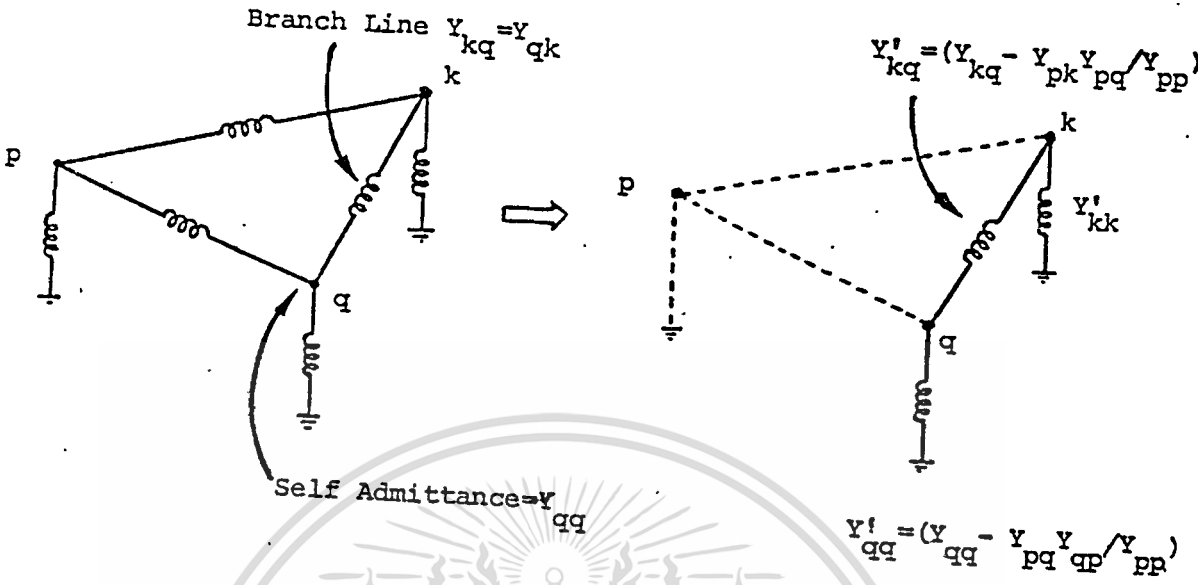
a) ผลคือ self admittance ของ node q จะทำให้มีค่า Y_{qq} เปลี่ยนเป็นค่า Y'_{qq}

โดยที่

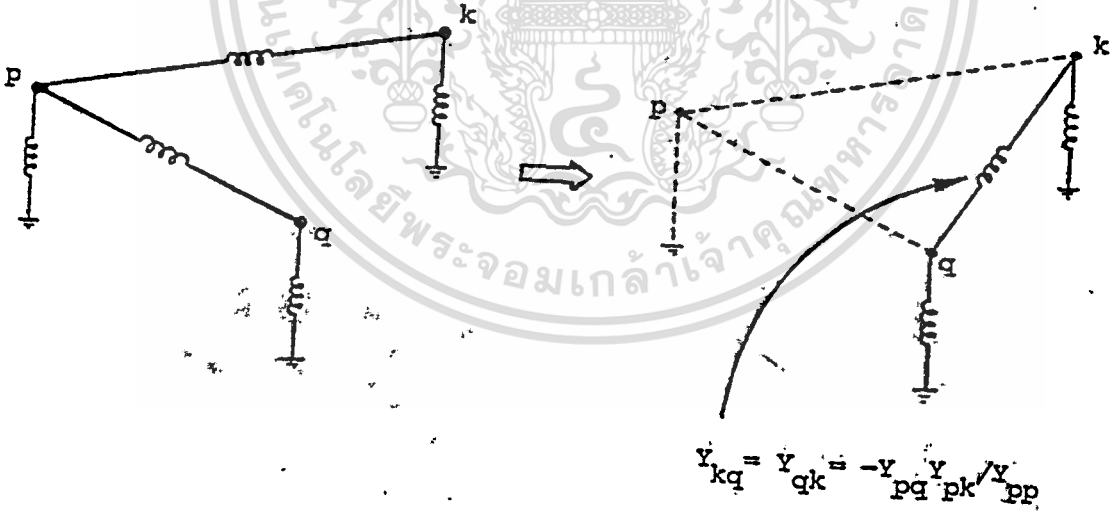
$$Y'_{qq} = (Y_{qq} - Y_{pq} \cdot Y_{qp} / Y_{pp}) \tag{1}$$

b) ผลคือ mutual admittance ระหว่าง node q และ node k เมื่อ $y_{qk} = y_{kq} \neq 0$

จะทำให้ mutual y_{qk} เปลี่ยนแปลงไปเป็น $y'_{qk} = y_{kq}$ ซึ่ง



รูปที่ 3a) Change of network after reduction, $Y_{kq} = Y_{qk} \neq 0$



รูปที่ 3b) Change when $Y_{qk} = Y_{kq} = 0$

รูปที่ 3: Network changed by reduction of p-node.

$$y'_{kq} = y'_{qk} = (y_{qk} - y_{pk}y_{pq}/y_{pp}) \quad (2)$$

c) ในกรณีที่ q และ k ไม่มี mutual value ($y_{qk} = y_{kq} = 0$) ผลของการ reduction node p จะก่อให้เกิดค่า y'_{qk} ขึ้น

$$y'_{qk} = -(y_{pk}y_{pq}/y_{pp}) \quad (3)$$

เนื่องจากในระบบไฟฟ้ากำลังนั้น element ที่เป็น mutual ของ Y-Bus matrix คือค่า branch admittance ของ line ระหว่าง buses เราจึงสามารถเปรียบเทียบผลของการ reduction เป็นการ chang ตัวของ network ในแต่ละ step ดังรูปที่ 3

ดังนั้นการ ordering triangulation โดยวิธีการ reduce node ที่มี branch ค่อยน้อยที่สุดใน network จะช่วยในการใช้คุณสมบัติ sparse matrix operation ที่กล่าวไว้ และการเลือก node จะกระทำทุกครั้งเมื่อ network เปลี่ยนไปจากรูปเดิมเป็นหลัก

4. Piecewise Phase-Coordination

การคำนวณ fault current และ voltage ที่ใช้ กระทำโดยการ partition-connection ระหว่าง subnetwork ของ fault impedance และ subnetwork ของ equivalent balance network. Phase-admittance equivalent ของ balance subnetwork จะได้โดยการใช้ symmetrical transformation matrix $[T]$ กับ $[y_{012}]$ matrix จากการ reduction เพื่อกลับเข้าสู่ phase-coordinate reference โดย

$$[y_{ph}] = \text{phase admittance} = T[y_{012}]T^* \quad (4)$$

T^* - conjugate matrix ของ T (symmetrical transformation)

ลักษณะ subnetwork partition-connection จะเป็นรูปที่ 4

การพิจารณา connection จะกระทำโดยการใช้ constrain matrix method ซึ่งได้จากการ inspection ลักษณะของ fault boundary condition (เมื่อเราให้ u เป็น upper subscript สำหรับ unbalance) การพิจารณาความสัมพันธ์ของกระแสและศักดาไฟฟ้าของ primitive circuit แสดงได้ คือ

$$A [e_{ph}^u] = A [e_{abc}^u] = A [Z_{abc}^u] [I_{abc}^u] \quad (5)$$

A - Connection Constrain matrix (ซึ่ง element เป็นค่า 0, 1, -1 ที่ตำแหน่งต่างๆ)

$A [e_{ph}^u]$ - ค่า unbalance phase voltage $[e_{ph}^u]$

และเมื่อพิจารณา constrain matrix A ในลักษณะของ invariant power แล้ว $[I_{abc}^u]$ จะมีค่าเป็น

$$[I_{abc}^u] = A^T [I'_{abc}] \quad (6)$$

(subscript prime for unnormal phase current to find)

จะทำให้เกิด unbalance phase impedance matrix $[Z_{abc}^u] = A [Z_{abc}] A^T$ ซึ่งเราจะสามารถหา unnormal current flow $[I'_{abc}]$ ได้โดย

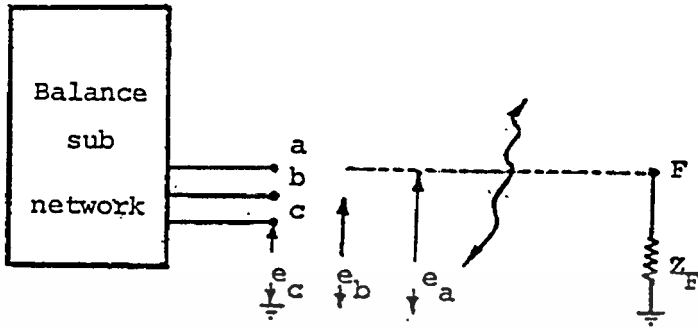
$$[I'_{abc}] = [(Z_{abc}^u) + [Z_F]]^{-1} [e_{abc}^u] \quad (7)$$

: เมื่อ Z_F เป็น fault matrix ที่ form ได้โดยตรงเช่นเดียวกับ A-matrix

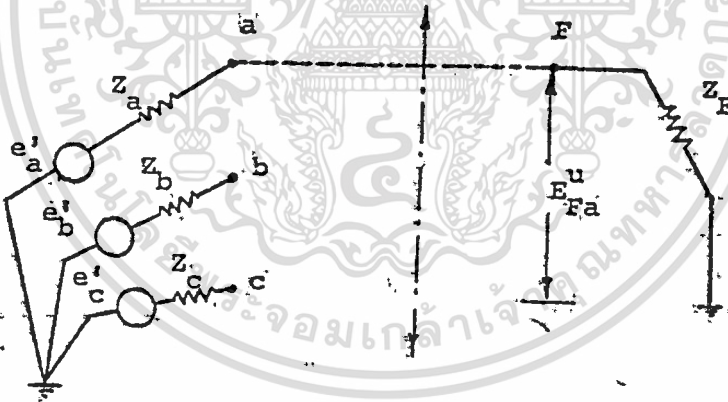
ซึ่งจะสามารถหาค่าตอบสุดท้ายของ phase voltage ที่ bus ที่เกิด fault จาก diagram equivalent cct. ในรูปที่ 4

$$[E_{ph}^u] = [e_{ph}^u] - [Z_{abc}] \cdot [I'_{abc}] \quad (8)$$

ค่าของ E_{ph}^u จะนำมา transform เป็น sequence solution ของ fault



รูปที่ 4a) Ports Connection of Subnetworks, $e_{a,b,c}$, - Prefault Phase Voltage (Example of SLG-fault Condition)



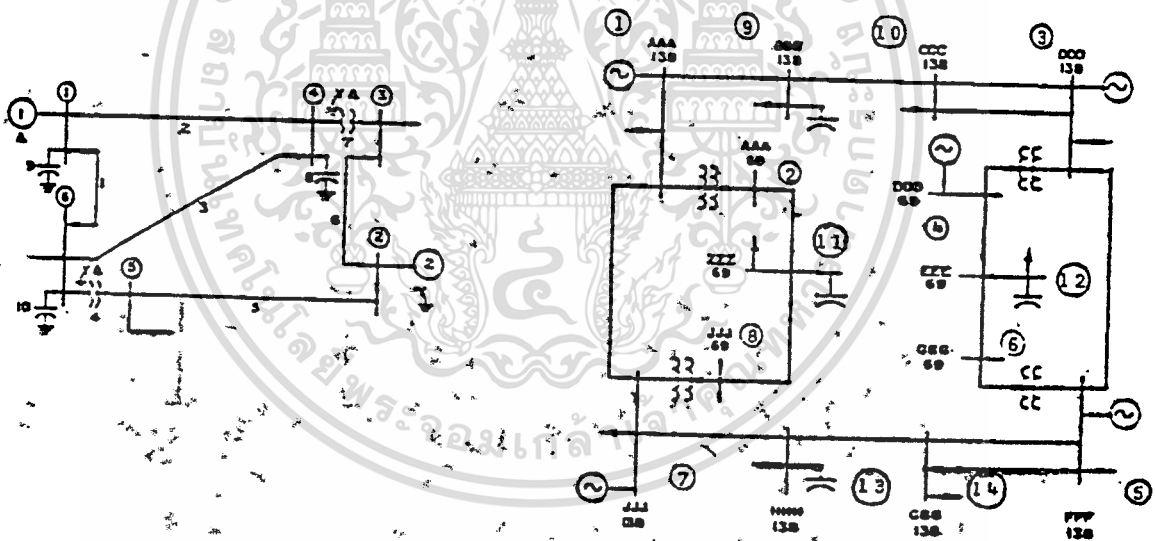
รูปที่ 4b) Equivalent Circuit Viewpoint, $[z_{abc}] = [y_{ph}]$

(subscript u for unbalance node voltage to find)

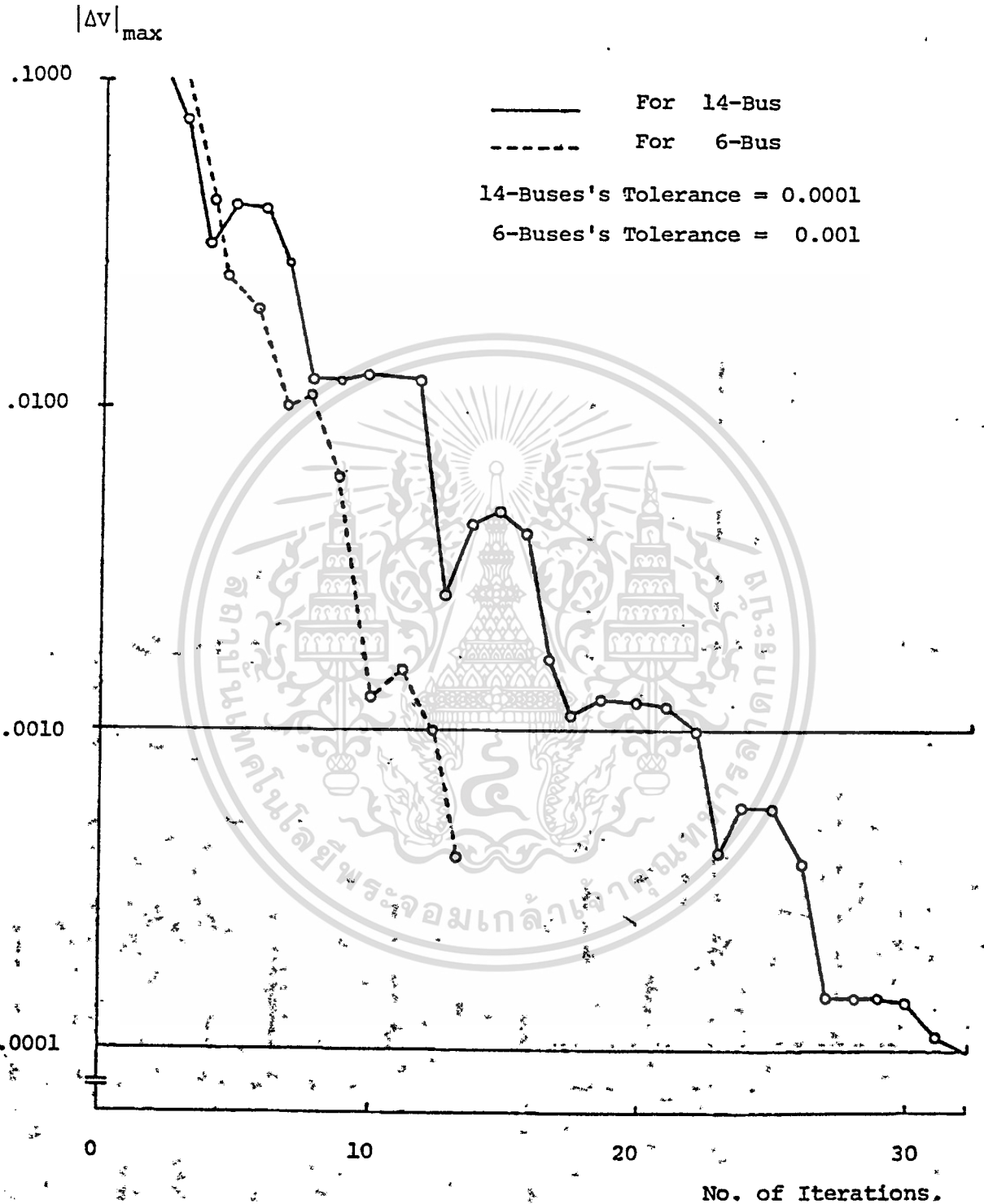
ที่ต้องการ และโดยลักษณะของ constrain matrix เป็นการ operation ที่สามารถแยกบาง ส่วนของ matrix รวมทั้งมี node หัวพันกับชนิดของ fault(piecewise separation) ออกมาใช้ ในการ calculate โดยตรง จึงทำให้เรามีลักษณะวิธีการคำนวณได้ง่ายขึ้นในกรณี fault bus มากกว่า 1 bus ในการเกิด fault แต่ละรูปแบบ แตกต่างจากการใช้ sequence interconnection โดยตรงปกติ

5. Example Case Study

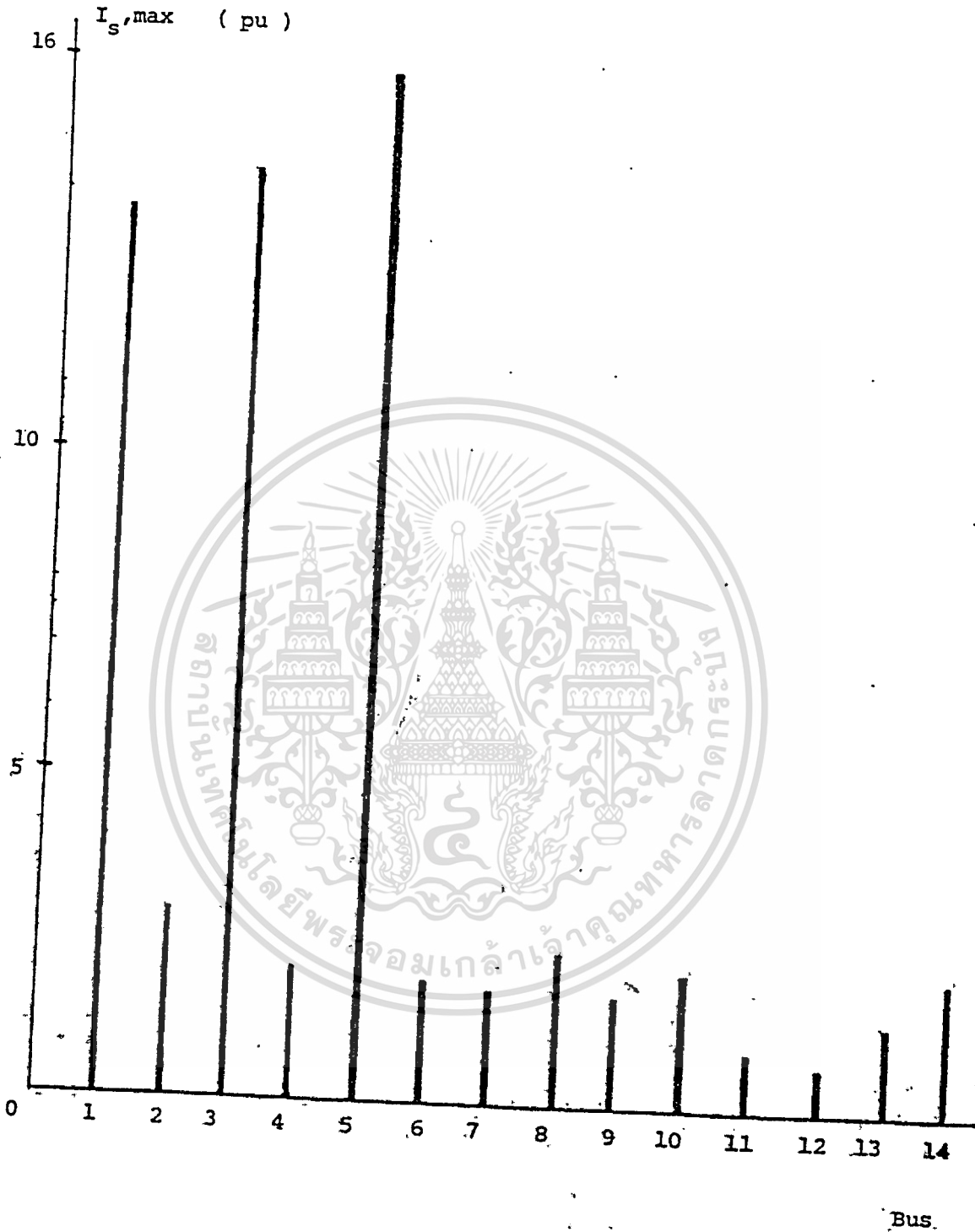
ตัวอย่างที่นำมาประกอบเป็น system ของ Anderson's ซึ่งประกอบด้วยลักษณะ การ fault แบบ unbalance conditions ของsystem 6 และ 14 buses ตามลำดับ โดย ได้แสดงค่าเปรียบเทียบในกรณี fault เหล่าเดียว และกรณีอื่นบางส่วนที่น่าสนใจ



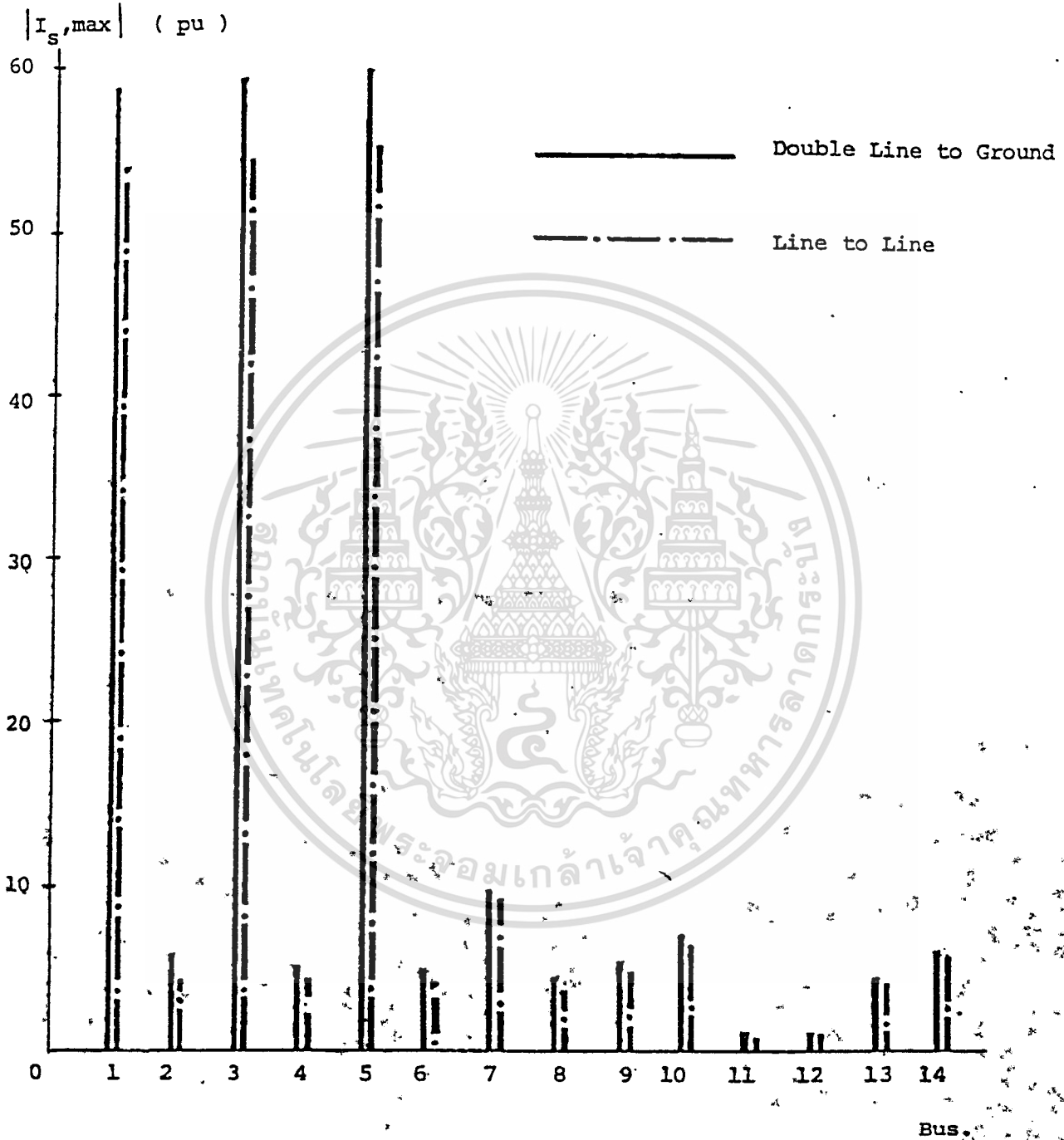
รูปที่ 5 Configure of Sample System 6-14 buses from Anderson's.



รูปที่ 6. Convergence Characteristics of 6 and 14 Buses of Anderson's Sample System. (Primary & Secondary Adjustment Method.)



รูปที่ 7 Comparison Diagram of SLG-Fault in 14-buses System.



รูปที่ 8 Comparison of Maximum Fault Sequence Current (in 14 buses)

Case Study of Double Line to Ground and Line to Line Fault.

เอกสารนี้เป็นเอกสารที่สงวนไว้สำหรับการใช้งานเพื่อการศึกษาเท่านั้น ไม่อนุญาตให้นำไปใช้ประโยชน์ด้านธุรกิจ
ไม่ว่ากรณีใดๆทั้งสิ้น อีกทั้งห้ามมิให้ดัดแปลงเนื้อหา และต้องอ้างอิงถึงเจ้าของเอกสารทุกครั้งที่มีการนำไปใช้

THE MAXIMUM MISMATCH IS 0.000784 ON BUS 2
 THE SLACK BUS GENERATION IS 0.47605 0.21752

SYSTEM TOTAL

LOAD MW	NVAR	GENERATION MW	NVAR	LOSSES MW	NVAR	MISMATCH MW	NVAR	SHUNT MVAR
0.675	0.180	0.726	0.310	0.051	0.131	0.000	-0.001	0.000

THE MAXIMUM MISMATCH IS 0.000326 ON BUS 5
 THE SLACK BUS GENERATION IS 0.62907 1.12176

SYSTEM TOTAL

LOAD MW	NVAR	GENERATION MW	NVAR	LOSSES MW	NVAR	MISMATCH MW	NVAR	SHUNT MVAR
6.500	3.400	6.629	2.770	0.130	-0.072	-0.001	0.000	0.558

Solution : 6 and 14 Buses's System Total of Load-flow Calculation. Respectively.

Solution :

X-----X BUS - DATA
 BUS NAME VOLTS DEGREES AMPS DEGREES

14 Buses's Computer - S FFF 138 0.724 -171.240 15.932 -81.364
 0.872 8.512 15.920 -81.364
 0.148 -171.240 15.929 -81.364

Solution of SLG, DLG,
 and LL Fault at Bus 5.

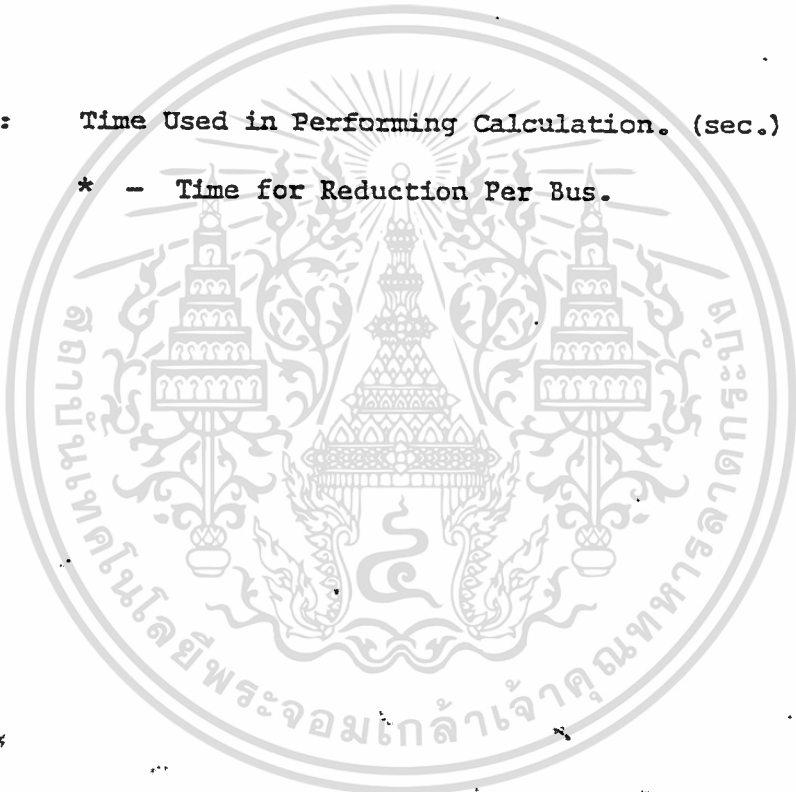
S FFF 138 0.463 8.512 10.130 98.388
 0.463 8.512 60.741 -81.364
 0.463 8.512 29.368 98.388

S FFF 138 0.000 0.000 0.000 0.000
 0.510 8.512 52.952 -81.364
 0.510 8.512 52.958 98.388

System Bus	Time for Load-Flow	Average Time for Reduction *
14	2.407	0.062
6	0.414	0.032

Table : Time Used in Performing Calculation. (sec.)

* - Time for Reduction Per Bus.



6. บทสรุป

การศึกษา fault โดยวิธีพื้นฐาน ของ Piecewise Phase Coordinate ในบทความฉบับนี้นั้น จุดประสงค์สำคัญก็เพื่อที่จะแสดงการคำนวณและวิเคราะห์ fault ในอีกแบบหนึ่งที่แตกต่างออกไปจากลักษณะการวิเคราะห์โดย Symmetrical Components ซึ่งในการคำนวณจะเปิดโอกาสในการใช้ความได้เปรียบพื้นฐานของ Y-Bus matrix ในการช่วยลด calculation time ลงได้ส่วนหนึ่ง ตัวอย่างผลของ load-flow และ fault solutions ที่แสดงในบทความนั้น นอกจากการคำนวณจะใช้คุณสมบัติของ balance and non-coupling ของ sequence แล้วยังได้ทำการพิจารณาตัดค่า resistance เพื่อลด data ต่างๆ ทำให้ solutions ของ fault 3-phase angle ของ current ผิดไปบ้าง

เมื่อได้พิจารณาอีกส่วนหนึ่งในการ form up line-data โดยความคิดที่ไม่ได้นำเอา zero-sequence coupling เข้ามาเกี่ยวข้องนั้น ในกรณีที่ต้องการทราบผลดังกล่าวด้วยก็อาจทำได้โดย Delta Bus-Current method เป็นการหาโดย Iterative เพิ่มเข้าในการพิจารณาที่เป็นวิธีหนึ่งที่จะกระทำได้นอกจากนี้ผลคิดที่จะให้ข้อคิดในการศึกษา fault ลงไปสู่ Distribution System จะสามารถเป็นแนวทางที่เห็นได้ง่ายขึ้น โดยการขยายของ Elementary Phase-Matrix Characters เช่น ลักษณะ Generator, reactor, Transformer (Δ -Y, Δ - Δ , Y-Y) เข้าไปใน Y-Bus matrix (4)

ดังนั้นการวิเคราะห์ fault ซึ่งกล่าวมานี้ อาจจะให้แนวโน้มของแนวทางในการคำนวณ ซึ่งต่อไปเราจะสามารถนำมาประกอบพิจารณาพร้อมข้อดีและข้อเสียของ coordinates ดังๆ ในการพัฒนาการวิเคราะห์ให้ดีขึ้นไปอีก

APPENDIX IPrimary-Secondary Adjustment Load-Flow.

การพิจารณาผลของ bus-current mismatch ในแต่ละ iteration จะกระทำโดยที่ (1,5)
เมื่อ bus-current mismatch bus p พิจารณา system eqn.

$$\Delta I_p^k = \left(\frac{S_p^k}{E_p^k} \right) - \sum_{q=1}^n Y_{pq} \cdot E_q^k \quad (A1)$$

k - iteration no. และ S, E เป็น bus complex power and voltage

เมื่อพิจารณา bus-current equation

$$\begin{bmatrix} \Delta I_p \\ \dots \\ \Delta I_q = 0 \end{bmatrix} = \begin{bmatrix} Y_{pp} & Y_{pq} \\ \dots & \dots \\ Y_{qp} & Y_{qq} \end{bmatrix} \begin{bmatrix} \Delta E_p \\ \dots \\ \Delta E_q \end{bmatrix} \quad (A2)$$

q - subscript for system buses connected to p-bus

Primary adjust delta bus-voltage ของ p-bus ทำได้โดย

$$\Delta E_p^k = \left(Y_{pp} - \frac{Y_{pq} Y_{qp}}{Y_{qq}} \right) \Delta I_p^k \quad (A3)$$

Secondary adjust delta bus-voltage ของ q-bus ซึ่ง

$$\Delta E_q^k = - \frac{Y_{qp}}{Y_{qq}} \Delta E_p^k \quad (A4)$$

ผลของ delta bus-voltage ที่เกิดจาก current mismatch จะถูกใช้ในการ -
adjustment bus-voltage ใน system เสมอในทุกๆ iterations จนถึง tolerance -
range และ voltage-controlled bus ใน system จะพิจารณาว่าไม่มีผลจากการ chang -
เหล่านี้

กิจกรรมประกาศ

ผู้เขียนได้ถือโอกาสในที่นี้ ขอขอบคุณต่อทางศูนย์วิจัยคอมพิวเตอร์ฯ ลาดกระบัง ที่ได้ให้ความช่วยเหลือในการวิจัยจนแล้วเสร็จ

หนังสืออ้างอิง

1. G.W. Stagg and El-Abaid, "Computer Method in Power System Analysis", Newyork, McGraw-Hill, 1968.
2. P.M. Anderson, "Analysis of Faulted Power Systems", The IOWA State University Press/AMES, 1973.
3. J.M. Undrill and T.E. Kostyniak, "Advance Power System Fault Analysis Method", IEEE trans, Vol.PAS.-.94, No.6, November/December, 1975.
4. L. Roy and N.D. Rao, "Exact Calculation of Simultaneous Faults Involving Open Conductors and Line-to-Ground Short Circuits on Inherently Unbalanced Power Systems", IEEE trans, Vol.PAS.-101, no. 8, August, 1982.
5. Stevenson, W.D., "Elements of Power System Analysis", 2nd.ed., McGraw-Hill., Newyork, 1962.
6. Z.X. Han, "Generalize Method of Analysis of Simultaneous Fault in Electrical Power System", IEEE trans., Vol.PAS.-101, no.10 October, 1982.

การวิเคราะห์ความผิดปกติในระบบไฟฟ้ากำลัง โดยวิธี Bus-Impedance matrix
Fault Analysis of Power System by Z-Bus Method

ประสมต	บุญไชยอภิสิทธิ์*	คณะวิศวกรรมศาสตร์
สพร่าง	วิสุทธิพานิช *	สถาบันเทคโนโลยี พระจอมเกล้า
สมโภชน์	ประไพ **	วิทยาเขต เจ้าคุณทหาร ลาดกระบัง

บทคัดย่อ

บทความนี้แสดงถึงการวิเคราะห์ความผิดปกติของระบบไฟฟ้ากำลัง โดยมุ่งศึกษาความผิดปกติแบบไม่สมดุล Unbalance Fault ที่เกิดขึ้นในระบบไฟฟ้ากำลัง อาศัยหลักการของ Symmetrical Component มาวิเคราะห์เพื่อศึกษาถึงผลของ Fault ในแต่ละจุดของระบบไฟฟ้ากำลัง ซึ่งจากพฤติกรรมต่างๆที่ได้เราจะนำไปใช้ประโยชน์ในการป้องกันความเสียหายที่จะเกิดขึ้น

ในการศึกษาถึงพฤติกรรมของความผิดปกติแบบต่างๆได้กระทำโดยใช้วิธี Gauss-Seidel method สำหรับคำนวณค่า load-flow ในสภาวะปกติ และใช้ Z-Bus method ประกอบในการหาค่าคำตอบของความผิดปกตินั้นๆตามลำดับ

Abstract

This paper describes the method for analysis power system fault with the aim purpose on unbalance condition. Which makes use of symmetrical component principle during calculation procedure. The effects of fault at each point will be used to make initial information in field of Power System protection scheme.

The effective computer program in used here, is arranged with firstly studying normal load-flow of system by Gauss-Seidel method and secondly using Z-Bus to calculate the fault output solutions respectively.

* นักศึกษา

** อาจารย์

เอกสารนี้เป็นเอกสารที่สงวนไว้สำหรับกรใช้งานเพื่อการศึกษาเท่านั้น ไม่นอนุญาตให้นำไปใช้ประโยชน์ด้านการค้า
 ไม่ว่ากรณีใดๆทั้งสิ้น อีกทั้งห้ามมิให้ตัดแปลงเนื้อหา และต้องอ้างอิงถึงเจ้าของเอกสารทุกครั้งที่มีการนำไปใช้

1. บทนำ

การศึกษาความผิดปกติในระบบไฟฟ้ากำลังในสมัยแรกๆ อุปกรณ์ที่ใช้ คือ DC. Calculation Board ซึ่งได้พัฒนาขึ้นมาเป็น A.C. Network Analyzer ซึ่งยังใช้อยู่ในปัจจุบัน Digital Computer เริ่มเข้ามามีบทบาท ในปี 1940 และทวีความสำคัญขึ้นอย่างรวดเร็ว เนื่องจากไม่ต้องคำนึงถึงผลทาง physical ในการคำนวณใช้แต่สมการ ข้อดีและข้อได้เปรียบอื่นๆ ก็คือ Flexibility, ขนาดของระบบไฟฟ้ากำลัง, ความรวดเร็ว, ความถูกต้อง

การวิเคราะห์ความผิดปกติแบ่งตามลักษณะของข้อมูล และสมการได้เป็นสองแบบใหญ่ๆ คือ

1. Computer Solution Methods Using The Impedance Matrix.
2. Computer Solutions Method Using The Admittance Matrix.

ข้อดี, ข้อเสียและข้อได้เปรียบ, ข้อเสียเปรียบของวิธีการแต่ละแบบจะไม่กล่าวถึงในบทความนี้ เพราะว่า วิธีการในแต่ละแบบที่กล่าวข้างต้นนั้นได้พัฒนาไปอยู่เรื่อยๆ แต่จุดประสงค์ของบทความนี้ต้องการศึกษาถึงการเกิด Unbalance Fault ในสภาวะ Steady State โดยศึกษาถึงเงื่อนไข การเกิด fault แบบต่างๆ และเหตุการณ์ที่เกิดขึ้น

2. ทฤษฎี

ในลักษณะของ unsymmetrical fault วิธีที่ใช้วิเคราะห์ คือ Symmetrical Component โดย network จะถูกแสดงใน 0-1-2 co-ordinate. เพื่อให้ T เป็น phase-to-sequence transformation matrix

$$T = \begin{bmatrix} 1 & 1 & 1 \\ 1 & a^2 & a \\ 1 & a & a^2 \end{bmatrix} \quad ; \quad a = 1/\sqrt{3} \angle 120^\circ$$

$$[v_p] = T [v_s] \quad (1)$$

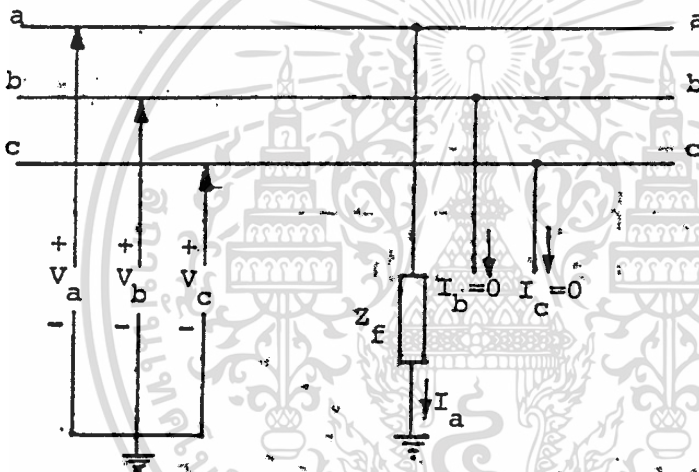
$$[I_p] = T [I_s] \tag{2}$$

$$[Z_s] = T^{-1} [Z_p] T \tag{3}$$

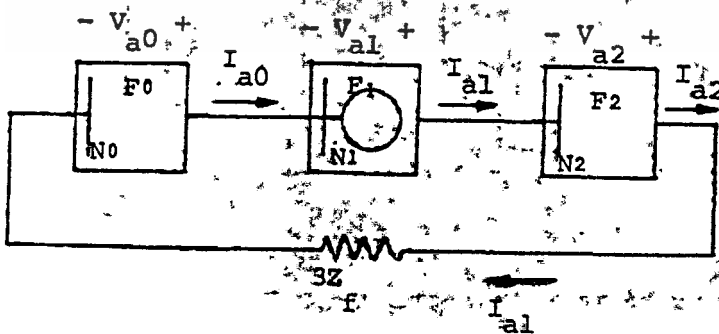
โดย P : Phase Co-ordinate
 S : Sequence Co-ordinate

Case Study

2.1 The Single Line-to-Ground (SLG) Fault



รูปที่ 1.1 Diagram of A SLG-Fault at F



รูปที่ 1.2 Sequence Network Connection for A SLG Fault.

Boundary Condition

$$I_b = I_c = 0 \tag{4}$$

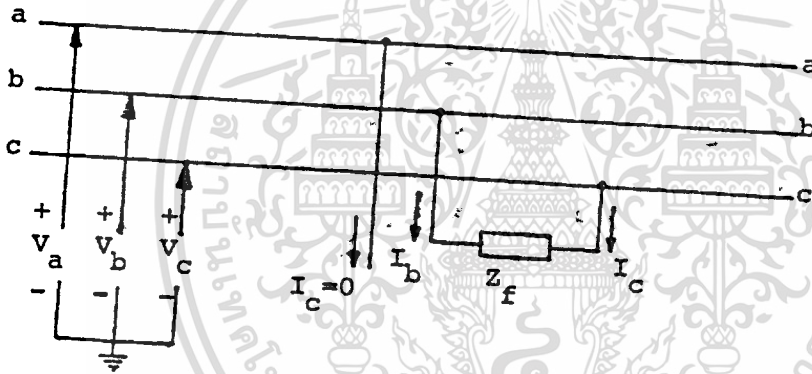
$$V_a = Z_f I_a \tag{5}$$

Sequence Current

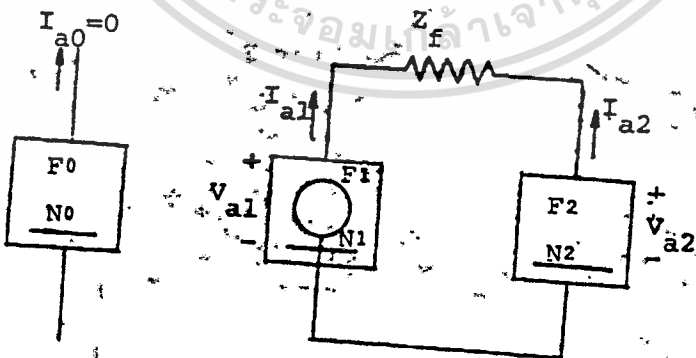
$$I_{a0} = I_{a1} = I_{a2} = \frac{hV_f}{Z_0 + Z_1 + Z_2 + 3Z_f} \tag{6}$$

$$Z_T = Z_0 + Z_1 + Z_2 + 3Z_f$$

1.2 The Double Line Fault (DLF)



รูปที่ 1.3 Diagram of DLF at F



รูปที่ 1.4 Sequence Network Connection for DLF Fault.

Boundary Condition

$$I_a = 0 \tag{7}$$

$$I_b = -I_c \tag{8}$$

$$V_b - V_c = I_b Z_f \tag{9}$$

Sequence Current

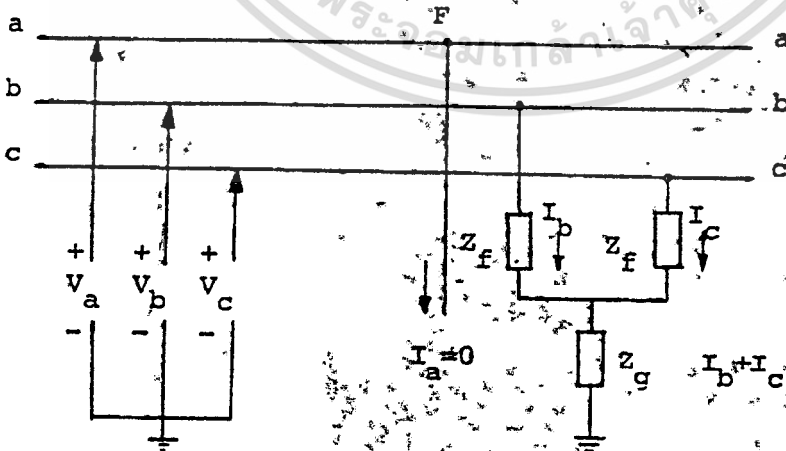
$$I_{a0} = 0 \tag{10}$$

$$I_{a1} = \frac{hV_f}{Z_1 + Z_2 + Z_3} \tag{11}$$

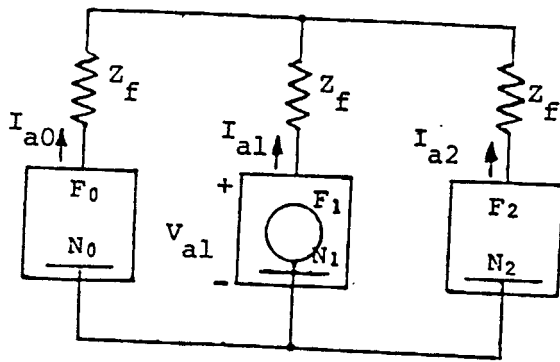
$$I_{a2} = -I_{a1} \tag{12}$$

$$Z_T = Z_1 + Z_2 + Z_f$$

2.3 The Double Line-to-Ground (DLG) Fault.



รูปที่ 1.5 Diagram of A DLG Fault at F



รูปที่ 1.6 Sequence Network Connection for A DLG Fault.

Boundary Condition

$$I_a = 0 \quad (13)$$

$$V_b = (Z_f + Z_g)I_b + Z_g I_c \quad (14)$$

$$V_c = (Z_f + Z_g)I_c + Z_g I_b \quad (15)$$

Sequence Current

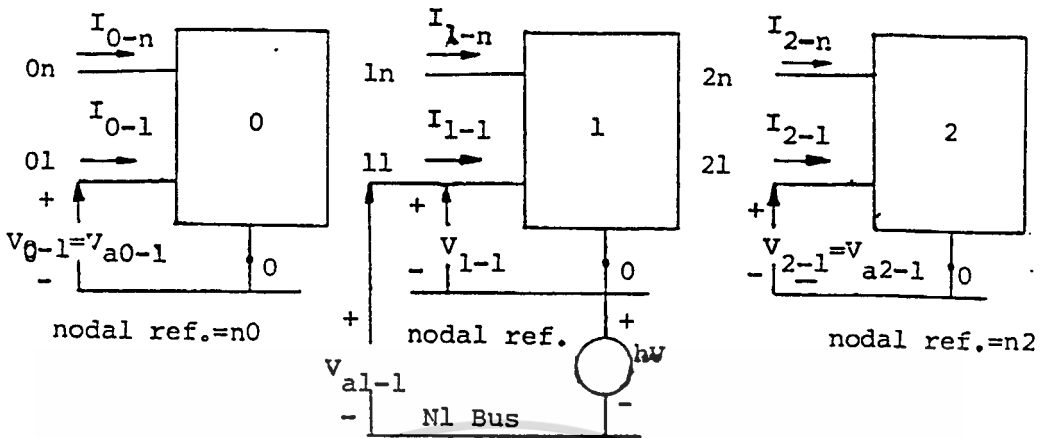
$$I_{a1} = \frac{hV_f}{Z_1 + Z_f + \frac{(Z_2 + Z_f)(Z_0 + Z_f + 3Z_g)}{Z_0 + Z_2 + 2Z_f + 3Z_g}} \quad (16)$$

$$I_{a0} = \frac{Z_2 + Z_f}{Z_2 + Z_0 + 2Z_f + 3Z_g} \cdot I_{a1} \quad (17)$$

$$I_{a2} = \frac{Z_0 + Z_f + 3Z_g}{Z_2 + Z_0 + 2Z_f + 3Z_g} \cdot I_{a1} \quad (18)$$

$$Z_T = Z_1 + Z_f + \frac{(Z_2 + Z_f)(Z_0 + Z_f + 3Z_g)}{Z_0 + Z_2 + 2Z_f + 3Z_g}$$

3. Impedance Matrix in Shunt Fault Computations.



รูปที่ 1.7 Sequence Quantities Defined for Nodal Equation

รูปที่ 1.7 คือ positive, negative, and zero sequence network ซึ่งมี reference คือ node 0 เรากำหนดให้ current ไหลเข้า network ที่ node 1, 2, ... n และ voltage drop จากแต่ละ node เทียบกับ reference เราจะได้สมการ คือ

$$[v_{a0-i}] = -[z_{0-ij}][I_{0-i}] \tag{19}$$

$$[v_{a1-i}] = h[v_f] - [z_{1-ij}][I_{1-i}] \tag{20}$$

$$[v_{a2-i}] = -[z_{2-ij}][I_{2-i}] \tag{21}$$

โดย subscript คือ sequence, node สำหรับ Z-Bus (open circuit driving point and transfer impedance) นั้นหาได้หลายวิธี ในที่นี้หาโดย Impedance Matrix (1) Algorithm

สำหรับ current ที่ไหลระหว่าง node ij หาได้จากสมการ

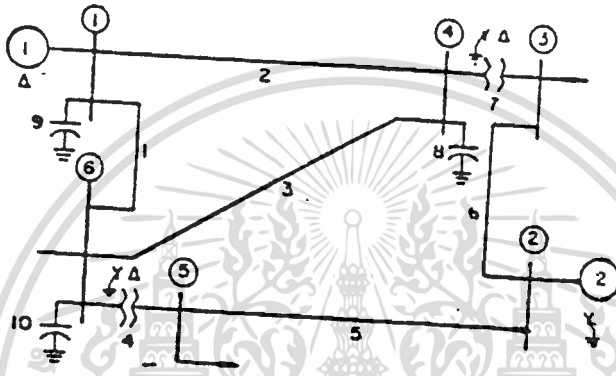
$$I_{s-ij} = \frac{V_i - V_j}{z_{ij}} = \frac{(z_{s-jk} - z_{s-ik})(I_{s-k})}{z_{ij}} \tag{22}$$

โดย k : node fault

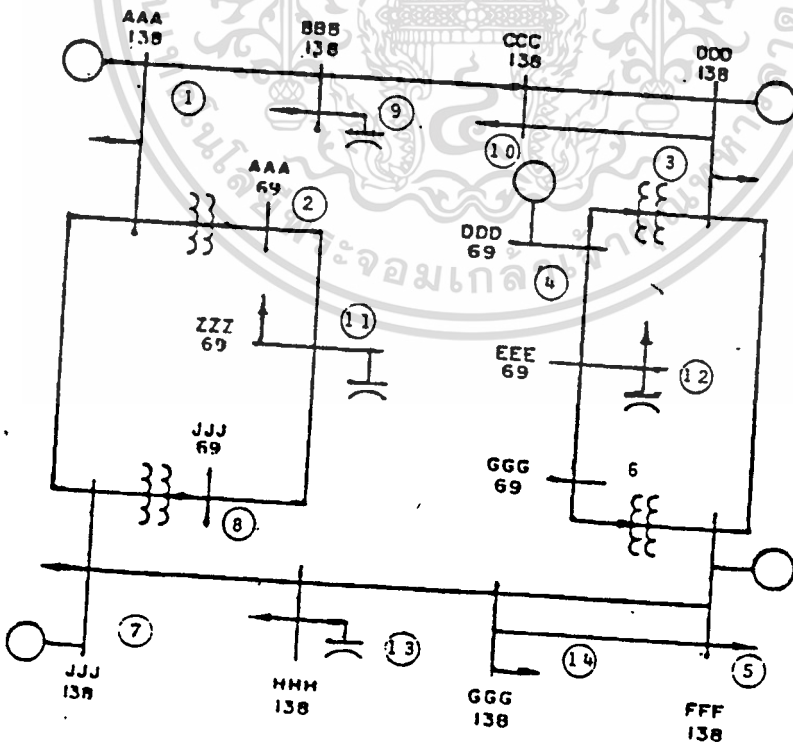
Z_{ij} : primitive impedance element between node i and j

4. ผลการวิเคราะห์

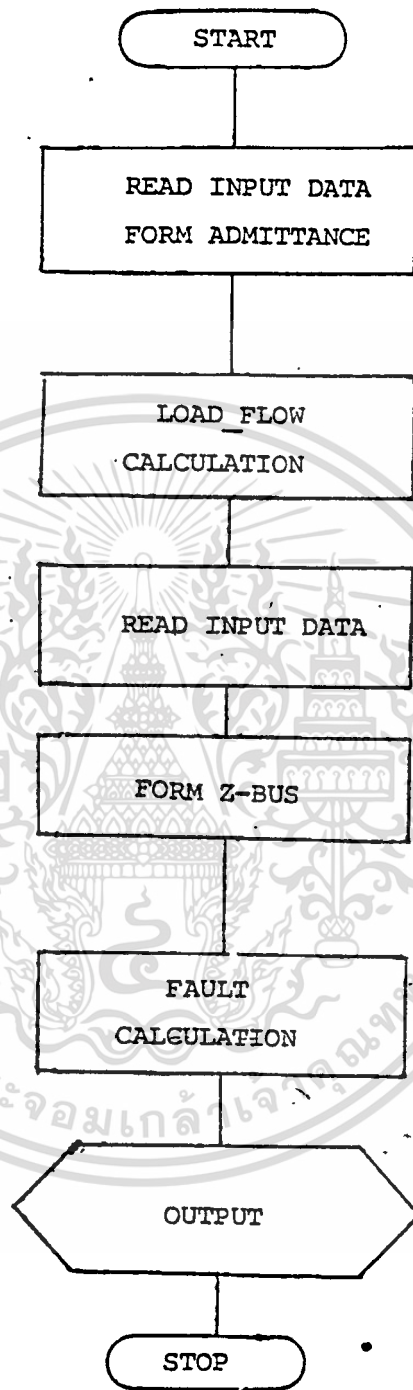
ขนาดของ fault voltage , fault current ที่แต่ละ bus และขนาดของ current ที่ inject เข้าสู่ fault point จะถูกคำนวณออกมา



รูปที่ 1.8 A 6-nodes network



รูปที่ 1.9 A 14-nodes network



รูปที่ 1.10 แสดง Flow-Chart ของการคำนวณ

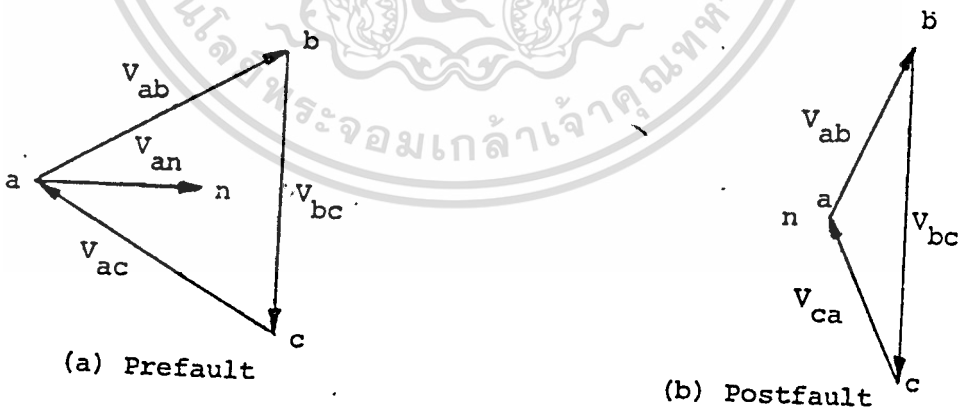
เอกสารนี้เป็นเอกสารที่สงวนไว้สำหรับการใช้งานเพื่อการศึกษาเท่านั้น ไม่อนุญาตให้นำไปใช้ประโยชน์ด้านการค้า
ไม่ว่ากรณีใดๆทั้งสิ้น อีกทั้งห้ามมิให้ตัดแปลงเนื้อหา และต้องอ้างอิงถึงเจ้าของเอกสารทุกครั้งที่มีการนำไปใช้

ตารางที่ 1 เปรียบเทียบเวลาในการคำนวณความผิดปกติ (Fault Calculation)

Number of System Bus	Time for Z - Bus *	Time for SLG *	Time for DLF *	Time for DLG *
3	0.608	0.874	0.686	0.738
6	1.481	1.472	1.217	1.336
14	8.495	3.797	3.249	3.286

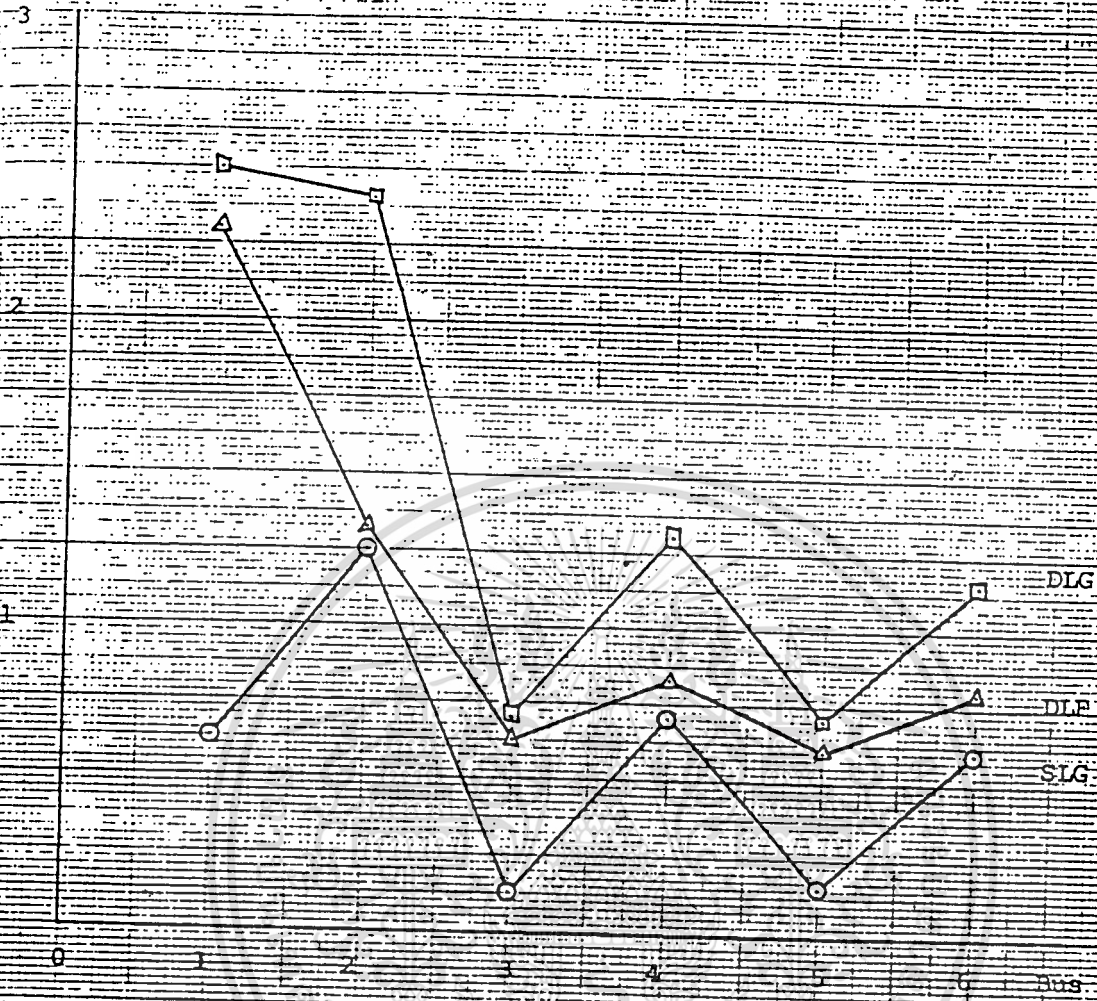
* second

ในบทความนี้มีผู้เขียนได้แสดง fault solution โดยเปรียบเทียบกับ solution Anderson และได้แสดง solution ของ DLF และ DLG ของ system ดังกล่าว จาก solution จะเห็นว่า fault current และ fault voltage ประกอบด้วย sequence components เมื่อแทนค่าลงใน (1), (2) จะเห็นว่า phase current และ phase voltage ไม่สมมูล ซึ่งสามารถแสดงได้ด้วย phasor diagram ข้างล่าง

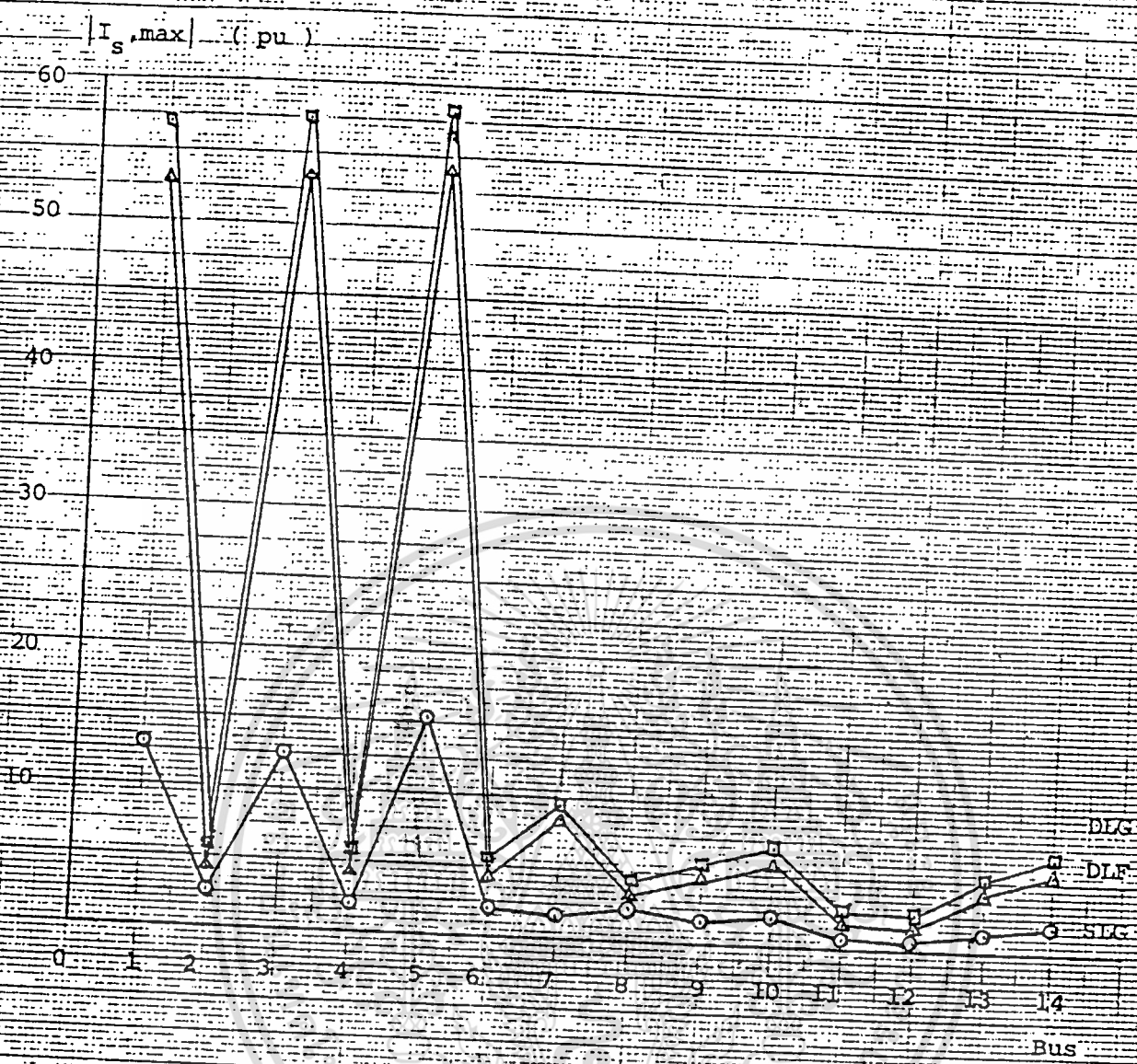


รูปที่ 1.11 Phasor Diagram of The Line Voltage before and after The Fault.

$|I_{s,max}|$ (pu)



รูปที่ 2.1 Maximum Fault Sequence Current ของรูปที่ 1.8



รูปที่ 2.2 Maximum Fault Sequence Current ของรูปที่ 1.9

BUS NAME	BUS - DATA				BUS NO.	LINE - DATA			
	VOLTS	DEGREES	AMPS	DEGREES		VOLTS	DEGREES	AMPS	DEGREES
1 AAA138	0.4613	-0.1	0.000	0.0	0-0	0.0000	0.0	0.000	0.0
	0.4613	-0.1	8.202	91.6		1.0000	0.0	53.872	-90.0
	0.4613	-0.1	48.851	90.9		0.0000	0.0	46.128	89.9
2 AAA69	0.3282	0.6	0.000	-82.9	1-0	0.0000	0.0	0.000	-87.7
	0.3282	0.6	5.877	91.8		0.9499	0.0	5.181	89.7
	0.3282	0.6	2.625	-87.3		0.0245	0.9	0.000	0.0
3 DDD138	0.4645	-0.1	0.000	91.2	11-0	0.0000	0.0	0.000	-71.6
	0.4645	-0.1	7.616	92.4		0.6172	-2.2	0.530	-55.7
	0.4645	-0.1	57.388	-88.6		0.1876	4.6	0.290	121.5
4 DDD69	0.4115	-0.1	0.000	-84.1	3-0	0.0000	0.0	0.000	-89.6
	0.4115	-0.1	1.491	94.0		0.9572	0.0	4.548	90.2
	0.4115	-0.1	4.954	-86.5		0.0296	-1.0	0.000	0.0

Sample Solution of Double Line to Ground Fault (14-Buses)

เอกสารนี้เป็นเอกสารที่สงวนไว้สำหรับการใช้งานเพื่อการศึกษาเท่านั้น ไม่นอนุญาตให้นำไปใช้ประโยชน์ด้านการค้า
ไม่ว่ากรณีใดๆทั้งสิ้น อีกทั้งห้ามมิให้ตัดแปลงเนื้อหา และต้องอ้างอิงถึงเจ้าของเอกสารทุกครั้งที่มีการนำไปใช้

จะเห็นว่า factors ซึ่งมีผลต่อความรุนแรงของ fault ได้แก่

1. Source Condition
2. Power System Configuration
3. Neutral Earthing
4. Nature and Type of Fault.

5. สรุป

ในอดีตเราสนใจแต่ Normal Load-Flow และ Three Phase Fault โดยเฉพาะ Three Phase Fault ซึ่งเป็น fault ที่อาจจะเรียกได้ว่ารุนแรงที่สุด ซึ่งทำให้อุปกรณ์ในระบบบ่อนั้นมีราคาแพง แต่จากประสบการณ์ จะเห็นว่าโอกาสที่จะเกิด Three Phase Fault มีน้อย เพราะฉะนั้นสิ่งที่ควรพิจารณาในเงื่อนไขของการเกิด fault แต่ละอย่างก็คือโอกาส (probability) ที่จะเกิด fault เพราะว่าถ้าเราทราบถึงความน่าจะเป็นที่จะเกิด fault แต่ละอย่าง เราก็สามารถเลือกอุปกรณ์ที่เหมาะสม นอกจากนี้ข้อมูลที่ได้จากการวิเคราะห์ จะสามารถนำมาพิจารณาในการเลือก characteristics ของ circuit breaker, fuse operation และ relay co-ordination ของ system

นอกเหนือจากบทความนี้แล้ว การศึกษา fault ยังครอบคลุมไปถึง change in symmetry, simultaneous fault, การศึกษา fault ในแง่ของ time domain ซึ่งเป็นการศึกษา fault ในช่วง transient อนึ่งวิธีการในการศึกษาได้พัฒนาไปอย่างมาก โดยใช้ computer technique ต่างๆที่พัฒนาขึ้นมา เช่น Sparsity, Optimal Ordered Triangulate Factorization etc. ทั้งนี้เพื่อให้วิธีการรวดเร็ว, มีความเชื่อถือสูง, ประหยัด memory และมีความถูกต้องสูง

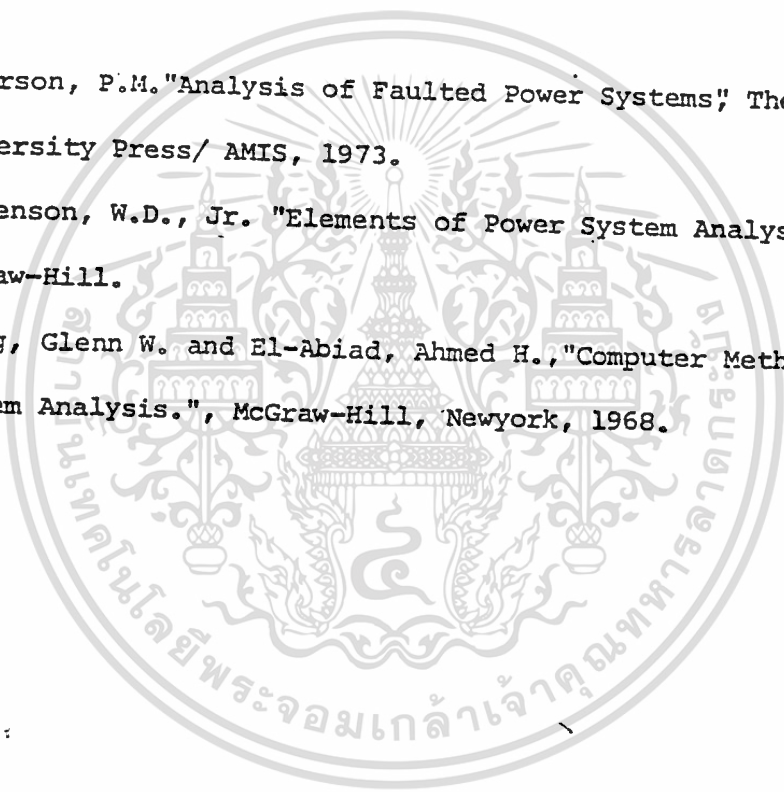
กิตติกรรมประกาศ

ผู้เขียนขอขอบคุณ อาจารย์ สมโภชน์ ประไพ ซึ่งเป็นอาจารย์ที่ปรึกษา ได้ให้คำแนะนำและช่วยเหลือในการแก้ปัญหาใน Power System

ขอขอบคุณเจ้าหน้าที่ ศูนย์วิจัยคอมพิวเตอร์ฯ ทุกคนที่ให้ความช่วยเหลือในการใช้บริการจากศูนย์วิจัยฯ จนกระทั่งงานสำเร็จ

หนังสืออ้างอิง

1. Anderson, P.M. "Analysis of Faulted Power Systems;" The IOWA State University Press/ AMIS, 1973.
2. Stevenson, W.D., Jr. "Elements of Power System Analysis;" 3rd ed, McGraw-Hill.
3. Stagg, Glenn W. and El-Abiad, Ahmed H., "Computer Methods in Power System Analysis.", McGraw-Hill, Newyork, 1968.



BUS - DATA				LINE - DATA						
BUS	NAME	VOLTS	DEGREES	AMPS	DEGREES	BUS NO.	VOLTS	DEGREES	AMPS	DEGREES
1	AAA138	0.0000	0.0	0.000	0.0	0-0	0.0000	0.0	0.000	0.0
		0.5000	0.0	0.000	0.0	1-0	1.0000	0.0	0.000	0.0
		0.5000	0.0	52.952	-89.1	0-0	0.0000	0.0	50.000	-90.0
				52.952	90.9	0-0	0.0000	0.0	50.000	90.0
2	AAA69	0.0000	0.0	0.000	0.0	1-0	0.0000	0.0	0.000	0.0
		0.5000	0.0	4.187	-87.0	0-0	0.0000	0.0	0.000	0.0
		0.5000	0.0	4.187	93.0	1-0	0.0000	0.0	0.000	0.0
						0-0	0.0000	0.0	0.000	0.0
3	000138	0.0000	0.0	0.000	0.0	1-0	0.0000	0.0	0.000	0.0
		0.5000	0.0	53.381	-88.7	0-0	0.0000	0.0	0.000	0.0
		0.5000	0.0	53.381	91.3	1-0	0.0000	0.0	0.000	0.0
						0-0	0.0000	0.0	0.000	0.0
4	00069	0.0000	0.0	0.000	0.0	1-0	0.0000	0.0	0.000	0.0
		0.5000	0.0	4.209	-89.6	0-0	0.0000	0.0	0.000	0.0
		0.5000	0.0	4.209	93.4	1-0	0.0000	0.0	0.000	0.0
						0-0	0.0000	0.0	0.000	0.0

Sample Solutions of Line to Line Fault. (14-Buses)

เอกสารนี้เป็นเอกสารที่สงวนไว้สำหรับการใช้งานเพื่อการศึกษาเท่านั้น ไม่อนุญาตให้นำไปใช้ประโยชน์ด้านการค้า
ไม่ว่ากรณีใดๆทั้งสิ้น อีกทั้งห้ามมิให้ตัดแปลงเนื้อหา และต้องอ้างอิงถึงเจ้าของเอกสารทุกครั้งที่มีการนำไปใช้

BUS NAME	BUS - DATA				BUS NO.	LINE - DATA			
	VOLTS	DEGREES	AMPS	DEGREES		VOLTS	DEGREES	AMPS	DEGREES
1 AAA138	0.7486	179.8	39.933	-88.5	0-0	0.0000	0.0	37.613	-89.4
	0.3743	-7.1	13.311	-88.5		1.0000	0.0	12.576	-89.2
	0.1257	-179.5	13.311	-88.5		0.0000	0.0	12.569	-89.5
2 AAA69	0.3233	-178.7	8.501	-87.6	7-0	0.5174	179.8	1.177	-76.7
	0.6616	0.3	0.0000	-87.6		0.9615	-0.5	0.342	-78.3
	0.3386	179.2	0.0000	-87.6		0.0393	-168.3	0.415	-76.0
3 000138	0.7657	179.7	37.665	-87.8	9-0	0.4410	-179.2	1.081	-74.8
	0.3829	-0.1	12.555	-87.3		0.7353	-0.1	0.501	-79.0
	0.1172	-179.1	12.555	-87.3		0.0642	-179.2	0.291	-71.3
4 00069	0.5375	179.6	5.341	-86.2	2-0	0.0000	0.0	0.136	-61.6
	0.7687	-0.1	1.947	-86.2		0.3815	0.2	0.068	-61.6
			1.947	-86.2		0.1185	178.7	0.068	-61.6
0-0					0-0	0.0000	0.0	2.694	-88.7
						0.0000	0.0	2.694	-88.7
						0.0000	0.0	0.000	0.0
1-0					1-0	0.0000	0.0	5.220	-90.6
						0.9748	0.0	0.000	0.0
						0.0252	179.7	2.610	-90.6
11-0					11-0	0.2325	177.1	0.684	-58.2
						0.3070	-0.8	0.151	-65.8
						0.1934	-176.7	0.267	-56.0
5-0					5-0	0.0000	0.0	34.370	-49.2
						1.0000	0.0	10.738	-49.5
						0.0000	0.0	11.716	-49.1
10-0					10-0	0.0564	166.8	2.196	-73.6
						0.7943	-0.1	1.140	-75.5
						0.0066	-159.8	0.529	-71.6
10-1					10-1	0.5314	179.0	0.527	-74.9
						0.2115	-0.1	0.257	-79.1
						0.0885	-179.0	0.136	-70.9
4-0					4-0	0.5314	179.0	0.599	-73.9
						0.2115	-0.1	0.328	-74.4
						0.0885	-179.0	0.136	-70.9

Sample Solution of Single Line to Ground Fault. (14-3uses)

เอกสารนี้เป็นเอกสารที่สงวนไว้สำหรับการใช้งานเพื่อการศึกษาเท่านั้น ไม่อนุญาตให้นำไปใช้ประโยชน์ด้านการค้า
ไม่ว่ากรณีใดๆทั้งสิ้น อีกทั้งห้ามมิให้ดัดแปลงเนื้อหา และต้องอ้างอิงถึงเจ้าของเอกสารทุกครั้งที่มีการนำไปใช้

B U S - D A T A				L I N E - D A T A										
3-PHASE		3-PHASE		3-PHASE		3-PHASE								
AMPS DEGREES	VOLTS DEGREES	AMPS DEGREES	VOLTS DEGREES	AMPS DEGREES	VOLTS DEGREES	AMPS DEGREES	VOLTS DEGREES							
1 AA4136	105.903	0.09.1	39.921	0-0	1.0000	0.0100.000	-90.0	1.0000	0.0	17.568	-89.59	37.612	-89.47	
								0.0	0.0	12.568	-89.54	0.0	0.0	
								0.0	0.0	12.476	-89.22	0.0	0.0	
				2-0	0.0649	27.9	0.541	-62.1	0.8815	0.2	0.068	-61.67	0.136	-61.61
									0.1185	178.7	0.068	-61.64	0.0	0.0
				7-0	0.6958	-5.0	3.299	-76.5	0.9615	-0.5	0.415	-76.07	1.177	-76.71
									0.0393	-168.3	0.415	-76.04	0.0	0.0
									0.5176	179.8	0.348	-78.32	0.0	0.0
				9-0	0.4892	-0.3	2.319	-71.8	0.9358	-0.1	0.291	-71.30	1.081	-74.81
									0.0642	-179.2	0.291	-71.34	0.0	0.0
									0.4412	-179.3	0.500	-78.82	0.0	0.0
2 AA469	9.373	-87.0	8.501	-87.61	0-0	0.0	0.0	0.0	0.0	0.0	0.0	2.694	-88.71	
			0.3	2.834	-87.67	0.0	0.0	0.0	0.0	0.0	0.0	0.0	0.0	
			0.3384	179.4	2.834	-87.68	0.0	0.0	0.0	0.0	0.0	0.0	0.0	
			0.3233	-178.7	2.834	-87.62	0.0	0.0	0.0	0.0	0.0	2.694	-88.72	
									0.9748	0.0	2.610	-90.67	3.220	-90.61
									0.0252	179.7	2.610	-90.64	0.0	0.0
									0.0	0.0	0.0	0.0	0.0	0.0
				11-0	0.4315	-5.2	0.789	-55.4	0.8070	-0.8	0.267	-56.07	0.684	-58.21
									0.1934	-176.7	0.267	-56.04	0.0	0.0
									0.2325	177.1	0.151	-65.82	0.0	0.0
3 000138	107.162	-88.7	37.664	-87.61	0-0	1.0000	0.0100.000	-90.0	1.0000	0.0	11.716	-89.17	34.369	-89.27
			0.1	12.555	-87.87	0.0	0.0	0.0	0.0	0.0	11.716	-89.14	0.0	0.0
			0.1172	-179.1	12.555	-87.88	0.0	0.0	0.0	0.0	10.938	-89.58	0.0	0.0
			0.7657	179.7	12.555	-87.87	0.0	0.0	0.0	0.0	0.0	0.0	0.0	0.0

เอกสารนี้เป็นเอกสารที่สงวนไว้สำหรับการใช้งานเพื่อการศึกษาเท่านั้น ไม่อนุญาตให้นำไปใช้ประโยชน์ด้านการค้า
ไม่ว่ากรณีใดๆทั้งสิ้น อีกทั้งห้ามมิให้ตัดแปลงเนื้อหา และต้องอ้างอิงถึงเจ้าของเอกสารทุกครั้งที่มีการนำไปใช้